الجمهورية الجزائرية الديمقراطية الشعبية

République Algérienne Démocratique et Populaire

وزارة التعليم العالى والبحث العلمى

Ministère de l'Enseignement Supérieur et de la Recherche Scientifique

Centre Universitaire Abdelhafid Boussouf-Mila

Institut des Sciences et de Technologie Département de Génie Civil et Hydraulique



NoRef:....

Projet de Fin d'Etude préparé En vue de l'obtention du diplôme de MASTER

Filière : Génie Civil

Spécialité : Structure

Etude d'une tour RDC+12 en béton arme à usage multiples

Réalisé par :

- KEHILA RIMA
- BOUMEHDI NIHAD

Soutenu devant le jury :

Mr. REBHI Mostafa Président

Mr. GUETTICHE Abdelheq Examinateur

Mr. BEN ZAID Mehdi Promoteur

Année universitaire: 2023/2024

Dédicace

A mes très chers parents qui m'ont guidé durent les mement les plus pénibles de ce longe chemine, ma mère qui a été mes cotes et ma soutenu durant toute ma ma vie

A mon père qui a sacrifie toute sa vie afin de me voir devenir merci mes sœurs et

Mon frère

Merci à toute ceux qui m'ont aidé à poursuivre mes études

A mon binôme RIMA et a son frère et Abd Razak.

A mes a mes amis et toute ceux qui nous sont très chers.

NIHAD

Dédicace

Je dédie ce modeste travail à ceux qui, quels que soient les termes embrassés, je n'arriverais jamais à leur exprimer mon amour sincère.

Je n'arriverais jamais à leur exprimer mon amour sincère.

A l'homme, mon précieux offre du dieu, qui doit ma vie, ma réussite et tout mon respect mon cher père **NOUREDINE**

A la femme qui a souffert sans me laisser souffrir, qui n'a jamais dit non à mes exigences et qui n'a épargné aucun effort pour me rendre heureuse : mon adorable mère **DAHBIA**

A ma chère sœur **FARAH**, et mes chers frères **MOHSSEN ET HAMZA**, qui n'ont pas cessée de me conseiller, encourager et soutenir tout au long de mes études. Que Dieu les protège et leurs offre la chance et le bonheur.

Mes oncles et mes tantes. Que Dieu leur donne une longue et joyeuse vie.

A tous les cousins, les voisins et les amis que j'ai connu jusqu'à maintenant. Merci pour leurs amours et leurs encouragements.

Sans oublier mon binôme **NIHAD son frère et Abd Razak** pour son soutien moral, sa patience et sa compréhension tout au long de ce projet.

RIMA

Remerciement

Nous tenons à exprimer notre profonde gratitude envers **Allah**, le Tout-Puissant, qui nous 'a accordé la force, le courage et la détermination nécessaires pour mener à bien ce travail. C'est grâce à Sa volonté que nous avons pu surmonter les défis et réaliser ce projet.

Nous exprimons toute notre reconnaissance à notre encadrant de mémoire, **Dr. BEN ZAID MEHDI**. Nous lui remercions de nous 'avoir encadré, orienté, aidé et conseillé. Tout au long de la rédaction de ce mémoire.

Nous saisissons également cette opportunité à exprimer notre sincère reconnaissance envers les membres du jury qui ont accepté d'examiner notre mémoire. Leurs retours constructifs, leur expertise et leur temps consacré à évaluer notre travail ont été essentiels.

Nous remercions tous les professeurs, intervenants et toutes les personnes qui par leurs paroles, leurs écrits, leurs conseils et leurs critiques ont guidé nos réflexions et ont accepté de nous rencontrer et de répondre à nos questions durant nos études.

À tous ces intervenants, nous présentons nos remerciements, notre respect et notre gratitude.

RIMA ET NIHAD

Liste des symboles

Symbole	Notion
A	Coefficient deacceleration de zone.
As	Aire d'une section d'acier,
$\mathbf{A_t}$	Section d'armatures transversales,
В	Aire D'une section de béton,
E	Module d'élasticité longitudinale,
$\mathbf{E_b}$	Module de déformation longitudinale du béton,
Ei	Module de déformation instantanée (Eij à l'âge de j jours),
$\mathbf{E}_{\mathbf{s}}$	Module d'élasticité de l'acier,
$\mathbf{E}_{\mathbf{v}}$	Module de déformation différé (E _{vj} à l'âge de j jours),
F	Force ou action en général,
G	Action permanente.
Q	Charges d'exploitations,
I	Moment d'inertie,
L	Longueur ou portée,
$\mathbf{L}_{\mathbf{f}}$	Longueur de flambement.
M	Moment en général, moment de flexion le plus souvent
M_{G}	Moment fléchissant développé par les charges permanentes
M_{Q}	Moment fléchissant développé par les charges d'exploitations
Mu	Moment de calcul ultime
Mser	Moment de calcul de service
Mt	Moment en travée
Ma	Moment en appui
N	Effort normal
N_u	Effort normal de calcul ultime
St	Espacement des armatures transversales,
T	Effort Tranchant, période
R	Coefficient de comportement
E.L.U	Etat limite ultime
E.L.S	Etat limite service

a	Une dimension
b	Une dimension transversale (largeur ou épaisseur d'une section)
ď'	Distance du barycentre des armatures tendues à la fibre extrême
e	Epaisseur
f	Résistance d'un matériau (avec indice), flèche
fe	Limite d'élasticité de l'acier
fcj	Résistance caractéristique à la compression du béton âge de j jours
ftj	Résistance caractéristique à la traction du béton âge de j jours
f _{c28} , f _{t28}	Grandeurs précédentes avec j =28 jours
h	Hauteur totale d'une section de béton armé
i	Rayon de giration d'une section
J	Nombre de jours
K	Coefficient en général
l	Longueur ou portée (on utilise aussi L)
n	Coefficient d'équivalence acier-béton
S	Espacement des armatures en générales
St	Espacement des armatures transversales
X	Coordonnée en général, abscisse en particulier
y	Coordonnée, parallèlement au plan moyen, à partir de l'axe central d'inertie
Z	Coordonnée d'altitude
Ø	Diamètre des armatures, mode propre
γs	Coefficient de sécurité dans l'acier
γb	Coefficient de sécurité dans le béton
3	Déformation relative
εbc	Raccourcissement relatif du béton comprimé
83	Allongement relatif de l'acier tendu
ε's	Raccourcissement relatif de l'acier comprimé
η	Coefficient de fissuration relatif à une armature
v	Coefficient de poisson, coefficient sans dimension

ρ	Rapport de deux dimensions en particulière l'aire d'acier à l'aire de béton
σ	ontrainte normale en général
λ	Élancement
τ	contrainte tangente (de cisaillement)
σbc	Contrainte de compression,
σ _{st} et σ _{sc}	Contrainte de traction, de compression dans l'acier, également notées σs ,σ's
$\overline{\sigma_s}$	Contrainte de traction admissible de l'acier
$\overline{\sigma_{bc}}$	Contrainte de compression admissible du béton
β	Coefficient de pondération
σ_{sol}	Contrainte du sol

_

Н



INDRODUCTION GENERALE

CHAPITRE I: PRESENTATION DU POROJET

I.1. INTRODUCTION	2
I.2. PRÉSENTATION GENERALE	2
I.3. DONNEES DU SITE	2
I.4. DESCRIPTION DE L'OUVRAGE	2
I.4.1. CARACTERISTIQUES GEOMETRIQUES	3
I.4.2. LES PLANS D'ARCHITECTURE	3
I.5. L'OSSATURE	6
I.6. ELEMENTS DE L'OUVRAGE	6
I.6.1.PLANCHERS	6
I.6.2.ESCALIER	7
I.6.3.BALCONS	7
I.6.4.ACROTERE	7
I.6.5.MACONNERIE	7
I.6.6. TERRASSE	7
I.6.7. ASCENSEUR	7
I.7. REVETMENT	7
I.8. ISOLATION.	8
I.9.REGLES DE CALCUL	8
I.10. METHODOLOGIE DE CALCUL	8
I.1.11.CARACTERISTIQUES MECANIQUES DES MATERIAUX	8
I.1.11.1.LE BETON.	8
I.11.2.L'ACIER	11
I.11.2.1.CONTRAINT LIMITE DE CALCUL	15
I.11.2.2.L'ALLONGEMENT RELATIF DE L'ACIER	15
I.12. HYPOTHESES DE CALCUL DES SECTIONS EN BETON ARME	13
I.13.PRESENTATION DE LA METHODE DE CALCUL AUX ETATS LIMITES	14
I.13.1.LES ETATS LIMITES ULTIMES	14
I.13.2.LES ETATS LIMITES DE SERVICE	14
I.14.ACTIONS ET SOLLICITATIONS	14
I 14 1 ACTIONS	14

.14.2.SOLLICITATIONS	15
.15. CONCLUSION	16
CHAPITRE II:PREDIMENSIONNEMENT ET DESCENTE DEC	CHARGE
I.1. INTRODUCTION	18
I.2. LA PRE DIMENSIONNEMENT DES ELEMENTS SECONDAIRES	18
I.2.1. LES PLANCHERS	18
I.2.2 EVALUATION DES CHARGES ET SURCHARGES SUR LES PLAN	ICHERS22
I.2.3 L'ACROTERE (TERRASSE INACCESSIBLE)	23
I.2.4 LES ESCALIERS	24
I.2.4.1 PRE DIMENSIONNEMENT DES ESCALIERS :	25
I.2.4.2 TYPES D'ESCALIERS	24
I.2.4.3 EVALUATION DES CHARGES ET SURCHARGES SUR LES ESC	CALIERS28
I.2.5 POUTRE PALIERE	29
I.2.6 L'ASCENSEUR	30
I.3 PRE DIMENSIONNEMENT DES ELEMENTS STRUCTURAUX	31
I.3.1 VOILES	31
I.3.2 PRE DIMENSIONNEMENT DES POUTRES	31
I.3.2.1 POUTRES PRINCIPALES (PP)	32
I.3.2.2. POUTRES SECONDAIRES(PS)	3
I.3.3 PRE DIMENSIONNEMENT DES POTEAUX	33
I.3.3.1 LOI DE DEGRESSION	34
I.3.3.2 VERIFICATIONS NECESSAIRES	38
I.4 CONCLUSION	40
CHAPITRE III : CALCUL DES ELEMENTS SECONDAIR	ES
II.1. INTRODUCTION	43
II.2 ETUDE DES PLANCHER	43
II.2.1 PLANCHER A CORPS CREUX	43
II.3. ACROTERE	79
V. A.A. G. V. G.V.V. DEG FIDEODEG	81
II. 3.1. CALCUL DES EFFORTS	

III.3.3.CALCULE DES CONTRAINTES86
III.3.4. VERIFICATION DE L'EFFORT DE TRANCHANT86
III.4. LES ESCALIERS
III.4.1. CHARGE ET SURCHARGE87
III.4.2. SCHEMA STATIQUE89
III.4.3. COMBINAISON DES CHARGES
III.4.4.CALCUL DES ARMATURES93
III.4.5.VERIFICATION DE L'EFFORT TRANCHANT94
III.4.6.VERIFICATION EN E.L.S
III.5. ETUDE DE LA POUTRE PALIERE96
III.5.1.EVALUATION DES CHARGES96
III.5.2.FERRAILLAGE DE LA POUTRE PALIERE A LA FLEXION SIMPLE97
III.5.3.VERIFICATION A L'ELS
III.5.4.CALCUL LA POUTRE PALIERE A LA TORSION99
III.6. BALCON
III.6.1.EVALUATION DES CHARGES
III.6.2.COMBINAISONS ET SOLLICITATIONS
III.6.3.CALCUL DES MOMENTS
III.6.4.FERRAILLAGE DU BALCON
III.6.5.VERIFICATION DE L'EFFORT TRANCHANT
III.6.6.VERIFICATION A L'ELS
III.7.ASCENSEUR
III.7.1.ÉTUDE DE LA DALLE PLEINE DU LOCAL MACHINE
III.7.2.CALCUL DES SOLLICITATIONS
III.7.3. CALCUL DE FERRAILLAGE
III.7.4.CALCUL DES ARMATURES TRANSVERSALES
III.7.5.VERIFICATION A L'ELS
III.8. CONCLUSION
CHAPITRE IV : ETUDE DYNAMIQUE ET SISMIQUE
IV.1. INTRODUCTION

IV.2. OBJECTIF DE L'ETUDE DYNAMIQUE	115
IV.3. MÉTHODES DE CALCUL	116
IV.3.1. METHODE STATIQUE EQUIVALENTE	116
IV.3.3. METHODE DYNAMIQUE MODALE SPECTRALE	119
IV.4. PRESENTATION DU LOGICIEL ETABS V.20	120
IV.5. MODELISATION	120
IV.5.1. VERIFICATION DE LA PERIODE FONDAMENTAL DE LA STRUCT	ΓURE126
IV.5.2.PARTICIPATIONS DES MASSES MODALES EFFECTIVES	126
IV.5.3.VERIFICATION DE L'EFFORT TRANCHANT STATIQUE ET DYNA	MIQUE 127
IV.5.4.JUSTIFICATION DE L'INTERACTION VOILES-PORTIQUES	130
IV.5.5. JUSTIFICATION DU COEFFICIENT DE COMPORTEMENT R	132
IV.5.6. JUSTIFICATIONS DES DEPLACEMENTS RELATIFS PAR RAPPOR HAUTEUR D'ETAGE	
IV.5.7.JUSTIFICATION VIS-A-VIS DE L'EFFET P-Δ	133
IV.5.8 .VERIFICATION DE L'EFFORT NORMAL REDUIT	135
IV.5.8 .VERIFICATION DE L'EFFET DE TORSION ACCIDENTELLE	
IV.6. CONCLUSION	137
CHAPITRE V : CALCUL DES ELEMENTS STRCTURAUX	
V.1. INTRODUCTION	139
V.2. LES POTEAUX.	139
V.2.1. LES RECOMMANDATIONS DU RPA 99/2003	139
V.2.2. SOLLICITATION DE CALCUL	142
V.2.3. ARMATURES LONGITUDINALES	143
V.2.4 ARMATURES TRANSVERSALES	148
V.2.5.VERIFICATION DE STABILITE DE FORME	150
V.2.6. VERIFICATION AUX SOLLICITATIONS TANGENTIELLES	151
V.2.7 DISPOSITIONS CONSTRUCTIVES	152
V.2.8 DETERMINATION DE LA ZONE NODALE	152
V.2.9. SCHEMA DE FERRAILLAGE	153
V.3. LES POUTERS	156

V.3.1. LES RECOMMANDATIONS DU RPA 99 /2003	166
V.3.2. RECOMMANDATIONS	156
V.3.3 SOLLICITATIONS FERRAILLAGES DES POUTRES	157
V.4. LES VOILES	65
V.4.1. LES COMBINASSIONS DE CALCUL	166
V.4.2.ETUDE DE LA SECTION SOUMISE A LA FLEXION COMPOSEE	167
V.4.3.LE FERRAILLAGE DES VOILES DE SENS LONGITUDINALES	168
V.4.4. VERIFICATION A L'ELS	.165
V.4.5. SCHEMA DU FERRAILLAGE	174
V.5. CONCLUSION	.175
CHAPITRE VI : ETUDE DE L'INFRASTRUCTURE	
VI.1. INTRODUCTION	178
VI.2. ETUDE GEOTECHNIQUE DU SOL	.178
VI.3. CHOIX DU TYPE DE FONDATION	178
VI.3.1. VERIFICATION DE SEMELLE ISOLEE	178
VI.2.2. RADIER GENERAL	179
VI.3.2.1. PRE DIMENSIONNEMENT DE RADIER	.180
VI.3.2.2. LES VERIFICATIONS	181
VI.3.2.3. FERRAILLAGE DU RADIER	183
VI.3.2.4. FERRAILLAGE DES NERVURES	86
VI.4.1. VOILE PERIPHERIQUE	190
VI.4.1. DIMENSIONS DE VOILE PERIPHERIQUE	190
VI.4.2. CARACTERISTIQUES GEOTECHNIQUES DU SOL	190
VI.4.3. CALCUL DES CONTRAINTES	190
VI.4.4. FERRAILLAGE DU VOILE	191
VI.4.5. SCHEMA DE FERRAILLAGE DU VOILE PERIPHERIQUE	.195
VI.5. CONCLUSION	.195
CONCLUSION GENERALE	
BIBLIOGRAPHIE	

ANNEXES.	
----------	--

LISTE DES TABLEAUX

CHAPITRE I: PRESONTATION DE PROJET

Tableau.I.1 : caractéristiques de béton armé utilisé	16
CHAPITRE II: PREDIMENSION DES ELEMENT	
Tableau.II.1. Évaluation des charges revenant au plancher terrasse inaccessible	22
Tableau. II.2. Évaluation des charges revenant au plancher étage courant, bureau	22
TableauII.3 . Évaluation des charges revenant aux balcons(e=15) en dalle pleine	23
TableauII.4. Charge permanente de cloisons extérieures	23
Tableau II.5. Évaluation des charges revenant à l'acrotère	24
TableauII.6. Evaluation des charges du palier	28
TableauII.7. Evaluation des charges du palier	28
TableauII.8. Evaluation des charges de Palier de repose	29
TableauII.9. La descente de charge de poteau E	35
Tableau. II.10: tableau récapitulative	40
Tableau II.11. Dimensions des différents éléments	40
CHAPITRE III: ETUDE DEZS ELEMENT SCONDARE	
Tableau III.1. Les Différents types de poutrelles	47
Tableau III.2. Choix des méthodes de calculs pour les différents types de poutrelles	47
Tableau III.3. Charges et surcharges revenant aux poutrelles	48
Tableau III.4. Sollicitations à l'ELU des poutrelles du plancher EC (type 1)	55
Tableau III.6. Sollicitations à l'ELU des poutrelles du plancher EC (type1 Cas DC)	56
Tableau III.7. Sollicitations à l'ELS des poutrelles du plancher EC (type1 Cas DC)	56
Tableau III.8. Sollicitations à l'ELU des poutrelles du plancher EC (type1 Cas CD)	5′
Tableau III.9. Sollicitations à l'ELS des poutrelles du plancher EC (type1 Cas CD)	57
Tableau III.6. Sollicitations à l'ELU des poutrelles (type 1) Plancher RDC	59

Tableau III.7. Sollicitations à l'ELS des poutrelles (type 1) Plancher RDC
Tableau III.8. Sollicitations à l'ELU des poutrelles (type 1) Plancher RDC60
Tableau III.8. Sollicitations à l'ELS des poutrelles (type 1) Plancher RDC60
Tableau III.9. Sollicitations à l'ELU des poutrelles (type 1) Plancher RDC. 61
Tableau III.10. Sollicitations à l'ELS des poutrelles (type 1) Plancher RDC
Tableau III.11. Sollicitations à l'ELU des poutrelles (type 1) Plancher RDC
Tableau III.12. Sollicitations à l'ELS des poutrelles (type 1) Plancher T.IN. 62
Tableau III.13. Sollicitations à l'ELU des poutrelles (type 1) Plancher T.IN. 63
Tableau III.14. Sollicitations à l'ELS des poutrelles (type 1) Plancher T.IN. 63
Tableau III.15. Sollicitations à l'ELU des poutrelles (type 1) Plancher T.IN. 64
Tableau III.15. Sollicitations à l'ELU des poutrelles (type 1) Plancher T.IN. 64
Tableau III.16. Sollicitations maximales à l'ELU et à l'ELS. 65
Tableau III.17. Ferraillage des poutrelles dans les différents planchers
Tableau III.18. Ferraillage des poutrelles dans les différents planchers
Tableau III.19. Vérification au cisaillement.
Tableau III.20. Vérification de la contrainte du cisaillement. 76
Tableau III.21. Vérification des armatures longitudinales 76
Tableau III.22. Vérification des armatures longitudinales 76
Tableau III.23. Vérification des états limites de compression du béton
Tableau III.24. Vérification des états limite de déformation.
Tableau III.25. Les sollicitations de l'acrotère. 79
Tableau III.26. Calcul de la Combinaison des charges 89
Tableau III.27. Tableau récapitulatif des sollicitations
Tableau III.28. Ferraillage longitudinal de L'escalier à L'ELU. .93
Tableau III.29. Le choix de ferraillage des armatures longitudinal à L'ELU. 94
Tableau III.30. Le choix de ferraillage Les armatures de répartition

Tableau III.31. Vérification des contraintes à l'ELS 95
Tableau III.32. Calcul d'armatures à la flexion simple
Tableau III.33. Vérification a l'ELS de la poutre palière
Tableau III.34. Résultats du ferraillage 104
Tableau III.35. Vérification des contraintes de la dalle 105
Tableau III.36. Evaluation de la flèche selon y 107
Tableau III.37. Caractéristiques de l'ascenseur selon l'Annexe 108
Tableau III.38. Résultats de ferraillage à L'ELU 110
Tableau III.39. Résultats de calcul des contraintes dans le béton
CHAPITRE IV: ETUDE SISMIQUE
Tableau.IV.1 : Valeurs du coefficient d'amortissement suivent le système structurel 117
Tableau IV.2: Participation des masses modales 129
Tableau IV.3 : Efforts tranchants selon les directions X et Y
Tableau IV.4. Vérification de l'interaction voiles-portiques sous charges verticale 131
Tableau IV.5. Vérification de l'interaction voiles-portiques sous charges horizontales
Tableau IV.6: Déplacements relatifs entre étages 133
Tableau IV.7 : Effet P-Δ suivant x et y
Tableau IV.8 : Effet P- Δ suivant x et y
Tableau IV.6 : Vérification d'effort normal réduit des poteaux 135
Tableau IV.7 : Excentricités entre centre de masse et centre de rigidité 136
Tableau IV.8: Dimensions finales des éléments structuraux 137
CHAPITRE V: ETUDE DES ELEMENT STRUCTURE
Tableau.V.1: Armatures longitudinales minimales et maximales selon le RPA dans les poteaux 141
Tableau.V.2: Sollicitations dans les poteaux
Tableau.V.3: Sections des armatures longitudinales. 147
Tableau.V.4 : Sections des armatures longitudinales adoptées

Tableau V.5. Les Armatures transversale dans les poteaux. 149
Tableau V.6. Justification de l'effort normal ultime et l'effort normal maximum
Tableau V.7. Vérification des contraintes tangentielles dans le poteau. 152
Tableau V.8. Dimensions de la zone nodale. 153
Tableau.V.9 : Les sollicitations de la poutre principale la plus sollicitée
Tableau V.10. Armatures longitudinales dans les poutres. 159
Tableau V.11. Vérification de l'effort tranchant. 161
Tableau V.12. Vérification au cisaillement. 161
Tableau V.13 Vérification de l'état limite de compression du béton. 162
Tableau.V.14 : Les sollicitations du voile le plus sollicité. 168
Tableau V.15. Sollicitations et ferraillage du voile ' $\mathbf{V}\mathbf{x}1 = \mathbf{1.4m}$ dans tous les niveaux
Tableau V.16. Sollicitations et ferraillage du voile ' $\mathbf{V}\mathbf{x}2 = \mathbf{1.8m}$ dans tous les niveaux
Tableau V.15. Sollicitations et ferraillage du voile ' $\mathbf{V}\mathbf{x}3 = \mathbf{1.2m}$ dans tous les niveaux
Tableau V.20. Sollicitations et ferraillage du voile ' $\mathbf{V}\mathbf{x}1 = \mathbf{2.8m}$ dans tous les niveaux
Tableau V.20. Sollicitations et ferraillage du voile ' $\mathbf{V}\mathbf{y}2 = \mathbf{3.33m}$ dans tous les niveaux
CHAPITRES VI: ETUDE LNFRASTRUCTURE
Tableau.VI.1 : Ferraillage de la dalle du radier. 184
Tableau.VI.3 : Vérification des contraintes à l'ELS. 186
Tableau.VI.3 : Vérification des contraintes à l'ELS. 186
Tableau.VI.4 : Ferraillage des nervures du radier. 187
Tableau.VI.5: Vérification des contraintes à l'ELS. 187
Tableau.VI.6: Vérification des contraintes à l'ELS. 187
Tableau.VI.7 : Résultats du ferraillage
Tableau.VI. 8: Vérification des contrainte.

LISTE DES FIGURES

CHAPITRE I: PRESONTATION DE PROJET

Figure.I.1. Situation géographique de notre ouvrage	2
Figure.I.2. Vue en plan du rez-de-chaussée	3
Figure.I.3. Vue en plan des autres étages	4
Figure.I.4. Façade principal.	5
Figure.I.5. Façade postérieure	
Figure.I.6. Dimensions en élévation du bâtiment	6
Figure 7. Diagramme contraintes-déformations du béton	10
Figure 8. Diagramme contrainte – déformation	12
Figure 9. Règle de trois pivots	14
CHAPITRE II: PREDIMENSION DES ELEMENT	
Figure II.1. Coupe transversale d'un plancher à corps creux	18
Figure II.2. Schéma d'une poutrelle	19
Figure II.3. Coupe d'acrotère	24
Figure II.4. Schéma d'un escalier	25
Figure II.5. Schéma statique d'escaliers RDC	26
Figure II.6. Schéma statique d'escaliers EC	27
Figure II.7. Schéma statique de poutre palière	29
FigureII.8. Coupe transversale d'ascenseur	30
Figure II.9. Coupe verticale d'un voile	31
Figure II.10. La surface afférente par le poteau E.	35
CHAPITRE III: ETUDE DEZS ELEMENT SCONDARE	
Figure III.1. Diagramme des moments des appuis pour une poutre à 2 travées	45
Figure III.2. Diagramme des moments des appuis pour une poutre	45
Figure III.3. Diagramme des efforts tranchants pour une poutre à 2 travées	45
Figure III.4. Diagramme des efforts tranchants pour une poutre à 2 travées	45

Figure III.5. Schéma statique de la poutrelle type 1
Figure III.6. Schéma statique de la poutrelle type2
Figure III.7. Schéma de ferraillage appuis de rive
Figure III.8. Schéma de ferraillage appuis INT
Figure III.9. Schéma de ferraillage sur travée
Figure III.10. Schéma de ferraillage de la dalle de compression
Figure III.11. Modèle de calcul de l'acrotère
Figure III.12. La section équivalente de calcul de l'acrotère
Figure III.13. Schéma de ferraillage de l'acrotère
Figure III.14. Schéma statique des escaliers
Figure III.15. Schéma statique à l'ELU
Figure III.16. Schéma statique à l'ELU
Figure III.17. Diagramme Moments fléchissant et efforts tranchants á E.L.U92
Figure III.18. Diagramme Moments fléchissant á E.L.S
Figure III.19. Schéma de ferraillage d'escalier96
Figure III.20. Schéma de ferraillage de la poutre palière
Figure III.21. Schéma de ferraillage du balcon
Figure III.22. Schéma statique et concept d'ascenseur
Figure III.23. Disposition constructive des armatures de l'ascenseur
CHAPITRE IV: ETUDE SISMIQUE
Figure IV.1 : Vue en 2Det 3D du bâtiment
Figure.IV.2 : Comportement de la structure sans voiles.2
Figure.IV.3 : la première disposition des voiles
Figure.IV.4: La deuxième disposition des voiles
Figure IV.5: Spectre de réponse
Figure IV6.: Classification entre système de contreventement avec voiles (RPA99) version2003,,,,,,,,,,,,,,,,,,,,,,,,,,,,,,,,,,,

Figure IV.7 : Présentation de l'effet P- Δ sur la structure
CHAPITRE V: ETUDE DES ELEMENT STRUCTURE
Figure.V.1: La zone nodale
Figure V.2. Ancrage des armatures transversales
Figure.v.3 : Schéma de ferraillage des poteaux 60x60.
Figure.v.4 : Schéma de ferraillage des poteaux 55x55
Figure.V.5 : Schéma de ferraillage des poteaux 50x50
Figure.V.6 : Schéma de ferraillage des poteaux45x45
Figure.V.7 : Schéma de ferraillage des poteaux40x40
Figure.V.8 : Schéma de ferraillage des poteaux35x35
Figure.V.9 : Schéma de ferraillage de la poutre prencipal30x45
Figure.V.10 : Schéma de ferraillage de la poutre principale 30x45
Figure.V.11 : Schéma de ferraillage de la poutre secondaire 30x35
Figure.V.12 : Schéma de ferraillage de la poutre secondaire 30x35
Figure V.13. Schéma de répartitions des voiles2D
Figure.V.14 : Schéma de ferraillage de du voile Vx1 (11éme-12éme)
CHAPITRES VI: ETUDE LNFRASTRUCTURE
Figure.VI.1: Schéma du poinçonnement
Figure.VI.2 : Schéma de ferraillage de radier en travée
Figure.VI. 3 : Schéma de ferraillage de radier en appui
Figure.VI.4 : Schéma de ferraillage des nervures en travée
Figure.VI. 5 : Schéma de ferraillage des nervures en appui
Figures VI.6 : Schéma du voile périphérique.
FigureVI.7: Diagramme des contraintes
Figure VI .8 : Schéma de ferraillage du voile périphérique

Résume:

Ce projet présente une étude détaillée d'un bâtiment à usage d'habitation et commercial constitué d'un RDC et 12 étages ; implante à la wilaya de Alger. Cette région est classée en zone de forte sismicité (III) selon les règles parasismiques algériennes RPA99 version 2003. L'objectif étant le dimensionnement des différents constitutifs du bâtiment pour déterminer le ferraillage approprié pour la résistance de ce dernier aux différentes actions auxquelles il peut être soumis, nous avons du faire appel aux règlements en vigueur notamment le CBA93, le RPA99 /2003 et le BAEL91 /99. L'étude dynamique de la structure faite par le logiciel de calcul ETAPS afin de déterminer les différentes sollicitations dues aux chargements (charge permanentes, d'exploitation et charge sismique). Enfin, dans la dernière partie du mémoire on a fait l'étude et le calcul des fondations.

Summary

This project presents a detailed study of a building for residential and commercial use consisting of a ground floor plus 12 floors; implanted in This region is classified as a zone of (III) according to the Algerian seismic rules RPA99 version 2003. objective being the dimensioning of the various constituents of the building to determine the appropriate reinforcement for the resistance of the latter to the various actions to which it can be subjected, we had to appeal to the regulations in force in particular the CBA93, the RPA99 /2003 and BAEL91/99. The dynamic study of the structure made by the calculation software ETAPS in order to determine the various stresses due to the loads (permanent loads, operating and seismic load). Finally, in the last part of the thesis we studied and calculated the foundations.

ملخص

يقدم هذا المشروع دراسة تفصيلية لمبنى للاستخدام السكني والتجاري يتكون من طابق أرضي و12 طابقا؛ أنشئت في ولاية الجزائر العاصمة. تم تصنيف هذه المنطقة كمنطقة زلزالية عالية (III) حسب القواعد الزلزالية الجزائرية RPA99 في 2003. الهدف هو تحديد أبعاد المكونات المختلفة للمبنى لتحديد التعزيز المناسب لمقاومة الأخيرة لمختلف الإجراءات والتي يمكن تقديمها، كان علينا الاعتماد على اللوائح المعمول بها ولا سيما CBA93، وRPA99/2003، وRPA99/2003 وRPA99/2003 وRPA99/2003 و المختلفة ولا سيما BAEL91/93. الدراسة الديناميكية للهيكل التي تم إجراؤها بواسطة برنامج حساب BAEL91/93 لتحديد الضغوطات المختلفة الناتجة عن التحميل (الحمل الدائم، حمل التشغيل، الحمل الزلزالي). وأخيرا، في الجزء الأخير من الأطروحة قمنا بدراسة وحساب الأسس.

INTRODUCTION GENERALE

Introduction Générale:

Le Génie civil est l'ensemble des arts et techniques de construction conduisant à la réalisation de tout ouvrage lié au sol qu'on peut regrouper en deux grandes catégories, les travaux publics qui sont des ouvrages de construction d'utilité générale, et les bâtiments qui s'apprêtent à abriter des vies humaines.

Le phénomène sismique est toujours le souci de l'ingénieur en génie civil car il est difficile d'apprécier le risque sismique tant la prévision est incertaine et leur apparition aléatoire, Le danger de ce dernier varie d'un endroit à un autre selon la sismicité du lieu.

Pour cella on ne doit pas ce contenté d'appliquer uniquement les règlements, mais on doit impérativement comprendre les facteurs déterminants le comportement dynamique de la structure afin de mieux prévoir sa réponse sismique à un niveau d'accélération donnée.

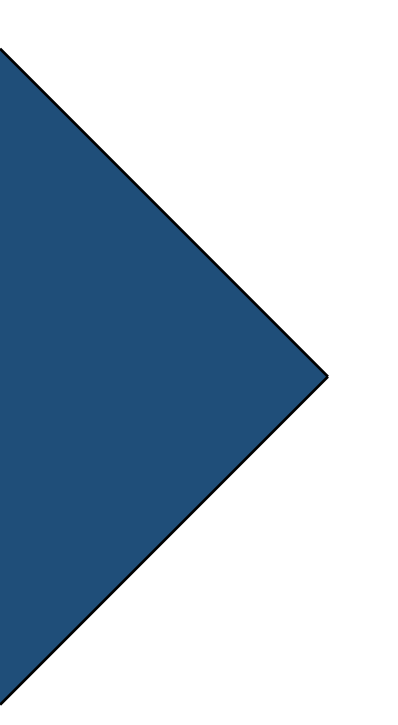
Les différentes études et règlements préconisent des divers systèmes de contreventement visant à minimiser les déplacements et à limiter les risques de torsion tout en assurant une bonne dissipation des efforts. Le choix d'un système de contreventement est fonction de certaines considérations à savoir la hauteur du bâtiment, son usage, ainsi que la capacité portante du sol.

Ce travail consiste à l'étude d'un bâtiment (R+12) à usage d'habitation et commercial qui sera implanté à la wilaya de Alger région correspondant à la zone (III), zone forte sismicité selon le dernier Règlements Parasismiques Algériens RPA 99 version 2003.

Le travail a été partagé en deux parties principales :

- La première partie réservée à la superstructure, qui contient :
- La présentation du projet (lieu d'implantation, caractéristiques géométriques, données géotechniques du site d'implantation, caractéristiques des matériaux utilisés, etc.).
- Pré dimensionnement des éléments secondaires (planchers, escaliers, acrotère et balcon) et principaux (poteaux, poutres et voiles).
- Etude des éléments secondaires (l'acrotère, l'escalier, les planchers et les balcons).
- La modélisation modèle 3D à l'aide d'un logiciel ETAPS2020 de calcul et à l'étude sismique conformément aux règles parasismiques algériennes (RPA99/V2003), afin de déterminer les différentes sollicitations dues aux chargements (charge permanentes, d'exploitation et charge sismique)
- Le calcul de ferraillage des différents éléments résistants de la structure (poteaux, poutres, voiles)
- La deuxième partie sera consacrée à l'étude de l'infrastructure :
- Etude des fondations. Enfin, notre travail s'achèvera par une conclusion générale ou on a résumé les conclusions principales des résultats obtenus dans le cadre de cette étude.

L'étude de ce bâtiment se fait tout en respectant les réglementations et recommandations en vigueur à savoir (CBA93, BAEL91, RPA99 version 2003 et les différents DTR).



CHAPITER I

PRESENTATION DU PROJET

I.1. INTRODUCTION:

Pour qu'une étude de génie civil soit réalisée correctement, il est indispensable de connaître les caractéristiques géométriques de la structure ainsi que les propriétés mécaniques des matériaux employés. Ce premier chapitre est consacré à cet objectif.

I.2. PRESENTATION GENERALE:

Notre étude porte sur le dimensionnement et le calcul aux séismes d'un bâtiment appartenant au projet présenté plus haut. Ce bâtiment bi fonctionnel qui regroupe commerce et logements d'habitation se compose d'un **RDC** (bureau) et **12 étages identiques** (R+12).

L'ouvrage est implanté la wilaya Alger. Ce projet de fin d'étude s'intitule : « Etude d'une Tour (R+12) à usage multiples ».



Figure.I.1. Situation géographique de notre ouvrage.

I.3. DONNEES DU SITE:

Le bâtiment est implanté dans une zone classée par le RPA 99/version 2003 comme :

- Une zone de sismicité forte (zone III).
- L'ouvrage appartient au groupe d'usage 2.
- Le site est considéré comme : rocheux
- Contrainte admissible du sol =2 bars.

I.4. DESCRIPTION DE L'OUVRAGE :

I.4.1. CARACTERISTIQUES GEOMETRIQUES:

Les dimensions de l'ouvrage sont :

• Longueur totale du Bâtiment : **26.7 m**

• Largeur totale du bâtiment : 9.5 m

• Hauteur totale du bâtiment : **40.12 m**

• Hauteur du RDC : **3.4 m**

• Hauteur d'étage : 3,06 m

• I.4.2. LES PLANS D'ARCHITECTURE :

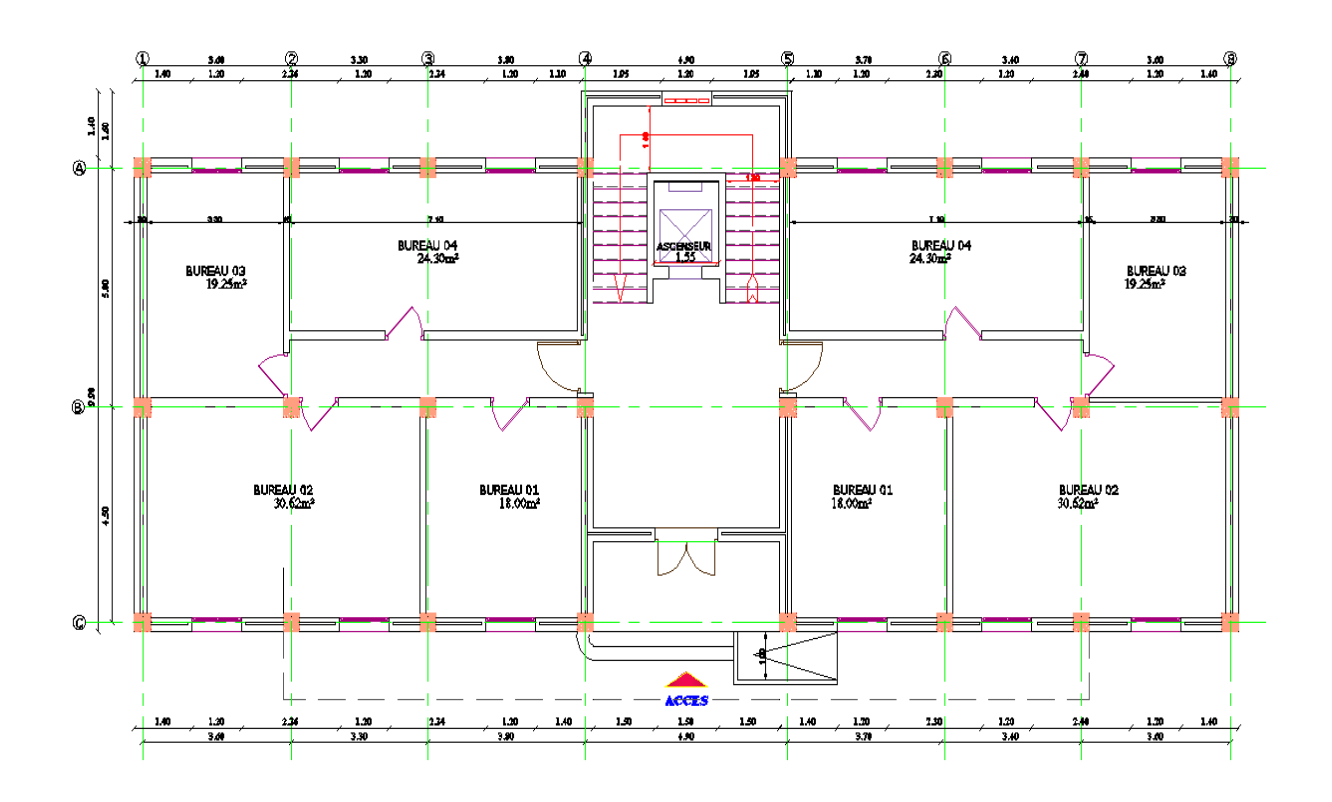


Figure.I.2. Vue en plan du rez-de-chaussée.

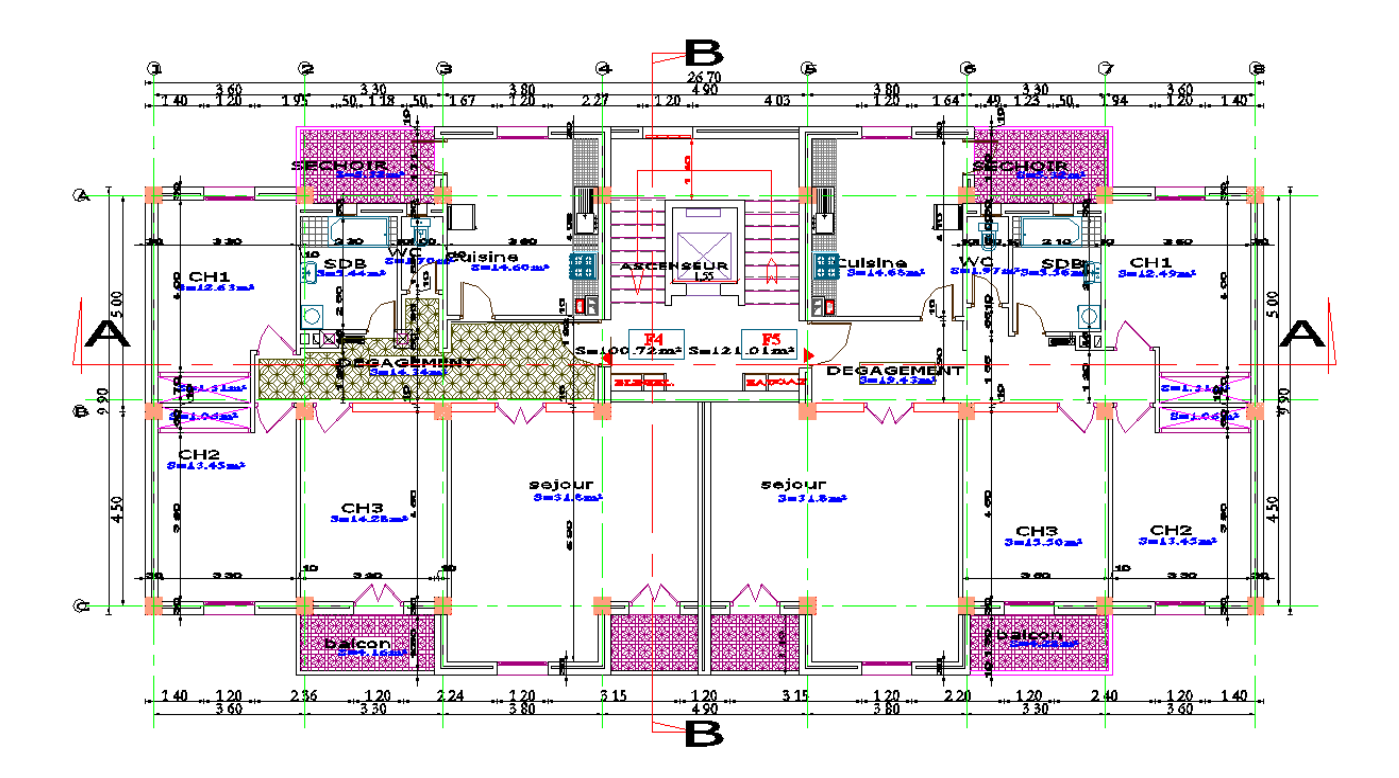


Figure.I.3. Vue en plan des autres étages



Figure.I.4. Façade principal

Figure.I.5. Façade postérieure

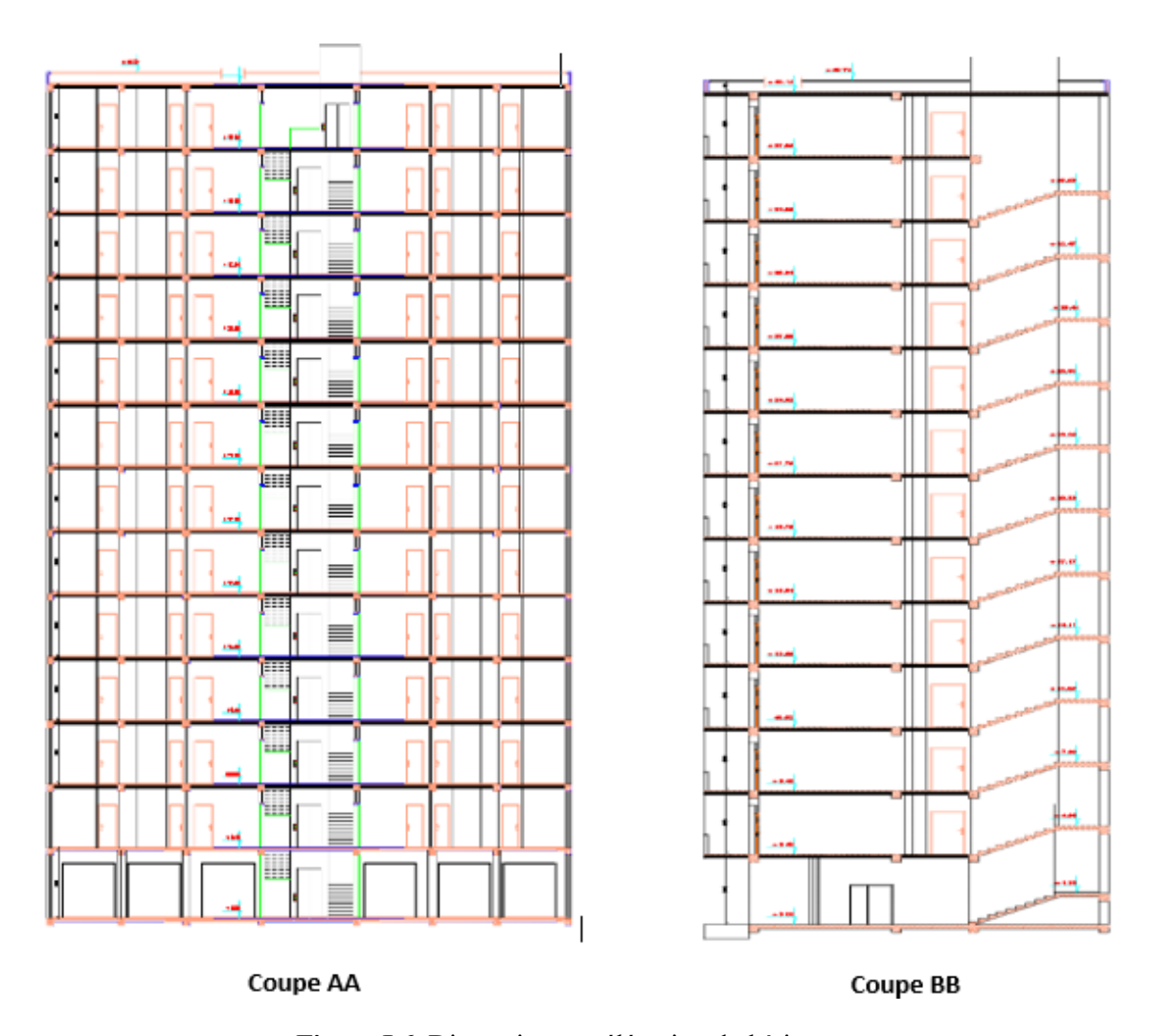


Figure.I.6. Dimensions en élévation du bâtiment

I.5. L'OSSATURE:

La stabilité transversale et longitudinale de ce bâtiment est assurée par des portiques auto stables construits de poutres et de poteaux encastrés les unes dans les autres et des voiles de contreventement permettant ainsi une bonne rigidité de l'ouvrage capable de reprendre les efforts horizontaux et verticaux.

I.6. ELEMENTS DE L'OUVRAGE:

I.6.1. PLANCHERS:

Les planchers sont des éléments horizontaux dits "diaphragme" qui assurent la fonctionnalité de l'ouvrage et qui permet la transmission des efforts aux éléments de contreventement.

- Un plancher doit être résistant aux charges verticales et horizontales.
- Un plancher doit assurer une isolation phonique et thermique des différents étages.

Pour notre cas, le plancher est de type corps creux d'épaisseur 21 cm (16+5) avec poutrelles coulées sur place et dalle de compression de 5 cm d'épaisseur.

I.6.2. ESCALIER:

Le bâtiment est muni d'une cage d'escalier, composée d'un palier et de paillasse, réalisés en béton armé coulé sur place

I.6.3. BALCONS:

Les balcons seront réalisés en corps creux et dalles pleines.

I.6.4. ACROTERE:

Comme la terrasse est inaccessible, le dernier niveau du bâtiment est entouré d'un acrotère en béton armé de **60 cm** de hauteur et de 10 cm d'épaisseur.

I.6.5. MAÇONNERIE:

- Les murs extérieurs : Constitués d'une double paroi en briques (10 cm et 15 cm d'épaisseur) séparées par une l'âme d'air de 5 cm d'épaisseur (15+5+10).
- Les murs de séparations intérieurs : Constitués par une seule paroi de briques creuse de 10 cm d'épaisseur.

I.6.6. TERRASSE:

La terrasse est inaccessible, et l'étanchéité du plancher terrasse est assuré par une forme de pente et système en multicouches

I.6.7. ASCENSEUR:

C'est un appareil automatique élévateur installé, comportant une cabine dont les dimensions et la constitution permettant l'accès des personnes et de matériels aux différents niveaux du bâtiment. Dans notre structure on utilise un ascenseur pour 8 personnes.

I.7. REVETEMENT:

Le revêtement de la structure est constitué par :

- Enduit en plâtre pour les plafonds.
- Enduit en ciment pour les murs extérieurs et les cloisons.
- Revêtement en carrelage pour les planchers.
- Faïence recouvrant tous les murs dans les salles d'eau ainsi que les cuisines.

• Le plancher terrasse sera recouvert par une étanchéité multicouche imperméable évitant la pénétration des eaux pluviales.

I.8. ISOLATION:

L'isolation acoustique est assurée par le vide de corps creux et la masse du plancher, par contre au niveau des murs extérieurs l'isolation est assurée par le vide d'air entre les deux parois qui compose se dernier, et par la minimisation des ponts thermique en cour de réalisation.

I.9. REGLES DE CALCUL:

On utilise pour le calcul de Ce projet les règlements suivants :

- Règles Parasismique Algérienne (RPA99 version 2003)[1].
- Charges permanentes et charges d'exploitations (DTR-BC.2.2) [4].
- Règles Techniques de Conception et de Calcul des Ouvrages et Constructions en Béton Armé suivant la Méthode des États Limites (BAEL 91 modifiée en 99) [2].
- Règles de calcul du béton armé Algérien (CBA93) [3].

I.10. METHODOLOGIE DE CALCUL

La méthodologie adoptée s'articule autour des points suivants :

- Etablissement d'un modèle numérique de calcul tridimensionnel en Élément finis de la structure par le logiciel **ETAPS 2020**.
- Définition des différentes charges statiques G et Q.
- Calculs et vérifications selon le BAEL91 et le RPA99 version2003.

I.11. CARACTERISTIQUES MECANIQUES DES MATERIAUX

Le béton armé se compose de béton et d'armatures. La présence des armatures est indispensable pour reprendre les charges horizontales mais aussi les efforts de traction et cisaillement vu que le béton a une faible résistance vis-à-vis de ce genre de sollicitation contrairement à sa résistance à la compression. Donc l'association de ces deux matériaux résulte en un matériau composite dans lequel chacun répond au mieux aux sollicitations auxquelles il est soumis.

1.11.1. LE BETON:

Le béton est un matériau constitué par le mélange dans des proportions convenables, de ciment, de granulats (graviers, sable), les adjuvants et de l'eau.

Le rôle fondamental du béton dans une structure est de reprendre les efforts de compression qui seront développés. Le ciment utilisé est le CPA 325 avec un dosage de 350kg/m3.

La résistance du béton dépend d'un grand nombre de paramètres : le type et le dosage des matériaux utilisés, le degré et la condition de réalisation etc.

Par exemple Pour 1m³ il nous faut :

- ❖ 350 kg du ciment (CPA-325, CRS).
- ❖ 400 litres de sable « D \leq 5mm ».
- 800 litres de gravier « $10 \text{mm} \le D \le 30 \text{ mm}$ ».
- ❖ 180 litres de l'eau de gâchage.

Le béton ordinaire est constitué en générale de :

- ✓ Pate pure : (Ciment, eau et air)
- ✓ Granulats : (Sable, gravillons)
- ✓ Produits d'addition éventuels (Adjuvants)

Résistance du béton :

a- Résistance à la compression :

La résistance caractéristique à la compression du béton f_{cj} à j jours d'âge est déterminée à partir d'essais sur des éprouvettes cylindriques normalisées de 16 cm de diamètre et de 32cm de hauteur. Le plus souvent la résistance est mesurée à l'Age de 28 jours fc_{28} .

Selon les règles de CBA93[3]. la résistance du béton à la compression peut être estimée suivant la loi :

$$j < 28 jours \begin{cases} f_{cj} = \frac{j}{4,76 + 0,83j} \times f_{c28} & \text{pour } f \leq 40 \text{MPa} \\ f_{cj} = \frac{j}{1,4 + 0,95j} \times f_{c28} & \text{pour } f > 40 \text{MPa} \end{cases}$$

$$f_{cj} = f_{c28}$$
 pour j > 28 jours

La réalisation du projet en étude fait normalement l'objet d'un contrôle régulier, Dans ce projet on adopte : f_{c28} =25MPA

b- Résistance du béton à la traction(CBA.93 Art A. 2.1.1.2)[3] :

Généralement le béton est un matériau travaillant bien en compression avec une mauvaise résistance à la traction, mais on a parfois besoin de connaître la résistance en traction. La résistance en traction à 28 jours est désignée par f t28

La résistance caractéristique à la traction du béton à (j) jours désignée $parf_{tj}$ est conventionnellement définie par la relation :

$$f_{tj}$$
==0.6+0.06 f_{cj}
pour f_{cj} \le 60MPA
$$f_{c28}$$
 =25MPA donc f_{t28} =2.1 MPA

C- Module de déformation longitudinale du béton (BAEL91.Art A.2.1. 21) [2] :

Sous des contraintes normales d'une durée d'application inférieure à 24 heures, on admet à défaut des mesures qu'à l'âge de (j) jours le module de déformation longitudinale instantanée du béton (E_{ij}) est égale.

$$E_{ij} = 11000\sqrt[3]{(fcj)}$$
 donc : $E_{ij} = 32164,2MPA$

Les déformations différées du béton module de déformation différée (E_{vj}) correspondant à des charges de longue durée d'application (réglementairement plus de 24 comprennent le retrait et le fluage. Le heures) est :

$$E_{vj} = 3700\sqrt[3]{(fcj)}$$
 donc : $E_{vj} \approx 10819$ MPa

d- Module de poisson :(Art A-2.1.3 BAEL91) [2] :

 ν =0.2 Pour la justification aux ELS

 ν =0 Pour la justification aux ELU

> Contrainte limite du béton (CBA93) [3] :

***** Etat limite ultime :

Dans les calculs relatifs à l'état limite ultime de résistance on utilise pour le béton Un diagramme conventionnel dit (parabole-rectangle)

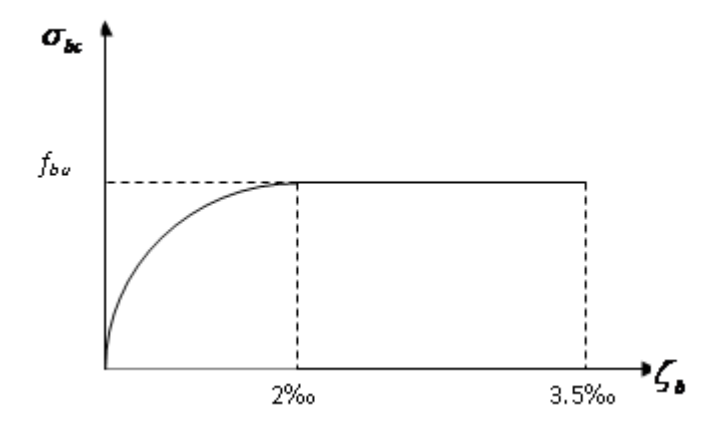


Figure 7. Diagramme contraintes-déformations du béton.

La Contrainte ultime du béton en compression (Art A-4. 3.4 BAEL91) [2] :

$$f_{bu} = 0.85 \times \frac{f_{c28}}{\theta \gamma_b}$$

Avec:

- \triangleright f_{bu} : contrainte limite ultime de compression.
- $\triangleright \gamma_h$: coefficient de sécurité.
- ho γ_b =1,15 « pour les situations accidentelles ». Donc : f_{bu} := 18.48MPA.
- ρ γ_b =1.50 « pour les situations durables ». Donc : f_{bu} = 14.16 MPA.
- > 0,85 : coefficient de minoration de la résistance du béton tenant compte de l'influence défavorable de la durée d'application de la charge et de la condition de bétonnage.
- \triangleright θ : dépend de la durée d'application des charges.
 - $\theta=1$: lorsque la durée probable d'application des charges considérées est $>24\mathrm{h}$
 - $\theta = 0.9$: lorsque cette durée est comprise entre 1 heure et 24 heures.
 - $\theta = 0.85$: lorsqu'elle est < 1 heure.

Let tal limite de service CBA 93[3] :

- Contrainte admissible de compression dans le béton CBA 93[3] :

$$\overline{\sigma_{bc}} = 0.6 f_{c28} = 15 MPa$$

- Contrainte ultime du béton au cisaillement : BAEL91 (A.5.1.2) [2] :

$$\bar{\tau}$$
= Min $\left(\frac{0.20 \text{ x } f \text{c} 28}{\gamma_b}\right)$; 5 MPA Si: la fissuration est non ou peu préjudiciable.

$$\bar{\tau} = \text{Min} \left(\frac{0.15 \times fc28}{\gamma_b} ; 4 \text{ MPA} \right)$$
 Si: la fissuration est préjudiciable ou très préjudiciable.

I.11.2. L'ACIER :

Les armatures pour béton armé sont constituées par des aciers qui se distinguent Par leur nuance et leur état de surface « barres lisses et a haute adhérence ». Ces aciers sont livrés en barres de 12m à 15m avec des diamètres qui varient de : « 6, 8, 10, 12, 14, 16, 20, 25, 32, 40 ».

On définit la résistance caractéristique de l'acier comme étant sa limite d'élasticité Dans notre projet on utilise l'acier Fe E400

- Les caractéristiques des aciers utiles pour la justification d'une section sont:(Art A-2.2.1 BAEL91) [2]:
 - La limite d'élasticité « fe ».
 - Le diagramme « contraintes-déformations ».

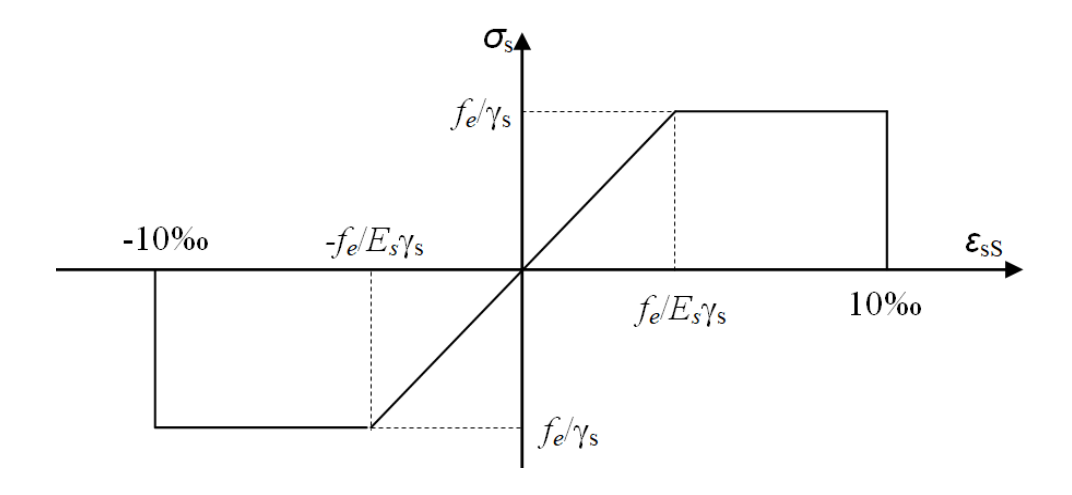


Figure 8. Diagramme contrainte – déformation

Ce diagramme se compose :

- De la loi de « Hook » de pente Es=200000MPA « module d'élasticité longitudinale ».
- D'un palier horizontal d'ordonnée : $f_e /_{\gamma_s}$
- Contrainte limite de calcul :
- L'E.L. U: On à: σs = fe / γs.

 f_e : Limite d'élasticité.

 γ_s : Coefficient de sécurité.

 γ_s : 1,15 dans les cas courants.

 γ_s : 1,10 dans les cas accidentels.

❖ L'E.L. S:

La contrainte de traction des armatures est limitée à certaines valeurs dans différent cas :

• Fissuration peu nuisible (Art A-4.5.32 BAEL91) [2] :

Aucune vérification n'est requise.

$$\overline{\sigma_{st}}$$
= fe

• Fissuration préjudiciable (Art A-4.5.33 BAEL91) [2] :

$$\bar{\sigma_s} = \min(\frac{2}{3} \text{ fe, } 110\sqrt{\eta \times f_{tj}})$$

• Fissuration très préjudiciable (Art A-4.5.34 BAEL91[2] :

$$\overline{\sigma_s} \ = min \ (\frac{1}{2} \ fe, 90 \sqrt{\eta \times f_{tj}})$$

Avec η : Coefficient de fissuration.

 η = 1 pour les ronds lisses.

 η =1,6 pour les hautes adhérences.

> L'allongement relatif de l'acier :

On
$$\hat{a}$$
: $\epsilon_s = (fe / \gamma_s) / Es$

Avec: Es module d'élasticité longitudinale « Es=200000MPA »

I.12. HYPOTHESES DE CALCUL DES SECTIONS EN BETON ARMÉ :

E.L.S:

- Les sections droites restent planes, et il n'y a pas de glissement relatif entre les armatures et le béton.
- La résistance de traction de béton est négligée.
- Le béton et l'acier sont considérés comme des matériaux linéairement élastiques.
- Le rapport des modules d'élasticités longitudinaux de l'acier et de béton est pris égal

à 15 (n=
$$\frac{E_s}{E_b}$$
), n : est appelé coefficient d'équivalence (C.B.A.93.art.A.4.5.1).

► E.L. U:

- Les sections droites restent planes, et il n'y a pas de glissement relatif entre les armatures et le béton.
- Le béton tendu est négligé.
- Le raccourcissement relatif de l'acier est limite à : 10%.
- Le raccourcissement ultime du béton est limité à

$$\varepsilon_{bc} = 3.5$$
 %.....en flexion

$$\varepsilon_{bc} = 2 \%$$
en compression centrée

• La règle des trois pivots qui consiste à supposer que le domaine de sécurité est défini par un diagramme des déformations passant par l'un des trois pivots A, B ou C définis par la figure 4

Tel que:

 ${\bf A}$: correspond à un allongement de 10×10^{-3} de l'armature la plus tendue, supposée concentrée.

B: correspond à un raccourcissement de 3.5×10⁻³ du béton de la fibre la plus comprimée.

 \mathbf{C} : correspond à un raccourcissement de 2×10^{-3} du béton de la fibre située à 3/7h de la fibre la plus comprimée.

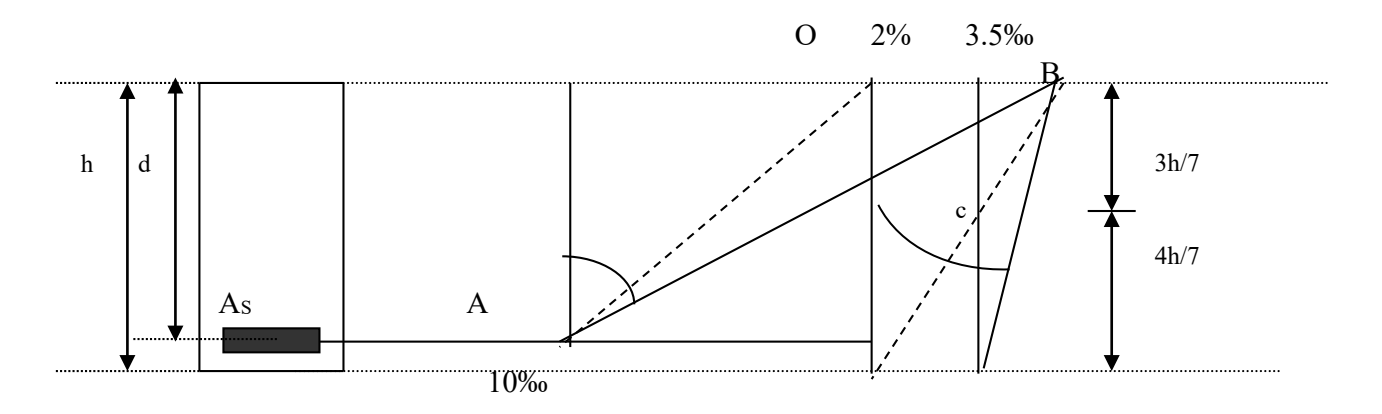


Figure 9. Règle de trois pivots

I.13. PRESENTATION DE LA METHODE DE CALCUL AUX ETATS LIMITES :

Un état limite est un état au de la duquel la structure, ou l'élément de la structure, estimés hors services, c'est –à- dire ne dépend plus des fonctions pour lesquelles elle a écoconçue.

- Les états limites se classent en deux catégories :

I.13.1. Les états limites ultimes :

Correspondant à la perte d'équilibre statique « basculement » à la perte de stabilité de forme « flambement » et surtout à la perte de résistance « rupture » qui conduisent à la ruine de l'ouvrage.

I.13.2. Les états limites de service :

Etas limites au service de la du quels ne sont plus satisfaites les conditions normales d'exploitation et de durabilité, qui comprennent les états limites de fissuration et de déformation.

I.14. ACTIONS ET SOLLICITATIONS:

I.14.1. Actions:

a- Actions permanentes:

Ces actions représentées par « G » sont celles dons l'intensité est constante, ou très peu variable dans le temps, elles comprennent :

- Le poids propre de la structure.
- Le poids des équipements fixe, tels que les cloisons dans les bâtiments et les machines dans les constructions industrielles.
 - Les poussés et les pressions des terres.

Les déformations imposées à la construction « retrait tassement différentiels les appuis ».

b- Actions variables:

Ces actions représentées par « \mathbf{Q} » sont celles dont l'intensité varie fréquemment et de façon importante dans le temps, elles comprennent :

- > Les charges d'exploitations.
- Les charges climatique « vent et neige ».
- Les charges appliquées en cours d'exécution.
- > Les effets dus à la température.

c- Actions accidentelles:

- Séismes.
- > Effet des chocs « explosion ».

I.14.2. Sollicitations:

Les sollicitations sont les efforts provoqués, en charge point et sur chaque section de la structure par les actions qui s'exercent sur elle, elles sont exprimées sous forme de forces :

- Effort normal: N.
- Effort tranchant: V.
- Moment fléchissant : M.
- Couple de torsion : T

➤ Principe et justification : (Article A-3-3 BAEL 91) page 23-24-25 [2] :

Les justifications produites doivent montrer pour les divers éléments constitutifs et pour l'ensemble de la structure, que les sollicitations de calcul définis dans la suite ne provoquent pas le phénomène qu'on vent éviter.

> Sollicitations de calcul vis-à-vis des états limites :

✓ Etat limite ultime :

Les sollicitations de calcul sont déterminées à partir de la combinaison d'action suivante :

$$1,35 G + 1,5 Q.$$

✓ Etat limite de service :

Combinaison d'action suivante :

$$G + Q$$

S'il y a intervention des efforts horizontaux dus au séisme, les règles parasismiques Algériennes a prévu des combinaisons d'action suivantes :

 $G+Q\pm E$ avec : G : charge permanente.

 $G+Q\pm 1,2$ E avec : Q : charge d'exploitation.

0,8 G±E avec : E : effort de séisme.

Le tableau ci-dessous récapitulatif les différentes caractéristiques de béton armé utilisé :

Tableau.I.1 : caractéristiques de béton armé utilisé.

F _{c28} (MPA)	F _{t28} (MPA)	E _{ij} (MPA)	E _{vj} (MPA)	γ_b	σ_b (MPA)	E (MPA)	γ_s	σ _s (MPA)	σ _{st} (MPA)
25	2.1	32164,2	10818,86	1.5	14.2	2.10 ⁵	1.15	348	201.63

I.15. CONCLUSION

Dans ce chapitre nous avons cité toute la caractéristique des matériaux (béton-acier), les dimensions du notre projet, la situation géographique avec le zonage de la wilaya, les règlements et les hypothèses de calculs.



II .1 Introduction:

Le pré dimensionnement a pour but de déterminer l'ordre de grandeur du point de vue coffrage des différents éléments résistants. Ces dimensions sont choisies selon les préconisations suivantes :

- RPA 99/Version 2003
- BAEL 91 modifié 99
- CBA 93
- D.T.R.B.C.2.2, charges permanentes et charges d'exploitations.

Les résultats obtenus ne sont pas définitifs. Ils peuvent être augmentés où diminuer après vérifications dans la phase de dimensionnement.

II .2 Pré dimensionnement des éléments non structuraux :

II .2.1 Planchers:

Le plancher est une séparation entre deux niveaux qui transmet les charges et les surcharge qui lui sont directement appliquées aux éléments porteurs tout en assurant des fonctions de confort comme l'isolation phonique, thermique et l'étanchéité des niveaux extrêmes.

Dans notre projet on trouve:

- Plancher à corps creux.
- Plancher à dalle pleine.

II .2.1. Planchers à corps creux :

Les planchers en corps creux sont composés d'hourdis, de poutrelles et d'une dalle de compression.

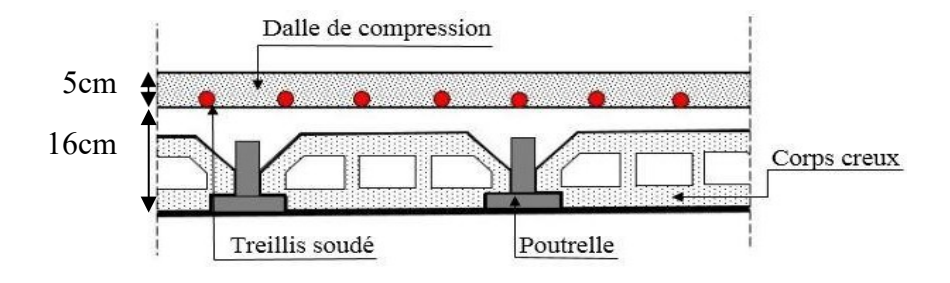


Figure II.1. Coupe transversale d'un plancher à corps creux

Le pré dimensionnement du plancher se fait par la vérification de la condition de rigidité suivante :

$$h_t \ge \frac{Lmax}{22.5}$$
.....[CBA93] (Article B.6.8.4.2.4)[3].

Avec:

 L_{max} : la distance maximale entre nue d'appuis dans le sens de disposition des poutrelles

 h_t : hauteur totale de plancher. Si on suppose des poutres de 40 cm de largeur, alors :

$$L_{max} = 490 - 40 = 450$$

$$h_t \ge \frac{450}{22.5} = 20$$

Donc on adoptera des planchers à corps creux de 21 cm soit 16+5:

- Hauteur de corps creux : h = 16 cm.
- Hauteur de dalle de compression : $h_0 = 5$ cm.

a) Pré dimensionnement des poutrelles :

Les poutrelles sont calculées comme des sections en T (solidaires avec la dalle de compression)

 h_t : Hauteur totale de la poutrelle (hauteur du plancher)

 h_0 : Hauteur de la dalle de compression

 b_0 : Largeur de la nervure, choisie forfaitairement

B: Largeur efficace

Le dimensionnement se fait selon les règles mises en œuvre par le CBA 93 (A.4.1.3) :

$$h_t = 21 \text{ cm}$$

$$b_0 = (0.4 \text{ a } 0.8)\text{ht} = (8 \text{ à } 16)$$

Soit
$$b_0 = 10$$
cm

$$b_1 \ge \min\left(\frac{Lx}{2}; \frac{Ly}{10}\right)$$

$$L_X = 65 - 10 = 55cm$$

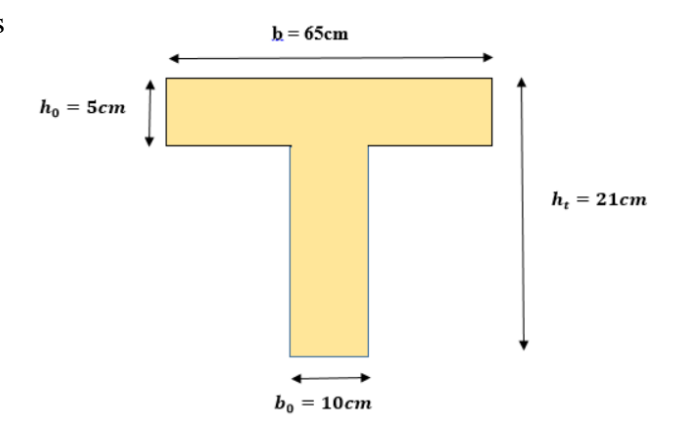


Figure II.2. Schéma d'une poutrelle.

$$L_{\rm Y} = 490 - 40 = 450 cm$$

 L_X : Distance entre nus de deux poutrelles.

 $L_{\rm Y}$: La distance minimale d'une travée dans le sens parallèle aux poutrelles

$$b_1 \le \min(\frac{55}{2}; \frac{450}{10}) = \min(27.5; 38.5) \text{ cm} \text{ donc } b_1 = 27.5 \text{ cm}$$

$$b_1 = 2b_1 + b_0 = 2 \times (27.5) + 10 = 65$$
cm

$$b_1 = 65 \text{ cm}$$

II.2.1.2 Dalles pleines:

Le dimensionnement d'un plancher à dalle pleine revient à déterminer son épaisseur (e) qui dépend du nombre d'appuis sur lesquelles repose cette dernière.

L'épaisseur des dalles est déterminée à partir des conditions ci-après :

a) Résistance au feu :

- ightharpoonup e \geq 7cm. Pour une heure de coupe-feu.
- ightharpoonup e \geq 11cm.Pour deux heures de coupe-feu.
- \triangleright e \ge 17,5cm Pour quatre heures de coupe-feu.
- \triangleright Dans notre projet on prend e = 15 cm

b) Isolation phonique:

Selon les règles techniques du **CBA 93[3]**, l'épaisseur du plancher doit être supérieure ou égale à **13cm** pour obtenir une bonne isolation acoustique. Nous limitons donc noter épaisseur à 14 cm

c) Résistance à la flexion :

Les conditions qui doivent vérifier selon le nombre des appuis sont les suivantes :

$$\frac{Lx}{35} \le e \le \frac{Lx}{30}$$
..... pour une dalle sur deux appuis

$$e \ge \frac{Lx}{20}$$
 pour une dalle sur un seul appuis

$$\frac{Lx}{50} \le e \le \frac{Lx}{40}$$
..... pour une dalle sur trois ou quatre appuis

d) Critère de résistance :

Si $\alpha = \frac{Lx}{Lx} < 0.4$ la dalle porte suivant sa petite portée uniquement et son calcul se fera comme pour une **poutre de 1 mètre de largeur**.

Si $\alpha = \frac{Lx}{Ly} > 0.4$ La dalle porte suivant les 2 directions x et y, et c'est le cas pour lequel on pré dimensionne les planchers

Avec:

l x : petite portée du plancher.

ly: grande portée du plancher.

Dans tous les cas on a :

✓ Dalle pleine portant dans deux directions ($\frac{Lx}{Ly} > 0.4$):

Travée isostatique : $\frac{Lx}{40} \le h_0 \le \frac{Lx}{25}$

Travée hyperstatique : $\frac{Lx}{50} \le h_0 \le \frac{Lx}{35}$

✓ Dalle pleine portant dans une direction ($\frac{Lx}{Ly}$ < 0.4):

Travée isostatique : $\frac{Lx}{30} \le h_0 \le \frac{Lx}{20}$

Travée hyperstatique : $\frac{Lx}{35} \le h_0 \le \frac{Lx}{25}$

Lx : étant la plus petite portée de panneau le plus sollicité (cas le plus défavorable)

Dans notre cas les dalles reposant sur quatre appuis ont une portée .

$$L_x = 1,40 \text{ m}$$

$$L_{\rm V} = 3.00 \, \rm m$$

 $\alpha = \frac{Lx}{Ly} = \frac{140}{300} = 0,466 > 0,4$ donc la dalle travail dans deux direction.

Alors la dalle est reposée sur quatre appuis :

$$\frac{\mathit{Lx}}{30} \leq h_0 \leq \, \frac{\mathit{Lx}}{20} = \frac{140}{30} \leq h_0 \leq \, \frac{140}{20} = 4,66 \leq h_0 \leq 7.$$

Finalement et d'après les conditions ci-dessus on prend : $h_0 = 15$ cm.

II.2.2 Evaluation des charges et surcharges sur les planchers :

Plancher terrasse inaccessible :

Tableau II.1. Évaluation des charges revenant au plancher terrasse inaccessible

N°	Désignation	e(m)	$\gamma(N/m^3)$	Charge (N/ m ²)		
1	Gravillon de protection	0,05	20000	1000		
2	Etanchéité multicouches	0,02	6000	120		
3	Forme de pente	0,1	22000	2200		
4	Isolation thermique	0,04	4000	160		
5	Dalle à corps creux	0,21	14000	2940		
6	Enduit en plâtre	0,02	10000	200		
	Charge permanente totale G _T =6620					
	Surcharge d'e	$Q_T = 1000$				

❖ Plancher étage courant et Bureau :

Tableau II.2. Évaluation des charges revenant au plancher étage courant, bureau

N°	Désignation	e(m)	$\gamma(N/m^3)$	Charge (N/ m ²)
1	Cloison en brique	0,1	9000	900
2	Carrelage	0,02	22000	440
3	Mortier de pose	0,02	20000	400
4	Couche de sable	0,03	18000	540
5	Plancher à corps creux	0,21	14000	2940
6	Enduit en plater	0,02	10000	200
	Charge perma	G _T =5420		
	Surcharge d'explo	$Q_T = 1500$		
	Surcharge d'expl	$Q_T = 2500$		

A Balcons:

Tableau II.3. Évaluation des charges revenant aux balcons (e=15) en dalle pleine

N°	Désignation	e(m)	$\gamma(N/m^3)$	Charge (N/ m ²)
1	Carrelage	0,02	22000	440
2	Mortier de pose	0,02	20000	400
3	Lit de sable	0,03	18000	540
4	Dalle	0,15	25000	3750
6	Enduit en plâtre	0,02	10000	200
	Charge perman		$G_T = 5330$	
Surcharge d'exploitation				$Q_T = 3500$

Cloisons extérieures :

TableauII.4. Charge permanente de cloisons extérieures.

N°	Désignation	e(m)	$\gamma(N/m^3)$	Charge (N/ m ²)
1	Enduit de ciment	0,02	18000	360
	(extérieur)			
2	Brique creux de 15	0,15	9000	1350
3	Lame d'air	0,05	-	-
4	Brique creux de 10	0,1	9000	900
6	Enduit en plâtre	0,02	10000	200
	(intérieure)			
	Charge permanen	G _T =2810		

II.2.3 l'acrotère (terrasse inaccessible) :

C'est un élément en béton armé, encastré au niveau du plancher terrasse ayant un rôle d'empêcher l'infiltration des eaux pluviales entre la forme de pente et le plancher terrasse, ces dimensions sont mentionnées dans la figure

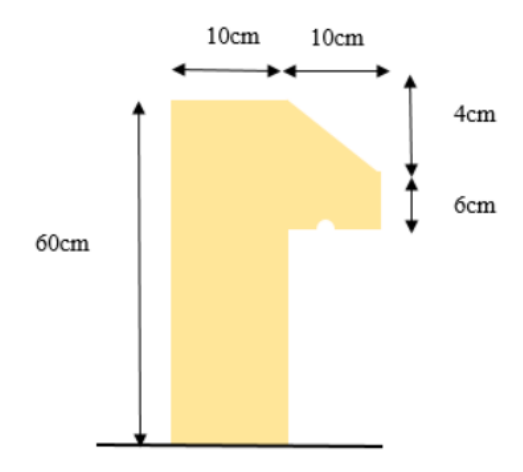


Figure II.3. Coupe de l'acrotère

Tableau II.5. Évaluation des charges revenant à l'acrotère

Désignation des	Epaisseur	Surface	Densité	Poids					
éléments	(cm)	(m²)	(KN/m^3)	(KN/ml)					
Poids propre									
de l'acrotère	10	0,068	25	1,7					
ВН									
Enduit de	2	0,2	2	0,4					
ciment									
Charge		$G_T=2$	1KN/ml						
permanente									
Charge	Q = 1kN/ml								
d'exploitation									

II.2.4 Les escaliers :

Les escaliers sont des éléments composés d'une succession des marches permettant le passage d'un niveau à un autre, elles seront en béton armé, métallique ou en bois, dans notre cas elles seront réalisées en béton coulé sur place. Les différents éléments constituant un escalier sont illustres dans la figure suivant :

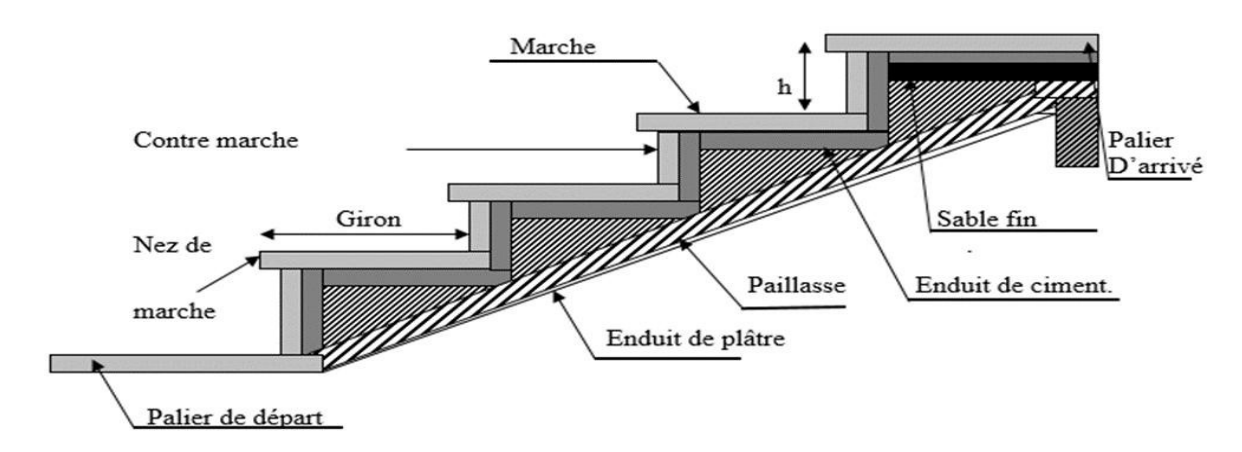


Figure II.4. Schéma d'un escalier.

Dans notre projet on a un type d'escalier :

Type: escalier a une seul vole pour le RDC.

II.2.4.1 Pré dimensionnement des escaliers :

Pour qu'un escalier garantisse sa fonction dans les meilleures conditions de confort. On doitvérifier les conditions suivantes :

- La hauteur h des contremarches entre 14 et 18 cm.
- La largeur g (giron) entre 25 et 32 cm.
- La formule empirique de **BLONDEL** : $59 \text{cm} \le 2h + g \le 64 \text{cm}$.

$$- g = \frac{L0}{n-1} \quad \text{et} \quad h = \frac{H}{n}$$

avec:

- H : hauteur de la volée.
- L : longueur de la volée.
- n : nombre de contre marche.
- L0 : longueur projetée de la volée.
- n-1: Nombre de marche.

II.2.4.2 Types d'escaliers :

On distingue dans notre projet trois types d'escalier : escalier droit à une seule volée, escalier à deux volées, et à trois volées.

NB: les escaliers menant de l'étage commercial à l'étage de service sont considérés en bois.

Seconda de la companya de la compan

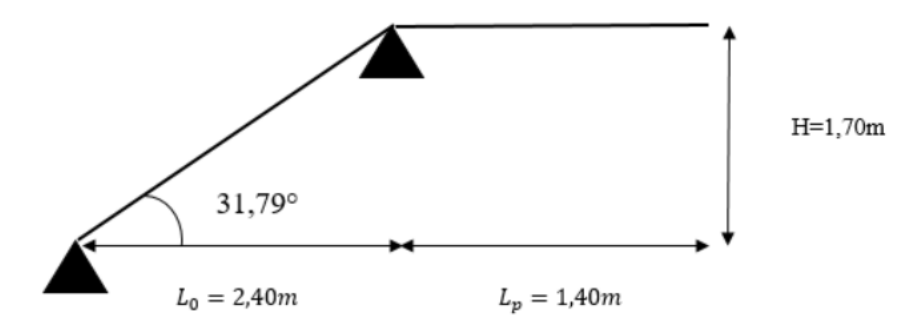


Figure II.5. Schéma statique d'escaliers RDC

Calcul du giron(g) et la hauteur d'une contre marche (h) :

$$g = \frac{L0}{n-1} \Longrightarrow g = \frac{270}{9} = 30 \Longrightarrow g = 30$$
cm.

$$h = \frac{H}{n} \Longrightarrow h = \frac{170}{10} = 17 \Longrightarrow h = 17$$
cm.

Donc : Le giron d'une marche est : g = 30cm.

La hauteur d'une contremarche est : h = 17cm.

Calcul du nombre de marche et du contre marche (RDC) :

On a: $L_0 = 270cm$; H = 170cm

$$64n^2 - (64 + 2H + L_0) n + 2H = 0 \implies 64n^2 - (64 + 2*170 + 270) n + 2*170 = 0$$

$$64n^2 - 674n + 340 = 0$$

En résolvant la dernière équation on obtient :

Le nombre de conter marche est : n = 10.

Le nombre de marche est : n-1 = 9.

Vérification de la relation de blondel :

$$59 \le 2h + g \le 64$$

$$2h + g = 2*17 + 30 = 64 \implies CV.$$

Epaisseur de la paillasse

La longueur développée est : $L = L_V$

L=
$$\sqrt{L^2 + H^2} \implies$$
 L= $\sqrt{2,7^2 + 1,70^2} = 3,19$ m

$$\frac{L}{30} \le e \le \frac{L}{20} \Longrightarrow \frac{3,19}{30} \le e \le \frac{3,19}{20} \Longrightarrow 10,63cm \le e \le 15,95cm$$

On prend e = 18 (paillasse + palier)

L_v: longueur de volée

Inclinaison de la paillasse :
$$\alpha = \tan^{-1}(\frac{1.70}{2.70}) \implies \alpha = 31.79^{\circ}$$

Seconda de la company de la c

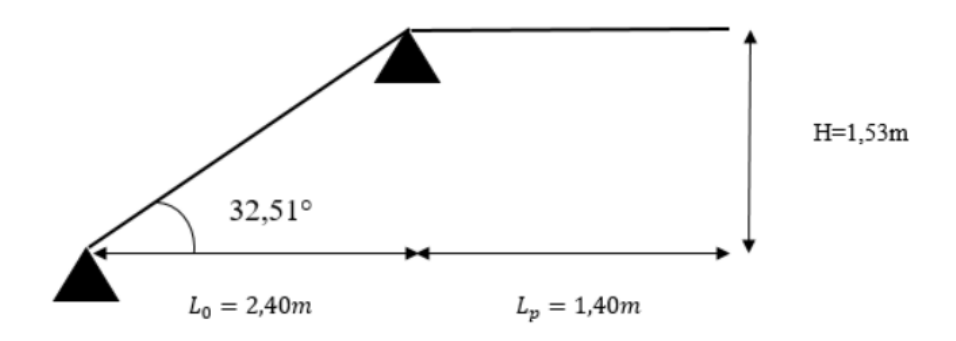


Figure II.6. Schéma statique d'escaliers EC.

Calcul du nombre de marche et du contre marche (EC) :

On a : $L_0 = 240 cm$; H = 153 cm $64n^2 - (64 + 2H + L_0) n + 2H = 0 \Longrightarrow 64n^2 - (64 + 2*153 + 240) n + 2*153 = 0$ $64n^2 - 610n + 306 = 0$

En résolvant la dernière équation on obtient :

Le nombre de conter marche est : n = 9.

Le nombre de marche est : n-1 = 8.

Vérification de la relation de blondel :

$$59 \le 2h + g \le 64$$

$$2h + g = 2*17 + 30 = 64 \Longrightarrow CV.$$

Epaisseur de la paillasse

La longueur développée est : $L = L_V$

$$L = \sqrt{L^2 + H^2} \implies L = \sqrt{2.4^2 + 1.53^2} = 2.84 \text{m}$$

$$\frac{L}{30} \le e \le \frac{L}{20} \Longrightarrow \frac{284}{30} \le e \le \frac{284}{20} \Longrightarrow 9,5cm \le e \le 14,2cm$$

L_v: longueur de volée

On prend e = 18 (paillasse + palier)

Inclinaison de la paillasse : $\alpha = \tan^{-1}(\frac{1,53}{2,40}) \implies \alpha = 32,51^{\circ}$

II.2.4.3 Evaluation des charges et surcharges sur les escaliers :

Second : Escalier:

La paillasse RDC

Tableau II.6. Evaluation des charges du palier

N°	Désign	nation	e (m)	γ	Charge (N/ <i>m</i> ²)
1	Carrelage	horizontal	(m) 0,02	$\frac{(N/m^3)}{22000}$	440
		vertical	0,02h/g	22000	249,33
2		horizontal	0,02	20000	400
		vertical	0,02h/g	20000	226,67
3	Poids des	marches	0,17/2	25000	2125
4	Poids de la	a paillasse	0,18/cos 31,79	25000	5294,21
6	Enduit e	en plater	0,02/cos 31,79	10000	235,298
	Garde	-	600		
	Ch	G _T =9570,508			
			Q _T =2500		

La paillasse EC

Tableau II.7. Evaluation des charges du palier

N°	Désignation		e (m)	(N/m^3)	Charge (N/ <i>m</i> ²)
1	Carrelage	horizontal	0,02	22000	440
		vertical	0,02h/g	22000	249,33
2		horizontal	0,02	20000	400

		vertical	0,02h/g	20000	226,67
3	3 Poids des marches		0,17/2	25000	2125
4	4 Poids de la paillasse		0,18/cos 32,51 25000		5336,19
6	Enduit 6	en plater	0,02/cos 32,51	10000	237,164
Gardes corps			-	-	600
	Ch	G _T =9614,354			
		$Q_T = 2500$			

Palier de repos (RDC+EC)

Tableau II.8. Evaluation des charges de Palier de repose

N°	Désignation	e(m)	$\gamma(N/m^3)$	Charge (N/ m ²)
1	Carrelage	0,02	22000	360
2	Mortier de pose	0,02	20000	1350
3	Lit de sable	0,02	18000	-
4	Dalle pleine	0,18	25000	900
6	Enduit en plater	0,02	10000	200
	Charge permanen	G _T =2810		

II.2.5 Poutre palière :

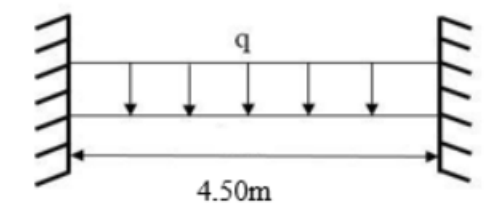


Figure II.7. Schéma statique de poutre palière

Dimensionnement

D'après la condition de flèche définit par le BAEL91[2].

$$\frac{L}{15} \le h \le \frac{L}{10}$$
 et L= 490-40 = 450cm.

$$\frac{450}{15} \le h \le \frac{450}{10} \implies 30 \le h \le 45$$

On prend h= 45cm

$$0.3h \le b \le 0.7h \implies 13.5 \le b \le 31.5$$

On prend b = 30cm

Exigences du RPA99/2003[1]:

$$h \ge 30 \text{cm} \implies h= 45 \text{cm} \dots \text{C.V}$$

$$b \ge 20 \text{cm} \implies b = 30 \text{cm} \dots \text{C.V}$$

II.2.6 l'ascenseur:

Un ascenseur est un dispositif mobile qui assure le déplacement de personnes et d'objets surles différents niveaux d'un bâtiment.

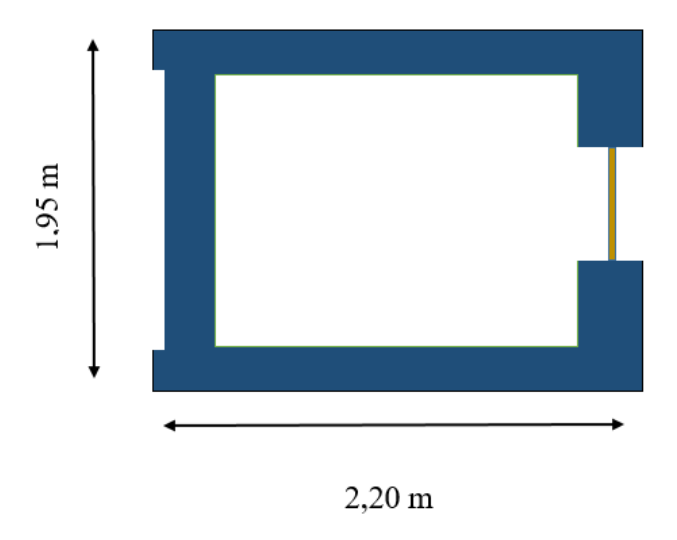
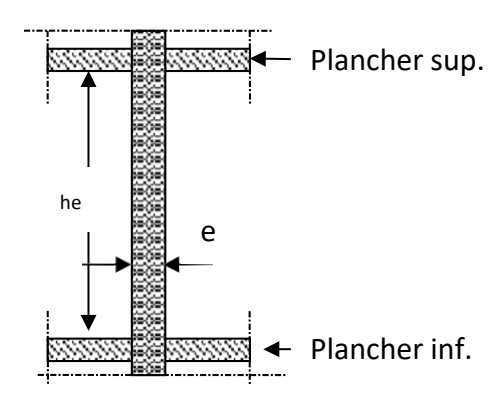


Figure II.8. Coupe transversale d'ascenseur

La dalle de la cage de l'ascenseur doit être épaisse pour qu'elle puisse supporter les charges qui lui reviennent (machine+ ascenseur) et avoir une bonne isolation acoustique



On a:

$$L_x = 1.95$$
 $L_y = 2.20$ $\implies S = 4.29$

$$\frac{220}{45} \le e \le \frac{220}{40} \implies 4.88 \le e \le 5.5$$

Figure II.9. Coupe verticale d'un voile

Soit l'épaisseur de la dalle e=15cm

II.3 Pré dimensionnement des éléments structuraux :

II.3.1 Voiles:

Le dimensionnement d'un voile de contreventement revient à déterminer son épaisseur (e)donnée par le RPA 99/2003[1]:

$$e \ge \max \left[\frac{he}{22} ; 15cm \right]$$

Avec:

he: Hauteur libre du voile.

hp: Hauteur de la poutre.

e: épaisseur du voile.

L: longueur du voile.

Dans notre cas, nous avons

RDC:
$$h_e = 340 - 40 = 300$$
 cm.

$$e > max[13,63; 15cm]. \implies e \ge 15 cm.$$

Étages courants : $h_e = 306 - 40 = 266 \text{ cm}.$

$$e > max[12,09; 15cm]. \implies e \ge 15 cm.$$

On adopte pour tous les voiles une épaisseur de : 20cm

II.3.2 Pré dimensionnement des poutres :

D'une manière générale on peut définir les poutres comme étant des éléments porteurs horizontaux de section (b x h). Il y a deux types de poutres :

II.3.2.1 Poutres principales (PP):

Selon le règlement **B.A.E.L 91 modifié en 1999[2]** les poutres seront pré dimensionné par la

condition de la flèche et elles sont vérifiées par R.P.A99 version 2003[1]

$$\begin{cases} \frac{Lmax}{15} \le e \le \frac{Lmax}{10} \\ 0.3*h \le e \le 0.7*h \end{cases}$$

L_{max}: longueur de la poutre maximale entre nus d'appuis.

h: hauteur de la poutre

b: largeur de la poutre

Détermination de la hauteur « h »:

$$L_{max} = 500 - 40 = 460 \text{ cm}$$

$$\frac{Lmax}{15} \le e \le \frac{Lmax}{10} \implies 30 \le e \le 46$$

Donc on prend : h = 45 cm

Détermination de la largeur « b » :

On a: h = 40 cm

$$0.3*h \le b \le 0.7*h \Longrightarrow 12 \le b \le 28$$

Donc on prend : b = 30 cm

➤ Vérification selon le RPA 99 version 2003(Article 7.5.1) [1]:

Les dimensions des poutres doivent respecter les dimensions ci-après :

« Zone sismique III»

$$b \ge 20 \text{cm} \implies b = 30 \text{cm} > 20 \text{ cm} \dots \text{CV}.$$

$$h \ge 30 \text{ cm} \implies h = 40 \text{cm} > 30 \text{ cm} \dots \text{CV}.$$

$$b_{max} \le 1,5h + b_1 \Longrightarrow bmax = 30 \le 1,5*40 + 27,5 = 87,5$$

 $30cm \le 87,5cm \dots CV$

II.3.2.2. Poutres secondaires(PS):

Détermination de la hauteur « h » :

Lmax = 490 - 40 = 450 cm

$$\frac{Lmax}{15} \le e \le \frac{Lmax}{10} \implies \frac{450}{15} \le e \le \frac{450}{10} \implies 30 \text{cm} \le e \le 45 \text{cm}.$$

On prend h = 35 cm.

Détermination de la largeur « b » :

On a: h = 35 cm

$$0.3*h \le b \le 0.7*h \Longrightarrow 10.5 \le b \le 24.5$$

Donc on prend : b = 30 cm.

➤ Vérification selon le RPA 99 version 2003(Article 7.5.1) [1]:

$$b \ge 20 \text{cm} \implies b = 30 \text{cm} > 20 \text{ cm} \dots \text{CV}.$$

$$h \ge 30 \text{ cm} \implies h = 35 \text{cm} > 30 \text{ cm} \dots \text{CV}.$$

$$b_{\text{max}} \le 1.5h + b_1 \Longrightarrow b_{\text{max}} = 30 \le 1.5*35 + 27.5 = 80 \text{ cm}$$

$$30 \text{cm} \leq 80 \text{cm} \dots \text{CV}$$

Après les vérifications on adopte pour les dimensions suivantes :

Poutres principales : b x h = (30×40) cm².

Poutres secondaires : $b \times h = (30 \times 35) \text{ cm}^2$.

II.3.3 Pré dimensionnement des poteaux :

Le pré dimensionnement des poteaux se fait Selon 3 critères :

- 1- Critère de résistance
- 2- Critère de stabilité de forme (flambement)

3 – Conditions de RPA :
$$\begin{cases} \min(b1, h1) \ge 25cm \\ \min(b1, h1) \ge \frac{h}{20} \\ 0.25 < \frac{b1}{h1} < 4 \end{cases}$$

Le poteau qu'on va étudier c'est est le poteau le plus sollicité, c'est-à-dire le poteau qui recevra l'effort de compression maximal qu'on va déterminer à partir de la descente de charge.

On fixera les dimensions des poteaux après avoir effectué la descente de charge, tout en vérifiant les recommandations du RPA99 (version 2003) citées ci-dessus.

On a section du poteau : $40*40 \text{ cm}^2$.

II.3.3.1 Loi de dégression : (DTR B.C.2.2) [4]

Soit Q_0 La charge d'exploitation sur le toit ou la terrasse couvrant le bâtiment Q1, Q2, Q3 on les charges d'exploitation respectives des planchers des étages 1,2, 3...n numérotés à partir du sommet du bâtiment. On adoptera pour le calcul des points d'appui les charges d'exploitation suivantes :

- ✓ Sous la terrasse Q_0 .

n : numéro d'étage à partir du sommet du bâtiment.

En tenant compte de la dégression des surcharges de la façon suivante

$$\Sigma Q = Q0 = 1000 \text{ N}$$

$$\Sigma Q = Q0 + Q1 = 2500 \text{ N}$$

$$\Sigma Q = Q0 + 0.95 (Q1 + Q2) = 3850 N$$

$$\Sigma Q = Q0 + 0.90 (Q1 + Q2 + Q3) = 5050 N$$

$$\Sigma Q = Q0 + 0.85 (Q1 + Q2 + Q3 + Q4) = 6100 N$$

$$\Sigma Q = Q0 + 0.80 (Q1 + Q2 + Q3 + Q4 + Q5) = 7000 N$$

$$\Sigma Q = Q0 + 0.75 (Q1 + ... + Q6) = 7750 N$$

$$\Sigma Q = Q0 + 0.71 (Q1 + ... + Q7) = 8455 N$$

$$\Sigma Q = Q0 + 0.68 (Q1 + \dots + Q8) = 9160 N$$

$$\Sigma Q = Q0 + 0.66 (Q1 + ... + Q9) = 9910 N$$

$$\Sigma Q = Q0 + 0.65(Q1 + \dots + Q10) = 10750 \text{ N}$$

$$\Sigma Q = Q0 + 0.63 (Q1 + ... + Q11) = 11395 N$$

$$\Sigma Q = Q0 + 0.62 (Q1 + ... + Q12) = 12875 N$$

Pour la vérification de leur section dans ce cas

On prend un type de poteau suivant :

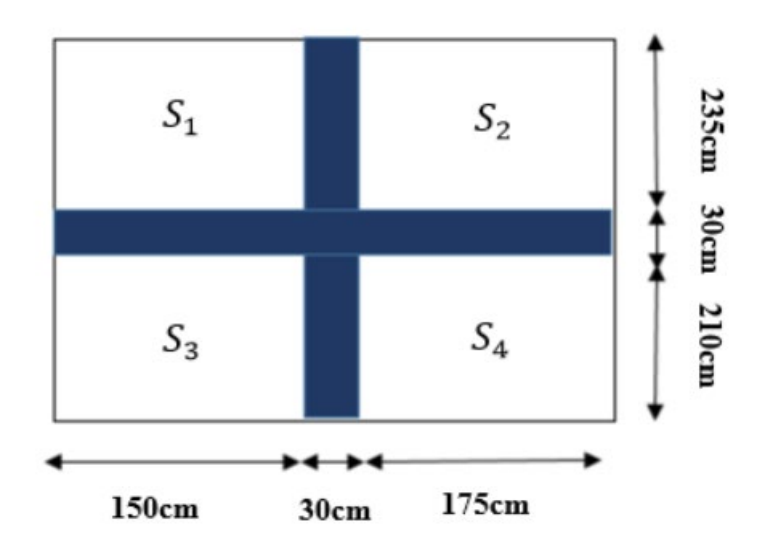


Figure II.10. La surface afférente par le poteau

- On a : $S_T = S_1 + S_2 + S_3 + S_4$
- $S_1 = 1,50*2,35 = 3,525 \text{ m}^2$
- $S_2 = 1,750*2,35 = 4,1125 \text{ m}^2$
- $S_3 = 1,50*2,10 = 3,15 \text{ m}^2$
- $S_4 = 1,75*2,10 = 3,675 \text{ m}^2$

Donc $S_T = 14,4625 \text{ m}^2$

TableauII.9. La descente de charge de poteau

Etages	Elément	Valeur	Poids Propres G (N)	Surcharges Q(N)
	Terrasse inaccessible	14,46*6620	95725,2	
N ₁	Poutres (Pp)	0,3*0,4*(2,1+2,35)*25000	13350	

	Poutres (Ps)	0,3*0,35*(1,50+1,75)*25000	8531,25	
	Poteaux (40*40)	0,40*0,40*3,06*25000	12240	
	TOTALE		129846,45	14460
	Terrasse inaccessible	14,46*5420	78373,2	
N2	Poutres (Pp)	0,3*0,4*(2,1+2,35)*25000	13350	
	Poutres (Ps)	0,3*0,35*(1,50+1,75)*25000	8531,25	
	Poteaux (40*40)	0,40*0,40*3,06*25000	12240	
	TOTALE		242340,9	36150
	Terrasse inaccessible	14,46*5420	78373,2	
N3	Poutres (Pp)	0,3*0,4*(2,1+2,35)*25000	13350	
	Poutres (Ps)	0,3*0,35*(1,50+1,75)*25000	8531,25	
	Poteaux (40*40)	0,40*0,40*3,06*25000	12240	
	TOTALE		354835,35	55671
	Terrasse inaccessible	14,46*5420	78373,2	
N4	Poutres (Pp)	0,3*0,4*(2,1+2,35)*25000	13350	
114	Poutres (Ps)	0,3*0,35*(1,50+1,75)*25000	8531,25	
	Poteaux (40*40)	0,40*0,40*3,06*25000	12240	
	TOTALE		467329,8	73023
	Terrasse inaccessible	14,46*5420	78373,2	
N5	Poutres (Pp)	0,3*0,4*(2,1+2,35)*25000	13350	
	Poutres (Ps)	0,3*0,35*(1,50+1,75)*25000	8531,25	
	Poteaux (40*40)	0,40*0,40*3,06*25000	12240	
	TOTALE		579824,25	88206
	Terrasse inaccessible	14,46*5420	78373,2	
N6	Poutres (Pp)	0,3*0,4*(2,1+2,35)*25000	13350	
140	Poutres (Ps)	0,3*0,35*(1,50+1,75)*25000	8531,25	

	Poteaux (40*40)	0,40*0,40*3,06*25000	12240	
	TOTALE		692318,7	101220
N7	Terrasse inaccessible	14,46*5420	78373,2	
	Poutres (Pp)	0,3*0,4*(2,1+2,35)*25000	13350	
	Poutres (Ps)	0,3*0,35*(1,50+1,75)*25000	8531,25	
	Poteaux (40*40)	0,40*0,40*3,06*25000	12240	
	TOTALE		804813,15	112065
	Terrasse inaccessible	14,46*5420	78373,2	
N8	Poutres (Pp)	0,3*0,4*(2,1+2,35)*25000	13350	
140	Poutres (Ps)	0,3*0,35*(1,50+1,75)*25000	8531,25	
	Poteaux (40*40)	0,40*0,40*3,06*25000	12240	
	TOTALE		917307,6	122259,3
	Terrasse inaccessible	14,46*5420	78373,2	
N9	Poutres (Pp)	0,3*0,4*(2,1+2,35)*25000	13350	
149	Poutres (Ps)	0,3*0,35*(1,50+1,75)*25000	8531,25	
	Poteaux (40*40)	0,40*0,40*3,06*25000	12240	
	TOTALE		1029802,05	132453,6
	Terrasse inaccessible	14,46*5420	78373,2	
N10	Poutres (Pp)	0,3*0,4*(2,1+2,35)*25000	13350	
1410	Poutres (Ps)	0,3*0,35*(1,50+1,75)*25000	8531,25	
	Poteaux (40*40)	0,40*0,40*3,06*25000	12240	
	TOTALE		1142296,5	143298,6
N11	Terrasse inaccessible	14,46*5420	78373,2	
	Poutres (Pp)	0,3*0,4*(2,1+2,35)*25000	13350	
	Poutres (Ps)	0,3*0,35*(1,50+1,75)*25000	8531,25	
	Poteaux (40*40)	0,40*0,40*3,06*25000	12240	

	TOTALE		1254790,95	155445
	Terrasse inaccessible	14,46*5420	78373,2	
N12	Poutres (Pp)	0,3*0,4*(2,1+2,35)*25000	13350	
1112	Poutres (Ps)	0,3*0,35*(1,50+1,75)*25000	8531,25	
	Poteaux (40*40)	0,40*0,40*3,06*25000	12240	
	TOTALE		1367285,4	164771,7
N13	Terrasse inaccessible	14,46*5420	78373,2	
	Poutres (Pp)	0,3*0,4*(2,1+2,35)*25000	13350	
	Poutres (Ps)	0,3*0,35*(1,50+1,75)*25000	8531,25	
	Poteaux (40*40)	0,40*0,40*3,40 *25000	13600	
	TOTALE		1481139,85	186172,5

$$Nu = 1.35G + 1.50\acute{R}$$

$$Nu = 2278797,548 \text{ N} \implies Nu = 2278,797 \text{ KN}$$

Selon le CBA93 (article B.8.11)[3] on doit majorer l'effort normal ultime de compression

Nu de 10% tel que : $Nu^* = 1.10^*2278,797 = 2506,676KN$

II.3.3.2 Vérifications nécessaires :

➤ Vérification à la compression simple :

On doit vérifier la condition suivante :

$$\frac{Nu}{B} \le f_{\text{bu}} \text{ tel que} : f_{bu} = \frac{0.85F \times c28}{1.5} = 14.2 \text{MPa} \implies B \ge B_{\text{calculé}} = \frac{Nu^*}{f_{bu}}$$

$$B_{calcul\acute{e}} = \frac{2506,676\times10^3}{14,2} = 184550,42 mm^2 = 0,18 m^2 \geq B = 0.16 m^2.....C.N.V.$$

> Vérification au flambement :

D'après le CBA93 (Article B.8.4.1)[3] On doit effectuer la vérification suivante :

$$N_u \le \alpha \times \left[\frac{B_r \times f_{c28}}{0.9 \times \gamma_b} + \frac{A_s \times f_e}{\gamma_s} \right]$$

 $\boldsymbol{B_r}$: Section réduite du béton.

 A_s : Section des armatures.

 γ_b = 1,5 : coefficient de sécurité de béton.

 γ_s = 1,15 : coefficient de sécurité des aciers

 α : Coefficient en fonction de l'élancement λ .

$$\alpha = \begin{cases} \frac{0.85}{1+0.2 \times \left(\frac{\lambda}{35}\right)^2} \rightarrow 0 < \lambda < 50. \\ 0.6 \times \left(\frac{50}{\lambda}\right)^2 \rightarrow 50 < \lambda < 70. \end{cases}$$

On calcule l'élancement : $\lambda = \frac{l_f}{i}$

 $l_f = 0.7 l_0$: Longueur de flambement.

 l_0 : hauteur du poteau.

i: Rayon de giration : $I = \sqrt{\frac{I}{B}}$

I : Moment d'inertie : $I = \frac{b_1 \times h_1^3}{12}$

 $A_S \ge 0.8\%B_r$ On prend : $A_S = 1\%B_r$.

$$B_{\text{r calcul}} \ge \frac{N_u}{\alpha \times \left[\frac{f_{c28}}{0.9 \times \gamma_b} + \frac{f_e}{100 \gamma_s}\right]} \qquad \text{BAEL 91 (article 7.4.2)[2]}$$

 $\mathbf{B_r} = (a\text{-}2) \times (b\text{-}2)$. Il faut vérifier que : $\mathbf{B_r} \ge \mathbf{B_r}$ calcul.

Donc pour RDC:

$$\lambda = \max[\lambda_x; \lambda_v]$$

$$l_f = 0.7 \times 3.4 = 2.38$$

$$\lambda_x = \lambda_y = \sqrt{12} \times \frac{2,38}{0.4} = 20,61$$

$$\lambda = 20,61 < 50$$

$$\alpha = \frac{0.85}{1 + 0.2 \left(\frac{20.61}{35}\right)^2} = 0.79$$

$$B_r = (0,4-0,02) \times (0,4-0,02)$$

$$B_r = 0.14m^2$$

$$B_r \ge \frac{2620,616}{0,79 \times \left[\frac{25}{0.9 \times 1.5} + \frac{0.9 \times 400}{1.15 \times 1000}\right]} = 176152,963 \text{mm}^2$$

 $B_r \ge 0.17 \text{ m}^2$

Il y a risque de flembment.

Donc en adapté les dimensions des poteaux.

Tableau.II.10.tableau récapitulative

Les étages	Type de poteau	B (mm²)	l f	λ	α	B _r (m ²)	Nu (N)	B _{rcalcul} (mm ²)	condition
RDC	50*50	0,25	2,38	16,489	0,81	0,23	2695439,9	0,176	C.V
1-2-3	50*50	0,25	2,142	14,84	0,82	0,23	2062173,5	0,133	C.V
4-5-6- 7-8	45*45	0,2025	2,142	16,48	0,81	0,18	1057380,1	0,069	C.V
9-10- 11-12	40*40	0,1600	2,142	18,55	0,80	0,14	226530,1	0,015	C.V

II.4 Conclusion:

Le pré dimensionnement se fait dans le but d'avoir une estimation des dimensions des éléments structuraux et non structuraux tout en satisfaisant les exigences des différents règlements en vigueur. Ainsi nous avons opté pour :

Tableau.II.11. Dimensions des différents éléments

Elé	Dimensions (cm)		
Plancher	Corps creux	16+5	
	Principales	(30*45)	
Poutres	Secondaires	(30*35)	
	Poutre palière	(30*45)	
	RDC		
Poteaux	1er_2em_3emetage	(50*50)	

4_5_6_7_8 ^{em} etage	(45*45)
9_10_11_12 ^{em} etage	(40*40)



III.1.INTRODUCTION:

Dans ce chapitre on s'intéressera uniquement à l'étude des éléments non structuraux (Différents planchers, escalier, acrotère et ascenseur). Cette étude se fait par le Cheminement suivant : évaluation des charges sur l'élément considéré, calcul des sollicitations les plus défavorables puis, détermination de la section d'acier nécessaire pour reprendre les charges en question toutes en respectant la règlementation en vigueur.

Durant ce chapitre, le calcul va concerner les éléments suivants :

- Les planchers (plancher à corps creux et à dalle pleine).
- La dalle d'ascenseur.
- Les poutres de chainage.
- L'acrotère.
- Les escaliers.

III.2 ETUDE DES PLANCHERS:

III.2.1 Plancher à corps creux :

Ce type de plancher est constitué de corps creux (hourdis creuse) qui ne sont que des éléments de remplissage, de poutrelles qui sont des éléments principaux de résistance, et d'une dalle de compression.

Le calcul sera fait pour deux éléments :

- Poutrelle.
- ➤ Dalle de compression.

III.2.1.1 Méthodes de calculs des poutrelles :

Les poutrelles sont des sections en Té en béton armé, servant à transmettre les charges réparties ou concentrées aux poutres principales.

Les poutrelles sont calculées à la flexion simple sous G et Q comme des poutres continues sur plusieurs appuis. Pour ce faire, nous disposons de deux méthodes :

- Méthode forfaitaire.
- Méthode de Caquot

❖ Conditions d'application de la méthode forfaitaire : (BAEL. Art.6.2.210)

Pour déterminer les moments en appui et en travée, il est possible d'utiliser la méthode forfaitaire si les quatre conditions sont vérifiées :

- 1. Plancher à surcharges modérées : Q≥ min (2G; 5 KN/m²)
- 2. Le rapport entre deux travées successives : $0.8 \le \frac{l_i}{l_{i+1}} \le 1.25$
- 3. Le moment d'inertie est constant sur tout le long de la travée.
- 4. Fissuration peu nuisible (F.P.N).

Principe de la méthode forfaitaire : [BAEL 91][2]

Les moments fléchissant :

 $\alpha = \frac{Q}{Q+G}$: Le rapport des charges d'exploitations sur la somme des charges d'exploitations et permanentes en valeur pondérée

Deux expressions pour calculer les moments en travées par la méthode forfaitaire sont :

1.
$$M_t + \frac{M_g + M_d}{2} \ge \max[(1 + 0, 3\alpha)M_0; 1, 05M_0]$$

2.
$$\begin{cases} M_t \geq \frac{1,2+0,3\alpha}{2} \times M_0 & \text{Pour une trav\'ee de rive.} \\ M_t \geq \frac{1+0,3\alpha}{2} \times M_0 & \text{Pour une trav\'ee interm\'ediaire.} \end{cases}$$

$$\mathsf{tel} \ \mathsf{que} : \begin{cases} \textit{\textit{M}}_0 : \mathsf{Moment} \ \mathsf{isostatique}. \\ \textit{\textit{M}}_t : \mathsf{Moment} \ \mathsf{en} \ \mathsf{trav\'ee}. \\ \textit{\textit{M}}_g \ ; \ \textit{\textit{M}}_d : \mathsf{Moment} \ \mathsf{sur} \ \mathsf{l'appui} \ \mathsf{de}(\mathsf{gauche}; \mathsf{droite}) \end{cases}$$

Les moments sur appuis sont donnés comme suit :

 $\begin{cases} 0.5 \times M_0 \text{: Pour les appuis voisins des appuis de rive d'une poutre à plus de deux travées.} \\ 0.4 \times M_0 \text{: Pour les appuis intermédiaires pour une poutre à plus de trois travées.} \\ 0.6 \times M_0 \text{: Pour les appuis intermédiaires pour une poutre à deux travée.} \end{cases}$

Sur les appuis de rive, les moments sont nuls, mais le BAEL préconise de mettre des aciers de fissuration équilibrant un moment fictif égal à $-0.15M_0$.

Tel que :
$$M_0 = max(M_0^1; M_0^n)$$

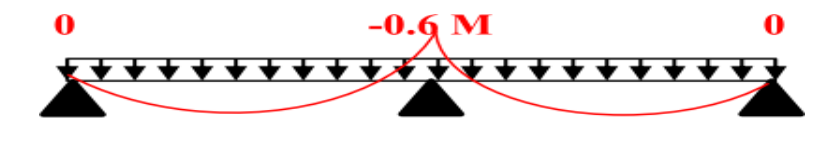


Figure III.1. Diagramme des moments des appuis pour une poutre à 2 travées

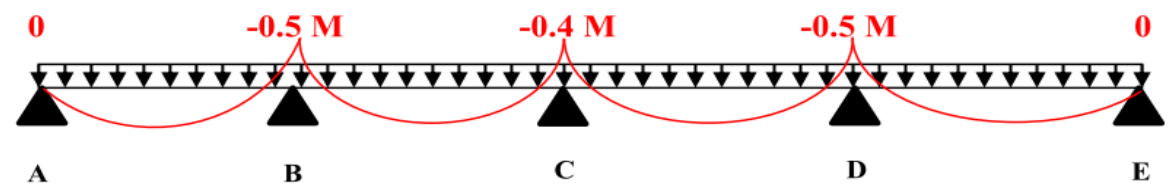


Figure III.2. Diagramme des moments des appuis pour une poutre à plus 2 travées

Evaluation des efforts tranchants :

Les efforts tranchants sont évalués soit forfaitairement en supposant la discontinuité entre les travées, dans ce cas les efforts tranchants hyperstatiques sont confondue même avec les efforts tranchants isostatiques sauf pour les premiers appuis intermédiaires (voisin de rive).

L'effort tranchant isostatique doit être majoré de :

• 15 % s'il s'agit d'une poutre à deux travées.

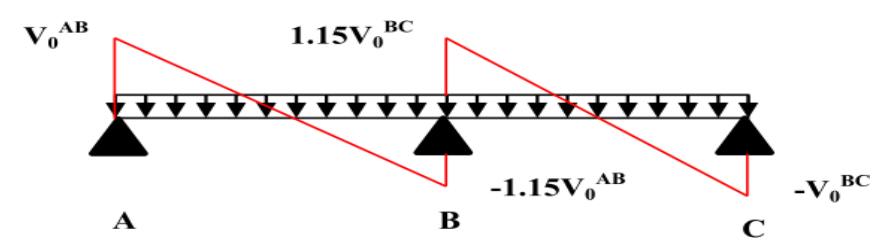


Figure III.3. Diagramme des efforts tranchants pour une poutre à 2 travées.

• 10 % s'il s'agit d'une poutre à plus de deux travées.

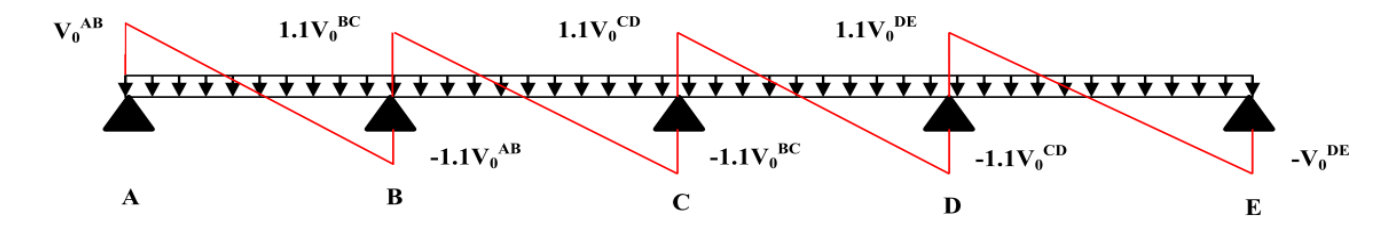


Figure III.4. Diagramme des efforts tranchants pour une poutre à 2 travées.

Conditions d'applications de La méthode de Caquot :

Si le plancher à surcharge élevée Q≥ min (2G ; 5 KN/m²), on applique la méthode de Caquot.

Principe de la méthode :

Le principe repose sur la méthode des trois moments simplifiée et corrigée afin de tenir compte de la variation des moments d'inerties des sections transversales le long de la ligne moyenne de la poutre, ainsi que de l'amortissement des efforts de chargement des travées successives.

Application de la méthode :

Calcul des moments :

a) Moment en travée :

$$\begin{cases} M(x) = M_0(x) + M_g \times \left(1 - \frac{x}{l}\right) + M_d \times \frac{x}{l} \\ M_0(x) = \frac{P_u \times x}{2} \times (l - x) \\ x = \frac{l_i}{2} - \frac{M_g - M_d}{P_u \times l_i} \end{cases}$$

b) Moment en appuis :
$$M_a = -\frac{P_g \times l_g'^3 + P_d \times l_d'^3}{8.5 \times (l_g' + l_d')}$$
 (BAEL. Art. L.III.3)[2]

Tel que:

 $\left\{ egin{aligned} &l'_g ext{ et } l'_d: ext{Longueurs fictives.} \\ &P_g ext{et } P_d: ext{charges réparties sur les 2 travées encadrant l'appui considéré.} \end{aligned}
ight.$

$$L'={0.8L: Travée intermédiare } L: Travée de rive$$

NB: Si l'une des 3 autres conditions n'est pas vérifiée, on applique la méthode de Caquot minorée.

• Evaluation des efforts tranchants :

$$\begin{cases} V_A = V_g = P_u \times \frac{l}{2} - \frac{M_g - M_d}{P_u \times l_i} \\ V_B = V_d = P_u \times \frac{l}{2} - \frac{M_g - M_d}{l} \end{cases}$$

• Les Différents types de poutrelles :

Les déférents types de poutrelles sont classés dans le tableau III.1

Type

1er Type

3,60m 3,30m 3,80 4,90m 3,80 3,30 3,60m

2em Type

3,60m 3,30m 3,30m 3,80 3,80

Tableau III.1. Les Différents types de poutrelles

Choix de la méthode de calcul des sollicitations :

Dans notre projet, on dispose d'un seul natures de poutrelle :

O Poutrelle hyperstatique (continues) : les sollicitations se déterminent soit par l'application de la méthode forfaitaire ou la méthode de Caquot.

Le choix de la méthode de calcul à suivre pour les différents types est définit dans le tableau suivant :

Tableau III.2. Choix des méthodes de calculs pour les différents types de poutrelles

Types de poutrelles	Conditions d'applications de la méthode forfaitaire	Couses	Méthode adoptée
Type 2	Vérifiées	$\begin{cases} Q^{max} = 2,5KN/m^2 \leq min(5KN/m^2;2G) \\ 0,8 \leq \frac{l_i}{l_{i+1}} \leq 1,25 \\ I = Constant \\ F.P.N \end{cases}$	Méthode forfaitaire
Type 1	Non Vérifiées	$\frac{l_i}{l_{i+1}} \notin [0,8;1,25]$	Méthode de Caquot minorée

• Calcul des charges et surcharges revenants aux poutrelles :

À l'ELU:
$$q_u = 1.35 \times G + 1.5 \times Q$$
 et $p_u = (l_0 = 0.65) \times q_u$

À l'ELS :
$$q_S$$
=G + Q et $p_S = (l_0$ =0,65) × q_S

Tableau III.3. Charges et surcharges revenant aux poutrelles

			EI	LU	E	ELS
Désignation	G (KN/m²)	Q (KN/m²)	<i>q_u</i> (KN/m ²)	p _u (KN/ml)	q_s (KN/m ²)	<i>p_s</i> (KN/ml)
Terrasse inaccessible	6,620	1	10,437	6,784	7,62	4,953
Plancher E.C	5,420	1,5	9,567	6,218	6,92	4,498
R.D.C	5,420	2,5	11,067	7,193	7,92	5,148

III.2.1.2 Calcul des sollicitations :

➤ Plancher E.C (M. CAQUOT):

Poutrelle type 1 : cas charge

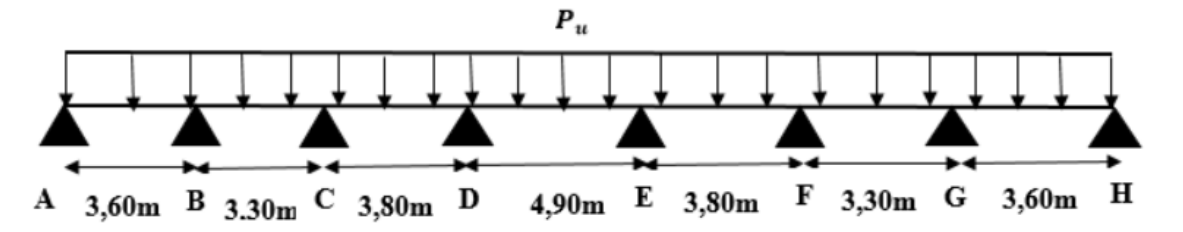


Figure III.5. Schéma statique de la poutrelle type 1

Dans ce cas la méthode forfaitaire n'est pas applicable car la 2 émecondition n'est pas vérifiée donc on applique la méthode de Caquot minorée, en remplaçant G par G' dans le calcul des moments aux appuis.

$$\begin{cases} G' = \frac{2}{3}G \\ G' = \frac{2}{3} \times 5,42 = 3,613KN/m^2 \\ P'_u = (1,35 \times G' + 1,5 \times Q) \times 0,65 = 4,632KN/m \\ P'_s = (G' + Q) \times 0,65 = 3,323KN/m \end{cases}$$

À l'ELU

• Moments aux appuis :
$$M_A = M_H = -0.15 M_0 = -0.15 \times \frac{4.632 \times 3.60^2}{8} = -1.125$$

$$\begin{cases} M_B = -\frac{P'_g \times l'_g^3 + P'_d \times l'_d^3}{8,5 \times (l'_g + l'_d)} \\ P'_g = P'_d = P'_u = 4,632KN/m \\ l'_g = l_g = 3,60m. \\ l'_d = 0,8 \times 3,30 = 2,64 m. \\ M_B = -\frac{4,632 \times (3,60^3 + 2,64^3)}{8,5 \times (3,60 + 2,64)} = -5,581KN.m \end{cases}$$

$$\begin{cases} M_C = -\frac{P'_g \times l'_g^3 + P'_d \times l'_d^3}{8.5 \times (l'_g + l'_d)} \\ P'_g = P'_d = P'_u = 4.632KN/m \\ l'_g = 0.8 \times 3.30 = 2.64m. \\ l'_d = 0.8 \times 3.80 = 3.04 m. \\ M_C = -\frac{4.632 \times (2.64^3 + 3.04^3)}{8.5 \times (2.64 + 3.04)} = -4.460KN.m \end{cases}$$

$$\begin{cases} M_D = -\frac{P'_g \times l'_g^3 + P'_d \times l'_d^3}{8,5 \times (l'_g + l'_d)} \\ P'_g = P'_d = P'_u = 4,632KN/m \\ l'_g = 0,8 \times 3,80 = 3,04m. \\ l'_d = 0,8 \times 4,90 = 3,92m. \\ M_D = -\frac{4,632 \times (3,04^3 + 3,92^3)}{8,5 \times (3,04 + 3,92)} = -6,915KN.m \end{cases}$$

$$\begin{cases} M_E = -\frac{P'_g \times l'_g^3 + P'_d \times l'_d^3}{8.5 \times (l'_g + l'_d)} \\ P'_g = P'_d = P'_u = 4.632KN/m \\ l'_g = 0.8 \times 4.90 = 3.92m. \\ l'_d = 0.8 \times 3.80 = 3.04m. \\ M_E = -\frac{4.632 \times (3.92^3 + 3.04^3)}{8.5 \times (3.92 + 3.04)} = -6.915KN.m \end{cases}$$

$$\begin{cases} M_F = -\frac{P'_g \times l'_g^3 + P'_d \times l'_d^3}{8.5 \times (l'_g + l'_d)} \\ P'_g = P'_d = P'_u = 4.632KN/m \\ l'_g = 0.8 \times 3.80 = 3.04m. \\ l'_d = 0.8 \times 3.30 = 2.64m. \\ M_F = -\frac{4.632 \times (3.04^3 + 2.64^3)}{8.5 \times (3.04 + 2.64)} = -4.460KN.m \end{cases}$$

$$\begin{cases} M_G = -\frac{P'_g \times l'_g^3 + P'_d \times l'_d^3}{8.5 \times (l'_g + l'_d)} \\ P'_g = P'_d = P'_u = 4.632KN/m \\ l'_g = 0.8 \times 3.30 = 2.64m. \\ l'_d = l' = 3.60m. \\ M_G = -\frac{4.632 \times (2.64^3 + 3.60^3)}{8.5 \times (2.64 + 3.60)} = -5.681KN.m \end{cases}$$

• Moments en travée :

$$\begin{split} \mathbf{M}(\mathbf{x}) &= M_0(\mathbf{x}) + M_g \times \left(1 - \frac{x}{l}\right) + M_d \times \frac{x}{l} \\ M_0(\mathbf{x}) &= \frac{P_u \times x}{2} \times (l - x) \text{ ; tel que } \mathbf{x} = \frac{l_i}{2} - \frac{M_g - M_d}{P_u \times l_i} \\ \mathbf{Trav\'ee} \ \mathbf{AB} \begin{cases} x &= \frac{3,60}{2} - \frac{-1,125 - (-5,681)}{6,218 \times 3,60} = 1,59m. \\ M_0(\mathbf{x}) &= \frac{6,218 \times 1,59}{2} \times (3,60 - 1,59) = 9,936KN.m \\ \mathbf{M}(\mathbf{x}) &= 9,936 - 1,125 \times \left(1 - \frac{1,59}{3,60}\right) - 5,681 \times \frac{1,59}{3,60} = 6,798KN.m \end{split}$$

$$\text{Trav\'ee BC} \begin{cases} x = \frac{3,30}{2} - \frac{-5,681 - (-4,460)}{6,218 \times 3,30} = 1,707m. \\ M_0(\mathbf{x}) = \frac{6,218 \times 1,707}{2} \times (3,30 - 1,707) = 8,454KN.m \\ M(\mathbf{x}) = 8,454 - 5,681 \times \left(1 - \frac{1,707}{3,30}\right) - 4,460 \times \frac{1,707}{3,30} = 3,40KN.m \end{cases}$$

$$\mathbf{Trav\acute{e}\ CD} \begin{cases} x = \frac{3,80}{2} - \frac{-4,460 - (-6,915)}{6,218 \times 3,80} = 1,79m. \\ M_0(\mathbf{x}) = \frac{6,218 \times 1,79}{2} \times (3,80 - 1,79) = 11,185KN.m \\ M(\mathbf{x}) = 11,185 - 4,460 \times \left(1 - \frac{1,79}{3,80}\right) - 6,915 \times \frac{1,79}{3,80} = 5,569KN.m \end{cases}$$

Travée DE
$$\begin{cases} x = \frac{4,90}{2} - \frac{-6,915 - (-6,915)}{6,218 \times 4,90} = 2,45m. \\ M_0(x) = \frac{6,218 \times 2,45}{2} \times (4,90 - 2,45) = 18,66KN.m \\ M(x) = 18,66 - 6,915 \times \left(1 - \frac{2,45}{4,90}\right) - 6,915 \times \frac{2,45}{4,90} = 11,75KN.m \end{cases}$$

Travée EF
$$\begin{cases} x = \frac{3,80}{2} - \frac{-6,915 - (-4,460)}{6,218 \times 3,80} = 2m. \\ M_0(x) = \frac{6,218 \times 2}{2} \times (3,80 - 2) = 11,19KN.m \\ M(x) = 11,19 - 6,915 \times \left(1 - \frac{2}{3,80}\right) - 4,460 \times \frac{2}{3,80} = 5,567KN.m \end{cases}$$

Travée GH
$$\begin{cases} x = \frac{3,60}{2} - \frac{-5,681 - (-1,125)}{6,218 \times 3,60} = 2m. \\ M_0(x) = \frac{6,218 \times 2}{2} \times (3,60 - 2) = 9,948KN.m \\ M(x) = 9,948 - 5,681 \times \left(1 - \frac{2}{3,60}\right) - 1,125 \times \frac{2}{3,60} = 6,798KN.m \end{cases}$$

• Effort tranchant : $V_u = \frac{P_u \times l_i}{2} + \frac{M_g - M_d}{l_i}$

Travée AB
$$\begin{cases} V_A = \frac{6,218 \times 3,60}{2} + \frac{-5,681 - (-1,125)}{3,60} = 9,9268KN \\ V_B = \frac{-6,218 \times 3,60}{2} + \frac{-5,681 - (-1,125)}{3,60} = -12,457KN \end{cases}$$

$$\begin{aligned} & \textbf{Trav\'ee BC} \begin{cases} V_B = \frac{6.218 \times 3.30}{2} + \frac{-4.460 - (-5.681)}{3.30} = 10.629KN \\ V_C = \frac{-6.218 \times 3.30}{2} + \frac{-4.460 - (-5.681)}{3.30} = -9.889KN \end{cases} \\ & \textbf{Trav\'ee CD} \begin{cases} V_C = \frac{6.218 \times 3.80}{2} + \frac{-6.915 - (-4.460)}{3.80} = 11.168KN \\ V_D = \frac{-6.218 \times 3.80}{2} + \frac{-6.915 - (-4.460)}{3.80} = -12.460KN \end{cases} \\ & \textbf{Trav\'ee DE} \begin{cases} V_C = \frac{6.218 \times 4.90}{2} + \frac{-6.915 - (-6.915)}{4.90} = 15.234KN \\ V_E = \frac{-6.218 \times 4.90}{2} + \frac{-6.915 - (-6.915)}{4.90} = -15.234KN \end{cases} \\ & \textbf{Trav\'ee EF} \begin{cases} V_E = \frac{6.218 \times 3.80}{2} + \frac{-4.460 - (-6.915)}{3.80} = 12.46KN \\ V_F = \frac{-6.218 \times 3.80}{2} + \frac{-4.460 - (-6.915)}{3.80} = -11.168KN \end{cases} \\ & \textbf{Trav\'ee FG} \end{cases} \\ & V_G = \frac{6.218 \times 3.30}{2} + \frac{-5.681 - (-4.460)}{3.30} = 9.88KN \\ & \textbf{Trav\'ee GH} \end{cases} \\ & V_H = \frac{-6.218 \times 3.30}{2} + \frac{-1.125 - (-5.681)}{3.60} = 12.448KN \\ & V_H = \frac{-6.218 \times 3.60}{2} + \frac{-1.125 - (-5.681)}{3.60} = -9.936KN \end{cases} \end{aligned}$$

Al'ELS:

• Moments aux appuis : $M_A = M_H = -0.15 M_0 = -0.15 \times \frac{3.323 \times 3.60^2}{8} = -0.807$

$$\begin{cases} M_B = -\frac{P'_g \times l'_g^3 + P'_d \times l'_d^3}{8.5 \times (l'_g + l'_d)} \\ P'_g = P'_d = P'_u = 3.323KN/m \\ l'_g = l_g = 3.60m. \\ l'_d = 0.8 \times 3.30 = 2.64 m. \\ M_B = -\frac{3.323 \times (3.60^3 + 2.64^3)}{8.5 \times (3.60 + 2.64)} = -4.075KN.m \end{cases}$$

$$\begin{cases} M_D = -\frac{P'_g \times l'_g^3 + P'_d \times l'_d^3}{8.5 \times (l'_g + l'_d)} \\ P'_g = P'_d = P'_u = 3.323KN/m \\ l'_g = 0.8 \times 3.80 = 3.04m. \\ l'_d = 0.8 \times 4.90 = 3.92m. \\ M_D = -\frac{3.323 \times (3.04^3 + 3.92^3)}{8.5 \times (3.04 + 3.92)} = -4.961KN.m \end{cases}$$

$$\begin{cases} M_E = -\frac{P'_g \times l'_g^3 + P'_d \times l'_d^3}{8,5 \times (l'_g + l'_d)} \\ P'_g = P'_d = P'_u = 3,323KN/m \\ l'_g = 0,8 \times 4,90 = 3,92m. \\ l'_d = 0,8 \times 3,80 = 3,04m. \\ M_E = -\frac{3,323 \times (3,92^3 + 3,04^3)}{8,5 \times (3,92 + 3,04)} = -4,961KN.m \end{cases}$$

$$\begin{cases} M_F = -\frac{P'_g \times l'_g^3 + P'_d \times l'_d^3}{8,5 \times (l'_g + l'_d)} \\ P'_g = P'_d = P'_u = 3,323KN/m \\ l'_g = 0,8 \times 3,80 = 3,04m. \\ l'_d = 0,8 \times 3,30 = 2,64m. \\ M_F = -\frac{3,323 \times (3,04^3 + 2,64^3)}{8,5 \times (3,04 + 2,64)} = -3,200KN.m \end{cases}$$

$$\begin{cases} M_G = -\frac{P'_g \times l'_g^3 + P'_d \times l'_d^3}{8.5 \times (l'_g + l'_d)} \\ P'_g = P'_d = P'_u = 3.323KN/m \\ l'_g = 0.8 \times 3.30 = 2.64m. \\ l'_d = l' = 3.60m. \\ M_G = -\frac{3.323 \times (2.64^3 + 3.60^3)}{8.5 \times (2.64 + 3.60)} = -4.075KN.m \end{cases}$$

• Moments en travée :

$$\begin{split} \mathbf{M}(\mathbf{x}) &= M_0(\mathbf{x}) + M_g \times \left(1 - \frac{x}{l}\right) + M_d \times \frac{x}{l} \\ M_0(\mathbf{x}) &= \frac{P_u \times x}{2} \times (l - x) \text{ ; tel que } \mathbf{x} = \frac{l_i}{2} - \frac{M_g - M_d}{P_u \times l_i} \\ \mathbf{Trav\'ee} \ \mathbf{AB} \begin{cases} x &= \frac{3,60}{2} - \frac{-0,807 - (-4,075)}{4,498 \times 3,60} = 1,59m. \\ M_0(x) &= \frac{4,498 \times 1,59}{2} \times (3,60 - 1,59) = 7,187KN.m \\ M(x) &= 7,187 - 0,807 \times \left(1 - \frac{1,59}{3,60}\right) - 4,075 \times \frac{1,59}{3,60} = 4,938KN.m \end{cases} \end{split}$$

Travée BC
$$\begin{cases} x = \frac{3,30}{2} - \frac{-4,075 - (-3,20)}{4,498 \times 3,30} = 1,707m. \\ M_0(\mathbf{x}) = \frac{4,498 \times 1,707}{2} \times (3,30 - 1,707) = 6,115KN.m \\ M(x) = 6,115 - 4,075 \times \left(1 - \frac{1,707}{3,30}\right) - 3,20 \times \frac{1,707}{3,30} = 2,493KN.m \end{cases}$$

Travée CD
$$\begin{cases} x = \frac{3,80}{2} - \frac{-3,20 - (-4,961)}{4,4988 \times 3,80} = 1,79m. \\ M_0(x) = \frac{4,498 \times 1,79}{2} \times (3,80 - 1,79) = 8,091KN.m \\ M(x) = 8,091 - 3,20 \times \left(1 - \frac{1,79}{3,80}\right) - 4,961 \times \frac{1,79}{3,80} = 4,062KN.m \end{cases}$$

Travée DE
$$\begin{cases} x = \frac{4,90}{2} - \frac{-4,961 - (-4,961)}{4,498 \times 4,90} = 2,45m. \\ M_0(x) = \frac{4,498 \times 2,45}{2} \times (4,90 - 2,45) = 13,499KN.m \\ M(x) = 13,499 - 4,961 \times \left(1 - \frac{2,45}{4,90}\right) - 4,961 \times \frac{2,45}{4,90} = 8,538KN.m \end{cases}$$

Travée EF
$$\begin{cases} x = \frac{3,80}{2} - \frac{-4,961 - (-3,200)}{4,498 \times 3,80} = 2m. \\ M_0(x) = \frac{4,498 \times 2}{2} \times (3,80 - 2) = 8,096KN.m \\ M(x) = 8,096 - 4,961 \times \left(1 - \frac{2}{3,80}\right) - 3,200 \times \frac{2}{3,80} = 4,061KN.m \end{cases}$$

Travée FG
$$\begin{cases} x = \frac{3,30}{2} - \frac{-3,20 - (-4,075)}{4,498 \times 3,30} = 1,59m. \\ M_0(x) = \frac{4,498 \times 1,59}{2} \times (3,30 - 1,59) = 6,114KN.m \\ M(x) = 6,114 - 3,20 \times \left(1 - \frac{1,59}{3,30}\right) - 4,075 \times \frac{1,59}{3,30} = 2,490KN.m \end{cases}$$

Travée GH
$$\begin{cases} x = \frac{3,60}{2} - \frac{-4,075 - (-0,807)}{4,498 \times 3,60} = 2m. \\ M_0(x) = \frac{4,498 \times 2}{2} \times (3,60 - 2) = 7,196KN.m \\ M(x) = 7,196 - 4,075 \times \left(1 - \frac{2}{3,60}\right) - 0,807 \times \frac{2}{3,60} = 4,498KN.m \end{cases}$$

• Effort tranchant : $V_u = \frac{P_u \times l_i}{2} + \frac{M_g - M_d}{l_i}$

Travée AB
$$\begin{cases} V_A = \frac{4,498 \times 3,60}{2} + \frac{-4,075 - (-0,807)}{3,60} = 7,188KN \\ V_B = \frac{-4,498 \times 3,60}{2} + \frac{-4,075 - (-0,807)}{3,60} = -9,004KN \end{cases}$$

Travée BC
$$\begin{cases} V_B = \frac{4,498 \times 3,30}{2} + \frac{-3,20 - (-4,075)}{3,30} = -7,687KN \\ V_C = \frac{-4,498 \times 3,30}{2} + \frac{-3,20 - (-4,075)}{3,30} = -7,156KN \end{cases}$$

Travée CD
$$\begin{cases} V_C = \frac{4,498 \times 3,80}{2} + \frac{-4,961 - (-3,200)}{3,80} = 8,083KN \\ V_D = \frac{-4,498 \times 3,80}{2} + \frac{-4,961 - (-3,200)}{3,80} = -9,009KN \end{cases}$$

$$\begin{aligned} & \textbf{Trav\'ee DE} \begin{cases} V_C = \frac{4,498 \times 4,90}{2} + \frac{-4,961 - (-4,961)}{4,90} = 11,020KN \\ V_E = \frac{-4,498 \times 4,90}{2} + \frac{-4,961 - (-4,961)}{4,90} = -11,020KN \end{cases} \\ & V_E = \frac{4,498 \times 3,80}{2} + \frac{-3,20 - (-4,961)}{3,80} = 9,009KN \\ & V_F = \frac{-4,498 \times 3,80}{2} + \frac{-3,20 - (-4,961)}{3,80} = -8,083KN \end{cases} \\ & \textbf{Trav\'ee FG} \begin{cases} V_F = \frac{4,498 \times 3,30}{2} + \frac{-4,075 - (-3,20)}{3,30} = 7,155KN \\ V_G = \frac{-4,498 \times 3,30}{2} + \frac{-4,075 - (-3,20)}{3,30} = -7,688KN \end{cases} \\ & \textbf{Trav\'ee GH} \begin{cases} V_F = \frac{4,498 \times 3,60}{2} + \frac{-0,807 - (-4,075)}{3,60} = 9,004KN \\ V_G = \frac{-4,498 \times 3,60}{2} + \frac{-0,807 - (-4,075)}{3,60} = -7,188KN \end{cases} \end{aligned}$$

Tableau III.4. Sollicitations à l'ELU des poutrelles du plancher EC (type 1)

Type de poutrelle	Travée	L (m)	P _u (KN/m)	M ₀ (KN.m)	M _g (KN.m)	M _d (KN.m)	M _t (KN.m)	V _g (KN)	V _d (KN)
	AB	3.60	6.218	9,936	-1.125	-5.681	6,798	9,926	-12.457
	ВС	3.30	6.218	8,454	-5.681	-4.460	3,40	10,62	-9,889
	CD	3.80	6.218	11,185	-4.460	-6.915	5,569	11,16	-12,460
Type 1	DE	4.90	6.218	18,66	-6.915	-6.915	11,75	15,23	-15,234
	EF	3.80	6.218	11,19	-6.915	-4.460	5,567	12,46	-11,168
-	FG	3.30	6.218	8,453	-4.460	-5.681	3,407	9,88	-10,63
	GH	3.60	6.218	9,948	-5.681	-1.125	6,798	12,44	-9,936

Tableau III.5. Sollicitations à l'ELS des poutrelles du plancher terrasse (type 1)

Type de poutrelle	Travée	L (m)	P _u (KN/m)	M ₀ (KN.m)	M _g (KN.m)	M _d (KN.m)	M _t (KN.m)	V _g (KN)	V _d (KN)
	AB	3.60	4,498	7,187	-0,807	-4,075	4,938	7,188	-9,004
	ВС	3.30	4,498	6,115	-4,075	-3,200	2,493	7,678	-7,156
	CD	3.80	4,498	8,091	-3,200	-4,961	4,062	8,083	-9,009

Type 1	DE	4.90	4,498	13,499	-4,961	-4,961	8,538	11,02	-11,020
	EF	3.80	4,498	8,091	-4,961	-3,200	4,062	9,009	-8,083
	FG	3.30	4,498	6,115	-3,200	-4,075	2,490	7,688	-7,155
	GH	3.60	4,498	7,196	-4,075	-0,807	4,498	9,004	-7,188

Tableau III.6. Sollicitations à l'ELU des poutrelles du plancher EC (type1 Cas DC)

Travée	L (m)	P _U (KN/m)	x (m)	Mg (KN.m)	M _d (KN.m)	M _t (KN.m)	V_{g}	V_d
AB	3,60	4,756	1.58	-0,770	-4,395	5,227	7,553	-9,56
BC	3.30	6,218	1.69	-4,395	-3,609	4,46	10,496	-10,02
CD	3.80	4,756	1.755	-3,609	-6.221	3,717	8,348	-9,724
DE	4.90	6,218	2.449	-6.221	-6.221	12,430	15,23	-15,23
EF	3.80	4,756	2.046	-6.221	-3,609	3,738	9,733	-8,339
FG	3,30	6,218	1,610	-3,609	-4,395	4,451	10,012	-10,50
GH	3,60	4,756	2,011	-4,395	-0,770	5,227	9,567	-7,554

Tableau III.7. Sollicitations à l'ELS des poutrelles du plancher EC (type1 Cas DC)

Travée	L (m)	P _U (KN/m)	x (m)	Mg (KN.m)	M _d (KN.m)	M _t (KN.m)	\mathbf{V}_{g}	V_d
AB	3,60	3,523	1.58	-0,568	-3,211	3,895	5,607	-7,075
ВС	3.30	4,498	1.69	-3,211	-2,628	3,201	7,595	-7,248
CD	3.80	3,523	1.755	-2,628	-4,494	2,832	6,202	-7,185
DE	4.90	4,498	2.449	-4,494	-4,494	9,005	11,020	-11,020
EF	3.80	3,523	2.046	-4,494	-2,628	2,832	7,184	-6,203
FG	3,30	4,498	1,610	-2,628	-3,211	3,205	7,244	-7,599
GH	3,60	3,523	2,011	-3,211	-0,568	3,893	7,074	-5,608

Tableau III.8. Sollicitations à l'ELU des poutrelles du plancher EC (type1 Cas CD)

Travée	L (m)	P _U (KN /m)	x (m)	M _g (KN.m)	M _d (KN.m)	M _t (KN.m)	\mathbf{V}_{g}	V_d
AB	3,60	6,218	1.61	-1,125	-5,174	7,021	10,065	-12,319
ВС	3.30	4,756	1.73	-5,174	-3,903	1,938	8,225	-7,469
CD	3.80	6,218	1.83	-3,903	-5,427	6,563	11,409	-12,219
DE	4.90	4,756	2.449	-5,427	-5,427	8,84	11,65	-11,65
EF	3.80	6,218	1,96	-5,427	-3,903	6,55	11,421	-12,207
FG	3,30	4,756	1,950	-3,903	-5,174	1,950	7,462	-8,232
GH	3,60	6,218	1,979	-5,174	-1,125	7	12,308	-10,076

Tableau III.9. Sollicitations à l'ELS des poutrelles du plancher EC (type1 Cas CD)

Travée	L (m)	P _U (KN /m)	x (m)	Mg (KN.m)	M _d (KN.m)	M _t (KN.m)	$\mathbf{V}_{\mathbf{g}}$	V_d
AB	3,60	4,498	1.61	-0,807	-3,734	5,088	7,362	-8,831
ВС	3.30	3,523	1.73	-3,734	-2,825	1,536	6,093	-5,532
CD	3.80	4,498	1.83	-2,825	-3,96	4,735	8,247	-8,845
DE	4.90	3,523	2.45	-3,96	-3,96	6,615	8,631	-8,631
EF	3.80	4,498	1,96	-3,96	-3,903	4,738	8,846	-8,246
FG	3,30	3,523	1,571	-2,825	-2,825	10,21	5,575	-6,051
GH	3,60	4,498	1,96	-3,734	-0,807	4,93	8,83	-7,362

> Plancher E.C (méthode forfaitaire):

Poutrelle type 2:

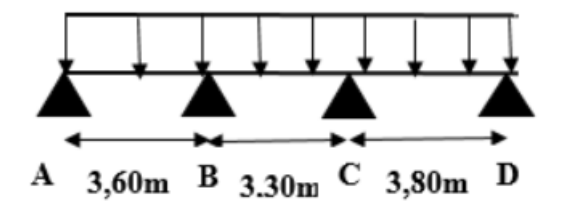


Figure III.6. Schéma statique de la poutrelle type 2

 $P_u = 6,218KN/ml$ et $P_s = 4,498KN/ml$

• Moments isostatiques :

À l'ELU :

$$\begin{cases} \text{Trav\'ee AB:} \\ M_0^{AB} = \frac{P_u l^2}{8} = \frac{6,218 \times 3,60^2}{8} = 10,073 \text{KN.} m \\ \text{Trav\'ee BC:} \\ M_0^{BC} = \frac{6,218 \times 3,30^2}{8} = 8,464 \text{KN.} m \\ \text{Trav\'ee CD:} \\ M_0^{CD} = \frac{6,218 \times 3,80^2}{8} = 11,223 \text{KN.} m \end{cases}$$

$$\begin{cases} \text{Trav\'ee AB:} \\ M_0^{AB} = \frac{P_u l^2}{8} = \frac{4,498 \times 3,60^2}{8} = 7,286 \text{KN.} m \\ \text{Trav\'ee BC:} \\ M_0^{BC} = \frac{4,498 \times 3,30^2}{8} = 6,122 \text{KN.} m \\ \text{Trav\'ee CD:} \\ M_0^{CD} = \frac{4,498 \times 3,80^2}{8} = 8,118 \text{KN.} m \end{cases}$$

À l'ELS:

Travée AB:

$$M_0^{AB} = \frac{P_u l^2}{8} = \frac{4,498 \times 3,60^2}{8} = 7,286 KN. m$$

Travée BC:
 $M_0^{BC} = \frac{4,498 \times 3,30^2}{8} = 6,122 KN. m$
Travée CD:
 $M_0^{CD} = \frac{4,498 \times 3,80^2}{8} = 8,118 KN. m$

• Moments aux appuis :

À l'ELU :

$$M_A = M_D = 0$$
 Mais BAEL exige ; -0,15 $M_0 = 0,15 \times 11,223 = -1,683KN.m$ $M_B = -0,5 \times \max(M_0^{AB}; M_0^{BC}) = -0,5 \times 10,073 = -5,036KN.m$ $M_C = -0,5 \times \max(M_0^{BC}; M_0^{CD}) = -0,5 \times 11,223 = -5,6115KN.m$

À l'ELS:

$$M_A = M_D = 0$$
 Mais BAEL exige; -0,15 $M_0 = 0,15 \times 8,118 = -1,217KN.m$
 $M_B = -0.5 \times \max(M_0^{AB}; M_0^{BC}) = -0.5 \times 7,286 = -3,643KN.m$
 $M_C = -0.5 \times \max(M_0^{BC}; M_0^{CD}) = -0.5 \times 8,118 = -4,059KN.m$

• Moments en travée : $\alpha = \frac{Q}{Q+G} = \frac{1.5}{1.5+5.42} = 0.216 \Longrightarrow \begin{cases} 1+0.3 \times \alpha = 1.0648 \\ 1.2+0.3 \times \alpha = 1.2648 \end{cases}$ À l'ELU:

Travée AB :
$$Max$$

$$\begin{cases} M_{t1} \geq -\frac{1,68+5,036}{2} + 10,72 = 7,366KN.m \\ M_{t2} \geq \frac{1,2+0,3\alpha}{2} M_0 = \frac{1,2648}{2} \times 10,073 = 6,370KN.m \end{cases}$$

$$\Longrightarrow M_{t1}=7,\!366KN.\,m$$

Travée BC:
$$Max$$

$$\begin{cases} M_{t1} \geq -\frac{5,036+5,6115}{2} + 9,012 = 3,68KN.m \\ M_{t2} \geq \frac{1,2+0,3}{2} \frac{\alpha}{2} M_0 = \frac{1,2648}{2} \times 8,464 = 5,35KN.m \end{cases}$$

$$\Rightarrow M_{t1} = 5,35KN.m$$

Travée CD:
$$Max$$

$$\begin{cases} M_{t1} \geq -\frac{5,611+1,683}{2} + 11,95 = 8,30KN.m \\ M_{t2} \geq \frac{1,2+0,3}{2}M_0 = \frac{1,2648}{2} \times 11,22 = 7,09KN.m \end{cases}$$

$$\Rightarrow M_{t1} = 8,303KN.m$$

À l'ELS:

Travée AB : M_{t1} =5,328KN.m

Travée BC : M_{t2} =3,259KN.m

Travée CD: M_{t1} =6,006KN.m

Efforts tranchants : $V_u = \frac{P_u \times l_i}{2}$

Travée AB
$$\begin{cases} V_A = \frac{6,218 \times 3,60}{2} = 11,193KN \\ V_B = 1,1 \times \frac{-6,218 \times 3,60}{2} = -12,311KN \end{cases}$$

Travée BC
$$\begin{cases} V_B = 1.1 \times \frac{6.218 \times 3.30}{2} = 11,285 KN \\ V_C = -1.1 \times \frac{6.218 \times 3.30}{2} = -12,413 KN \end{cases}$$

Travée CD
$$\begin{cases} V_C = 1.1 \times \frac{6.218 \times 3.80}{2} = 12.995 KN \\ V_D = \frac{-6.218 \times 3.80}{2} = -11.814 KN \end{cases}$$

Les résultats des sollicitations sont présentés sur les tableaux suivants :

> Plancher RDC (M. CAQUOT):

Type(1): cas charge ELU

Tableau III.6. Sollicitations à l'ELU des poutrelles (type 1) Plancher RDC

Travée	L (m)	P _U (KN /m)	x (m)	M _g (KN.m)	M _d (KN.m)	M _t (KN.m)	V_{g}	\mathbf{V}_{d}
AB	3,60	7,193	1.58	-1,35	-6,84	7,68	11,39	-14,49
ВС	3.30	7,193	1.71	-6,84	-5,31	3,67	12,29	-11,40
CD	3.80	7,193	1.79	-5,31	-8,301	6,14	12,86	-14,42
DE	4.90	7,193	2.44	-8,301	-8,33	13,21	17,59	-17,59
EF	3.80	7,193	2	-8,33	-5,37	6,15	14,42	-12,86
FG	3,30	7,193	1,58	-5,37	-6,84	3,66	11,40	-12,29
GH	3,60	7,193	2	-6,84	-1,35	7,86	14,49	-11,35

Type(1): cas charge ELS:

Tableau III.7. Sollicitations à l'ELS des poutrelles (type 1) Plancher RDC

Travée	L (m)	P _U (KN/m)	x (m)	Mg (KN.m)	M _d (KN.m)	M _t (KN.m)	\mathbf{V}_{g}	V_d
AB	3,60	5,148	1.59	-0,96	-4,87	5,53	8,168	-10,336
ВС	3.30	5,148	1.71	-4,87	-3,82	2,66	8,807	-8,18
CD	3.80	5,148	1.79	-3,82	-5,92	4,45	9,228	-10,334
DE	4.90	5,148	2.45	-5,92	-5,92	9,52	12,61	-12,61
EF	3.80	5,148	2.05	-5,92	-3,82	4,436	10,326	-9,236
FG	3,30	5,148	1,59	-3,82	-4,87	2,67	8,176	-8,812
GH	3,60	5,148	2	-4,87	-0,96	5,546	10,356	-8,176

Type(1): cas charge décharge ELU:

Tableau III.8. Sollicitations à l'ELU des poutrelles (type 1) Plancher RDC

Travée	L (m)	P _U (KN/m)	x (m)	Mg (KN.m)	M _d (KN.m)	M _t (KN.m)	V_{g}	V_d
AB	3,60	7,18	1.61	-1,35	-6	8,06	11,63	-14,21
ВС	3.30	4,75	1.74	-6	-4,44	1,24	8,31	-7,36
CD	3.80	7,18	1.82	-4,44	-5,85	7,81	13,27	-14,01
DE	4.90	4,75	2.44	-5,85	-5,85	8,37	11,63	-11,63
EF	3.80	7,18	1.95	-5,85	-4,44	7,81	14,01	-13,27
FG	3,30	4,75	1,54	-4,44	-6	1,25	8,31	-7,36
GH	3,60	7,18	1,97	-6	-1,35	8,06	14,21	-11,63

Type(1): cas charge décharge ELS:

Tableau III.8. Sollicitations à l'ELS des poutrelles (type 1) Plancher RDC

Travée	L (m)	P _U (KN/m)	x (m)	M _g (KN.m)	M _d (KN.m)	M _t (KN.m)	V_{g}	V_d
AB	3,60	5,148	1.61	-0,96	-4,31	5,78	8,323	-10,181

ВС	3.30	3,523	1.74	-4,31	-3,21	1,041	6,14	-5,48
CD	3.80	5,148	1.82	-3,21	-4,28	5,55	9,494	-10,12
DE	4.90	3,523	2.44	-4,28	-4,28	6,29	8,63	-8,63
EF	3.80	5,148	1.95	-4,28	-3,21	5,56	10,066	-9,496
FG	3,30	3,523	1,54	-3,21	-4,31	1,046	5,474	-6,142
GH	3,60	5,148	1,97	-4,31	-0,96	5,81	10,203	-8,301

Type(1): cas décharge charge ELU:

Tableau III.9. Sollicitations à l'ELU des poutrelles (type 1) Plancher RDC

Travée	L (m)	P _U (KN/m)	x (m)	Mg (KN.m)	M _d (KN.m)	M _t (KN.m)	\mathbf{V}_{g}	V_d
AB	3,60	4,75	1.56	-0,76	-4,70	5,07	7,45	-9,64
ВС	3.30	7,18	1.68	-4,70	-3,95	5,44	12,07	-11,61
CD	3.80	4,75	1.71	-3,95	-7,17	3,05	8,17	-9,87
DE	4.90	7,18	2.44	-7,17	-7,17	14,37	17,59	-17,59
EF	3.80	4,75	2.07	-7,17	-3,95	3,06	9,87	-8,17
FG	3,30	7,18	1,61	-3,95	-4,70	5,45	11,61	-12,07
GH	3,60	4,75	2,02	-4,70	-0,76	5,06	9,64	-7,45

Type(1): cas décharge charge ELS:

Tableau III.10. Sollicitations à l'ELS des poutrelles (type 1) Plancher RDC

Travée	L (m)	P _U (KN/m)	x (m)	Mg (KN.m)	M _d (KN.m)	M _t (KN.m)	\mathbf{V}_{g}	V_d
AB	3,60	3,523	1.57	-0,57	-3,44	3,80	5,549	-7,130
ВС	3.30	5,148	1.68	-3,44	-2,88	3,85	8,66	-8,30
CD	3.80	3,523	2,39	-2,88	-5,16	2,39	6,09	-7,29
DE	4.90	5,148	2,45	-5,16	-5,16	10,28	12,61	-12,61
EF	3.80	3,523	2.07	-5,16	-2,88	2,40	7,297	-6,090

FG	3,30	5,148	1.61	-2,88	-3,44	3,83	8,32	-8,66
GH	3,60	3,523	2,026	-3,44	-0,57	3,80	7,133	-5,539

> Plancher E.C (méthode forfaitaire):

Tableau III.11. Sollicitations à l'ELU des poutrelles (type 1) Plancher RDC

Travée	P _U (KN/m)	P _S (KN/m)	L (m)	M _{0u} (KN.m)	M _{0S} (KN.m)	M _{tu} (KN.m)	Mts (KN.m)	Vui (KN)	Vui+1 (KN)
AB	7,193	5,148	3.60	11,652	8,339	8.86	6.341	12.947	-14.24
ВС	7,193	5,148	3.30	9.791	7,007	6,334	4,553	13.055	-14.36
CD	7,193	5,148	3.80	12,983	9,292	9,984	6.736	15.033	-13.65

➤ Plancher Terrasse inaccessible (M. CAQUOT) :

Type(1): cas charge ELU

Tableau III.12. Sollicitations à l'ELU des poutrelles (type 1) Plancher T.IN

Travée	L (m)	P _U (KN/m)	x (m)	Mg (KN.m)	M _d (KN.m)	M _t (KN.m)	$V_{ m g}$	V_d
AB	3,60	6,784	1.60	-1,17	-5,943	7,55	10,88	-13,53
ВС	3.30	6,784	1.71	-5,943	-4,666	3,945	11,580	-10,857
CD	3.80	6,784	1,80	-4,666	-7,235	6,333	12,21	-13,565
DE	4.90	6,784	2,45	-7,235	-7,235	13,123	16,620	-16,620
EF	3.80	6,784	1,99	-7,235	-4,666	6,309	13,565	-12,213
FG	3,30	6,784	1.59	-4,666	-5,943	3,940	10,857	-11,59
GH	3,60	6,784	1,99	-5,943	-1,17	7,55	13,53	-10,88

Type(1): cas charge ELS

Tableau III.12. Sollicitations à l'ELS des poutrelles (type 1) Plancher T.IN

Twoyyée	L	Pu	X	Mg	Md	Mt	17	V 7.
Travée	(m)	(KN/m)	(m)	(KN.m)	(KN.m)	(KN.m)	V g	V d

AB	3,60	4,953	1.605	-0,85	-4,31	5,53	7,718	-10,112
BC	3.30	4,953	2,11	-4,31	-3,387	6,813	8,452	-7,892
CD	3.80	4,953	1,79	-3,387	-5,252	4,631	8,19	-9,902
DE	4.90	4,953	2,44	-5,252	-5,252	9,606	12,13	-12,13
EF	3.80	4,953	1,99	-5,252	-3,387	4,637	9,901	-8,919
FG	3,30	4,953	1.59	-3,387	-4,31	3,141	7,807	-8,457
GH	3,60	4,953	2,07	-4,31	-0,85	6,049	10,18	-7,72

Type(1): cas charge Décharge ELU

Tableau III.13. Sollicitations à l'ELU des poutrelles (type 1) Plancher T.IN

Travée	L (m)	P _U (KN /m)	x (m)	Mg (KN.m)	M _d (KN.m)	M _t (KN.m)	V_{g}	\mathbf{V}_{d}
AB	3,60	6,784	1.61	-1,17	-5,605	7,699	10,97	-13,44
ВС	3.30	5,809	1.71	-5,605	-4,295	2,957	9,981	-9,187
CD	3.80	6,784	1,82	-4,295	-6,242	6,999	12,337	-13,401
DE	4.90	5,809	2,45	-6,242	-6,242	11,187	14,23	-14,23
EF	3.80	6,784	1,95	-6,242	-4,295	6,64	13,401	-12,337
FG	3,30	5,809	1.59	-4,295	-5,605	2,980	9,187	-9,98
GH	3,60	6,784	1,98	-5,605	-1,17	7,708	13,44	-10,97

Type(1): cas charge Décharge ELS

Tableau III.14. Sollicitations à l'ELS des poutrelles (type 1) Plancher T.IN

Travée	L (m)	P _U (KN/m)	x (m)	Mg (KN.m)	M _d (KN.m)	M _t (KN.m)	V_{g}	V_d
AB	3,60	4,953	1.57	-0,85	-4,089	6,11	7,777	-10,053
BC	3.30	4,303	1,71	-4,089	-3,140	2,226	6,14	-17,403
CD	3.80	4,953	1,82	-3,140	-4,59	5,074	9	-9,81
DE	4.90	4,303	2,44	-4,59	-4,59	8,302	10,54	-10,54

EF	3.80	4,953	1,97	-4,59	-3,140	5,083	9,79	-9,02
FG	3,30	4,303	1.58	-3,140	-4,089	2,99	6,81	-7,38
GH	3,60	4,953	2,02	-4,089	-0,85	6,088	10,51	-7,77

Type(1): cas Décharge charge ELU

Tableau III.15. Sollicitations à l'ELU des poutrelles (type 1) Plancher T.IN

Travée	L (m)	P _U (KN/m)	x (m)	M _g (KN.m)	M _d (KN.m)	M _t (KN.m)	\mathbf{V}_{g}	V_d
AB	3,60	5,809	1.61	-0,94	-5,086	6,505	9,304	-11,607
ВС	3.30	6,784	1.69	-5,086	-4,099	4,667	11,492	-10,894
CD	3.80	5,809	1,77	-4,099	-6,772	5,092	10,333	-11,740
DE	4.90	6,784	2,44	-6,772	-6,772	13,58	16,620	-16,620
EF	3.80	5,809	2,02	-6,772	-4,099	5,087	11,740	-10,333
FG	3,30	6,784	1.6	-4,099	-5,086	4,64	10,894	-11,492
GH	3,60	5,809	1,99	-5,086	-0,94	6,49	11,607	-9,30

Type(1): cas Décharge charge ELS

Tableau III.15. Sollicitations à l'ELU des poutrelles (type 1) Plancher T.IN

Travée	L (m)	P _U (KN /m)	x (m)	Mg (KN.m)	M _d (KN.m)	M _t (KN.m)	$\mathbf{V}_{\mathbf{g}}$	\mathbf{V}_{d}
AB	3,60	4,303	1.55	-0,69	-3,74	5,22	6,78	-8,709
ВС	3.30	4,953	1,65	-3,74	-3,00	3,379	8,39	-7,94
CD	3.80	4,303	1,77	-3,00	-4,943	5,074	7,66	-8,68
DE	4.90	4,953	2,44	-4,943	-4,943	9,91	12,13	-12,13
EF	3.80	4,303	2,01	-4,943	-3,00	3,87	8,68	-7,66
FG	3,30	4,953	1.57	-3,00	-3,74	3,17	7,94	-8,39
GH	3,60	4,303	2,03	-3,74	-0,69	5,20	8,78	-6,70

Sollicitations maximales

Tableau III.16. Sollicitations maximales à l'ELU et à l'ELS

		L'	LEU		L'LES			
Désignation	M _t ^{max} (KN.m)	M _a ^{int} (KN.m)	M _a ^{riv} (KN.m)	v _u ^{max} (KN)	M _t ^{max} (KN.m)	M _a ^{int} (KN.m)	M _a ^{riv} (KN.m)	
Terrasse inaccessible	13,58	7,235	-1.17	16,62	9.91	5.252	-0,85	
E. courant	12,430	-6,915	-1,683	-15,375	10,21	-4,961	-1,27	
RDC	14,37	-8.33	-1.35	-17.59	10,28	-5,92	-0,96	

III.2.1.3 Ferraillage des poutrelles :

a) Ferraillage longitudinale:

o Ferraillage en travée :

Le moment équilibré par la table :

$$M_{\text{tu}} = b \times h_0 \times f_{bu} \left(d - \frac{h_0}{2} \right) = 0.65 \times 0.05 \times 14.2 \left(0.189 - \frac{0.05}{2} \right) = 0.07568 \text{MN.m}$$

$$M_{tu} = 75,68 \text{KN.m}$$
 et $M_t^{max} = 12,430 \text{KN.m}$

On à M_{tu} =75,68KN.m > M_t^{max} = 12,430KN.m \Longrightarrow L'axe neutre passe par la table de compression ce qui nous conduit à faireun calcul d'une section rectangulaire($\mathbf{b} \times \mathbf{h}$).

> Calcul des armatures :

$$\mu_{bu} = \frac{M_t}{f_{bu} \times d^2 \times b} = \frac{12,430 \times 10^{-3}}{14,2 \times 0,189^2 \times 0,65} = 0,037 < 0,186$$

$$\Rightarrow$$
 Pivot A: $\xi\%_0 = 10\%_0$ et $f_{st} = \frac{f_e}{\gamma_s} = 348MPa$

$$\begin{cases} \mu_l = 0.8\alpha(1-0.4\alpha) = 0.3916 \\ \mu_{bu} < \mu_l \Longrightarrow A' = 0 \text{ Pas d'armature comprimé} \end{cases}$$

Calcule de A

$$\begin{cases} A_t = \frac{M_t}{Z. f_{st}} \\ \alpha = 1,25 \times \left(1 - \sqrt{1 - (2 \times 0,037)}\right) = 0,0471 \\ Z = 0,189(1 - 0,4 \times 0,0471) = 0,185m \\ A_t = \frac{12,430 \times 10^{-3}}{0,185 \times 348} = 1,930 \times 10^{-4}m^2 \\ \Rightarrow A_t = 1,93cm^2 \end{cases}$$

Vérification de la condition de non fragilité :

$$A_{\min} = \frac{0.23 \times b \times d \times f_{t28}}{f_e} = \frac{0.23 \times 0.65 \times 0.189 \times 2.1}{400} = 1.48 \text{cm}^2$$

$$\Rightarrow$$
 A_{min} = 1,48cm² < A_t = 1,93cm² CV

Donc soit : $2T10+1T12 = 2{,}70 \text{ cm}^2$

o Ferraillage aux appuis:

Appuis intermédiaires :

$$\mu_{bu} = \frac{M_a}{f_{bu} \times d^2 \times b} = \frac{6,915 \times 10^{-3}}{14,2 \times 0,189^2 \times 0,1} = 0,136 < 0,186$$

 \Rightarrow Pivot A : On à $\mu_{bu} < \mu_l \Rightarrow A' = 0$ Pas d'armature comprimé

Calcule de A

$$\begin{cases} A_a = \frac{M_a}{Z. f_{st}} \\ \alpha = 1,25 \times \left(1 - \sqrt{1 - (2 \times 0,136)}\right) = 0,0471 \\ Z = 0,189(1 - 0,4 \times 0,183) = 0,175m \\ A_a = \frac{6,915 \times 10^{-3}}{0,175 \times 348} = 1,135 \times 10^{-4}m^2 \\ \Rightarrow A_a = 1,135cm^2 \end{cases}$$

Vérification de la condition de non fragilité :

$$A_{\min} = \frac{0,23 \times b \times d \times f_{t28}}{f_e} = \frac{0,23 \times 0,10 \times 0,189 \times 2,1}{400} = 0,23 \text{cm}^2$$

$$\Rightarrow A_{min} = 0.23 cm^2 < A_t = 1.135 cm^2 \dots \dots \dots \dots \dots CV$$

Donc soit : $1T10+1T12 = 1,92 \text{ cm}^2$

Appui de rive:

$$\mu_{bu} = \frac{M_a}{f_{bu} \times d^2 \times b} = \frac{1,683 \times 10^{-3}}{14,2 \times 0,189^2 \times 0,1} = 0,033 < 0,186$$

 \Rightarrow Pivot A : On à $\mu_{bu} < \mu_l \Rightarrow$ A' = 0 Pas d'armature comprimé

$$\begin{cases} A_a = \frac{M_a}{Z. f_{st}} \\ \alpha = 1,25 \times \left(1 - \sqrt{1 - (2 \times 0,033)}\right) = 0,0419 \\ Z = 0,189(1 - 0,4 \times 0,0419) = 0,1858m \\ A_a = \frac{1,683 \times 10^{-3}}{0,1858 \times 348} = 0,26 \times 10^{-4}m^2 \\ \Rightarrow A_a = 0,26cm^2 \end{cases}$$

> Vérification de la condition de non fragilité :

$$A_{min} = \frac{0.23 \times b \times d \times f_{t28}}{f_e} = \frac{0.23 \times 0.10 \times 0.189 \times 2.1}{400} = 0.23 \text{cm}^2$$

$$\Rightarrow$$
 A_{min} = 0,23cm² < A_t = 0,26cm² CV

Donc soit : $1T12 = 1{,}13 \text{ cm}^2$

> Vérification de l'effort tranchant :

$$\begin{cases} V_{u} = 15,375KN \\ \tau_{u} = \frac{V_{U}}{b_{0} \times b} = \frac{15,375 \times 10^{-3}}{0,10 \times 0,189} = 0,813MPa \\ \overline{\tau_{u}} = \min\left(\frac{0,2f_{c28}}{1,5};5MPa\right) = 3,33MPa \\ \tau_{u} < \overline{\tau_{u}} \dots \dots \dots CV \text{ Pas de risque de cisaillement} \end{cases}$$

b) Ferraillage transversale:

> Choix des armatures transversales :

On choisit un étrier : \emptyset_6 A_t = $2\emptyset_6$ = 0.57cm²

> L'espacement :

L'espacement des cours successifs d'armatures transversales doit satisfaire les conditions suivantes :

1.
$$S_t \le \min(0.9d; 40cm) \Longrightarrow S_t = 17.01cm$$

2.
$$S_t \le A_t = \frac{0.8 \times f_e(\cos \alpha + \sin \alpha)}{b_0 \times (\tau_u - 0.3 K f_{t28})} = \frac{0.8 \times 400 \times 0.57 \times 1}{10 \times (0.813 - 0.3 \times 1 \times 2.1)} = 99,672 \text{cm}$$

3.
$$S_t \le \frac{A_t \times f_e}{0.4 \times b_0} = \frac{0.57 \times 400 \times 10^{-4}}{0.4 \times 0.10} = 57 \text{cm}$$

K=1 : Flexion simple, ou pas de reprise de bétonnage.

 $\alpha = 90^{\circ}$ (Les armatures sont perpendiculaires)

Donc:
$$S_t = \min(S_{t1}; S_{t2}; S_{t3}) = \min(17,01; 99,672; 57)$$

On prend : $S_t = 15$ cm

Vérification de l'effort tranchant des armatures longitudinales :

Appui intermédiaire :

$$A_t = \frac{1,15}{f_e} \times \left(V_u + \frac{M_a}{0,9 \times d}\right) \text{ avec} : A_t = 2,70 + 1,92 = 4,60 \text{cm}^2$$

$$A_t = \frac{1,15}{400} \times \left(15,375 + \frac{6,915}{0.9 \times 0.189}\right) \times 10^{-3} \implies A_t = -0,726cm^2$$

⇒Aucune vérification à faire au niveau de l'appui intermédiaire, car l'effort tranchant est négligeable devant l'effet du moment.

Appui de rive:

$$\begin{cases} A_{t} \geq \frac{\gamma_{s} \times V_{u}}{f_{e}} \ avec : A_{t} = 2,70 + 1,13 = 3,83cm^{2} \\ A_{t} \geq \frac{1,15 \times 15,375 \times 10^{-3}}{400} = 0,44cm^{2}donc \dots .CV \end{cases}$$

➤ Vérification de la contrainte de cisaillement à la jonction table-nervure :

$$\tau_u = \frac{V_u(b - b_0)}{1,8 \times d \times b \times h_0} = \frac{15,375(0,65 - 0,10)}{1,8 \times 0,189 \times 0,65 \times 0,05} = 0,764 \text{MPa}$$

$$\Rightarrow \tau_u = 0.764 \text{MPa} < \overline{\tau_u} = 3.33 \text{ MPa} \dots \text{CV}$$

Vérification de la bielle de compression du béton :

$$V_u \le 0.267 \times a \times b_0 \times f_{c28}$$

avec:
$$a \le 0.9 \times d = 0.9 \times 18.9 = 17.01$$

Soit : $\alpha \le \min(0.9d; 1'\text{arguer de 1'appui-4cm}) = 17.01 \implies a=17\text{cm}$

$$V_u = 15,375 \times 10^{-3} \le 0,267 \times 17 \times 0,1 \times 25 = 0,1135...$$
CV

Vérification à l'ELS:

État limite de compression du béton : La fissuration est peu nuisible donc la vérification à faire est la contrainte de compression du béton.

$$\sigma_{bc} = \frac{M_{ser} \times y}{I} \le \overline{\sigma_b} = 0.6 \times f_{C28} = 15 \text{MPa} \dots \text{V\'erifie}.$$

En travée :
$$M_t = 10 ,21 \text{KN.m}$$
 A =2,70cm²

Position de l'axe neutre :

$$\begin{cases} H = \frac{b \times h_0^2}{2} + 15 \times A' \times (h_0 - d') - 15 \times A \times (d - h_0) \\ A' = 0 \implies H = \frac{b \times h_0^2}{2} - 15 \times A \times (d - h_0) \\ H = \frac{0.65 \times 0.05^2}{2} - 15 \times 2.70 \times 10^{-4} \times (0.189 - 0.05) \\ H = 2.495 \times 10^{-4} cm \end{cases}$$

On a :
$$H = 2.495 \times 10^{-4} cm > 0$$

donc on va calcule d'un section rectongeulair($b \times h$)

Calcule -y-

$$A' = 0 \Longrightarrow \frac{b \times y^2}{2} + n \times A_{sc} \times (y - d') - nA_{st}(d - y)$$

$$\frac{0.65 \times y^2}{2}$$
 15× 2,70 × (0,189 – y)=0

$$0.325y^2 + 40.5 \times 10^{-4}y - 7.654 \times 10^{-4} = 0$$

$$\Rightarrow$$
y=0,0426m \Rightarrow y=4,26cm

L'axe neutre est dans la table de compression les calculs sont identiques au cas d'une section rectangulaire.

Calcule -I-

$$A' = 0 \Longrightarrow I = \frac{b \times y^3}{3} + nA_{st}(d - y)^2 + nA_{sc}(d' - y) = 0$$

$$I = \frac{65 \times 4,26^3}{3} + 15 \times 2,70 \times (18,9 - 4,26)^2$$

 $I = 10355,37 \text{cm}^4$

$$\sigma_{bc} = \frac{M_{ser} \times y}{I} = \frac{10.38 \times 10^{-3} \times 4.26 \times 10^{-2}}{10355.37 \times 10^{-8}} = 4.27 \text{ MPa} < 15MPa \dots CV$$

Aux appuis:

Vérification des contraintes : $M_a = -4,96$ KN. m A=1,92cm²

Position de l'axe neutre :

$$\begin{cases} H = \frac{b \times h_0^2}{2} + 15 \times A' \times (h_0 - d') - 15 \times A \times (d - h_0) \\ A' = 0 \implies H = \frac{b \times h_0^2}{2} - 15 \times A \times (d - h_0) \\ H = \frac{0.10 \times 0.05^2}{2} - 15 \times 1.92 \times 10^{-4} \times (0.189 - 0.05) \\ H = -2.753 \times 10^{-4} cm \end{cases}$$

On a : $H = -2,753 \times 10^{-4} cm < 0$ L'axe neutre passe par la nervure, calcul d'une section en Té.

Calcule -y-

$$\begin{cases} A' = 0 \implies \frac{b_0}{2}y^2 + [15A + (b - b_0)h_0]y - \left[15Ad + \frac{(b - b_0)}{2}h_0^2\right] = 0 \\ 0.05y^2 + 0.10683y - 1.23182 \times 10^{-3} = 0 \implies y = 0.0114m \implies y = 1.14cm \end{cases}$$

Calcul de I:

$$\begin{cases} A' = 0 \implies I = \frac{by^3}{3} - \frac{b - b_0}{3} (y - h_0)^3 + 15A(d - y)^2 \\ I = \frac{65 \times 1,14^3}{3} - \frac{65 - 10}{3} (1,14 - 5)^3 + 15 \times 1,92(18,9 - 1,14)^2 \\ I = 10170,521cm^4 \end{cases}$$

$$\sigma_{bc} = \frac{M_{ser} \times y}{I} = \frac{4.96 \times 10^{-3} \times 1.14 \times 10^{-2}}{10170,521 \times 10^{-8}} = 0,555 \text{ MPa} < 15 MPa \dots \dots CV$$

> Etat limite de déformation :

Le calcul des déformations est effectué pour évaluer les flèches dans l'intention de fixer les contre flèches à la construction ou de limiter les déformations de service.

• Evaluation de la flèche :

Elle est évaluée selon les recommandations du BAEL 91 (Article .B.6.5) et celle du CBA 93.

Si l'une de ses conditions ci-dessous n'est pas satisfaite la vérification de la flèche devient nécessaire :

1)
$$\frac{h}{l} \ge \frac{1}{16}$$

$$2) \ \frac{h}{l} \ge \frac{M_t}{10 \times M_0}$$

$$3) \ \frac{A}{b_0 \times d} \le \frac{4.2}{f_e}$$

On a:
$$\frac{h}{l} = \frac{21}{490} = 0.043 \le \frac{1}{16}$$
CNV

La condition n'est pas satisfaite donc on doit faire une vérification de la flèche.

$$\Delta f_t = f_{gv} - f_{ji} + f_{pi} - f_{gi}$$

 f_{gv} , f_{gi} : Flèches dues aux charges permanentes totales différées et instantanées respectivement.

 f_{ji} : Flèche due aux charges permanentes appliquées avant la mise en place des cloisons.

 f_{pi} : Flèche due à l'ensemble des charges permanentes et charges d'exploitation.

La flèche admissible pour une poutre inférieure à 5m est de :

$$L=4.9 - 0.4 = 4.6 \, m$$

$$f_{adm} = \frac{L}{500} = \frac{460}{500} = 0,92cm$$

• Evaluation des moments en travée :

 $q_{jser} = 0.65 \times G$: La charge permanente qui revient à la poutrelle sans la charge de revêtement.

 $q_{aser} = 0.65 \times G$: La charge permanente qui revient à la poutrelle.

 $q_{vser} = 0.65 \times (G + Q)$: La charge permanente et la surcharge d'exploitation.

$$M_{jser} = 0.75 \times \frac{q_{jser} \times l^2}{8}$$

$$M_{gser} = 0.75 \times \frac{q_{gser} \times l^2}{8}$$

$$M_{pser} = 0.75 \times \frac{q_{pser} \times l^2}{8}$$

\checkmark Contraintes δ_s :

$$\delta_{sj} = 15 \times \frac{M_{jser} \times (d-y)}{I} \qquad \delta_{sg} = 15 \times \frac{M_{gser} \times (d-y)}{I} \qquad \delta_{sp} = 15 \times \frac{M_{pser} \times (d-y)}{I}$$

✓ Inerties fictives ():

$$If_{ij} = \frac{1,1 \times I_0}{1 + \lambda_i \times \mu_j} \quad ; \quad If_{ig} = \frac{1,1 \times I_0}{1 + \lambda_i \times \mu_g} \quad ; \quad If_{ip} = \frac{1,1 \times I_0}{1 + \lambda_i \times \mu_p} \quad ; \quad If_{vg} = \frac{1,1 \times I_0}{1 + \lambda_v \times \mu_g}$$

$$\mu_{j} = 1 - \frac{1,75 \times f_{t28}}{4 \times \rho \times \delta_{sj} + f_{t28}} \quad ; \qquad \mu_{g} = 1 - \frac{1,75 \times f_{t28}}{4 \times \rho \times \delta_{sg} + f_{t28}} \quad ; \qquad \mu_{p} = 1 - \frac{1,75 \times f_{t28}}{4 \times \rho \times \delta_{sp} + f_{t28}}$$

$$Si \ \mu \leq 0 \implies \mu = 0$$

✓ Evaluation des flèches :

$$f_{ji} = \frac{M_{jser} \times l^2}{10 \times E_i \times lf_{ij}} \; ; \quad f_{gi} = \frac{M_{gser} \times l^2}{10 \times E_i \times lf_{ig}} \quad ; \quad f_{pi} = \frac{M_{pser} \times l^2}{10 \times E_i \times lf_{ip}} \quad ; \quad f_{gv} = \frac{M_{pser} \times l^2}{10 \times E_v \times lf_{gv}}$$

$$q_{jser} = 0.65 \times G \implies q_{jser} = 0.65 \times 0.21 \times 14 = 1.911 \text{KN/m}$$

$$q_{gser} = 0.65 \times G \implies q_{gser} = 0.65 \times 5.420 = 3.523 \text{ KN/m}$$

$$q_{pser} = 0.65 \times (G+Q) \quad \Longrightarrow q_{pser} = 0.65 \times (5.420 + 1.500) = 4.498 \text{KN/m}$$

$$M_{jser} = 0.75 \times \frac{q_{jser} \times l^2}{8} = 0.75 \times \frac{1.911 \times 4.60^2}{8} = 3.790 KN. m$$

$$M_{gser} = 0.75 \times \frac{q_{gser} \times l^2}{8} = 0.75 \times \frac{3.523 \times 4.60^2}{8} = 6.988 KN. m$$

$$M_{pser} = 0.75 \times \frac{q_{pser} \times l^2}{8} = 0.75 \times \frac{4.498 \times 4.60^2}{8} = 8.922 KN. m$$

• Propriété de la section :

Position de l'axe neutre : y=4,26cm.

Moment d'inertie :

$$\begin{cases} I_0 = \frac{bv^3}{3} + \frac{b_0(h-v)^3}{3} - \frac{(b-b_0)(v-h_0)^3}{3} + 15A(d-v)^2 \\ v = \frac{b_0h^2/2 + (b-b_0)h_0^2/2 + 15Ad}{b_0h + (b-b_0)h_0 + 15A} \\ v = \frac{10 \times 21^2/2 + (65-10)5^2/2 + 15 \times 2,70 \times 18,9}{10 \times 21 + (65-10)5 + 15 \times 2,70} = 6,96cm \\ I_0 = \frac{65 \times 6,96^3}{3} + \frac{10(21-6,96)^3}{3} - \frac{(65-10)(6,96-5)^3}{3} + 15 \times 2,70(18,9-6,96)^2 \\ I_0 = 22166,08cm^4 \end{cases}$$

$$A_s = 2,70cm^2 \Longrightarrow \rho = \frac{A_s}{b_0.d} = \frac{2,70}{10 \times 18.9} = 0,0142$$

$$E_i = 32164.19 \text{ MPa}$$

$$E_v = 10818,87MPa$$

$$\lambda_i = \frac{b \times 0.05 \times f_{t28}}{(2 \times b + 3 \times b_0)\rho}$$
 Module de déformation longitudinale instantanée du béton.

$$\lambda_{v} = 0.4 \times \lambda_{i}$$
 Module de déformation longitudinale différée du béton.

$$\begin{cases} \lambda_i = \frac{0,65 \times 0,05 \times 2,1}{(2 \times 0,65 + 3 \times 0,10)0,0142} = 3,003 \\ \lambda_v = 0,4 \times 3,003 = 1,2012 \end{cases}$$

• Calcul des contraintes :

$$\delta_{sj} = 15 \times \frac{3.78 \times (0.189 - 0.0426)}{10355.37} \times 10^5 = 80.16 MPa$$

$$\delta_{sg} = 15 \times \frac{6.988 \times (0.189 - 0.0426)}{10355,37} \times 10^5 = 148.19 MPa$$

$$\delta_{sp} = 15 \times \frac{8.922 \times (0.189 - 0.0426)}{10355,37} \times 10^5 = 189.20 MPa$$

• Calcul de μ:

$$\mu_j = 1 - \frac{1,75 \times 2,1}{4 \times 0,0142 \times 80.16 + 2,1} = 0,44$$

$$\mu_g = 1 - \frac{1,75 \times 2,1}{4 \times 0,0142 \times 148.19 + 2,1} = 0,65$$

$$\mu_p = 1 - \frac{1,75 \times 2,1}{4 \times 0,0142 \times 189,20 + 2,1} = 0,71$$

• Calcul des inerties fictives :

$$If_{ij} = \frac{1.1 \times 22166.08}{1+3.003 \times 0.44} = 10503.80 cm^4$$

$$If_{ig} = \frac{1,1 \times 22166,08}{1+3,003 \times 0,65} = 8295.85 cm^4$$

$$If_{ip} = \frac{1.1 \times 22166.08}{1+3.003 \times 0.71} = 7784.69 cm^4$$

$$If_{vg} = \frac{1,1 \times 22166,08}{1 + 1,2012 \times 0,65} = 13692.13cm^4$$

• Calcul des flèches :

$$f_{ji} = \frac{3.78 \times 4,6^2 \times 10^{-3}}{10 \times 32164.2 \times 10503.80 \times 10^{-8}} = 2.4 \times 10^{-3} m$$

$$f_{gi} = \frac{6.988 \times 4,6^2 \times 10^{-3}}{10 \times 32164.2 \times 8295.85 \times 10^{-8}} = 5.5 \times 10^{-3} m$$

$$f_{pi} = \frac{8.922 \times 4.6^2 \times 10^{-3}}{10 \times 32164.2 \times 7784.69 \times 10^{-8}} = 7.5 \times 10^{-3} m$$

$$f_{vg} = \frac{6.922 \times 4,9^2 \times 10^{-3}}{10 \times 10818,86 \times 13692.13 \times 10^{-8}} = 9.9 \times 10^{-3} m$$

La flèche total : :
$$\Delta f$$
: : $\Delta f_t = f_{vg} - f_{ji} + f_{pi} - f_{gi} = 5.5 \times 10^{-3}$

$$\Delta f = 0$$
, $55cm < f_{adm} = 0$, $98cm$ La flèche est vérifiée.

Pour les autres planchers on procède de la même manière pour le calcul du ferraillage à L'ELU et les vérifications à L'ELS.

Les résultats sont groupés dans les tableaux suivants :

Tableau III.17. Ferraillage des poutrelles dans les différents planchers

Pout	Poutrelles		$\mu_{ m bu}$	α	z(m)	A calculée (cm²)
Plancher	En Travée	13,58	0,041	0,052	0,185	2,10
terrasse inaccessible	Appuis de rive	-1,17	0,023	0,029	0,186	0,17
maccessibie	Appuis Int	7,235	0,14	0,18	0,175	1,18

Plancher	En Travée	14,37	0,043	0,054	0,184	2,23
RDC	Appuis de rive	-1,35	0,026	0,026	0,186	0,20
	Appuis Int	-8,33	0,16	0,21	0,173	1,38

Tableau III.18. Ferraillage des poutrelles dans les différents planchers

Poutro	elles	$A_{calcul\acute{e}e}(cm^2)$	$A_{min}(cm^2)$	$A_{choisie}(cm^2)$	$A_{trensvarsale}$
	En travée	2,23	1,48	3T10=2,36	
Plancher	Appuis de rive	0,20	0,22	1T12=1.13	étrier Φ_6 =
RDC	Appui Int	Appui Int 1,38		1T12FIL+1T10 CHP=1,92	0,57
Plancher	En travée	2.10	1,48	3T10=2,36	
Terrasse	de rive		0.22	1T12= 1.13	étrier Φ_6 =
Inaccessible	Appui Int	1,18	0,22	1T12FIL+1T10 CHP=1,92	0,57

> Vérifications à l'ELU:

- Vérification au cisaillement :

On doit vérifier que :
$$\tau_u = \frac{v_u}{b_0 \times d} \le \overline{\tau_u} = \min \left[0.2 \times \frac{f_{c28}}{\gamma_b} ; 5 \right] = 3.33 \text{MPa}$$

Tableau III.19. Vérification au cisaillement

Plancher	V _u (MN)	τ _u (MPa)	Observation	
RDC	17,59×10⁻³	0,93	Vérifiée	
Terrasse inaccessible	16,62×10 ⁻³	0,87	Vérifiée	

- Vérification de la contrainte de cisaillement à la jonction table -nervure :

On doit vérifier que :
$$\tau_u = \frac{V_u(b-b_0)}{1.8 \times b_0 \times d \times h_0} < \overline{\tau_u} = 3.33 \text{MPa}$$

Tableau III.20. Vérification de la contrainte du cisaillement

Plancher	Plancher V _u (MN)		Observation
RDC	17,59×10 ⁻³	0,87	Vérifiée
T. inaccessible	16,62×10 ⁻³	0,82	Vérifiée

- Vérification des armateurs longitudinaux au voisinage des appuis :

Appuis de rive :

$$A_L \geq \frac{v_u \times \gamma_s}{f_e} \ \text{Or} \quad A_L = A_{appuis} + A_{trav\acute{e}e}$$

Tableau III.21. Vérification des armatures longitudinales

Plancher	$V_u(MN)$	$\frac{V_u \times \gamma_s}{f_e} (\text{cm}^2)$	$A_L(\text{cm}^2)$	Observation
RDC	RDC $17,59 \times 10^{-3}$		4,18	Vérifiée
T. Inaccessible	$16,62 \times 10^{-3}$	0,47	3,16	Vérifiée

Appuis intermédiaires :
$$A_L \ge (V_u + \frac{M_u^a}{0.9 \times d}) \frac{\gamma_s}{f_e}$$
 Or $A_L = A_{appuis} + A_{travée}$

Tableau III.22. Vérification des armatures longitudinales

Plancher	$V_u(MN)$	$\frac{V_u \times \gamma_s}{f_e} (\text{cm}^2)$	$A_L(\text{cm}^2)$	Observation	
RDC	$17,59 \times 10^{-3}$	-0,90	5,31	Vérifiée	
T. Inaccessible	naccessible $16,62 \times 10^{-3}$		4,29	Vérifiée	

Tableau III.23. Vérification des états limites de compression du béton

Plancher]	En travée		I	En appuis		=	obs
Fiancher	M_t $(KN.m)$	1.10^{-4} (m^4)	σ (MPa)	M_a $(KN.m)$	1.10^{-4} (m^4)	σ (MPa)	(MPa)	UDS
RDC	10,28	1,2518	4,04	5.252	1.017	0.58	15	vérifiée
T.IN	9,91	0,9245	4,30	5.92	1.017	0.66	15	vérifiée

0,69

0,73

0,43

0,9245

T.IN

1,5565

0,012

La vérification à l'état limite de déformation du béton pour tous les planchers est résumée dans le tableau suivant :

Etage		<i>I</i> . 10 ⁻⁴ <i>n</i> ⁴)	ρ	λ_i	λ_i	δ_j (MPa)	σ _g (MPa)	σ _p (MPa)	μ_j	μ_g	μ_p
RDC	1,2518	1,4346	0,017	2,5	1	63,31	116,92	171,03	0,42	0,63	0,73

1,42

91,25

205,92

237,06

Tableau III.24. Vérification des états limite de déformation

3,55

Etage	L _{max} (m)	q_j (KN/m)	q_g (KN/m)	q_P (KN/m)	M_j^{ser} (KN.m)	M _g ser (KN.m)	M _p ser (KN.m)
RDC	4,60	1,91	3,523	5,148	3,78	6,98	10,21
T.IN	4,60	1,91	4,303	4,953	3,78	8,53	9,82

Etage	I_{fij}			I_{fvg}	f_{ij}	f_{ig}	f_{ip}	f_{vg}	Δf	f_{adm}	Obs
Luge		(× 10	$^{-4}m^4$)		(mm)				Obs		
RDC	0,76	0,61	0,55	0,96	3	7	12	22	24	92	Vérifier
T.IN	0,67	0,49	0,48	0,86	3	11	13	19	14	92	Vérifier

III.2.1.4 Schéma de ferraillage des poutrelles

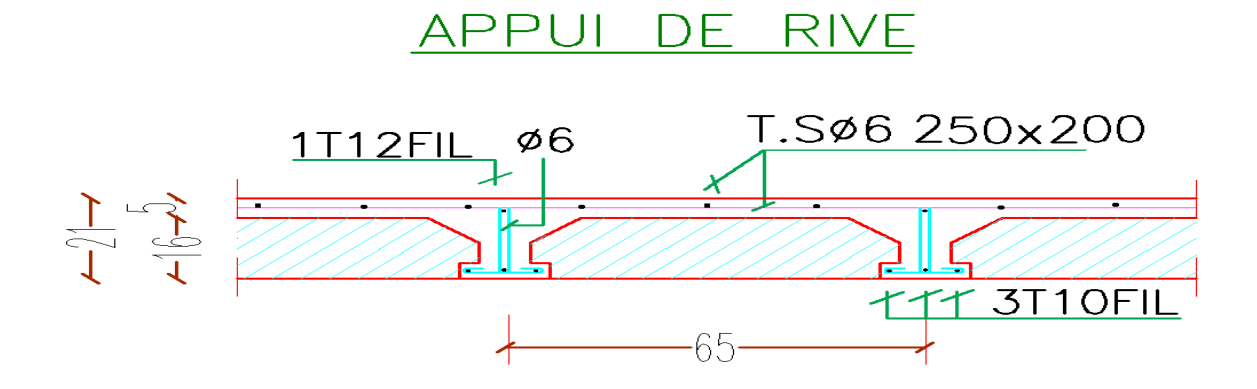


Figure III.7. Schéma de ferraillage appuis de rive

APPUL INT

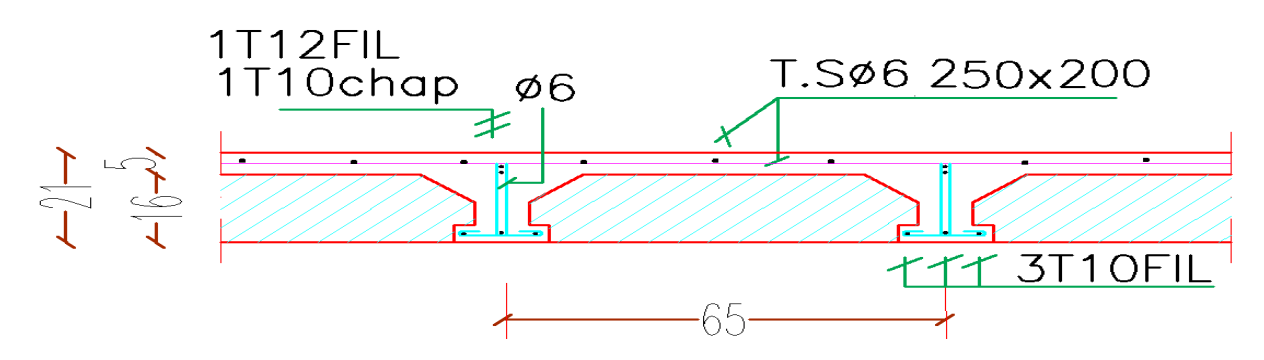


Figure III.8. Schéma de ferraillage appuis INT.

SUR TRAVEE

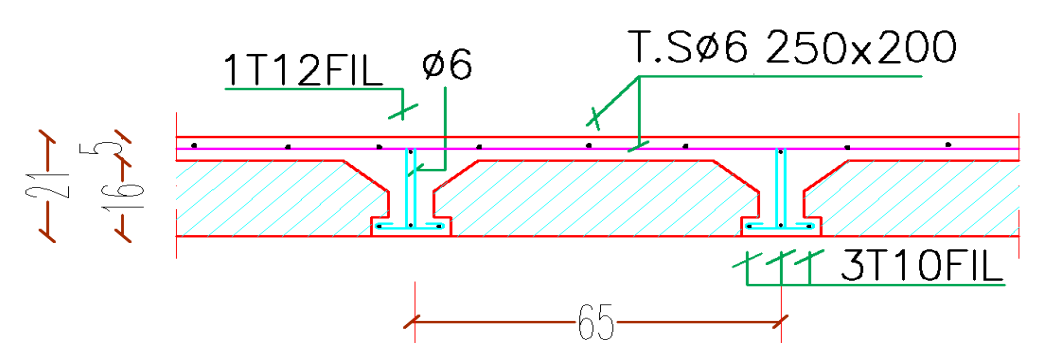


Figure III.9. Schéma de ferraillage sur travée.

III.2.1.5 Ferraillage de la dalle de compression (CBA Art. B6.8.4.2.3) [3]:

On utilise des barres de type rond lisses de nuance Fe = 235 MPA

Armatures perpendiculaires aux nervures :

$$A_{\perp} = \frac{4 \times b}{f_e} = \frac{4 \times 65}{235} = 1,106 cm^2/m.$$

Armatures parallèles aux nervures :

$$A_{//} = \frac{A_{\perp}}{2} = 0.553 \text{ cm}^2/\text{m}.$$

D'après le (CBA) on adopte un ferraillage :

 $A_{\perp} = 5\phi 6/ml = 1,42$ cm²/ml Avec un espacement de 20cm (St=20cm \leq 20cm)Vérifiée

 $A_{//}$ =4 ϕ 6/ml=1,13 cm²/ml Avec un espacement de 25cm (St=25cm≤ 20cm)Vérifiée

D'où on opte : un treillis soudé TS de maille carre (15×15) cm

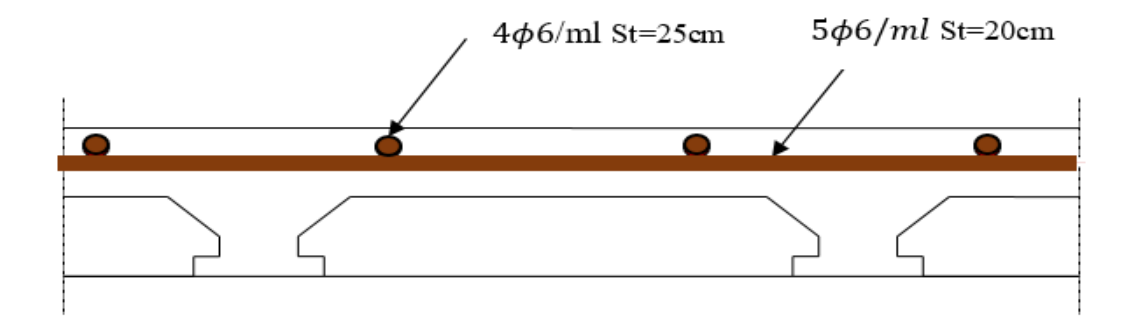


Figure III.10. Schéma de ferraillage de la dalle de compression.

III.3. ACROTERE:

L'acrotère est un élément non structural coulé sur place en tournant le bâtiment au niveau du plancher terrasse inaccessible et protéger le gravier de la poussée, assurer la sécurité des personnes circulant au niveau de la terrasse et d'empêcher la filtration des eaux pluviales entre la forme de pente et le plancher. L'acrotère est assimilé à une console encastrée au niveau du plancher terrasse ; elle est soumise à son poids propre « G » et à la surcharge d'exploitation « Q » due à la main courante qui crée un moment « MQ » au niveau de l'encastrement et la force sismique. Le calcul sera faire en flexion composée au niveau de la section d'encastrement pour une bande d'un mètre linéaire, la fissuration étant préjudiciable.

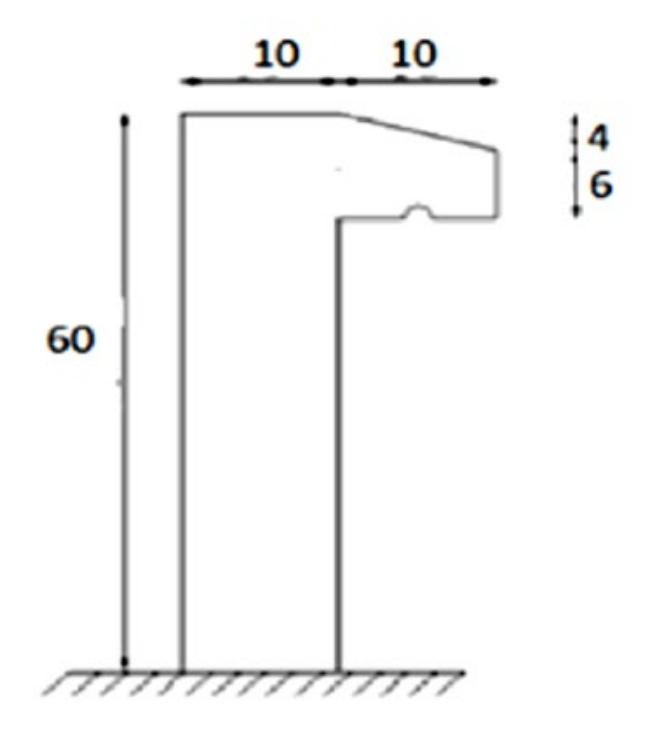


Figure III.11. Modèle de calcul de l'acrotère.

\(\text{Hypothèses de calcul:} \)

- -L'acrotère est sollicité en flexion composée.
- -La fissuration est considère comme préjudiciable.
- -Le calcul se fait pour une bande d'un mètre linéaire

***** Evaluation des Charges :

D'après le chapitre précédent on a :

 $S=0.068cm^2$

G=2.1 KN/ml

Q=1KN/ml (plancher terrasse inaccessible).

La force sismique est donnée par la formule suivante :

Avec:

A: coefficient d'accélération de zone.

A = 0.3

 C_P : Facteur de force horizontale

 $C_p = 0.8$

 W_P =Poids propre de l'acrotère

 $W_P = 2.1KN/ml$

$$F_p = 2.016KN/ml$$

$$F_p \ge 1.5 \text{ Q}$$

donc :On va utiliser cette force pour déterminer les efforts qui seront utilisés pour le calcul des armatures de ferraillage.

La distance d'entre le point d'application de l'action sismique (Fp), et la section d'encastrement est égale à $y_g = 32.85 \,\mathrm{cm}$

Alors pour une bande de 1m de largeur :

$$\begin{cases} G = 2.1KN/ml \\ Q = 1KN/ml \\ F_p = 2.1KN/ml \end{cases}$$

III. 3.1: Calcul des efforts:

> ELU:

$$N_U = 1.35 \times G = 2.835 \text{KN}$$

$$M_u = 1.5 \times Q \times h = 0.9$$
KN

> ELS:

$$N_s = G = 2.1 \text{KN}$$

$$M_s = Q \times h = 0.6KN$$



$$G+Q\pm E$$

Swivent
$$x \Rightarrow M_a = (1 \times 0.6) + (2.016 \times 0.328) = 1.26KN.m$$

Swivent $y \Rightarrow N_a = G = 2.1KN/ml$

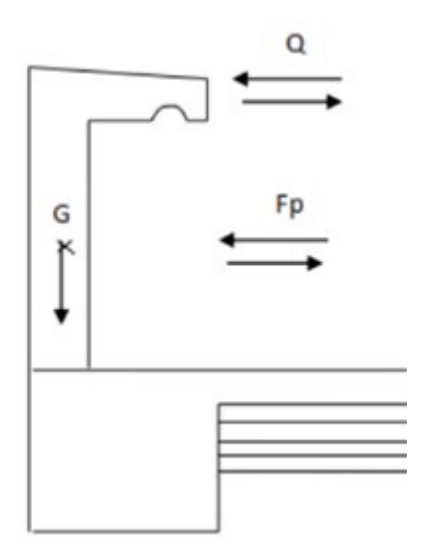
• Calcul du centre de gravité $G(X_G; Y_G)$:

$$X_G = \frac{\sum x_i \times A_i}{\sum A_i} = \frac{(60 \times 10 \times 5) + (6 \times 10 \times 10) + (5 \times 4) \times (\frac{2}{3} \times 10 + 5)}{600 + 60 + 20} = 5.63cm$$

$$X_G = \frac{\sum y_i \times A_i}{\sum A_I} = \frac{(60 \times 10 \times 30) + (6 \times 10 \times 53) + (5 \times 4) \times (\frac{1}{3} \times 4 + 56)}{600 + 60 + 20} = 32.83cm$$

Tableau III.25. Les sollicitations de l'acrotère.

Sollicitation	RPA 99	ELU	ELS
Combinaison charge	G+Q <u>+</u> E	1.35G+1.5Q	G+Q
N (KN.)	2.1	2.853	2.1



M (KN. m)	1.26	0.9	0.6

Donc, la combinaison qui donne les sollicitations les plus importants est ELU pour l'effort normal et la combinaison accidentelle pour le moment :

A Calcul de l'excentricité :

L'excentricité « e » est calculée comme suit :

$$e_1 = \frac{M_u}{N_u} = \frac{1.26}{2.1} = 0.6m$$

III.3.2. FERRAILLAGE DE L'ACROTÈRE:

- a) Armatures longitudinales:
- > ELU:

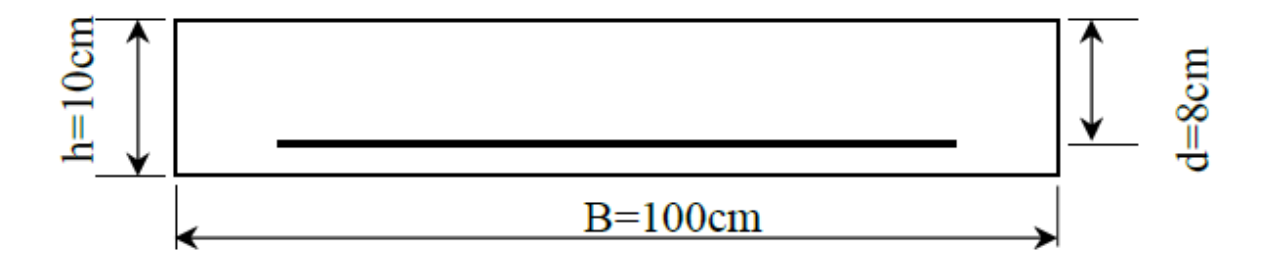


Figure III.12. La section équivalente de calcul de l'acrotère.

Calcul de l'excentricité :

Selon CBA93 (article A.4.3.5) [3] en adopte une excentricité totale de calcul :

$$e = e_2 + e_0 + e_a$$

Avec:

 e_0 = Excentricité structurale.

 e_2 = Excentricité due aux effets su second ordre liés à la déformation de la structure

 e_a = Excentricité additionnelle.

$$e_0 = \frac{M_u}{N_u} = 0.6m$$

$$\frac{h}{6} = \frac{0.6}{6} = 0.1 \text{ m}$$

 $e_0 > 0.1$ La section est partiellement comprimée \Rightarrow le ferraillage se fait par assimilation à la flexion simple.

$$e_a = max \left[2cm ; \frac{h}{250} \right]$$
 BAEL A4. 3. 5 $\Rightarrow e_a = max \left[2cm ; \frac{60}{250} \right]$

$$e_a = 2$$
cm.

Pour calculer l'excentricité e2 on doit vérifier que :

$$\frac{l_f}{h} \le \max\left[15; 20 \times \frac{e_1}{h}\right]$$

 l_f : Longueur de flambement de la pièce $\Rightarrow l_f = h \times 2 = 2 \times 0.6 = 1.2 \text{m}$

h: hauteur totale de la section dans la direction du flambement.

$$\frac{l_f}{h} \le \max\left[15; 20 \times \frac{e_1}{h}\right] \dots \dots cv$$

Donc on calcul e_2 :

$$e_2 = \frac{3 \times l_f^2}{10^4 \times h_0} (2 + \alpha \varphi)$$

 φ : C'est le rapport de la déformation final sue au fluage a la déformation instantanée sous charge considéré ce rapport est généralement pris égale à 2.

 α : le rapport de moment de première ordre de la charge permanente au moment total de premier ordre.

$$\alpha = \frac{M_G}{M_G + M_O} = 0$$

Donc:

$$e_2 = \frac{3 \times l_f^2}{10^4 \times h_0} (2 + \alpha \varphi) = 8.64 \times 10^{-3} \text{m}$$

$$e = e_2 + e_0 + e_a = 0.6 + 2 + 0.864 = 62.86$$
cm

Les sollicitations majorées :

$$M_{UG} = N_u \times e = 1.76$$
KN.m

$$M_{ua} = M_{UG} + N_u (d - \frac{h_0}{2}) = 1.845 \text{KN.m}$$

tEtape fictive:

$$\begin{cases}
h = 10cm \\
d = 8cm \\
b = 100cm
\end{cases}$$

$$\mu = \frac{M_{ua}}{b \times d^2 \times f_{hu}} = \frac{1.845 \times 10^{-3}}{1 \times 0.08^2 \times 14.2} = 0.02$$

$$\alpha = 1.25 \times (1 - \sqrt{1 - 2 \times \mu}) = 0.025$$

$$Z = d \times (1 - 4\alpha) = 0.072$$
m

$$A_{u1} = \frac{M_{ua}}{z \times \sigma_S} = \frac{1.845 \times 10^{-3}}{0.072 \times 348} = 0.73 cm^2$$

Avec : $\sigma_s = 348 \text{ MPA}$

Retour a la section réelle :

$$A_u = A_{u1} - \frac{N_u}{\sigma_s} = 73 \times -\frac{2.835 \times 10^3}{348} = 0.64 \text{cm}^2$$

➤ Vérification de condition de non fragilité : BAEL (Art A.4.2, 1) [2] :

$$A_{min} \ge 0.23 \times b \times d \times \frac{f_{tj}}{f_e}$$

$$A_{min} \geq 0.23 \times 1000 \times 80 \times \frac{2.1}{400} = 0.966 cm^2/ml$$

Donc: $A_S = A_{min} = 0.966cm^2/ml \Rightarrow \text{ on adopte } 4\text{T8} = 2.01 \text{ cm}^2/\text{ml}$

Les armatures de répartition :

$$A_r = \frac{2.01}{4} = 0.5025 \text{ cm}^2 \Rightarrow \text{ On adopte } 4\text{T8} = 2.01 \text{ cm}^2/\text{ml}$$

> Vérification de l'espacement :

Les armatures principales :

$$S_t = \frac{100}{4} = 25cm \le \frac{b}{4} = 33.33 \ cm \dots cv$$

Les armatures de répartition :

$$S_t = \frac{60}{4} = 15cm \le \frac{h}{3} = 20 \ cm \dots cv$$

> ELS:

$$\begin{cases} d = 8cm \\ N_{ser} = 2.1KN \\ M_{ser} = 0.6KN \\ \eta = 1.6 \end{cases}$$

$$e = \frac{Mser}{Nser} \Rightarrow \frac{0.6}{2.1} = 0.28m \ge \frac{h}{2} = 0.05m$$

Le centre de pression se trouvé l'extérieur de la section et l'effort normal Nser est un effort de compression, donc la Section est partiellement comprimée.

• Position de centre de poussée :

$$y=y_c + c \Rightarrow c = e_G - \frac{h}{2} = 0.28 - 0.05 = 0.23m$$

On a N (compression) donc c = -0.23 m

Le calcule de y_G revient à résoudre l'équation suivant : $y_G^3 + \rho y_G + q = 0$

$$p = -3c^2 - 90\frac{A}{b}(c - d') + 90\frac{A}{b}(d - c)$$

$$p = -3(-0.23)^2 + 90 \times 2.01 \times \frac{(0.08 + 0.23)}{1} \times 10^{-4}$$

$$p = -0.153m^2$$

$$q = -2c^3 - 90\frac{A}{b}(c - d')^2 - 90\frac{A}{b}(d - c)^2$$

$$q = -2 \times -0.23^{3} - 90 \times \frac{2.01 \times 10^{-4}}{1} (0.08 + 0.23)^{2}$$

$$q = 0.022m^2$$

• Calcule de y_c :

$$y_c = y_c^3 - \rho \times y_c + q$$

$$\begin{cases} y_1 = 0.26m \\ y_2 = 0.18m \\ y_3 = -0.44 \end{cases}$$

. On choisit la solution qui vérifie la condition suivante :

$$-c \le y_c \le h - c \Rightarrow 0.23 \le y_c \le 0.6 - 0.23$$

Donc on choisit : $y_c = 0.26 \Rightarrow Y = y_c + c = 0.26 - 0.23 = 0.03 \text{mI}$

III.3.3: Calcule des contraintes:

$$\begin{cases} u_t = \frac{b \times y^2}{2} + A'(c - d') - 15A(d - y) \\ u_t = \frac{1 \times 0.03^2}{2} - 15 \times 2.01 \times 10^{-4} \times (0.08 - 0.03) = 2.99 \times 10^{-4} \end{cases}$$

$$\begin{cases} \sigma_{bc} = \frac{2.1 \times 10^{-3} \times 0.03}{2.99 \times 10^{-4}} = 0.21 MPA \leq \overline{\sigma_{bc}} = 0.6 \times f_{c28} = 15 MPA \dots CV \\ \sigma_{s} = 15 \times \frac{2.1 \times 10^{-3}}{2.99 \times 10^{-4}} \times (0.08 - 0.03) = 5.26 MPA \leq \overline{\sigma_{bc}} = 201.63 MPA \dots CV \end{cases}$$

III.3.4 : Vérification de l'effort de tranchant « cisaillement » (BAEL9)[2] :

Vérification de condition de cisaillement :

On doit vérifier que $\tau_u \leq \overline{\tau_u}$:

$$\overline{\tau_u} = \min\left(0.15 \times \frac{f_{c28}}{\gamma_b}; 4MPA\right)$$

$$\overline{\tau_u} = 2.5MPA$$

$$T_u = F_p + Q = 2.016 + 1 = 3.016 \text{KN}$$

$$\tau_u = \frac{\tau_u}{b \times d} = \frac{3.016 \times 10^3}{1000 \times 80} = 0.037 MPA \Rightarrow \tau_u \le \overline{\tau_u}$$

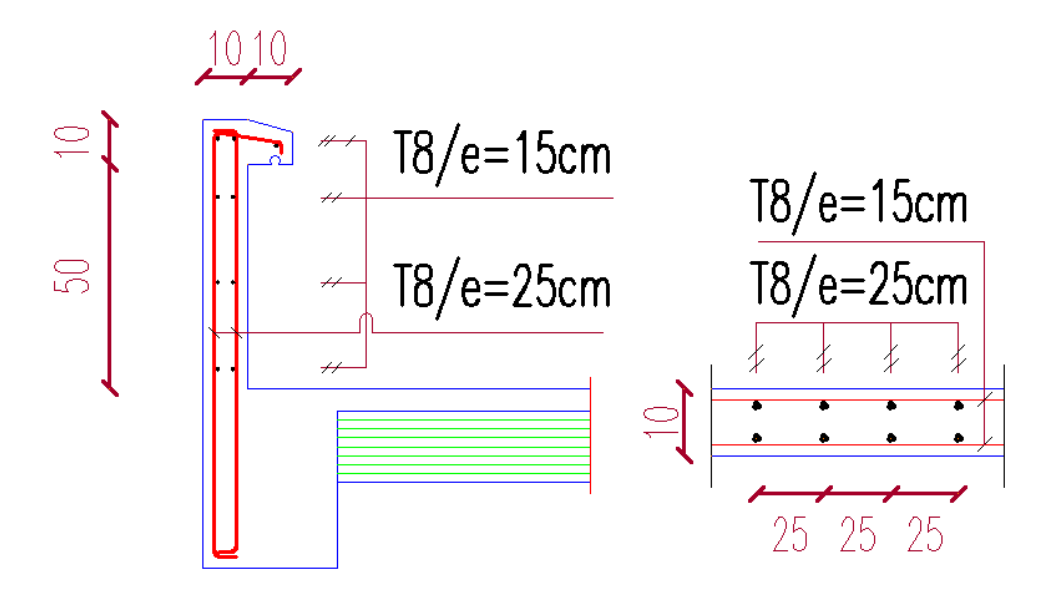


Figure III.13. Schéma de ferraillage de l'acrotère.

III.4. LES ESCALIERS:

Un escalier permet le déplacement vertical des usagers entre les différents niveaux d'une construction en toute sécurité. Les escaliers sont considérés comme des dalles portant sur un seul sens, reposant sur un ou deux appuis assimilés à une poutre soumise aux poids propres et aux charges d'exploitation qui ont été déterminés au chapitre pré-dimensionnement et descente de charge.

L'escalier travaille à la flexion simple en considérant la dalle comme une poutre uniformément chargée et en tenant des types d'appuis sur lesquels elle repose : Pour déterminer les sollicitations, on a se base sur la méthode RDM.

III.4.1 .Charge et surcharge :

- Le calcul se fera pour une bande de 1 ml.
 - La volée :

 $G_{V} = 9526.29 \text{ N/m}^2 = 9526.29 \times 1ml = 9526.29 \text{ N/ml}$

 $Q_V = 2500 \text{N/m}^2 = 2500 \times 1 ml = 2500 \text{ N/m}^2$

! Le palier :

 $G_p = 5900 \text{ N/m}^2 = 5900 \times 1ml = 5900 \text{ N/ml}$

 $Q_P = 2500 \text{ N/m}^2 = 2500 \times 1ml = 2500 \text{N/ml}$

Avec:

 G_v : Charge permanente de la volée.

 Q_v : Charge variable de la volée.

 G_p : Charge permanente du palier.

 Q_p : Charge variable du palier.

❖ La charge de mur extérieure :

 $G=2810 \text{ N/m}^2$

$$F = G(H - e) \times 1ml$$

$$F = 2810(3.4 - 0.18) \times 1ml$$

F = 9048 N/ml

Avec:

G = Poids volumique de mur extérieur.

H = Hauteur de RDC.

e = épaisseur du palier.

III.4.2 . Schéma statique :

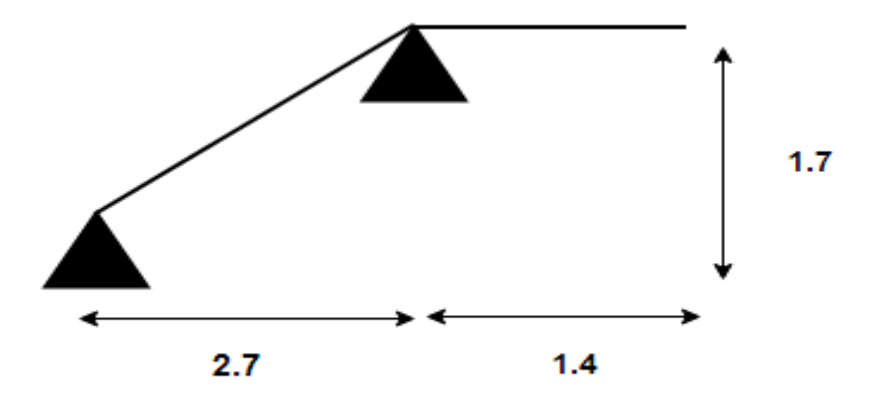


Figure III.14. Schéma statique des escaliers

III.4.3 . Combinaison des charges :

❖ ELU: $q_u = 1.35G+1.5Q$

 \Leftrightarrow ELS: $q_s = G + Q$

Mur extérieure :

❖ ELU : $p_u = 1.35G$

 \Leftrightarrow ELS: $p_s = G$

Tableau III.26. Calcul de la Combinaison des charges.

Désignation	Volée (KN/ml)	Palier (KN/ml)	La charge de mur
			(KN/ml)
ELU	16.610	11.715	12.214
ELS	12.026	8.4	9.048

a) Calcul des réactions :

❖ E LU:

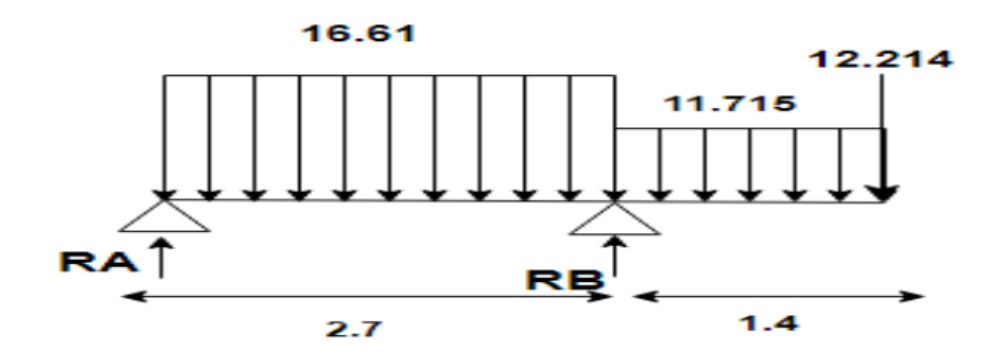


Figure III.15. Schéma statique à l'ELU.

$$\Sigma F_V = 0 \Rightarrow R_A + R_B = 16.610 \times 2.7 + 11.715 \times 1.4 + 12.214 = 0$$

$$R_A + R_B = 73.462KN$$

$$\Sigma M_A = 0 \Rightarrow \Sigma M_A = 16.610 \times 2.7 \times 1.35 + 11.715 \times 1.4 + 3.4 - R_B \times 2.7 + 12.214 \times 4.1 = 0$$

$$R_B = 61.66KN$$

$$R_A = 11.82 \text{KN}$$

***** ELS:

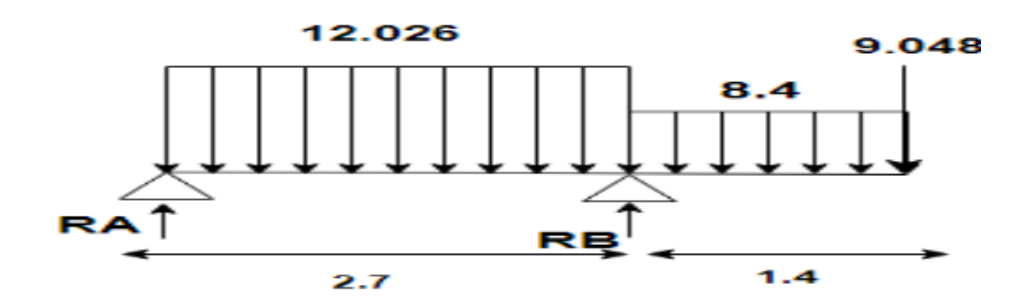


Figure III.16. Schéma statique à l'ELU.

$$\Sigma F_V = 0 \Rightarrow R_A + R_B = 12.026 \times 2. +8.4 \times 1.4 + 9.048 = 0$$

$$R_A + R_B = 53.278KN$$

$$\sum M_a = 0 \Rightarrow \sum M_a = 12.026 \times 2.7 \times 1.35 + 8.4 \times 1.4 + 3.4 - R_B \times 2.7 + 9.048 \times 4.1 = 0$$

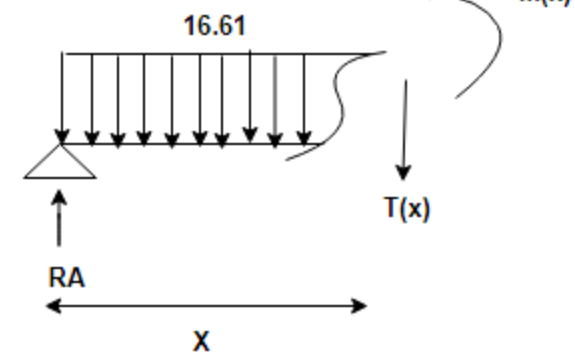
$$R_B = 44.78KN$$

$$R_A = 8.498 \text{KN}$$

- b) Calcul des moments et efforts tranchants :
 - **&** ELU:
- **❖** 1^{er} Tronçon:

Pour : $0 \le x \le 2.7m$

> Effort tranchant



$$\sum F_V = 0 \Rightarrow T(\mathbf{x}) = 11.82 - 16.610 \mathbf{x} \Rightarrow \begin{cases} x = 0 \Rightarrow T = 11.82 KN \\ x = 2.7 \Rightarrow T = -33.027 KN \end{cases}$$

> Moment fléchissant

$$M(x) = 11.82x - 16.610\frac{x^2}{2}$$

$$\frac{dM}{dx} = 0 \Rightarrow 11.82 - 16.61x \Rightarrow x = 1.41 \Rightarrow \begin{cases} x = 0 \Rightarrow M = 0 \text{ KN. } m \\ x = 1.41 \Rightarrow M = 3.316 \text{ KN. } m \\ x = 2.7 \Rightarrow M = -28.62 \text{ KN. } m \end{cases}$$

- ❖ 2^{eme} Tronçon:
- **♦ Pour**: $0 \le x \le 1.4$ m
 - > Effort tranchant :

$$\sum F_V = 0 \Rightarrow T(x) = 12.214 + 11.715 \Rightarrow \begin{cases} x = 0 \Rightarrow T = 12.214KN \\ x = 1.4 \Rightarrow T = 28.615KN \end{cases}$$

M(x)

12.214

T(x) qu=11.715

X

> Moment fléchissant

$$M(x) = -\left(11.715 \times \frac{x^2}{2} + 12.214x\right)$$

$$\frac{dM}{dx} = 0 \Rightarrow -(12.214 + 11.715x) \Rightarrow x = 1.042 \Rightarrow \begin{cases} x = 0 \Rightarrow M = 0 \ KN. \ m \\ x = 1.042 \Rightarrow M = -19.086 \ KN. \ m \\ x = 1.4 \Rightarrow M = -22.520 \ KN. \ m \end{cases}$$

***** ELS:

❖ 1^{er} Tronçon:

Pour : $0 \le x \le 2.7m$

> Effort tranchant :

$$\sum F_V = 0 \Rightarrow T(x) = 8.498 - 12.026x \Rightarrow \begin{cases} x = 0 \Rightarrow T = 8.498KN \\ x = 2.7 \Rightarrow T = -23.97KN \end{cases}$$

12.026

T(x)

> Moment fléchissant

$$M(x) = 8.498x - 12.026 \frac{x^2}{2}$$

$$\frac{dM}{dx} = 0 \Rightarrow 8.948 - 12.026x \Rightarrow x = 1.41 \Rightarrow \begin{cases} x = 0 \Rightarrow M = 0 \text{ KN. } m \\ x = 1.41 \Rightarrow M = 0.027 \text{ KN. } m \\ x = 2.7 \Rightarrow M = -20.89 \text{ KN. } m \end{cases}$$

❖ 2^{eme} Troncon:

Pour : $0 \le x \le 1.4m$

> Effort tranchant :

$$\sum F_V = 0 \Rightarrow T(\mathbf{x}) = 9.048 + 8.4\mathbf{x} \Rightarrow \begin{cases} x = 0 \Rightarrow T = 9.048 KN \\ x = 1.4 \Rightarrow T = 20.808 KN \end{cases}$$

M(x) 9.048

T(x) 8.4

X

➤ Moment fléchissant

$$M(x) = -(8.4 \times \frac{x^2}{2} + 9.048x)$$

$$\frac{dM}{dx} = 0 \Rightarrow -(9.048 + 8.4x) \Rightarrow x = 1.077 \Rightarrow \begin{cases} x = 0 \Rightarrow M = 0 \ KN. \ m \\ x = 1.077 \Rightarrow M = -14.616 \ KN. \ m \\ x = 1.4 \Rightarrow M = -20.899 \ KN. \ m \end{cases}$$

• ELU:

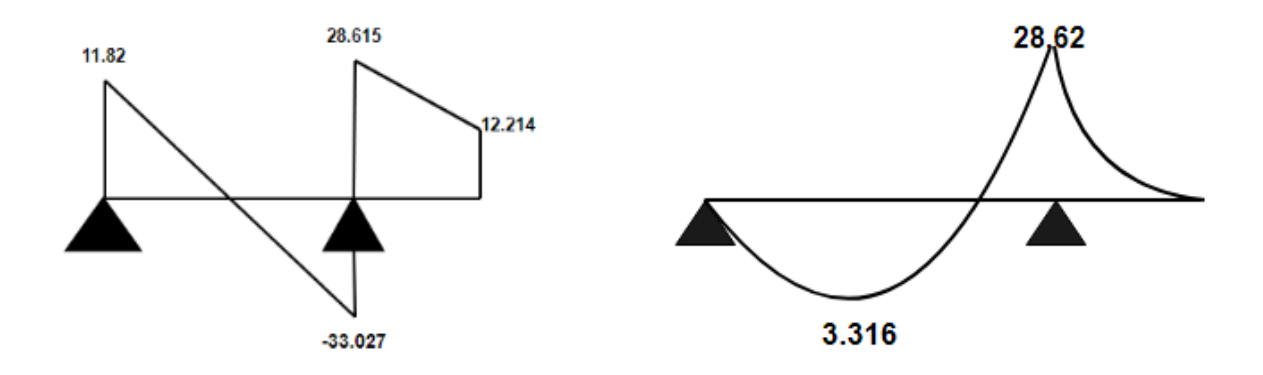


Figure III.17. Diagramme Moments fléchissant et efforts tranchants á E.L.U.

• ELS:

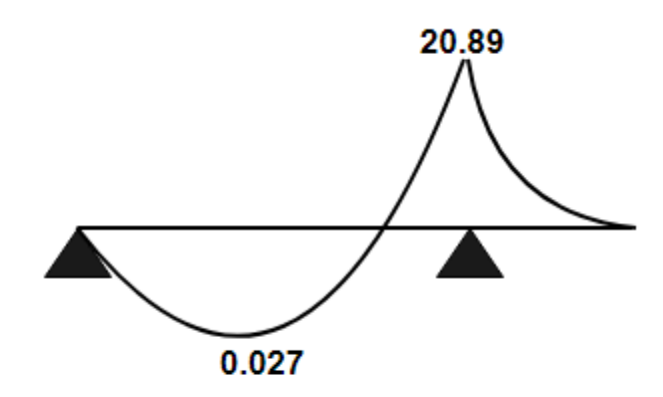


Figure III.18. Diagramme Moments fléchissant á E.L.S.

On prend la valeur maximale de moment et d'effort tranchant

• Le moment sur appuis : Ma = (0.3, 0.5) M0

• Le moment sur travée : Mt = (0.7, 0.85) M0

Tableau III.27. Tableau récapitulatif des sollicitations.

Désignation	M ₀ (KN.m)	$M_a (0.5M_0)$	$M_t(0.85M_0)$	T_{U}
ELU	28.62	14 .31	24 .327	33.027
ELS	20.896	10.448	17.761	/

III.4.4: Calcul des armatures:

*Le ferraillage sera déterminé par une bande de 1m de longueur soumise à la flexion simple.

-Epaisseur de la section : 18 cm

-Largeur de la section : 100cm

-Enrobage: 3

-Hauteur utile : d=h-c=18-3=15 cm

> Les armatures longitudinales :

$$f_{c28}=25MPA$$
 ; $f_{bu}=14.2MPA$; $\sigma_s=348MPA$; $f_e=400MPA$; $d=15cm$

Tableau III.28. Ferraillage longitudinal de L'escalier à L'ELU.

Désignation	$\mathbf{M}_{\mathbf{U}}$	μ	α	Z	$A_{cal}(cm^2)$
Travée	24. 327	0.076	0.1	14.4	4.85
Appuis	14.31	0.044	0.057	14.55	2.79

> Condition de non fragilité : (BAEL 91 A.4.2.1) [2] :

$$A_{min} = 0.23 \times b \times d \times \frac{f_{t28}}{f_e}$$

 $A_{min} = 0.23 \times 1000 \times 150 \times \frac{2.1}{400}$

$$A_{min} = 1.81cm^2$$

> Pourcentage minimal: (BAEL 91 B.6.4):

Amin $\geq 0.001 \text{ x b x h}$

Amin $\geq 0.001 \times 100 \times 18$

Amin ≥1.8 cm²

Donc : As = $\max (A_{cal}, A\min)$

Tableau III.29. Le choix de ferraillage des armatures longitudinal à L'ELU.

Désignation	$A_{cal}(cm^2)$	Amin	$A_{max}(cm^2)$	A _{adp} (cm ²)
Travée	4.84	1.81	4.84	5T12=5.65
Appuis	2.82	1.81	2.82	5T10=3.93

> Les armatures de répartition :

$$A_t = \frac{A_{max}}{4}$$

Tableau III.30. Le choix de ferraillage Les armatures de répartition.

Désignation	$A_t(\text{cm}^2)$	$A_{adp}(cm^2)$
Travée	1.41	4T8=2.01
Appuis	0.785	4T8=2.01

Espacement entre les armatures :(BAEL91 A.8.2, 42) [2] :

Armatures longitudinales:

 $S_t \le \min (3h; 33 \text{ cm}) = 33 \text{ cm}$

• Travée

$$S_t = \frac{100}{5} = 20 \ cm$$

• Appuis

$$S_t = \frac{100}{5} = 20cm$$

• Armatures transversales :

 $St \le min (4h; 45cm) = 45 cm$

• Travée

$$S_t = \frac{100}{4} = 25cm$$

• Appuis

$$S_t = \frac{100}{4} = 25cm$$

III.4.5: Vérification de l'effort tranchant: (BAEL 91 A.5.1, 1) [2]:

On prend la valeur maximale de Tu entre les deux parties

$$\tau_u = \frac{T_u}{b \times d}$$

$$\tau_u = \frac{33027}{1000 \times 150} = 0.22MPA$$

Les armatures d'âme sont droites, La fissuration et peu préjudiciable, alors : (BAEL 91 A.5.1,

211) [2]:

$$\overline{\tau_u} = (\frac{0.2 \times f_{c28}}{1.5}; 5\text{MPA}) \Rightarrow \overline{\tau_u} = 3.33\text{MPA}$$

Donc les armatures transversales ne sont pas nécessaires.

III.4.6: Vérification en E.L.S:

Vérification des contraintes :

$$\sigma_{bc} \le \overline{\sigma_{bc}} \Rightarrow \overline{\sigma_{bc}} = 0.6 \times f_{c28} = 15 \text{MPA}$$

$$\sigma_{bc} = \frac{M_{ser}}{I} \times y$$

Position de l'axe neutre:

$$\frac{1}{2}by^2 + nA_s'(d-y) - nA_s(d-y) = 0$$

Avec: n=15

Moment d'inertie:

$$I = \frac{1}{3}by^{3} + n (d-y)^{2}A_{s} + n(d-y)A'_{s}$$

Les résultats trouvés en travée et sur appui dans les deux sens sont regroupés dans le tableau suivant :

Tableau III.31. Vérification des contraintes à l'ELS.

	$M_{ser}(kN.m)$	$A_s(\text{cm}^2)$	Y(cm)	I(cm ⁴)	$\sigma_{bc}(MPA)$	$\sigma_{bc} \leq \overline{\sigma_{bc}}$
travée	17.761	5.65	4.26	12352.66	6.12	CV
Appuis	10 .448	3.93	3.65	9214.99	4.13	CV

Vérification de la flèche (BAEL 91Article B.6.5.1) [2] :

La vérification de la flèche n'est pas nécessaire si les conditions suivantes sont vérifiées :

Avec:

- h=0.18m

-1=2.7 m.

 $-A_{st} = 5.65cm^2$

$$\begin{cases} \frac{h}{l} \ge max(\frac{3}{80}; \frac{M_t}{20M_0}) \Rightarrow \frac{0.18}{2.7} = 0.066 \ge 0.0 \dots CV \\ \frac{A_{st}}{b \times d} \frac{4.2}{f_{\acute{e}}} \Rightarrow 0.0037 \le 0.010 \dots CV \end{cases}$$

Donc la flèche est Vérifiée.

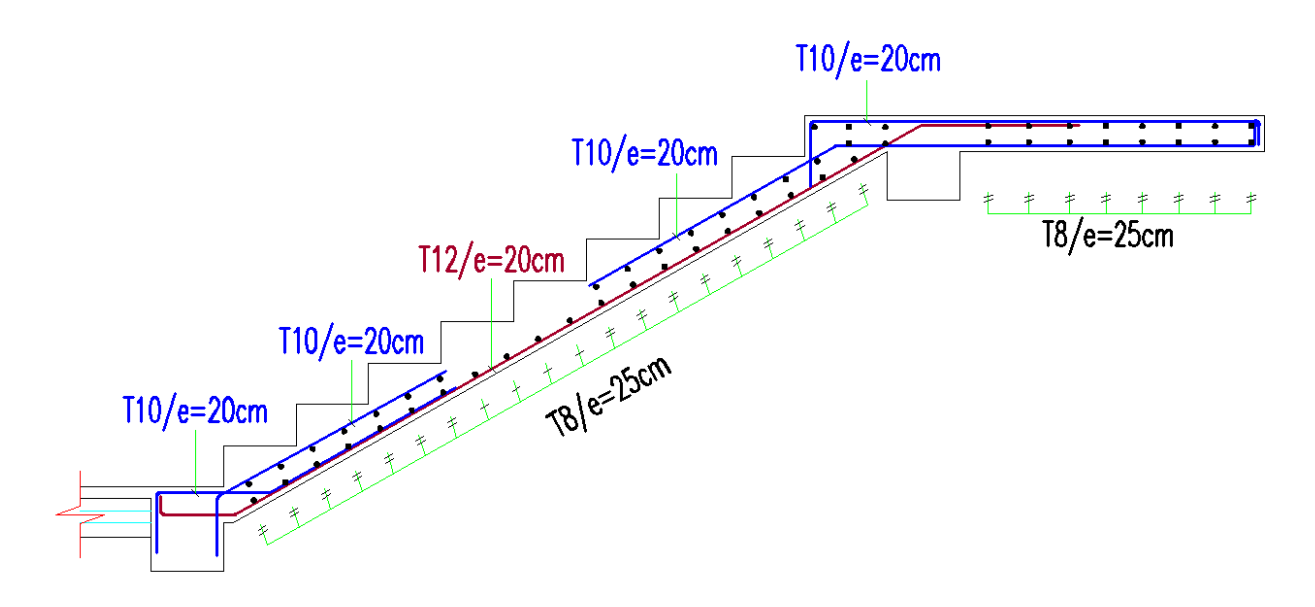


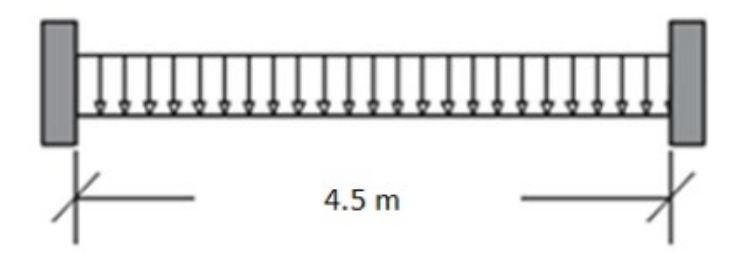
Figure III.19. Schéma de ferraillage d'escalier

III.5. Etude de la poutre palière

Cette poutre est soumise à son poids propre, aux charges transmises sous efforts tranchants qu'on calcul à la flexion simple et aux moments de torsion qu'on calcul à la torsion.

On prend. L=4.50 m

III.5.1: Evaluation des charges:



a) Les charges sur la poutre :

 g_0 : Poids propre de la poutre

$$g_0 = (b \times h) \times \rho = 0.3 \times 0.45 \times 25 = 3.37 KN/m$$

b) La charge transmise par l'escalier

ELU
$$\Rightarrow$$
 RAu =11.82KN
ELS \Rightarrow RAs=8.49KN

c) Combinaison de charges et surcharges

$$q_u = 1.35g_0 + RA_u = 16.37KN/m$$

$$M_t^{u} = \frac{qL^2}{24} = \frac{16.37 \times 4.5^2}{24} = 13.81 \text{ KN}.$$

$$M_a^u = \frac{qL^2}{12} = \frac{16.37 \times 4.5^2}{12} = 27.62$$
KN.m

$$T_u = \frac{q_U \times L}{2} = 36.83KN$$

& ELS:

$$q_s = g_0 + RA_s = 11.86KN/m$$

$$M_t^{s} = \frac{qL^2}{24} = \frac{11.86 \times 4.5^2}{24} = 10$$
KN.m

$$M_a^s = \frac{qL^2}{12} = \frac{11.86 \times 4.5^2}{12} = 20.01 \text{KN.m}$$

$$T_s = \frac{q_U \times L}{2} = 26.68KN$$

III.5.2 : Ferraillage de la poutre palière à la flexion simple :

$$\left\{ \begin{array}{l} b=30cm\\ h=45cm\\ d=45-2=43cm \end{array} \right.$$

Tableau III.32. Calcul d'armatures à la flexion simple.

Désignation	M (KN. m)	μ	α	z (cm)	Acal (cm ²)
Travée	13.81	0.017	0.021	42.63	0.93
Appuis	27.62	0.035	0.044	42.24	1.87

> Condition de non fragilité :

$$A_{min} \ge 0.23 \times b \times d \times \frac{f_{t28}}{f_e}$$

$$A_{min} \ge 1.55 \text{cm}^2$$

En travée : $A_{min} \ge A_{cal}$

On ferraille donc avec Amin. $\Rightarrow A_t = 3HA10 = 2.36cm^2$

En Appui : $A_{cal} \ge A_{min}$

On ferraille donc avec As $\Rightarrow A_t = 3HA10 = 2.36cm^2$

> Contrainte de cisaillement :

$$\tau_u = \frac{Tu}{b \times d} = \frac{36.83 \times 10^3}{300 \times 430} = 0.28 \text{MPA}$$

$$\overline{\tau_u} = \min \left[\frac{0.2 \times f_{c28}}{1.5}; 5MPA \right] = 3.33MPA$$

pas de risque de rupture par cisaillement.

> Espacement:

D'après CBA93 (Article A.5.1.2.2 et A.5.1.2.3) [3]:

$$St= min (0.9d; 40cm) = min (38.7; 40cm) = 38.7cm$$

$$St=15 \le 33 \ cm \dots cv$$

> Armatures transversales :

On fixe St=15 cm.

$$A_{t1} \ge \frac{0.4 \times b \times St}{f_e} = 0.45cm^2 \Rightarrow A_{t1} \ge 0.45cm^2$$

$$A_{t2} \ge \frac{b \times St \times (\tau_u - 0.3 f_{t28})}{0.9 f_e} = -43.75 cm^2$$

$$A_{t2} < 0.45 \implies A_t = 0.45 \text{ cm}^2$$

III.5.3: Vérification à l'ELS:

> Vérification des contraintes :

$$\sigma_{bc} < \overline{\sigma_{bc}} = 15 \text{MPA}$$

Tableau III.33. Vérification a l'ELS de la poutre palière.

	$M_{ser}(kN.m)$	$A_s(\text{cm}^2)$	Y(cm)	I(cm ⁴)	$\sigma_{bc}(MPA)$	$\sigma_{bc} \leq \overline{\sigma_{bc}}$
travée	10	2.36	8.96	48211.97	1.85	CV
Appuis	20.01	2.36	8 .96	48211.97	4.52	CV

➤ Vérification de la flèche (BAEL 91Article B.6.5.1) [2] :

La vérification de la flèche n'est pas nécessaire si les conditions suivantes sont vérifiées :

Avec:

h = 0.45 m

l = 4.5 m.

 $Ast = 2.36 \text{ cm}^2$

$$\begin{cases} \frac{h}{l} \ge \frac{1}{16} \Rightarrow \frac{0.45}{4.5} = 0.1 \ge 0.062 \dots ... CV \\ \frac{h}{l} \ge \frac{1}{10} \times \frac{M_T}{M_0} \Rightarrow 0.1 \ge 0.085 \dots ... CV \\ \frac{A_{st}}{b \times d} \le \frac{4.2}{f_{\acute{e}}} \Rightarrow 0.001 \le 0.010 \dots ... CV \end{cases}$$

Donc pas de risque de la flèche de flèche de la poutre palière.

III.5.4 : Calcul la poutre palière à la torsion :

a) Moment de torsion :

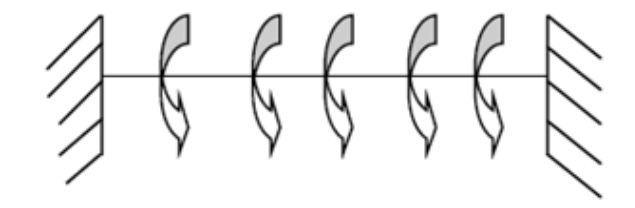
Le moment de torsion provoqué sur la poutre palière est transmis par la volée et le palier.

$$M_{tor} = -\frac{Ma \times L}{2}$$

 $Ma=0.5 \times 28.62 = 14.31 \text{KN.m}$

$$M_{tor} = -\frac{Ma \times 4.5}{2}$$

$$M_{tor} = -32.19$$
KN.m



b) Contrainte de cisaillement en torsion :

$$\tau_{tor} = \frac{M_{tor}}{2 \times e \times \Omega}$$

e : épaisseur de la paroi. $\Rightarrow e = \frac{b}{6} = \frac{30}{6} = 5cm$

 Ω : air du contour tracé à mi-hauteur. $\Rightarrow \Omega = [(b-e) \times (h-e)] = 1000 \text{cm}^2$

U : périmètre de la section \Rightarrow U=2[(b - e) + (h - e)]=130cm

$$\tau^{tor} = \frac{32.16 \times 10^6}{2 \times 50 \times 100000} = 3.21 \ MPA \le 3.33 MPA \dots CV$$

c) Armatures longitudinales:

$$A^{tor}_{l} = \frac{M_{tor} \times \gamma_{s} \times U}{2 \times \Omega \times f_{o}}$$

$$A^{tor}_{l} = \frac{32.19 \times 1.15 \times 1300}{2 \times 100000 \times 400}$$

$$A^{tor}_{l} = 5.85 \text{cm}^2$$

d) Armatures transversales:

$$A^{tor}_{t} = \frac{M_{tor} \times St}{2 \times \Omega \times f_{e}}$$

$$A^{tor}_{t} = \frac{M_{tor} \times 150}{2 \times 100000 \times 400}$$

$$A^{tor}_{t}$$
=0.6 cm²

e) Ferraillage global:

• En travée :

$$A_{tot} = A_t^{flexion} + \frac{A_t^{torsion}}{2} = 2.36 + \frac{5.85}{2} = 5.28 \text{ cm}^2 \Rightarrow 6\text{T}14 + 2\text{T}12 = 11.50 \text{ cm}^2$$

• En appui :

$$A_{tot} = A_t^{flexion} + \frac{A_t^{torsion}}{2} = 2.36 + \frac{5.85}{2} = 5.28 \text{ cm}^2 \Rightarrow 6\text{T}14 + 2\text{T}12 = 11.50 \text{ cm}^2$$

f) Ferraillage transversal:

$$A^{tor}_{t} = A^{flex}_{t} + A^{tor}_{t}$$

$$A^{tor}_{t} = 0.45 + 0.6 = 1.05 \text{ cm}^2 \implies 1 \text{ cadre } \phi 8 + 1 \text{ étrier } \phi 8 = 2.01 \text{ cm}^2$$

COFF FERR POUTRE PALIERE 2x3T14 2T12 T8(cad+etr+epi) 450 COFF P.PAL Sur Appui En Travée 3114 3114 Codres T8 e15cm Codres T8 e15cm EtrierT8 e15cm EtnerT8 e15cm e15cm e15cm 3114 3114

Figure III.20. Schéma de ferraillage de la poutre palière.

III.6.BALCON:

Le balcon est d'une dalle pleine encastré dans les poutres, il est calculé comme un consol ferraillé en flexion simple.

Le balcon est soumis à une charge permanents G (poids propre), charge concentrée à l'extrémité libre p (poids propre de garde –corps), et une charge d'exploitation Q.

Les balcons sont des éléments décoration dans les bâtiments, ils sont calculés comme des consoles encastrées.

$$\rho = \frac{L_x}{L_y}$$

 L_x :La plus petite dimension du panneau entre nus d'appuis.

 L_{ν} :La plus grande dimension du panneau entre nus d'appuis.

III.6.1. Evaluation des charges :

 $G = 5.33 \text{ KN/m}^2$

 $Q = 3.5 \text{ KN/m}^2$

III.6.2. Combinaisons et sollicitations :

a) L'ELU:

$$Pu = 1.35G + 1.5Q$$

$$Pu = 1.35 \times 5.33 + 1.5 \times 3.50 = 12.445 \text{kN/m}^2$$

b) L'ELS:

$$P_{ser} = G + Q = 5.33 + 3.50 = 8.830 \text{KN/m}^2$$

Le calcul peut se fait pour une bande de 1m.

III.6.3. Calcul des moments :

Pour le calcul des moments on utilise les dispositions indiquées à l'annexe E3 des règles BAEL91 :

✓ Dans le sens de la petite portée: $Mx=\mu xquL_{x^2}$

✓ Dans le sens de la grande portée: $My=\mu yMx$

Les coefficients μ_x et μ_y sont fonction de :

$$L_x=1.4$$
m.

$$L_{\nu} = 3$$
m.

 $\rho = \frac{L_x}{L_y} = 0.46 > 0.4 \implies$ La dalle travaille dans les deux sens.

$$\nu$$
 : Coefficient de poisson $\Rightarrow \nu = \begin{cases} 0 & \text{à } \textit{l' ELU} \\ 0.2 & \text{à } \textit{l' ELS} \end{cases}$

A) ELU:

$$\rho = 0.46 \ \Rightarrow Donc : \begin{cases} \mu_x = 0.1022 \\ \mu_y = 0.25 \end{cases} \ \Rightarrow \begin{cases} M_x = u_x \times q_u \times L^2_x = 2.491 \text{KN. m} \\ M_y = M_x \times \mu_y = 0.622 \text{N. m} \end{cases}$$

> Moments en travées :

$$M_{tx} = 0.85 M_x = 2.1174 \text{KN. m}$$

$$M_{ty} = 0.85 M_y = 0.528 \text{KN. m}$$

> Moments sur appuis :

$$M_{ax} = M_{ay} = 0.3 M_x = 0.747 \text{KN.m}$$

A) *ELS*:

$$\rho = 0.46 \ \Rightarrow Donc : \begin{cases} \mu_x = 0.1051 \\ \mu_y = 0.3319 \end{cases} \Rightarrow \begin{cases} M_x = u_x \times q_u \times L^2_x = 1.81 \text{KN. m} \\ M_y = M_x \times \mu_y = 0.60 \text{N. m} \end{cases}$$

> Moments en travées :

$$M_{tx} = 0.85 M_x = 1.53 \text{KN. m}$$

$$M_{ty} = 0.85 M_y = 0.51 \text{KN. m}$$

> Moments sur appuis :

$$M_{ax} = M_{ay} = 0.3 M_x = 0.459 \text{KN}.$$

III.6.4: Ferraillage du balcon:

Le ferraillage est mené à la flexion simple pour une bonde de largeur b=1m et d'épaisseur e=15cm et d=13.5cm

> En travée :

❖ Sens x-x :

$$\begin{cases} M_{tx} = 2.1174KN.m \\ \mu_{bu} = \frac{2.1174 \times 10^6}{14.2 \times 135^2 \times 1000} = 0.0081 \le 0.392 \Rightarrow A'_s = 0 \\ \alpha = 0.010 \\ Z = 13.4cm \\ A^x_t = 0.45cm^2 \end{cases}$$

Condition de non fragilité :

$$\rho = 0.46$$
 ; h=15cm ; b=100cm

 $\rho_0 = 0.8$ pour les barres à haute adhérence

$$A^{x}{}_{min} = \rho_{0}\left(\frac{3-\rho}{2}\right)b \times h \Rightarrow 0.0008\left(\frac{3-0.46}{2}\right) \times 100 \times 15 = 1.52cm^{2}$$

$$A^{x}_{min} \ge A^{x}_{t} \Rightarrow \text{ On ferraille avec } : A^{x}_{min}$$

On opte pour 5T10=3.93cm²

Sens-y-y:

$$\begin{cases} M_{ty} = 0.528KN.m \\ \mu_{bu} = \frac{0.528 \times 10^6}{14.2 \times 135^2 \times 1000} = 0.002 \le 0.392 \Rightarrow A'_s = 0 \\ \alpha = 0.002 \\ Z = 13.5cm \\ A^y_t = 0.11cm^2 \end{cases}$$

Condition de non fragilité :

$$A^{y}_{min} = \rho_0 \times b \times e \Rightarrow 0.0008 \times 100 \times 15 = 1.2 cm^2$$

$$A_{min}^x \ge A_t^x \Rightarrow \text{ On ferraille avec } : A_{min}^y$$

On opte pour 3T8=1.51cm²

> Aux appuis :

❖ Sens (x-x et y-y)

$$\begin{cases} M_{tx} = 0.747KN.m \\ \mu_{bu} = \frac{0.747 \times 10^6}{14.2 \times 135^2 \times 1000} = 0.002 \le 0.392 \Rightarrow A'_s = 0 \\ \alpha = 0.003 \\ Z = 13.4cm \\ A^x_a = 0.16cm^2 \end{cases}$$

Condition de non fragilité :

$$A_{min}^{x} = \rho_0 \left(\frac{3-\rho}{2}\right) b \times h \Rightarrow 0.0008 \left(\frac{3-0.46}{2}\right) \times 100 \times 15 = 1.52 cm^2$$

$$A^{x}_{min} \ge A^{x}_{a} \Rightarrow \text{ On ferraille avec : } A^{x}_{min}$$

On opte pour 5T10=3.93cm²

Espacement:

✓ Travée :
$$\begin{cases} sens \ x - x : st = \frac{100}{5} = 20 \ cm \le min(3h; 33cm) \dots CV \\ sens \ y - y : st = \frac{100}{3} = 33.cm \le min(3h; 33cm) \dots CV \end{cases}$$

✓ Appuis:
$$\begin{cases} sens \ x - x : st = \frac{100}{5} = 20 \ cm \le min(3h; 33cm) \dots CV \\ sens \ y - y : st = \frac{100}{5} = 20cm \le min(3h; 33cm) \dots CV \end{cases}$$

Les résultats de ferraillage sont récapitulés dans le tableau suivant

Tableau III.34. Résultats du ferraillage.

Sens	$M_u(KN.m)$	μ_{bu}	α	Z(cm ²)	$A_{cal}(cm^2)$	$A_{min}(cm^2)$	$A_{adp}(cm^2)$	S_t
Travée x-x	2.1174	0.0081	0.01	13.4	0.45	1.52	3.93	20

Travée y-y	0.528	0.002	0.002	13.5	0.11	1.2	1.51	33
Appuis	0.747	0.002	0.003	13.4	0.16	1.52	3.93	20

III.6.5. Vérification de l'effort tranchant : (BAEL A.5.1, 1)

Les armatures transversales ne sont pas nécessaires si la condition ci-dessous est vérifiée :

$$\tau_{u} = \frac{T_{max}}{b \times d} < \overline{\tau_{u}} = \frac{0.07}{\gamma_{b}} \times f_{c28} = 1.16MPA$$

$$\begin{cases} T_{x} = \frac{qu \times Lx \times Ly}{2Lx + Ly} = \frac{12.445 \times 1.4 \times 3}{2 \times 1.4 + 3} = 9.012\text{KN} \\ T_{y} = \frac{qu \times Lx}{3} = \frac{12.445 \times 1.4}{3} = 5.8\text{KN} \\ T^{max}_{u} = 9.012\text{KN} \\ \tau_{u} = \frac{9.012 \times 10^{3}}{1000 \times 135} = 0.066\text{MPA} < 1.16MPA \dots CV \end{cases}$$

III.6.6: Vérification à L'ELS:

> Vérification des contraintes :

$$\sigma_{bc} = \frac{M_{ser} \times Y}{I} \le \overline{\sigma_{bc}} = 0.6 \times f_{c28} = 15 \text{MPA}$$

Tableau III.35. Vérification des contraintes de la dalle.

		M_t	$A_s(\text{cm}^2)$	Y(cm)	I(cm ⁴)	σ_{bc}	$\sigma_{bc} \leq \overline{\sigma_{bc}}$
Travée	(x-x)	1.53	3.93	3.16	7402.60	0.65	CV
	(y-y)	0.51	1.51	2.35	3120.33	0.38	CV
App	puis	0.459	3.93	3.16	7402.60	0.19	CV

Vérification des contraintes dans les aciers tendus :

❖ Selon x:

$$\sigma_{st} = \frac{15 \times M_{ser}}{I} \times (d - y) \Rightarrow \sigma_{st} = \frac{15 \times 1.53 \times 10^{-3}}{7322.87 \times 10^{-8}} \times (0.135 - 0.0344)$$

$$\sigma_{st} = 31.52MPA$$

$$\bar{\sigma}_{st} = min\left[\frac{2}{3} \times f_e ; 110 \sqrt{\eta \times f_{t28}}\right]$$

Avec :
$$\eta = 1.6$$

$$\bar{\sigma}_{st} = 201.63MPA$$

$$\sigma_{st} \overline{\leq \sigma}_{st} \dots CV$$

❖ Selon y :

➤ Vérification de la flèche (BAEL 91Article B.6.5.1) [2] :

La vérification de la flèche n'est pas nécessaire si les conditions suivantes sont vérifiées :

$$Ast = 3.93cm^2$$

Selon x-x:

$$\begin{cases} \frac{h}{l} \ge \frac{1}{16} \Rightarrow \frac{0.15}{1.4} = 0.1 \ge 0.062 \dots C V \\ \frac{h}{l} \ge \frac{1}{10} \times \frac{M_T}{M_0} \Rightarrow 0.1 \ge 0.084 \dots C V \\ \frac{A_{st}}{b \times d} \le \frac{4.2}{f_{\acute{e}}} \Rightarrow 0.002 \le 0.010 \dots C V \end{cases}$$

Selon y-y: h=0.15 m

$$l = 3.0 \text{ m}$$

$$Ast = 1.51cm^2$$

$$\begin{cases} \frac{h}{l} \ge \frac{1}{16} \Rightarrow \frac{0.15}{3} = 0.05 \le 0.062 \dots ... CN V \\ \frac{h}{l} \ge \frac{1}{10} \times \frac{M_T}{M_0} \Rightarrow 0.05 \le 0.084 \dots ... CN V \\ \frac{A_{st}}{b \times d} \le \frac{4.2}{f_e} \Rightarrow 0.002 \le 0.010 \dots ... CV \end{cases}$$

❖ Calcul de la flèche (BAEL 91) [2] :

Do	nné (KN /m)	Mon	nent (KN.m)	Contrainte (MPA)		Flèche (cm)	
J	3.750	M_J	3.58	σ_J	193.60	f_J	3.148×10^{-4}
G	15.330	M_G	5.096	σ_G	275.59	f_{G}	4.488×10^{-4}
P	8.830	M _P	8.44	σ_P	456.44	f_P	2.34×10^{-3}
						f_{gv}	2.206×10^{-3}

Tableau III.36. Evaluation de la flèche selon y

$$\Delta f = 3.783 \times 10^{-3} \le \frac{L}{500} = 0.6 \dots \dots cv$$

Donc la flèche est Vérifiée.

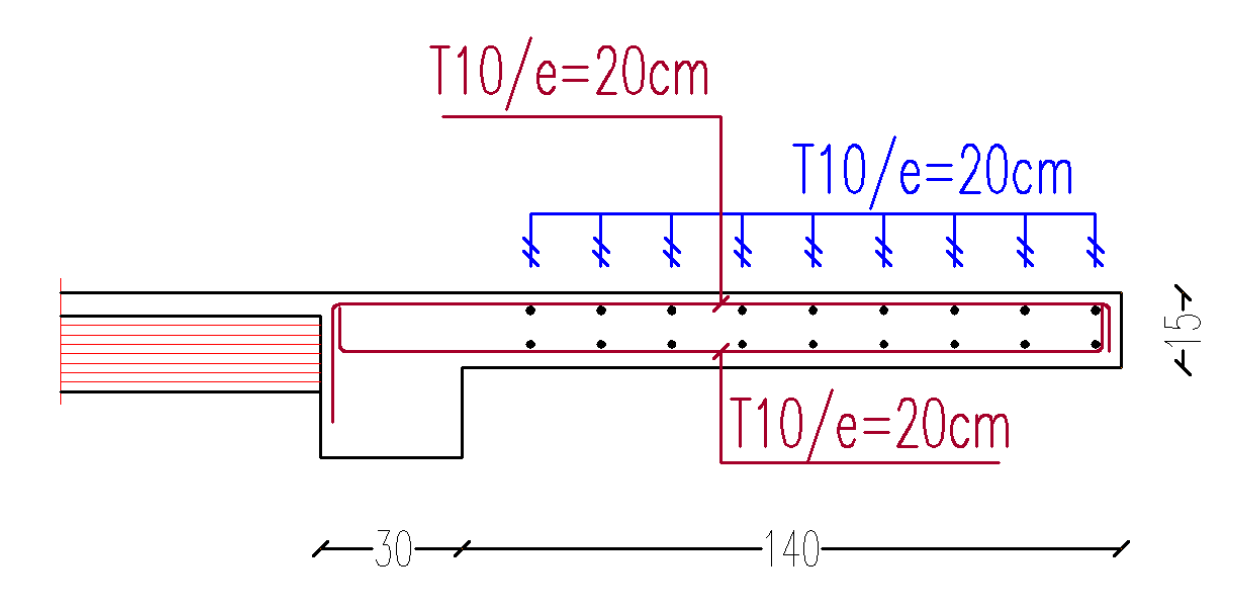


Figure III.21. Schéma de ferraillage du balcon.

III.7.ASCENSEUR:

L'ascenseur est un appareil mécanique, servant au déplacement vertical des personnes et des chargements vers les différents niveaux de la construction. Elle se constitue d'une cabine, qui se déplace le long d'une glissière verticale dans l'ascenseur muni d'un dispositif mécanique permettant le déplacement de la cabine.

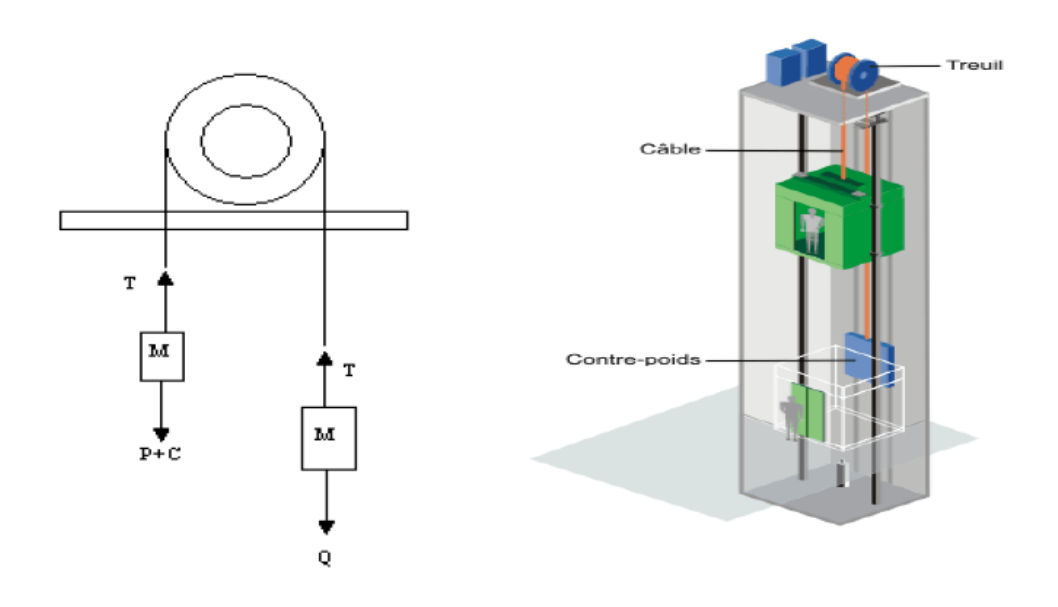


Figure III.22. Schéma statique et concept d'ascenseur.

Dans notre projet on adoptera un ascenseur pour 08 personnes ayant les caractéristiques suivantes :

Tableau III.37. Caractéristiques de l'ascenseur selon l'Annexe 4

Vitesse de circulation	1m/s
Course maximale	32m
Charge due à l'ascenseur (DM)	82KN
Charge due à la machine (PM)	15KN
Poids de la cuvette (FC)	102KN
Dimensions de la gaine (Bs $\times T_s$)	$(1.8\times2.1) \text{ m}^2$
	, ,

Charge nominale (des personnes)	6.3KN
Dimensions minimales de la locale	$(180\times360\times200) \text{ c}m^3$
machine	
Passage libre	$(120 \times 100) \text{ cm}^2$

III.7.1 : Étude de la dalle pleine du local machine :

Cas des charges uniformément réparties :

*Poids de la dalle en béton armé :

$$G1 = 25 \times 0.25 = 6.25 KN / m^2$$

* Poids du revêtement en béton :

$$G2=25\times0.05=1.25KN/m^2$$

* Poids de la machine :

$$G3 = \frac{F_c}{S} = \frac{102}{1.95 \times 2.2} = 15.71 \ KN/m^2$$

$$*Gt = G1 + G2 + G3 = 23.21 \ KN/m^2$$

La surcharge d'exploitation est estimée à $Q = 1 \text{ KN/m}^2$

$$\rho = \frac{Lx}{Ly} = \frac{1.95}{2.2} = 0.88 > 0.4$$
; Donc: La dalle travaille dans les deux sens.

III.7.2: Calcul des sollicitations:

A) ELU:

$$P_u = 1.35G + 1.5Q = 1.35 \times 23.21 + 1.5 \times 1 = 32.33KN/m$$

$$M_0^x = \mu_x \times (P_u \times l^2_X)$$
 \Rightarrow $\mu_x = 0.0476$

$$M_0^Y = \mu_y \times M_0^x \quad \Rightarrow \quad \mu_y = 0.743$$

$$M_0^x = 0.0476 \times (32.33 \times 1.95^2) = 5.85 \text{ KN.m}$$

$$M_0^Y = \mu_y \times M_0^x = 0.743 \times 5.85 = 4.43 \text{KN.m}$$

Calcule des moments réels :

$$M_t^{\ x} = 0.85 M_0^{\ x} = 0.85 \times 5.85 = 4.97 KN.m$$

$$M_t^y = 0.85 M_0^y = 0.85 \times 4.43 = 3.76 KN.m$$

$$M_a^x = 0.3 \times 5.85 = 1.75 \ KN.m$$

$$M_a^y = 0.3 M_0^Y = 0.3 \times 4.43 = 1.32 \text{ KN. m}$$

Ma=Max (Max; May) = 1.75 KN. m

B) ELS:

$$P_s = G + Q = 23.21 + 1 = 24.21KN/m$$

$$M_0^x = \mu_x \times (P_s \times l^2_x) \Rightarrow \mu_x = 0.0546$$

$$M_0^Y = \mu_y \times M_0^x$$
 \Rightarrow $\mu_y = 0.8216$

$$M_0^x = 0.0546 \times (24.21 \times 1.95^2) = 5 \text{ KN.m}$$

$$M_0^Y = \mu_y \times M_0^x = 0.8216 \times 5 = 4.1KN.m$$

> Calcule des moments réels :

$$M_t^x = 0.85 M_0^x = 0.85 \times 5 = 4.25 KN. m$$

$$M_t^y = 0.85 M_0^y = 0.85 \times 4.1 = 3.48 KN. m$$

$$M_a^x = 0.3 M_0^x = 0.3 \times 5 = 1.5 \text{ KN. m}$$

$$M_a^{y} = 0.3 M_0^{y} = 0.3 \times 4.1 = 1.23 \text{ KN. m}$$

Ma=Max (Max; May) = 1.5 KN.m

III.7.3. Calcul de ferraillage:

On fera le calcul de la dalle pour une bande de 1m de longueur et de 25cm d'épaisseur à la flexion simple avec d=22.5cm.

Tableau III.38. Résultats de ferraillage à L'ELU.

Sens	$M_u(kKN.m)$	μ	α	Z	$A_{cal}(cm^2)$	$A_{adp}(cm^2)$	Choix
Travée	4.97	0.006	0.007	22.43	0.63	2.51	5T8
X-X							
Travée	3.76	0.005	0.006	22.44	0.48	2.51	5T8
y-y							
Appuis	1.75	0.002	0.002	22.48	0.22	2.51	5T8

Condition de non fragilité :

$$\begin{cases} A_x \ge \frac{\rho_0}{2} \times (0.3 - \rho) \times b \times d \\ A_y \ge \rho_0 \times b \times d \end{cases}$$

Avec:
$$\begin{cases} \rho_0 = 0.8\%_0 \\ \rho = \frac{L_x}{L_y} = 0.88 \end{cases}$$

❖ Sens- x-x:

En travée : A_x =2,51cm2/ml>0.63m².....vérifiée Sur appuis : A_y =2,51cm2/ml>0.22cm²....vérifiée

❖ Sens- y-y:

En travée : A_x =2,51cm2/ml>0.48m².....vérifiée Sur appuis : A_y =2,51cm2/ml>0.22cm².....vérifiée

Espacement:

***** En travée :

$$s_t = \begin{cases} \frac{100}{5} = 23 < \min(3h; 33cm) = 33cm(sens x - x) \dots vérifiée \\ \frac{100}{5} = 23 < \min(3h; 45cm) = 33cm(sens y - y) \dots vérifié \end{cases}$$

❖ En appui:

$$s_t = \begin{cases} \frac{100}{5} = 23 < \min(3h; 33cm) = 33cm(sens x - x) \dots vérifiée \\ \frac{100}{5} = 23 < \min(3h; 45cm) = 33cm(sens y - y) \dots vérifié \end{cases}$$

III.7.4. Calcul des armatures transversales :

Les armatures transversales ne sont pas nécessaires si la condition ci-dessous est vérifiée :

$$\tau_{u} = \frac{T^{max}_{u}}{b \times d}$$

$$T_{x} = \frac{q_{u} \times L_{x} \times L_{y}}{2 + L_{x} \times L_{y}} = 22.73KN$$

$$T_y = \frac{qu \times Lx}{3} = 21.01 \text{KN}$$

$$\tau_u = \frac{22.37 \times 10^3}{1000 \times 225} = 0.1 < \bar{\tau}_u = 1,25 MPa. \dots vérifié$$

III.7.5: Vérification à l'ELS:

Vérification des contraintes :

$$\sigma_{bc} = \frac{M_{ser}}{I} \times Y \le \overline{\sigma_{bc}} = 15 \text{MPA}$$

Tableau III.39. Résultats de calcul des contraintes dans le béton.

Position	Sens	$M_{ser}(KN.m)$	$A_s(\text{cm}^2)$	Y(cm)	I(cm ⁴)	$\sigma_{bc}(MPA)$	$\sigma_{bc} \leq \overline{\sigma_{bc}}$
Travée	X-X	4.24	2.51	3.75	14994.14	0.106	CV
	Y-Y	3.48	2.51	3.75	14994.14	0.087	CV
Appuis	X-X-	1.5	2.51	3.75	14994.14	0.037	CV
	Y-Y	1.5	2.51	3.75	14994.14	0.037	CV

➤ Vérification de la flèche (BAEL 91Article B.6.5.1) [2] :

La vérification de la flèche n'est pas nécessaire si les conditions suivantes sont vérifiées :

Avec:

h=0.25 m

1 = 2.2 m.

 $Ast = 2.51 \text{ cm}^2$

$$\begin{cases} \frac{h}{l} \ge \frac{1}{16} \Rightarrow \frac{0.25}{2.2} = 0.11 > 0.062 \dots ... C V \\ \frac{h}{l} \ge \frac{1}{10} \times \frac{M_T}{M_0} \Rightarrow 0.11 > 0.085 \dots ... C V \\ \frac{A_{st}}{b \times d} \le \frac{4.2}{f_{\acute{e}}} \Rightarrow 0.001 \le 0.010 \dots ... C V \end{cases}$$

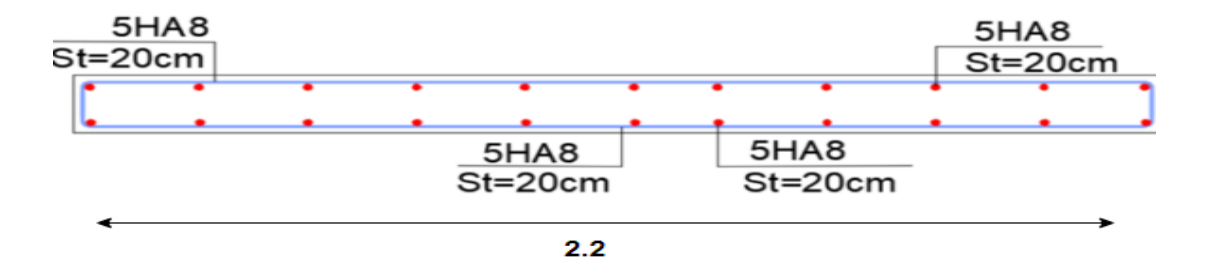


Figure III.23. Disposition constructive des armatures de l'ascenseur.

III.8. CONCLUSION:

Dans ce chapitre, on a pu déterminer le ferraillage des éléments secondaires de notre structure, et ceci on répond à toutes les exigences du RPA99 version 2003, BAEL 91 modifié en 99, et le CBA 93.

Après les calculs on trouve :

1. les planches:

✓ Les armatures longitudinales :

❖ travée : **3T10.**

❖ Appui de rive : 1T12.

❖ Appui Int : **1T12+1T10.**

 \checkmark Les armatures transversales : **1étrier** Φ 6

2. L'acrotère:

✓ Les armatures longitudinales : 4T8.

✓ Les armatures transversales : 4T8.

3. Les escaliers:

✓ Les armatures longitudinales :

* travée : 5T12.

❖ Appui : **5T10.**

✓ Les armatures transversales : 4T8.

4. La poutre palière :

✓ Les armatures longitudinales :

travée: **6T14+2T12.**

❖ Appui : **6T14+2T12.**

✓ Les armatures transversales : 1cadre T8+1étrier.

5. Les balcons:

- \checkmark Sens x-x:
 - ***** travée : **5T10.**
 - **❖** Appui : **5T10.**
- ✓ Sens y-y:
 - * travée : 3T8.
 - **❖** Appui : **5T10.**

6. L'ascenseur:

- \checkmark Sens x-x:
 - * travée : 5T8.
 - **❖** Appui : **5T8.**
- ✓ Sens y-y:
 - * travée : 5T8.
 - **❖** Appui : **5T8.**



CHAPITRE IV étude sismique

IV.1.Introduction:

La réalisation d'une structure pouvant résister à une secousse sismique doit être fait à base d'une étude, cette étude permet la détermination d'un model et du choix de la méthode assurant de reproduire au mieux le comportement réel de l'ouvrage.

D'après le **RPA99/version 2003(3.4. A.1.a)**, tout ouvrage situé en zone IIa, de hauteur dépassant 14m, sera contreventé par un système de voiles ou de voiles - portiques. Pour la raison d'économie, le contreventement de notre structure sera mixte (voiles- portiques).

IV.2.Objectifs et exigences : Les premières exigences, lors de la conception d'une structure, sont données par les normes de construction dans le cas de situations non sismiques. A celles-ci, viennent d'ajouter des normes assignées à la construction de structures en zone sismique. En effet, la conception parasismique ne se limite pas au seul dimensionnement, mais met en jeu de nombreux facteurs comme la rigidité, la capacité de stockage ou la dissipation d'énergie.

IV.2.1 Présentation du logiciel de calcul :

a) Modélisation de la structure par le logiciel ETABS V20 : ETABS est un logiciel de calcul conçu exclusivement pour le calcul des bâtiments. Il permet de modéliser facilement et rapidement tous types de bâtiments grâce à une interface graphique unique. Il offre de nombreuses possibilités pour l'analyse statique et dynamique.

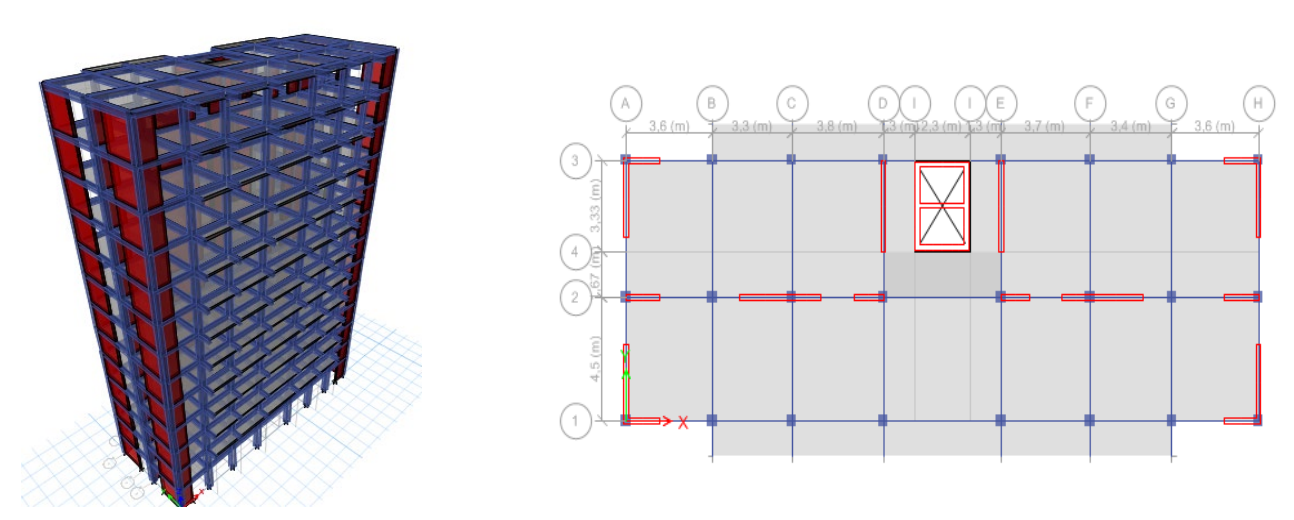


Figure IV.1: Vue en 2Det 3D du bâtiment

CHAPITRE IV étude sismique

IV.3 .Méthode de calcul:

Le « RPA99 version 2003» régie la conception parasismique des structures.

Ce dernier propose trois méthodes de calcul dont les conditions d'application différent et cela selon le type de structure à étudier,

Ces méthodes sont les suivantes

- Méthode statique équivalente.
- Méthode d'analyse modale spectrale.
- Méthode d'analyse dynamique par accelérogrammes.

IV.3.1. Méthode statique équivalente :

Dans cette méthode, le RPA propose de remplacer les forces réelles dynamiques engendrées par un séisme, par un système de forces statiques fictives dont les effets seront identiques et considérées appliquées séparément suivant les deux directions définies par les axes principaux de la structure.

• Les conditions de la méthode :

La méthode statique équivalente est applicable dans les conditions suivantes :

Le bâtiment ou le bloque étudier, respecte les conditions de régularité en plan et en

Élévation avec une hauteur au plus 65m en zone I et IIa et 30 m en zone IIb et III.

Le bâtiment ou le bloque étudié présente une configuration régulière tout en respectant, outre les conditions complémentaires énumérées dans le RPA99 (article4.1.2) [3].

IV.3.2.Méthode d'analyse modale spectrale :

Par cette méthode, il est recherché pour chaque mode de vibration, le maximum des effets engendrés dans la structure par les forces sismiques représentées par un spectre de réponse de calcul. Ces effets sont par la suite combinés pour obtenir la réponse de la structure.

CHAPITRE IV étude sismique

a) Domaine d'applications :

La méthode d'analyse modale spectrale est appliquée pour tous les cas de bâtiment.

b) Calcul de la force sismique totale : (RPA art 4, 2,3) [1]

La force sismique totale V, appliquée à la base de la structure, doit être calculée successivement dans deux directions horizontales orthogonales selon la formule :

$$V = \frac{A D Q W}{R}$$

A : coefficient d'accélération de zone, donné par le tableau 4.1 du RPA suivant la zone sismique et le groupe d'usage du bâtiment.

D: facteur d'amplification dynamique moyen, en fonction de la catégorie de site, du facteur de correction d'amortissement (ξ) et de la période fondamentale de la structure (T).

$$D = \begin{cases} 2.5 \eta & 0 \le T \le T_2 \\ 2.5 \eta (T^2/T)^{2/3} & T_2 \le T \le 3s \\ 2.5 \eta (T^2/3)^{2/3} (3/T)^{5/3} & T \ge 3.0s \end{cases}$$

T2 : période caractéristique, associée à la catégorie du site et donnée par le tableau 4.7 du RPA

η: facteur de correction d'amortissement donné par la formule :

$$\eta = \sqrt{7/(2+\xi)} \ge 0.7$$

Où ξ (%) est le pourcentage d'amortissement critique fonction du matériau constitutif, du est donné par le **Tableau.IV.1** présenté ξ type de structure et de l'importance des remplissages. Ci-après.

Tableau.IV.1: Valeurs du coefficient d'amortissement suivent le système structurel

	portiqu	ue	Voile ou murs	
Remplissage	Béton armé	acier	Béton armé /maçonnerie	
Léger	6	4	10	
dense	7	5	10	

Nous avons un contreventement mixte voiles -portiques donc on prend une valeur :

$$\xi = 10$$
 %.

$$\eta = 0.764 > 0.7$$

c) Estimation de la période fondamentale de la structure :

La valeur de la période fondamentale (T) de la structure peut être estimée à partir de formules empiriques ou calculée par des méthodes analytiques ou numériques.

ightharpoonup La formule empirique à utiliser selon les cas est la suivante :T = $C_T \cdot h_n^{\frac{3}{4}}$

 h_n : hauteur mesurée en mètres à partir de la base de la structure jusqu'au dernier niveau (N).

 C_T : Coefficient, fonction du système de contreventement, du type de remplissage et donné par le **Tableau 4.6** du RPA.

On peut également utiliser aussi la formule : $T = \frac{0.09h_n}{\sqrt{D}}$

Où D est la dimension du bâtiment mesurée à sa base dans la direction de calcul considérée.

➤ Calcul de période fondamentale de la structure T :

$$T = C_T \cdot h_n^{\frac{3}{4}}$$

Dans notre cas:

$$C_T = 0.050$$

$$h_n = 40.8 \text{ m}$$

$$T = C_T . h_n^{\frac{3}{4}} = 1,3 \times 0,05 \times (40,12)^{3/4} = 0.79 \Longrightarrow T = 0.79$$

$$Dx = 26.3 \text{ m}$$
; $Dy 9.5 \text{ m}$

$$Tx = 0.70s$$
; $Ty = 1.17 s$

Pour calculer la période fondamentale on prend la petite valeur de T entre ces trois valeurs Donc : $T=1.3 \times 0.70 = 0.915s$

R : coefficient de comportement global de la structure sa valeur unique est donnée par **le Tableau** 4.3 en fonction du système de contreventement tel que défini en 3.4 (voir RPA).

Q : facteur de qualité

$$Q = 1 + \sum_{1}^{N} P_{a}$$

Pq : est la pénalité à retenir selon que le critère de qualité q " est satisfait ou non". Sa valeur est donnée au tableau 4.4 du RPA

W: poids total de la structure.

$$W = \sum_{i=1}^{n} W_i$$

IV.3.3. Méthode dynamique modale spectrale :

a) Principe de la méthode dynamique modale spectrale : [1]

Selon le RPA La méthode d'analyse modale spectrale peut être utilisée dans tous les cas, et en particulier, dans le cas où la méthode statique équivalente n'est pas permise. Par cette méthode, il est recherché pour chaque mode de vibration, le maximum des effets engendrés dans la structure par les forces sismiques représentées par un spectre de réponse de calcul. Ces effets sont par la suite combinés pour obtenir la réponse de la structure.

b) Modélisation:

- 1- Pour les structures régulières en plan comportant des planchers rigides, l'analyse est faite séparément dans chacune des deux directions principales du bâtiment. Celuici est alors représenté dans chacune des deux directions de calcul par un modèle plan, encastré à la base et où les masses sont concentrées au niveau des centres de gravité des planchers avec un seul DDL en translation horizontale.
- 2- Pour les structures irrégulières en plan, sujettes à la torsion et comportant des planchers rigides, elles sont représentées par un modèle tridimensionnel, encastré à la

base et où les masses sont concentrées au niveau des centres de gravité des planchers avec trois (03) DDL (2 translations horizontales et une rotation d'axe vertical).

- 3- Pour les structures régulières ou non régulières comportant des planchers flexibles, elles sont représentées par des modèles tridimensionnels encastrés à la base et à plusieurs DDL par plancher.
- 4- La déformabilité du sol de fondation doit être prise en compte dans le modèle toutes les fois où la réponse de la structure en dépend de façon significative.
- 5- Le modèle de bâtiment à utiliser doit représenter au mieux les distributions des rigidités et des masses de façon à prendre en compte tous les modes de déformation significatifs dans le calcul des forces d'inertie sismiques (ex : contribution des zones nodales et des éléments non structuraux à la rigidité du bâtiment).
- 6-Dans le cas des bâtiments en béton armé ou en maçonnerie la rigidité des éléments porteurs doit être calculée en considérant les sections non fissurées. Si les déplacements sont critiques particulièrement dans le cas de structures associées à des valeurs élevées du coefficient de comportement, une estimation plus précise de la rigidité devient nécessaire par la prise en compte de sections fissurées.

IV.4. MODÉLISATION DE LA STRUCTURE :

L'une des étapes les plus importantes lors d'une analyse dynamique de la structure est la modélisation adéquate de cette dernière. Vue la complexité et le volume de calcul que requiert l'analyse de notre structure, la nécessite de l'utilisation de l'outil informatique s'impose. Dans le cadre de notre projet nous avons opté pour un logiciel de calcul appelé ETABS V.20

IV.4.1. Modélisation:

IV.4.1.1. La structure sans voiles :

a) Le comportement de la structure sans voiles :

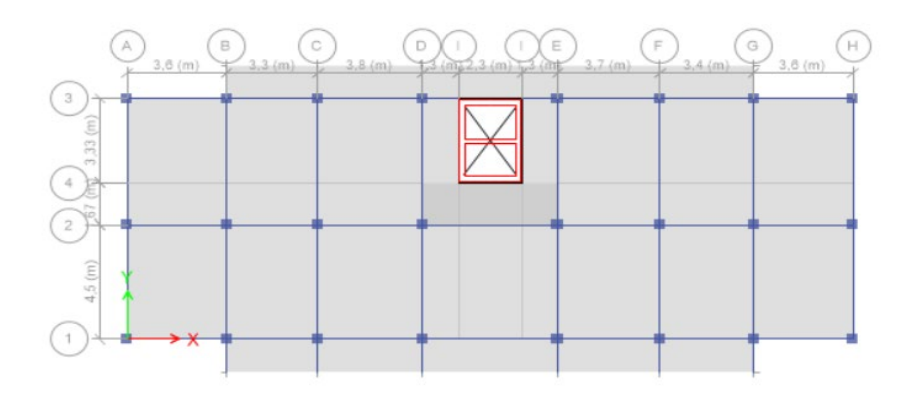
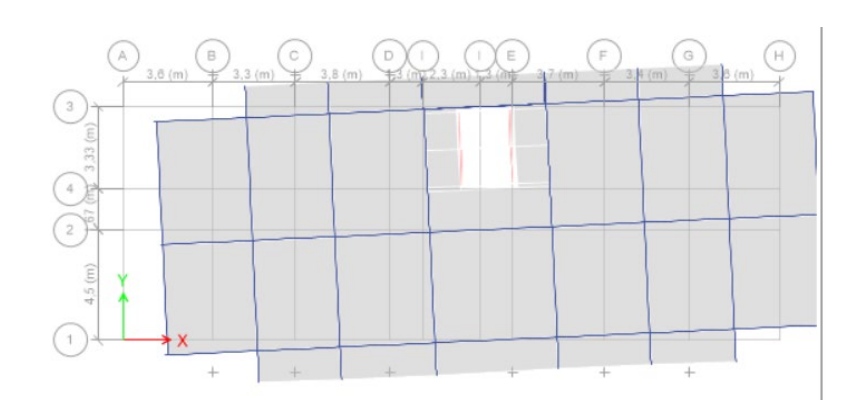
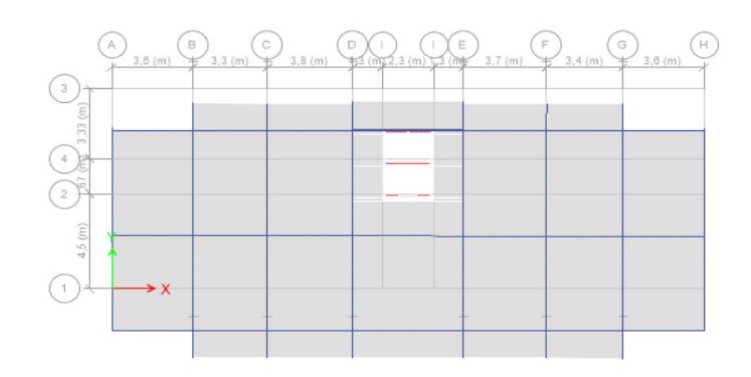


Figure.IV.1: Comportement de la structure sans voiles.121

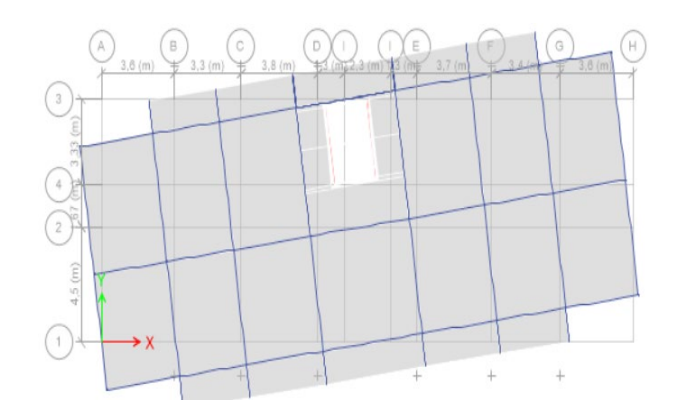
case sismique:



Mode 1 T= 1.50 s Torsion xx



Mode2 T= 1.30s Translation yy



Mode 3 T= 1.19 s Torsion

b) Interprétation des résultats : On remarque des torsions dans le 1er. 2 ème et le 3ème mode avec des périodes élevées. En remarque qu'il faut augmenter la participation massique de mode fondamentale par l'addition des voiles et pour donner une certaine rigidité à la structure.

IV.4.1.2. La structure avec les voiles :

L'introduction des voiles dans la structure se fera par tâtonnement mais d'une manière réfléchie ; plusieurs essais de structure seront conduits, et la structure finale choisie sera celle qui présentera :

- ✓ Une période fondamentale proche de la limite imposée par le RPA99 version 2003.
- ✓ Des modes propres semblables à ceux d'une structure dont le comportement est régulier.
- ✓ Des déplacements inter-étages vérifiés. En général les voiles de contreventement seront disposées de manière symétrique. Donc dans ce qui suit il faudra déterminer ; le nombre de voile nécessaire à rajouté et la position des voiles rajoutés.
- ♦ La première disposition: Pour obtenir la raideur maximale à la torsion d'ensemble, il faut que les éléments susceptibles de donner la raideur torsionnelle à la structure soient portés le plus possibles vers le pourtour de la construction

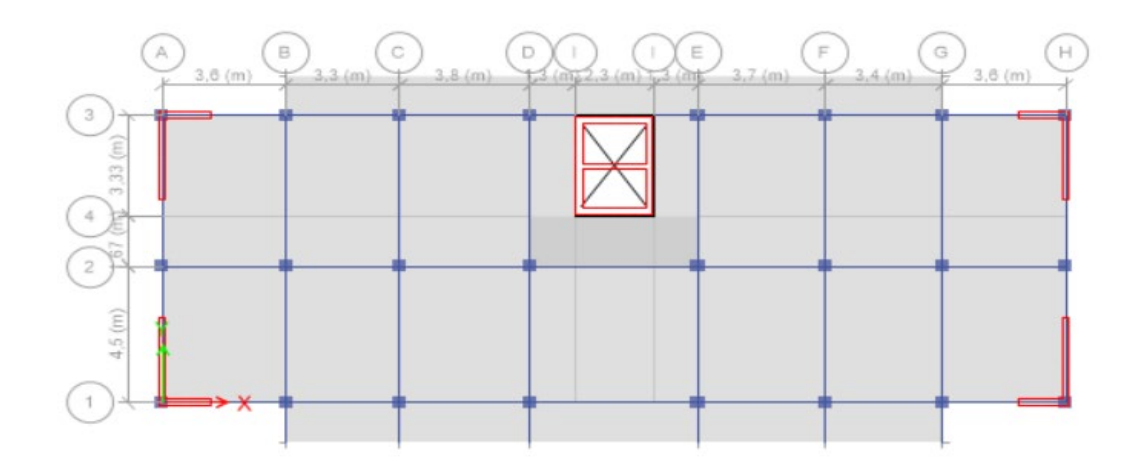
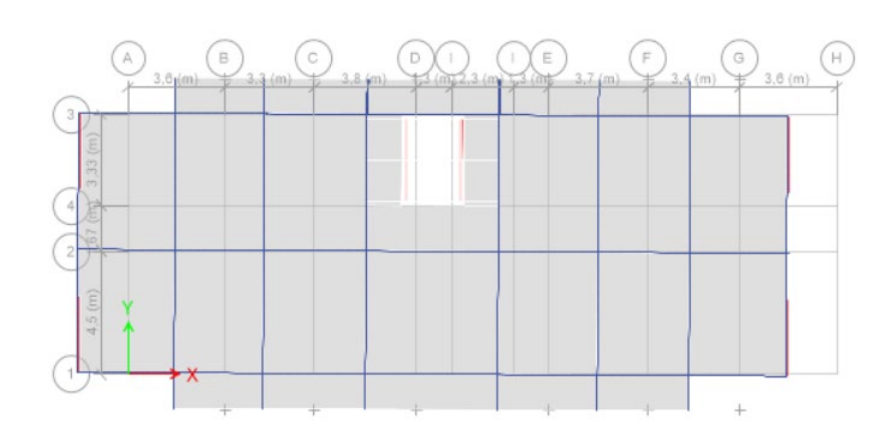
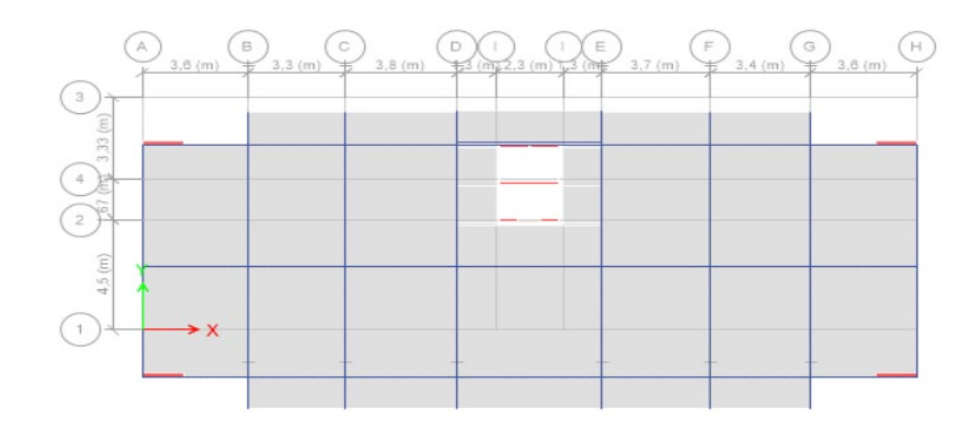


Figure.IV.2: la première disposition des voiles

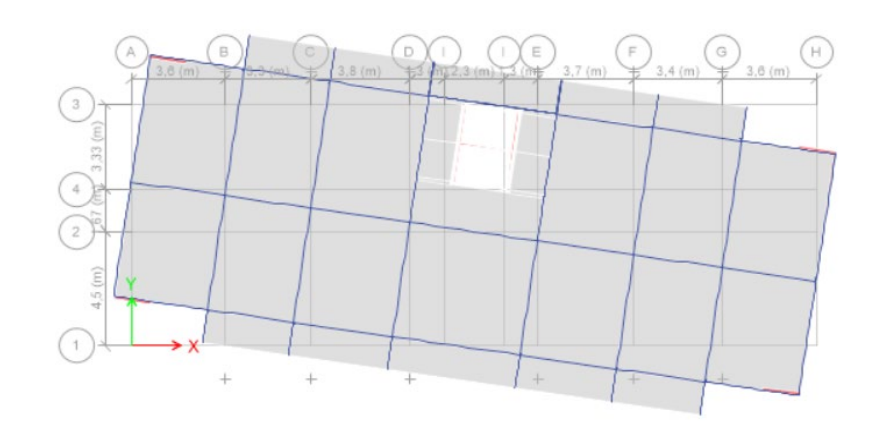
Case sismique:



Mode 1 T= 1.13 s Translation xx



Mode2 T= 0.91s Translation yy



Mode 3 T= 0.65s Torsion

b) Analyse des résultats :

On remarque que les périodes sont élevées et ne vérifie pas la condition de Tnum

$$T_{num} \le 1.3 \text{ T}_{emp} = 0.915 \text{ s}$$

La deuxième disposition : Donc la voie la plus simple et la plus rapide est d'augmenter le nombre des voiles pour augmenter la rigidité ce qui conduit directement à la diminution du période de la construction .

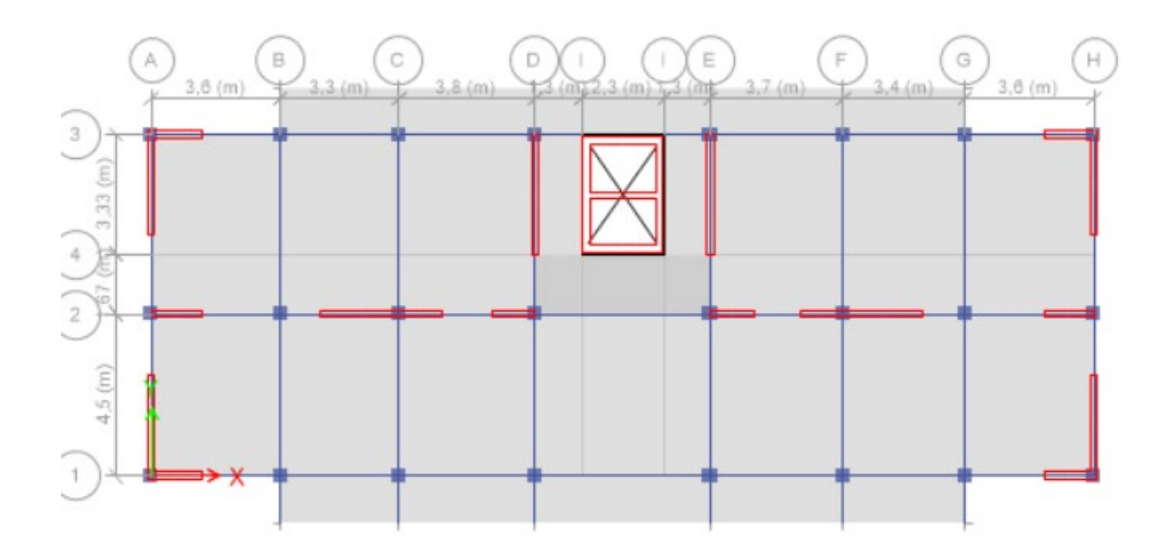
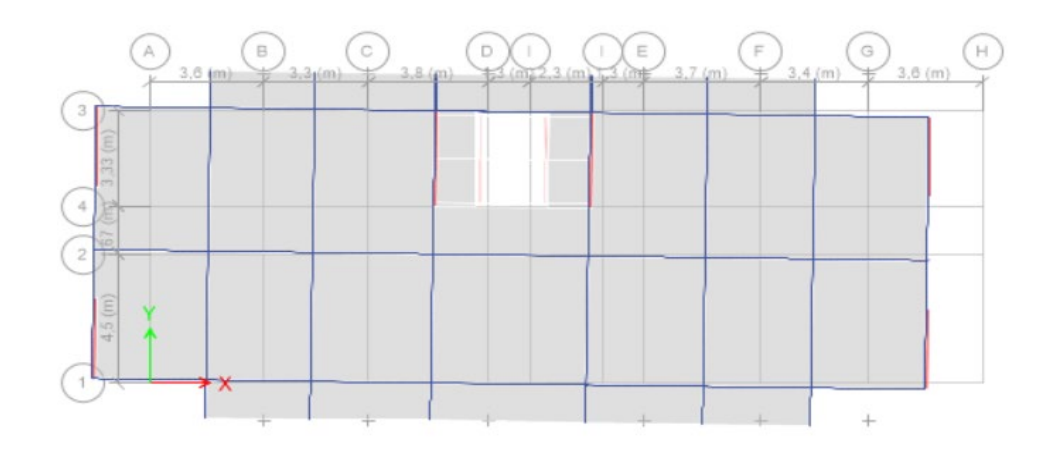
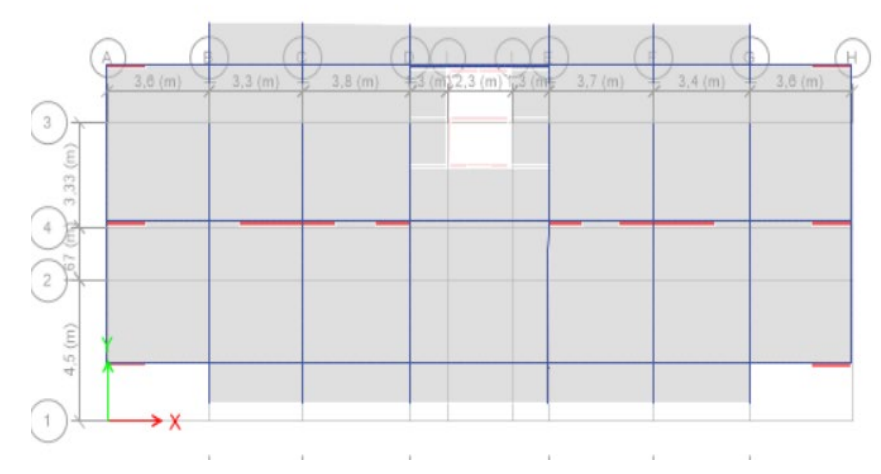


Figure.IV.3: La deuxième disposition des voiles.

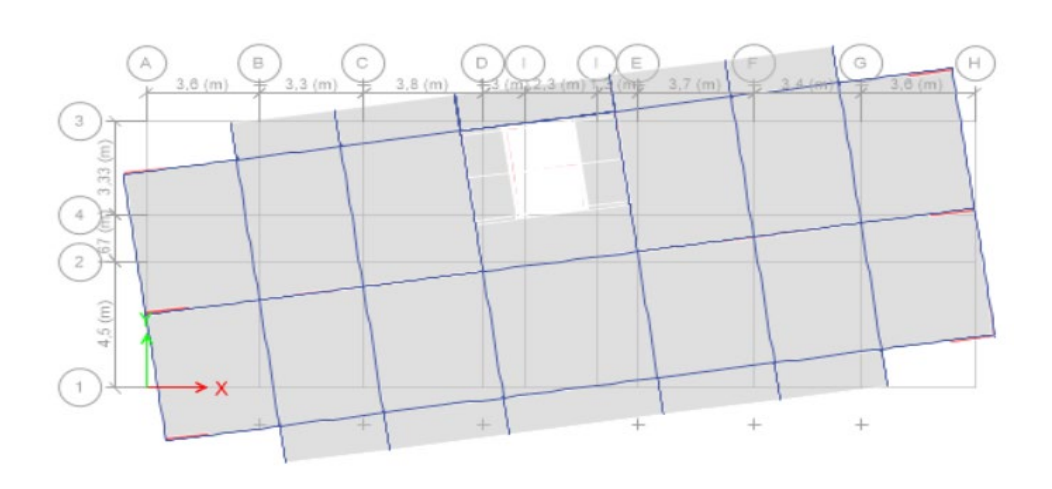
Case sismique:



Mode 1 T= 0.88 s Translation xx



Mode2 T= 0.86s Translation yy



Mode 3 T= 0.65s Torsion

b) Analyse des résultats :

On remarque que les périodes sont élevées et vérifie la condition de Tnum

$$T_{num} = 0.88 \le 1.3 \text{ T}_{emp} = 0.915 \text{ s}$$
 cv

IV.5. Vérifications du comportement d'une structure vis-à-vis du Règlement Parasismique Algérien (RPA99 V2003) :

On doit vérifier les vérifications principales suivantes :

IV.5.1. Vérification de la période fondamental de la structure :

La valeur de la période fondamentale (T) de la structure peut être estimée à partir de formules empiriques ou calculée par des méthodes analytiques ou numériques.

$$T_{num} \le 1,3 \text{ T emp} = C_T.h^{(3/4)} = 1,3 \text{ x } 0,05 \text{ x } (40,12)^{3/4}$$

 $0,89 \text{ s} \le 0,915 \text{ s} \dots CV$

IV.5.2. Participations des masses modales effectives :

Il faut inclure dans l'analyse autant de modes qu'il est nécessaire pour que la somme des masse modales correspondante atteigne au moins 90 % de la masse totale :

$$K > 3 \sqrt{N}$$
 N=13 niveaux

Nombre minimale des modes à considérer : $K=3\sqrt{13}=10.81$

Tableau IV.2: Participation des masses modales

Case	Mode	Période	Ux	Uy	Sum x	Sum y	Rz
		(sec)					
Modal	1	0.89	0.728	0.0003	0.728	0.0003	0.0043
Modal	2	0.87	0.0003	0.6995	0.7283	0.6998	0.00000644
Modal	3	0.67	0.0041	0,000001001	0.7325	0.6998	0.7189
Modal	4	0.259	0.1345	0,000001836	0.867	0.6998	0.0009
Modal	5	0.23	0.000001543	0.1598	0.867	0.8597	0,0000005706
Modal	6	0.192	0.0007	0	0.8677	0.8597	0.1419

Modal	7	0.125	0.0536	0	0 .9213	0.8597	0.0003
Modal	8	0.103	0	0.061	0.9213	0.9207	0
Modal	9	0.09	0.0003	0	0.9217	0.9207	0.0569
Modal	10	0.074	0.0288	0	0.9504	0.9207	0.0002
Modal	11	0.059	0	0.0322	0 .9504	0.9529	0
Modal	12	0.053	0.0003	0	0.9507	0.9529	0.0304

IV.5.3.Vérification de l'effort tranchant statique et dynamique :Art 4.2.4 stipule que la résultante des forces sismique à la base V dyn obtenue par combinaison des valeurs modale ne doit pas être inférieure à 80% de la résultante des forces sismique déterminée par la méthode statique équivalant V pour la valeur de la période fondamentale donnée par la formule empirique appropriée.

$$V \, dyn > 0.8V stat = 0.8 \, \frac{ADQW}{R}$$

Données du spectre de réponse :

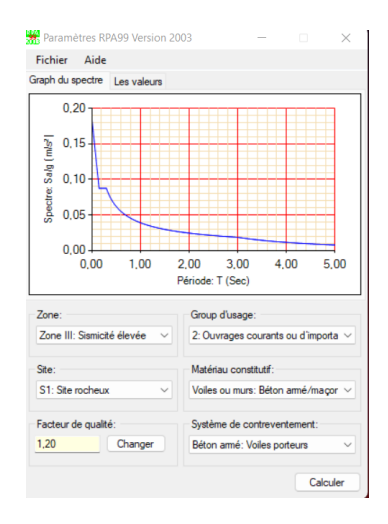


Figure IV.4 : Spectre de réponse

Calcul de la force sismique totale V :

$$V = \frac{A D Q W}{R}$$

• A : coefficient d'accélération de la zone

Groupe d'usage 2

Zone sismique III \Rightarrow **A=0.25** (tab.4.2.RPA. P26)

• **D**: facteur d'amplification dynamique

$$D = \begin{cases} 2.5 \eta & 0 \le T \le T_2 \\ 2.5 \eta (T^2/T)^{2/3} & T_2 \le T \le 3s \\ 2.5 \eta (T^2/3)^{2/3} (3/T)^{5/3} & T \ge 3.0s \end{cases}$$

T : période fondamentale de la structure tel que :

$$T=C_T h_n^{3/4}$$

C_T= 0.05 : Portiques auto stables en béton armé ou en acier avec remplissage en maçonnerie (tab.4.6. RPA.99 V2003.p31)

 $\mathbf{h_n} = 40,12$: hauteur mesurée à partir de la base

T = 0.797 s

On a : $0.50 \le T = 0.797 \text{ s} \le 3 \text{ s}$

 η : Coefficient de corrélation d'amortissement :

$$\eta = \sqrt{7/(2+\xi)} \ge 0.7 \xi = 10 \% \Rightarrow \eta = 0.764$$

Calcul de T2:

T2 : période caractéristique associée à la catégorie du site.

Site meuble S1:

T=0,15 s
T2=0.30 s
$$\xi$$
= **10 %**, on a η = **0,764**

Alors:
$$\mathbf{D} = 2.5 * \eta * (\mathbf{T2} / \mathbf{T}) ^{2/3} T_2 \le T \le 3s$$

 $\mathbf{D} = 1.351$

• **R**: coefficient de comportement global de structure (tab.4.3.RPA. P28)

• R_y= 3,5 : système 2 voile porteurs

• Q : facteur de qualité

$$Q=1+\sum P_q$$

 P_q : la pénalité à retenir selon le critère de qualité q « satisfait ou non », sa valeur est donnée par le tableau 4.4-RPA-p30 : $\sum P_q$ =0

Tous les critères de qualité sont satisfaits suivant les deux directions ox, oy :

$$Q_x = Q_y = 1.20$$

• W: poids total de la structure

$$W = \sum W_i \ avec$$
 : $W_i = \!\! W_{Gi} + \beta \ W_Q$

$$\beta = 0.2$$

W_{Gi}: poids du aux charges permanentes au niveau i

W_{Qi}: poids dus aux charges d'exploitations

Le poids totale de la structure par la combinaison G+0.2Q :

$$W = WGi + 0.2WQi = 24013,2192 KN$$

$$Vstat = \frac{ADQW}{R} = \frac{0.25*1.351*1.2*42281.7334}{3.5} = 4896.22 \text{ KN}$$

Tableau IV.3: Efforts tranchants selon les directions X et Y

Colonne 1	Colonne 2	Colonne 3	Colonne 4
Ex max	4471.1203	14.2113	0
Ey max	13.1586	4195.8453	0
W	0	0	42281.7334

Selon Ex:

V dyn x =
$$4471,12$$
 KN ≥ 0.8 V stat = $3916,98$ KN CV

Selon Ey:

V dyn y =
$$4195,84 \text{ KN} \ge 0.8 \text{ V stat} = 3916,98 \text{ KN}$$
 CV

IV.5.5. Justification du coefficient de comportement R (Art 3.4) :

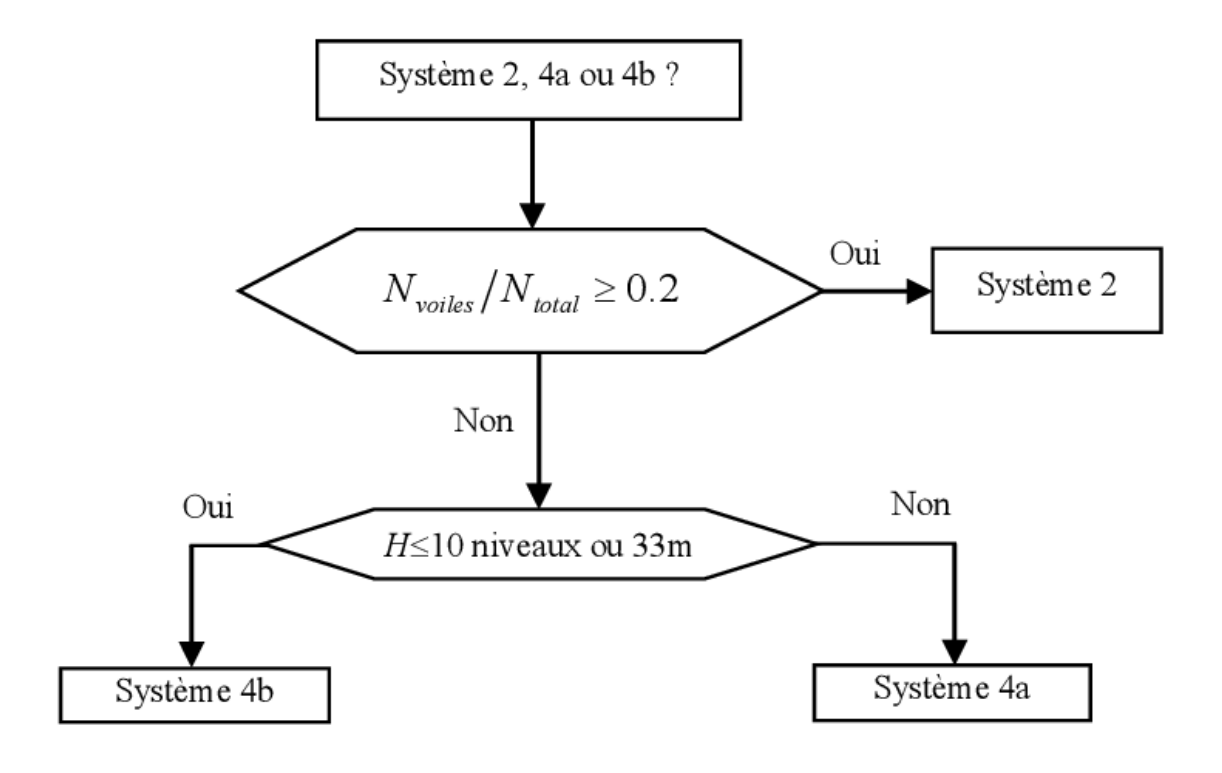


Figure IV. : Classification entre système de contreventement avec voiles (RPA99-version2003

les voiles reprennent plus de 20% des sollicitations dus aux charges verticales, et la sollicitation horizontale et reprise uniquement par les voiles

$$\frac{N_{voiles}}{N_{total}} \ge 0.2$$

$$\frac{30296.53}{43525.78} = 0.68 \to 0.68 \ge 0.2 \Rightarrow (CV)$$

Donc on prend coefficient de comportement R = 3.5

IV.5.6. Justifications des déplacements relatifs par rapport à la hauteur d'étage (Art5.10) :

Art5.10 stipule que les déplacements latéraux d'un étage par rapport aux étages qui lui sont adjacents ne doivent pas dépasser 1% de la hauteur d'étage.

$$\Delta_{k} = \delta_{k} - \delta_{k-1} \le 1\% \delta_{k}$$

- déplacement horizontale à chaque niveau(k) $\delta k = R \times \delta_{ke}$
- déplacement dû aux forces sismiques δ_{ke}
- la hauteur d'étage k

Tableau IV.6: Déplacements relatifs entre étages

Δkx	Δky	1%Hk	Conditions Vérifiées
0,00832167	0,01052793	0,0306	vérifié
0,0092106	0,01107414	0,0306	vérifié
0,01020663	0,01165248	0,0306	vérifié
0,01114911	0,01217727	0,0306	vérifié
0,01192023	0,01251999	0,0306	vérifié
0,01257354	0,01273419	0,0306	vérifié
0,01303407	0,01272348	0,0306	vérifié
0,01320543	0,01243431	0,0306	vérifié
0,01298052	0,011781	0,0306	vérifié
0,01233792	0,01076355	0,0306	vérifié
0,01098846	0,00917847	0,0306	vérifié
0,008568	0,00681156	0,0306	vérifié
0,0043554	0,003451	0,034	vérifié

IV.5.7. Vérification de l'effet P-Delta (Art 5.9):

Art5. stipule que l'effet de P-Delta peuvent être négligés dans le cas des bâtiments si la condition suivante est satisfais à tous les niveaux.

$$\theta = \frac{P_k \Delta_k}{V_k h_k} \le 0.10$$

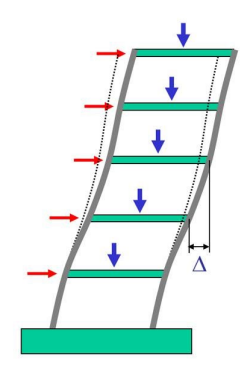


Figure IV.5: Présentation de l'effet P-Δ sur la structure

Avec:

P_k: Poids total de la structure et des charges d'exploitation associées au-dessus du Niveau « k » calculés suivant le formule ci-après

$$P_{k} = \sum_{i=1}^{n} (w_{Gi} + \beta w_{qi})$$

 V_k : Effort tranchant d'étage au niveau "k" : $V_k = \sum_{i=k}^n F_i$

 Δ_k : Déplacement relatif du niveau « k » par rapport au niveau « k-1 »(voir paragraphe 4.2.10)

 h_k : Hauteur de l'étage « k ».

Tableau IV.7: Effet P- Δ suivant x et y

Pk	VX	VY	Δkx	Δky
3447,1664	795,6811	803,2089	0,00832167	0,01052793
6592,0699	1441,9207	1420,1004	0,0092106	0,01107414
9736,9733	1931,1558	1860,619	0,01020663	0,01165248
12881,8767	2335,3937	2214,3969	0,01114911	0,01217727
16097,1233	2685,381	2520,1685	0,01192023	0,01251999
19312,3698	2989,9348	2788,4082	0,01257354	0,01273419
22527,6163	3269,7133	3039,9606	0,01303407	0,01272348
25742,8629	3540,4425	3289,0686	0,01320543	0,01243431
29037,455	3794,4093	3526,4233	0,01298052	0,011781
32332,0472	4025,5563	3746,5152	0,01233792	0,01076355
35626,6393	4233,594	3950,1471	0,01098846	0,00917847
38968,0382	4396,0129	4114,145	0,008568	0,00681156
42128,3973	4462,7351	4185,9073	0,0043554	0,003451

Tableau IV.8: Effet P- Δ suivant x et y

Pk* ∆kx	Pk* ∆ky	Ex*Hk	Ey*Hk	θх	θу	Conditions
						Vérifiées
28,6861812	36,2915266	2434,78417	2457,81923	0,01178182	0,01476574	vérifié
60,716919	73,001505	4412,27734	4345,50722	0,0137609	0,01679931	vérifié

99,3816838	113,459887	5909,33675	5693,49414	0,01681774	0,01992799	vérifié
143,62146	156,866091	7146,30472	6776,05451	0,0200973	0,02315006	vérifié
191,881412	201,535823	8217,26586	7711,71561	0,023351	0,02613372	vérifié
242,824854	245,927386	9149,20049	8532,52909	0,02654055	0,02882233	vérifié
293,626528	286,629675	10005,3227	9302,27944	0,02934703	0,03081284	vérifié
339,945574	320,094738	10833,7541	10064,5499	0,03137837	0,03180418	vérifié
376,921265	342,090257	11610,8925	10790,8553	0,03246273	0,03170187	vérifié
398,910212	348,007607	12318,2023	11464,3365	0,0323838	0,03035567	vérifié
391,481901	326,99804	12954,7976	12087,4501	0,03021907	0,02705269	vérifié
333,878151	265,43313	13451,7995	12589,2837	0,02482033	0,02108405	vérifié
183,486022	145,385099	15173,2993	14232,0848	0,01209269	0,01021531	vérifié

IV.5.8 . Vérification de l'effort normal réduit :

Dans le but d'éviter ou limiter le risque de rupture fragile (écrasement de la section du béton) sous les sollicitations d'ensemble dues au séisme. Le **RPA** (7.4.3.1) exige de vérifier l'effort normal de compression, le calcul est limité par la condition suivante :

$$v = \frac{Nd}{B * f_{c28}} \le 0.3$$

N_d: l'effort normal maximal

F_{c28}: Résistance caractéristique à la compression

B : est l'aire de la section transversale du poteau considère.

Tableau IV.9: Vérification d'effort normal réduit des poteaux.

Niveaux	B (m ²)	N (KN)	V	Observation
RDC (50x50)	0.25	2227,8282	0.36	non vérifier
Etage 1(50x50)	0.25	2005,2194	0.32	non vérifier
Etage2 (50x50)	0.25	1832,522	0.29	vérifier
Etage3 (50x50)	0.25	1657,2704	0.27	vérifier
Etage4 (50x50)	0.25	1480,1194	0.24	vérifier
Etage5 (45x45)	0.2025	1303,8637	0.26	vérifier
Etage6 (45x45)	0.2025	1132,9618	0.22	vérifier
Etage7 (45x45)	0.2025	963,2965	0.19	vérifier
Etage8 (45x45)	0.2025	795,2799	0.16	vérifier
Etage9 (40x40)	0.160	630,2396	0.16	vérifier

Etage10 (40x40)	0.160	471,5286	0.12	vérifier
Etage11 (40x40)	0.160	314,7898	0.08	vérifier
Etage12 (40x40)	0.160	159,7754	0.04	Vérifier

RDC: Pour le poteau de section (50×50) la vérification de l'effort réduit est non vérifiée don on augmente la section de poteau. Ce dernier sera à une section de (60×60) .

$$v = \frac{2497,7058*10^{3}}{(600*600)*25} = 0,28 \le 0,3 \qquad \text{cv}$$

Etage 1&2: Pour le poteau de section (50×50) la vérification de l'effort réduit est non vérifiée don on augmente la section de poteau. Ce dernier sera à une section de (55x 55).

Etage 11&12: Pour le poteau de section (40×40) la vérification de l'effort réduit est vérifiée don on diminue la section de poteau. Ce dernier sera à une section de (35x 35).

IV.6. Conclusion:

La satisfaction de toutes les exigences de l'étude dynamique n'est pas une chose aisée pour tout type de structures, comme dans notre cas, les contraintes architecturales peuvent entravées certaines étapes, principalement la disposition des voiles adéquate.

Après plusieurs essais sur la disposition des voiles de contreventement et sur l'augmentation des dimensions des éléments structuraux, et en équilibrant entre le critère de résistance et le critère économique, nous avons pu satisfaire toutes les conditions exigées par le RPA99/2003, ce qui nous permet de garder notre modèle et de passer au calcul des éléments structuraux.

Les dimensions définitives des éléments structuraux sont montrées dans le tableau suivant :

Tableau IV.11: Dimensions finales des éléments structuraux

Niveaux	RDC	Etage 1 et 2	Etage 3 et 4	Etage 5 et 6 et7 et 8	Etage 9 et 10	Etage 11 et 12
Pot (cm2)	60x60	55x55	50x50	45x45	40x40	35x35
Voiles (cm				20		

P.P (cm2)	35x45
P.S (cm2)	35x40

étude sismique

CHAPITER V

ETUDE DES
ELEMENTS
STRUCTURAUX

V.1.Introduction:

Dans ce chapitre nous allons présenter les dimensions retenues et le ferraillage des éléments structuraux pour le bloc en R+12.Les différentes sollicitations qui seront utilisées pour le ferraillage sont tirées de l'analyse sismique de la structure réalisée par logiciel ETABS V20.

V.2. Étude des poteaux :

Les poteaux sont calculés en flexion composée sous l'action des sollicitations les plus défavorables (effort normal (N) et moment fléchissant (M)) résultants des combinaisons d'action données par le RPA99/2003 comme suit :

- 1) 1.35G+1.5QELU.
- 2) G+QELS.

3) Accidentel
$$\begin{cases} G+Q+E\\ G+Q-E\\ 0.8G+E\\ 0.8G-E \end{cases}$$

Le ferraillage adopté sera le maximum donné par les sollicitations suivantes :

 $N_{max} \Longrightarrow M_{correspondant} \Longrightarrow A_1$

$$M_{\text{max}} \Rightarrow N_{\text{correspondant}} \Rightarrow A_2 \Rightarrow A = \max(A_1; A_2; A_3)$$

 $N_{min} \Rightarrow M_{correspondant} \Rightarrow A_3$

V.2.1. Les recommandations du RPA 99/2003 :

- a) Coffrage: RPA 7.4.1 [1]: Les dimensions de la section transversales des poteaux doivent satisfaire les conditions suivantes:
- Min (b1; h1) \geq 30 cm en zone III.
- Min (b1; h1) \geq he /20.
- $1/4 \le b1/h1 \le 4$.

b) Les armatures longitudinales : RPA.Article.7.4.2.1. [1]

D'après le RPA99 version 2003, pour une zone sismique III, les armatures longitudinales doivent être à haute adhérence, droites et sans crochet

➤ Leur pourcentage est limité par :

• 0.9% < As B < 4% Zone courante (Z.C)

• 0.9% < As B < 6% Zone de recouvrement (Z.R)

As: La section d'acier.

B: Section du béton [cm²].

- ➤ Le diamètre minimal est de 12mm.
- ➤ La longueur minimale de 50Ø en zone de recouvrement.
- ➤ La distance entre les barres verticales dans une face du poteau ne doit pas dépasser 20cm.
- ➤ Les jonctions par recouvrement doivent être faites si possible, à l'extérieur des zones nodales.

La zone nodale est définie par l'et h'.

1'=2h

h'= (max he /6; b1; h1; 60cm)

he : la hauteur de l'étage.

(h1; b1): Dimensions de la section transversale du poteau.

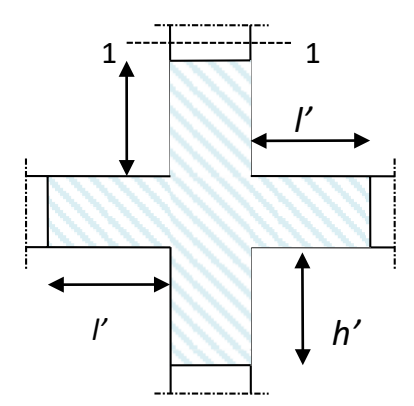


Figure.V.1. La zone nodale

Le tableau suivant résume le ferraillage minimal et maximal des poteaux selon le RPA :

Tableau.V.1 : Armatures longitudinales minimales et maximales selon le RPA dans les poteaux

Niveau	Section du	$A_{minRPA}(cm^2)$	$A_{maxRPA}(cm^2)$	
	poteau		ZONE	ZONE DE
			COURANTE	RECOUVRENT
RDC	60× 60	32.4	144	216
1ere 2éme	55× 55	27.2	121	181.5
étage				
3éme et 4éme	50×50	22.5	100	150
étage				
5éme et 6éme	45× 45	18.2	81	121.5
et 7éme et				
8éme étage				
9éme et 10éme	40×40	14.4	64	96
étage				
11éme et	30×30	11.2	49	73.5
12éme étage				

c) Les armatures transversales : RPA article.7.4.2.2 [1].

Les armatures transversales des poteaux sont calculées à l'aide de la formule suivante :

$$\frac{A}{t} = \frac{\rho_a \times V^{max}}{h_1 \times f_e} \dots RPA \text{ article.7.4.2.2.}$$

Avec:

 V^{max} : est l'effort tranchant de calcul.

 h_1 : hauteur totale de la section brute.

 f_e : Contrainte limite élastique de l'acier d'armature transversale.

 ρ_a : est un coefficient correcteur qui tient compte du mode fragile de la rupture par effort tranchant, il est pris égal à 2,50 si l'élancement géométrique λg dans la direction considérée est supérieur ou égal à 5 et à 3,75 dans le cas contraire.

t : espacement entre les armatures transversales telle que :

ightharpoonupZone nodale : t ≤ 10 cm. en zone III.

►Zone courante : $t \le Min (b1/2; h1/2; 10 \Phi 1)$ en zone III

Où Φ 1 est le diamètre minimal des armatures longitudinales du poteau La quantité d'armatures transversales minimales :

Si : $\lambda g \ge 5$: Amin = 0.3% (t×b1)

Si : $\lambda g \le 3 : Amin = 0.8\% (t \times b1)$

Si : $3 < \lambda g < 5$: interpoler entre les valeurs limites précédentes.

λg: est l'élancement géométrique du poteau:

$$\lambda g = (\frac{If}{a} \text{ ou } \frac{If}{b})$$

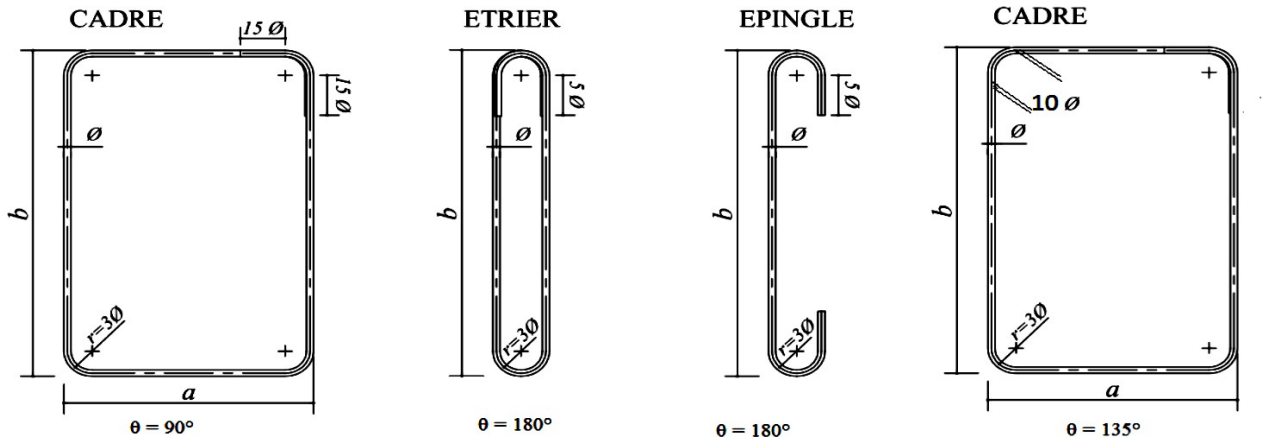


Figure V.2. Ancrage des armatures transversales

Avec **a** et **b**, dimensions de la section droite du poteau dans la direction de déformation considérée, et **lf** longueur de flambement du poteau.

Les cadres et les étriers doivent être fermés par des crochets à 135° ayant une longueur droite de 10 Φt minimum

V.2.2. Sollicitation de calcul:

Les sollicitations dans les poteaux sont extraites du logiciel ETABS qui a été utilisé dans la modélisation au chapitre précédent Les résultats ainsi obtenus sont résumés dans le tableau suivant :

	EL	U	G+0	Q+E	0.8G +E		
Niveau	(N _{max} _	$\rightarrow M_{corr}$	(M _{max}	$\rightarrow^{N_{corr}}$	$(N_{\min} \longrightarrow M_{corr})$		
	N(KN)	M(KN.m)	M(KN.m)	N(KN)	N(KN)	M(KN.m)	
RDC	-2515,86	-14,9076	124,62	254,31	633,52	31,78	
1étage2ème	-2348,53	-20,77	-182,97	-1846,54	551,95	78,87	
3èmeet 4èmeétage	-1919,02	-12,08	187,92	100,79	259,10	113,11	
5ème et 6èmeet 7ème	-1511,59	-12,67	159,45	86,32	30,3433	108	
et 8ème étage							
9èmeet10èmeétage	-746,75	17,59	107,50	85,95	4,4523	74,87	
11èmeet 12èmeétage	-378,68	17,261	73,28	20,64	11,16	45,50	

Tableau.V.2: Sollicitations dans les poteaux.

Exemple de calcul :

On calcule le poteau de section (60×60) et le reste des résultats de ferraillage seront donnés dans un tableau récapitulatif.

$$b = 60 \text{ cm}$$
; $h = 60 \text{ cm}$; $d = 57 \text{ cm}$; $d'=3 \text{ cm}$

V.2.3. Armatures longitudinales

✓ ELU

$$N_{max}$$
= -2515.86 KN $\rightarrow M_{corr}$ = -14. 90KN.m

Nu >0 : donc le poteau est soumis à un effort de compression

Calcul de l'excentricité :

L'excentricité « e » est calculée comme suit :

$$e_0 = \frac{MU}{NU} = \frac{-14,90}{-2515,86} = 0.0059 \text{ m} = 0,59 \text{ cm}$$

 $e_G = 0.0059 \text{ m} < \frac{h}{2} - d' = \frac{0.6}{2} - 0.03 = 0.27 \text{ m} \rightarrow \text{Le centre de pression est à l'intérieur de la section.}$

On doit vérifier la condition suivante :

$$(0.337h - 0.81d') \times b \times h \times f_{bu} \ge N_u \times (d-d') - M_f$$

Moment fictif (M_f):

$$M_f = M_u + N_u \left(d - \frac{h}{2}\right) \Rightarrow M_f = 14.90 + 2515.86 \times (0.57 - \frac{0.6}{2})$$

$$M_f = 683.3 \text{ KN.m}$$

$$A = (0.337h - 0.81d') \times b \times h \times f_{bu}$$

$$A = (0.337h - 0.81 \times 0.03) \times 0.6 \times 0.6 \times 14.16 \times 10^{3} = 906.83 \text{ KN.m}$$

$$B = N_u \times (d-d') - M_f$$

$$B = 2515.86 \times (0.6-0.03) - 683.3 = 750.74 \text{ KN.m}$$

Alors : $A \ge B \Rightarrow$ section partiellement comprimée.

N est un effort de compression et le centre de pression est à l'intérieure de la section du béton, donc la section est partiellement comprimée (SPC) et le calcul sera fait par la flexion simple

Alors:
$$N_u = 2515.86 \text{ KN}$$
; $M_f = 683.3 \text{ KN.m}$

$$\mu_{ua} = \frac{M_f}{f_{bu}.b.d^2} \Longrightarrow \mu_{ua} = \frac{683.3 \times 10^6}{14.16 \times 600 \times 570^2} = 0.247$$
 tel que f_{bu}= 14.2 MPa

 μ_{ua} = 0.247< 0.493 \Rightarrow section partiellement comprimée

$$0.247 < \mu_{lim} = 0.392 {\Rightarrow} \mu_{ua} < \mu_{l}$$

Donc: pivot A les armatures comprimées ne sont pas nécessaires (A' = 0).

$$\alpha = 1.25 (1 - \sqrt{1 - 2u})$$

$$Z = d (1 - 0.4 \alpha)$$

$$\mu \,=\, 0.247 \quad \Longrightarrow \quad \left\{ \begin{array}{l} \alpha = \, 0.36 \\ Z = \, 487.9 \; mm \end{array} \right. \label{eq:mu_energy}$$

$$A_{calcul}\!\!=\!\frac{M}{\overline{\sigma}_{s} \cdot Z} \qquad \qquad / \qquad \overline{\sigma}_{s} = \frac{fe}{\delta s} = 348 \; MPa \label{eq:acalcul}$$

$$A_{calcul} = \frac{683.3 \times 10^6}{348 \times 487.9} = 4024.4 \text{ mm}^2$$

A=A_{st} -
$$\frac{N}{\bar{\sigma}_s}$$
 = 4024.4 - $\frac{2515.86 \times 10^3}{348}$ = -32.05 cm²

\checkmark G+Q+E:

$$N_{max} = 254,31 \text{KN} \rightarrow M_{corr} = 124,62 \text{KN.m}$$

Nu >0 : donc le poteau est soumis à un effort de compression

Calcul de l'excentricité :

L'excentricité « e » est calculée comme suit :

$$e_0 = \frac{MU}{NU} = \frac{124,62}{254.31} = 0,49 \text{ cm}$$

 $e_G = 0.49 \text{ m} > \frac{h}{2} - d' = \frac{0.60}{2} - 0.03 = 0.27 \text{ m} \rightarrow \text{Le centre de pression est en dehors de la section du béton.}$

On doit vérifier la condition suivante :

$$(0.337 - 0.81d') \times b \times h \times f_{bu} \ge N_u \times (d-d') - M_f$$

Moment fictif (M_f):

$$M_f = M_u + N_u (d - \frac{h}{2}) \Rightarrow M_f = 124.62 + 254.31 \times (0.57 - \frac{0.6}{2})$$

$$M_f = 193.28 \text{ KN.m}$$

Alors: $N_u = 254.31 \text{ KN}$; $M_f = 193.28 \text{ KN.m}$

$$\mu_{ua} = \frac{Mf}{fbu.b.d^2} \Longrightarrow \mu_{ua} = \frac{193.28 \times 10^6}{14.16 \times 600 \times 570^2} = 0.070 \qquad \qquad \text{telle que} \qquad \quad f_{bu} = 14.2 \text{ MPa}$$

 μ_{ua} = 0.070< 0.493 \Rightarrow section partiellement comprimée

$$0.247 < \mu_{lim} = 0.392 \Rightarrow \mu_{ua} < \mu_{l}$$

Donc: pivot A les armatures comprimées ne sont pas nécessaires (A' = 0).

$$\alpha = 1.25 (1 - \sqrt{1 - 2u})$$

$$Z = d (1 - 0.4 \alpha)$$

$$\mu \,=\, 0.07 \quad \Longrightarrow \quad \left\{ \begin{array}{c} \alpha = \, 0.09 \\ Z = 549.48 \; mm \end{array} \right. \label{eq:mu_eps_prob}$$

$$A_{calcul} = \frac{M}{\bar{\sigma}_{s} \, . \, Z} \hspace{1cm} ; \hspace{0.5cm} \bar{\sigma}_{s} = \frac{fe}{\delta s} = 348 \; MPa \label{eq:acalcul}$$

$$A_{calcul} = \frac{193.28 \times 10^6}{348 \times 549 \ 48} = 1010.77 \ mm^2$$

Acalcul=10.1 cm²

$$A=A_{st}-\frac{N}{\bar{\sigma}_s}=1010.77-\frac{254.31\times10^3}{348}=2.80~cm^2$$

$$N_{\text{max}}$$
= 633, 52KN \rightarrow M_{corr} = 31.78 Kn.m

Nu >0 : donc le poteau est soumis à un effort de compression

• Calcul de l'excentricité :

L'excentricité « e » est calculée comme suit :

$$e_0 = \frac{MU}{NU} = \frac{31.78}{633.52} = 0.05 \text{ m}$$

 $e_G = 0.05 \text{ m} < \frac{h}{2} - d' = \frac{0.57}{2} - 0.03 = 0,27 \text{ m} \rightarrow \text{Le centre de pression est à l'intérieur de la section.}$

On doit vérifier la condition suivante :

$$(0.337h -0.81d') \times b \times h \times f_{bu} \ge N_u \times (d-d') - M_f$$

Moment fictif (M_f):

$$M_f = M_u + N_u (d - \frac{h}{2}) \Rightarrow M_f = 31.78 + 633.52 \times (0.57 - \frac{0.6}{2})$$

 $M_f = 202.83 \text{ KN.m}$

$$A = (0.337 \text{ h} - 0.81 \text{d}') \times b \times h \times f_{bu}$$

$$A = (0.337h - 0.81 \times 0.03) \times 0.6 \times 0.6 \times 14.16 \times 10^3 = 906.86 \text{ KN.m}$$

$$B = N_u \times (d-d') - M_f$$

$$B = 633.52 \times (0.6-0.03) - 202.83 = 158.27 \text{ KN.m}$$

Alors : $A \ge B \Rightarrow$ section partiellement comprimée.

N est un effort de compression et le centre de pression est à l'intérieure de la section du béton, donc la section est partiellement comprimée (SPC) et le calcul sera fait par la flexion simple.

Alors: $N_u = 633.52 \text{ KN}$; $M_f = 202.83 \text{ KN.m}$

$$\mu_{ua} = \frac{Mf}{fbu,b,d^2} \Longrightarrow \mu_{ua} = \frac{202.83 \times 10^6}{14.16 \times 600 \times 570^2} = 0.073$$
 telle que $f_{bu} = 14.2 \text{ MPa}$

 μ_{ua} = 0.073< 0.493 \Rightarrow section partiellement comprimée

$$0.073 < \mu_{lim} = 0.392$$

 $\mu_{ua} < \mu_l \;\; Donc$: pivot A les armatures comprimées ne sont pas nécessaires (A' = 0).

$$\alpha = 1.25 (1 - \sqrt{1 - 2u})$$

$$Z = d (1 - 0.4 \alpha)$$

$$\mu \,=\, 0.073 \quad \Longrightarrow \quad \left\{ \begin{array}{c} \alpha = \, 0.094 \\ Z = 548.56 \; mm \end{array} \right. \label{eq:mu_eps_point}$$

$$A_{calcul}\!\!=\!\frac{M}{\overline{\sigma}_{s}\,.\,Z} \qquad \qquad ; \qquad \overline{\sigma}_{s}=\frac{fe}{\delta s}=348\;MPa \label{eq:acalcul}$$

$$A_{calcul} = \frac{202.83 \times 10^6}{348 \times 548.56} = 1062.49 \text{ mm}^2$$

Acalcul=10.62 cm²

$$A{=}A_{st}\text{--}\frac{\frac{N}{\bar{\sigma}_s}}{=1062.49}\text{--}\frac{633.52{\times}10^3}{348}\text{=-}7.57~cm^2$$

La section non ferraillée résiste aux efforts appliqués donc on applique un ferraillage minimal Amin (BAEL)= 9.6 cm²

Tableau.V.3: Sections des armatures longitudinales

	ELU (cm ²)	G+Q±E	0.8G±E	Amin	Amin	Amax
		(cm ²)	(cm ²)	BAEL	RPA (cm ²)	(cm ²)
				(cm ²)		
60x60	-32.94	2.82	-7.57	9.6	32.4	32.4
55x55	-28.12	-9.98	-3.36	8.8	27.22	27.22
50x50	-23.18	11.03	3.6	8	22.50	22.50
45x45	-18.41	10.52	7.36	7.2	18.22	18.22
40x40	-8.93	7.93	6.05	6.4	14.40	14.4
35x35	-3.87	6.88	4.13	5.6	11.02	11.02

Après le calcul on trouve que la section d'armature du poteau soumis à la traction est inférieure à celle soumis à la flexion composée.

Choix des armatures:

Niveau	Section du	Amax	Aadp	
	poteau (cm²)	(cm ²)	(cm ²)	Choix des barres
RDC	60x60	32.4	33.19	8HA20+4HA16
1étage2ème	55x55	27.22	28,65	4HA20+8HA16
3èmeet 4èmeétage	50x50	22.50	28.65	4HA20+8HA16
5ème et 6èmeet	45x45	18.22	20.60	4HA14+8HA16
7ème et 8ème				
étage				
9èmeet10èmeétage	40x40	14.4	15.21	4HA14+8HA12
11èmeet	35x35	11.02	13.57	12HA12
12èmeétage				

Tableau.V.4 : Sections des armatures longitudinales adoptées

V.2.4 Armatures transversales : (RPA article.7.4.2. 2) [4]

> Section d'armature :

Les armatures transversales des poteaux sont calculées à l'aide de la formule :

$$\frac{A_{t}}{t} \ge \frac{\rho_{a} \times V^{max}}{h_{1} \times f_{e}}$$

On calcul les armatures transversales du poteau de section (60×60) cm²

$$\emptyset_{1 \text{ min}} = 1.2 \text{ cm}$$
; $L_f = 0.7 L_0 = 0.7 \times 3.40$

$$L_f = 2,38 \text{ m}$$

 V^{max} : Effort tranchant de calcul V_{max} ,

 h_1 : Hauteur totale de la section brute,

 f_e :Contrainte limite élastique de l'acier d'armature transversale,

t: L'espacement des armatures transversales.

- Calcul de l'espacement :

Selon **RPA99V2003** l'espacement est pris égal à [1] :

$$\begin{cases} \text{St} \leq \min\left(10\emptyset L\,;\, 15\text{ cm}\right) = \min\left(\,10\times1.2\,;\, 15\text{ cm}\right) = 12\text{cm} & \text{dans la zone nodal} \\ \text{St} \leq 15\emptyset L = 15\times1.2 = 18\text{ cm} & \text{dans la zone courant} \end{cases}$$

$$Donc \left\{ \begin{array}{ll} St = 10cm & dans \ la \ zone \ nodal \\ St = 15 \ cm & dans \ la \ zone \ courant \end{array} \right.$$

 ρ_a : Est un coefficient correcteur qui tient compte du mode fragile de la rupture par effort tranchant, il est pris égal à :

$$\begin{cases} \rho_a = 2.5 \text{ si l'élancement géométrique} & \lambda g \geq 5 \\ \rho_a = 3.75 \text{ si l'élancement géométrique} & \lambda g \leq 5 \end{cases}$$

Avec:
$$\lambda_g = \max \left[\frac{l_f}{a}, \frac{l_f}{b} \right]$$

$$\Rightarrow \lambda_g = \frac{2.38}{0.60} = 3.96 \Rightarrow \rho = 3.75$$

 f_e : Contrainte limite élastique de l'acier d'armature transversale.

$$\begin{aligned} \frac{\mathrm{A_t}}{\mathrm{St}} &= \frac{\rho_a \times V^{max}}{h_1 \times f_e} \Rightarrow \mathrm{A_t} = \frac{\rho_a \times V^{max}}{h_1 \times f_e} \times \mathrm{St} = \frac{3.75 \times 52.96 \times 10^3}{600 \times 400} \times 100 = 82,75 \ \mathrm{mm}^2 \\ \Rightarrow \mathrm{A_t} &= 0.82 \ \mathrm{cm}^2 \end{aligned}$$

Calcul de la section de ferraillage transversale minimale At min

$$\lambda_{\rm g} \geq 5 \rightarrow A_{
m tmin} = 0.3\% (t \times b_1)$$

$$\lambda_g \le 3 \rightarrow A_{tmin} = 0.8\%(t \times b_1)$$

 $3 < \lambda_g < 5$ Interpolation entre les valeurs limites précédentes

Tableau V.5. Les Armatures transversale dans les poteaux

Niveau	RDC	Etage1.2	3.4 -ème Étages	6.5.7.8 -ème Étages	9.10 -ème Étages	11.12 -ème Étages
Section (cm ²)	60×60	55×55	50×50	45×45	40×40	35×35
Ølmax(cm)	2	2	2	1.6	1.4	1.2
Ølmin(cm)	1.6	1.6	1.6	1.4	1.2	1.2
Lf(cm)	2.38	2.142	2.142	2.142	2.142	2.142
λ_g	3.96	3.89	4.2	4.76	5.35	6.12
Pa	3.75	3.75	3.75	3.75	2.5	2.5

Vu(kN)	52.96	118.21	125.24	103.72	71.83	50.43
Lr(cm)	100	100	100	80	70	60
St	10	10	10	10	10	10
Zone nodale(cm)						
St	15	15	15	15	15	15
zone courante(cm)						
A ^t cal(cm ²)	0.82	2.01	2.34	2.16	1.68	1.35
A ^t min(cm ²) courante	3.00	2.75	2.5	2.25	1.20	1.05
A ^t adopte(cm ²)	4.71	3.02	3.02	3.02	2.01	2.01
Number des cadres	6HA10	6HA8	6HA8	6НА8	6НА8	6HA8

V.2.5. Vérification de stabilité de forme : (CBA 93Article B.8.4.1) [1

Les éléments soumis à la flexion composée, doivent être justifiés vis-à-vis du flambement

$$N_{u} \leq \overline{N} = \alpha \left[\frac{B_{r} \times f_{c28}}{0.9\gamma_{b}} + \frac{A_{s} \times f_{e}}{\gamma_{s}} \right]$$

$$L_f = 0.7L_0 = 2.495 \text{ m}$$

 B_r : est la section réduite du poteau obtenue en déduisant de sa section réelle 1 cm d'épaisseur sur tout son périphérique.

$$B_r = (h-2) (b-2) \quad ; \qquad \gamma_b = 1.50 \qquad ; \qquad \gamma_s = 1.15$$

$$\begin{cases} \alpha = \frac{0.85}{1 + 0.2(\frac{\lambda}{35})^2} & \text{Pour} \quad \lambda \le 50 \\ \alpha = 0.60 \times \frac{(50)^2}{\lambda} & \text{Pour} \quad 5 < \lambda \le 70 \end{cases}$$

$$\lambda = \sqrt{12} \times \frac{L_f}{h}$$

Tableau V.6. Justification de l'effort normal ultime et l'effort normal maximum

Niveau	Section (m ²)	λ	α	A _s (m ²)	B _r (m ²)	N _{max} (KN)	N _u (KN)	Obs
RDC	60×60	16.46	0.813	33.19	0.3364	2515,86	6003.24	Vérifiée

Etage1.2	55x55	13.47	0.825	30.9	0.2809	2348,53	5178.22	Vérifiée
3.4.éme étages	50x50	14.82	0.820	28.65	0.2304	1919,02	4315.43	Vérifiée
5.6.7.8éme étages	45×45	16.46	0.813	20.60	0.1849	1511,59	3366.30	Vérifiée
9.10éme étages	40×40	18.52	0.804	15.21	0.1444	746,75	2575.30	Vérifiée
11.12éme étages	35×35	21.75	0.789	13.57	0.1089	378,68	1963.53	Vérifiée

On voit bien que N_{max} < Nu pour tous les niveaux de cette structure, donc il n'y pas de risque de flambement.

V.2.6. Vérification aux sollicitations tangentielles [BAEL91][2]

La contrainte de cisaillement doit être inférieure ou égale à la valeur limite suivante BAEL91(Article A. 5. 1)[2]

$$\tau_u = \frac{V_u}{b \times d} \leq \overline{\tau}_u$$

 τ_u : Contrainte de cisaillement,

 V_u : L'effort tranchant pour l'état limite ultime,

b: Largeur de la section du poteau,

d: Hauteur utile de la section du poteau.

- Selon BAEL99(Article A. 5. 1)[2]: Fissuration peu préjudiciable

$$\overline{\tau_u} = min(\frac{0.2 \; f_{c28}}{\gamma_b} \; ; \; 5\text{MPa} \,) \; \Longrightarrow \overline{\tau_u} = 3.333 \; \text{MPa}$$

- Selon RPA99 v 2003 [4]:

$$\overline{\tau}_{u} = \rho_{d} \times f_{c28} = 1.875 \text{ MPa}$$

$$\rho_d = \left\{ \begin{array}{l} 0.075 \ \rightarrow \text{Si} \ \lambda \geq 5 \\ 0.04 \ \rightarrow \text{Si} \ \lambda < 5 \end{array} \right. \\ \lambda \text{: L'élancement du poteau}$$

Les résultats de calculs effectués sont représentés dans le tableau suivant :

Niveau	Section (cm ²)	l _f (cm)	$\lambda_{ m g}$	Pd	d (cm)	V _u (KN)	τ _{bu} (MPa)	τ _{bu} (MPa)	Obs
RDC	3600	2.38	3.96	0.04	57	52.96	0.154	1	Vérifiée
Etage1.2	3025	2.142	3.89	0.04	52	118.21	0.413	1	Vérifiée
3.4.éme étages	2500	2.142	4.2	0.04	47	125.24	0.532	1	Vérifiée
5.6.7.8éme étages	2025	2.142	4.76	0.04	42	103.72	0.548	1	Vérifiée
9.10éme étages	1600	2.142	5.35	0.075	37	71.83	0.485	1.875	Vérifiée
11.12éme étages	1225	2.142	6.12	0.075	32	50.43	0.450	1.875	Vérifiée

Tableau V.7. Vérification des contraintes tangentielles dans les poteaux

Du tableau ci-dessus on remarque que la condition exigée par le RPA99/2003 sur les

V.2.7 Dispositions constructives

La distance entre les barres verticales dans une face du poteau ne doit dépasser 25cm.

• Longueur des crochets :

$$L_r = 10 Ø_l = 10 x 1.2 = 12 cm$$

Sollicitations tangentielles est vérifiée pour tous les étages.

• Longueur de recouvrement :

Selon RPA (Art 7.4.2.1) [4]. La longueur minimale de recouvrement est :

$$L_r = 50\emptyset_{l \text{ max}} En \text{ zone III}$$

$$\emptyset_{1 \text{ max}} = 20 \text{ mm} = > 50 \text{x} = 20 \text{ mm}$$

$$\emptyset_{1 \text{ max}} = 16 \text{ mm} = > 50 \text{x} = 20 \text{ mm}$$

$$\emptyset_{1 \text{ max}} = 14 \text{ mm} = > 50 \text{x} = 20 \text{ mm}$$

$$\emptyset_{1 \text{ max}} = 12 \text{ mm} = 50 \text{x} = 20 \text{ mm}$$

V.2.8 Détermination de la zone nodale :

La détermination de la zone nodale est nécessaire car c'est à ce niveau qu'on disposera les armatures transversales de façon à avoir des espacements réduits. Ceci se fait car cet endroit est

très exposé au risque du cisaillement. Les jonctions par recouvrement doivent être faites si possible à l'extérieur de ces zones nodales sensibles (selon le RPA99/2003).

h'= max (he/6; b1; h1;60cm)

b, h : Dimensions de la section transversale du poteau

he: la hauteur de l'étage

h: la hauteur de la poutre principale 45cm

Exemple de calcul :

RDC:

L= 2xh = 2x45 = 90 cm

h'= max (56.66; 60; 60; 60cm) = 60 cm

Tableau V.8. Dimensions de la zone nodale

Niveaux		RDC	Etage	Etage	Etage	Etages	Etage
			1 et 2	3et4	5.6.7.8	9et10	11et 12
Sections		60×60	55x55	50×50	45×45	40×40	35×35
L'(cm)	L'(cm) P. P		90	90	90	90	90
	P. S	70	70	70	70	70	70
h'(cm)	h'(cm)		78	60	60	60	60

V.2.9. Schéma de ferraillage :

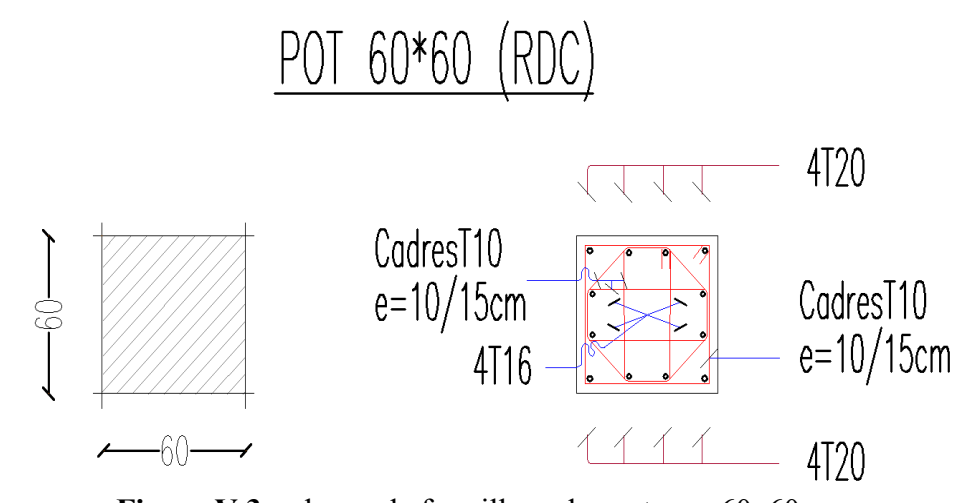


Figure.V.3. schema de ferraillage des poteaux 60x60

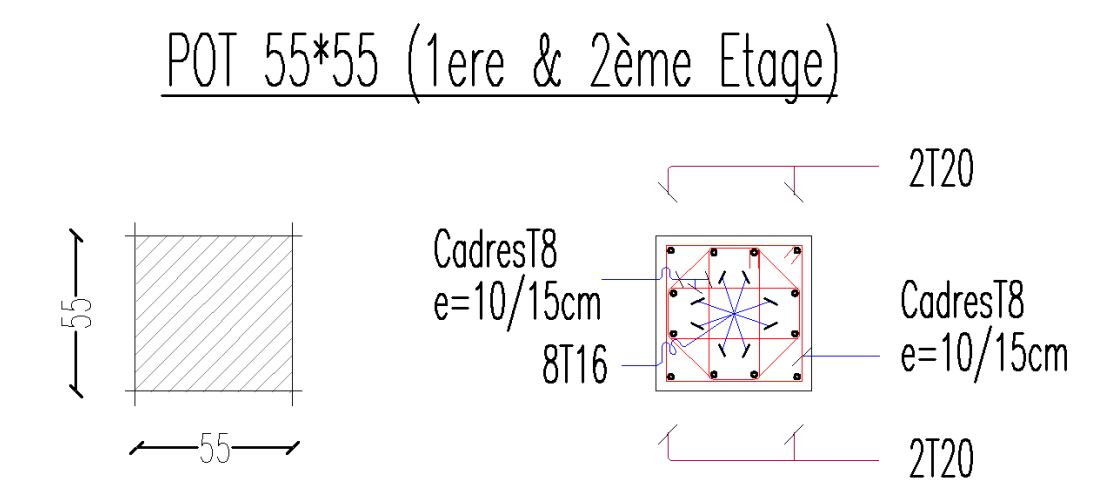


Figure.V.4. schema de ferraillage des poteaux 55x55

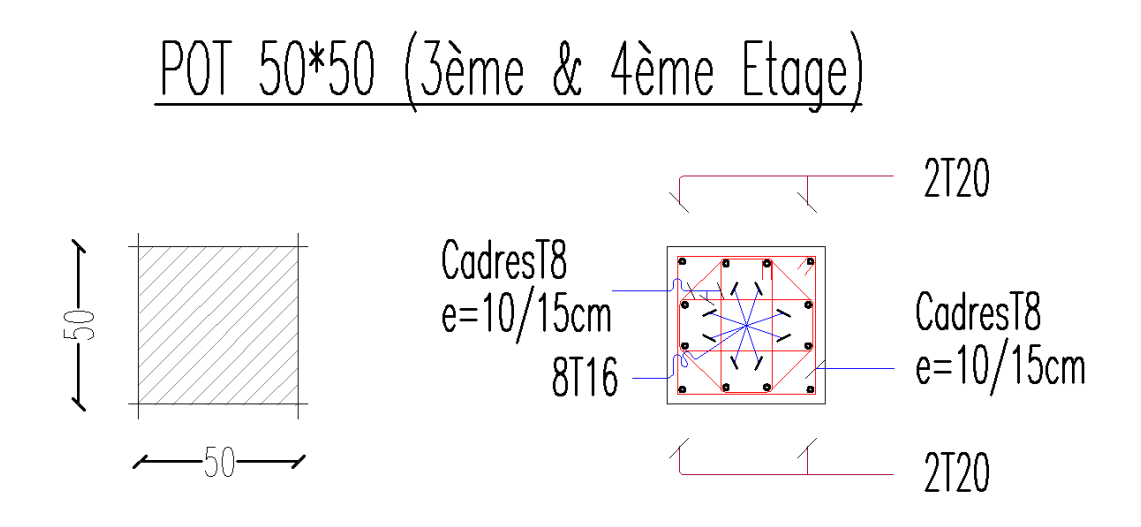


Figure.V.5. Schéma de ferraillage des poteaux 50x50

<u>POT 45*45 (5ème+6ème+7ème+8ème Etage)</u>

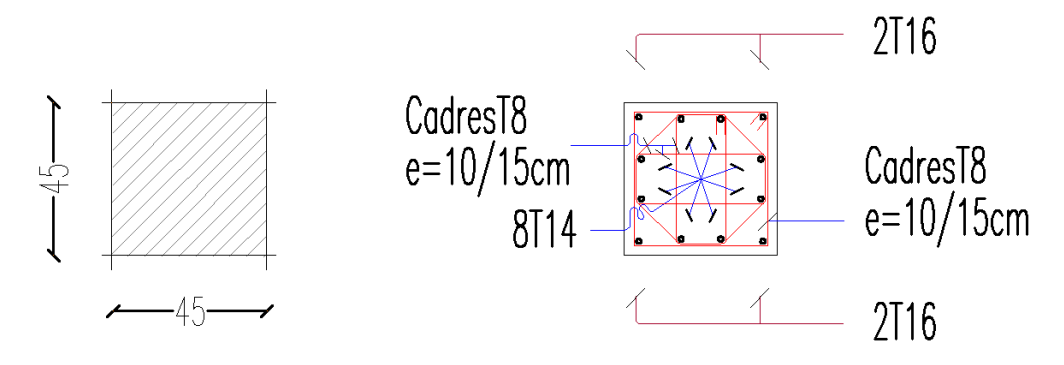


Figure.V.6. Schéma de ferraillage des poteaux45x45

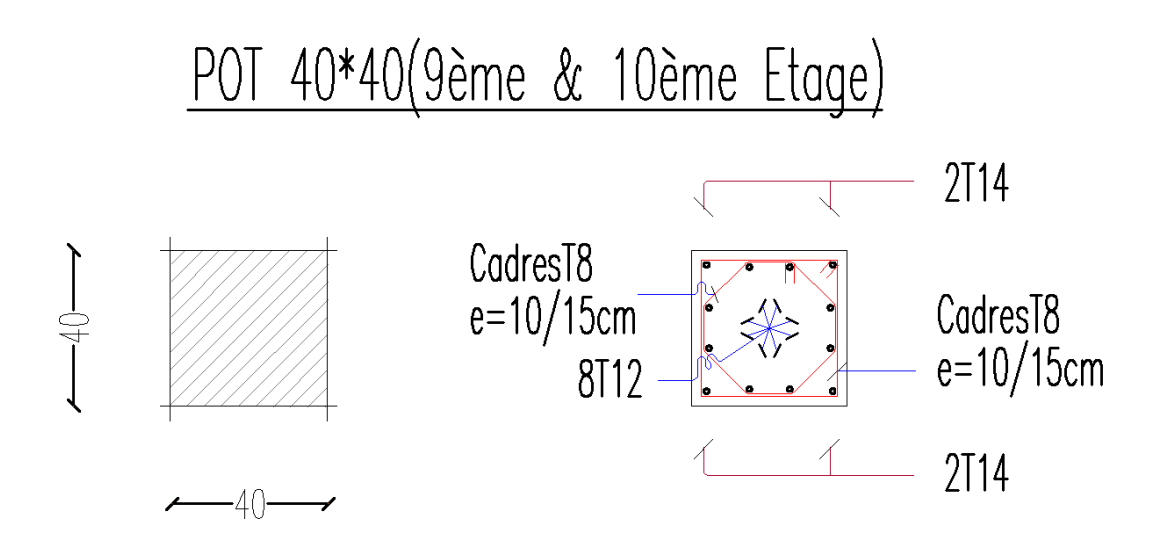


Figure.V.7. Schéma de ferraillage des poteaux40x40

POT 35*35(11ème & 12ème Etage)

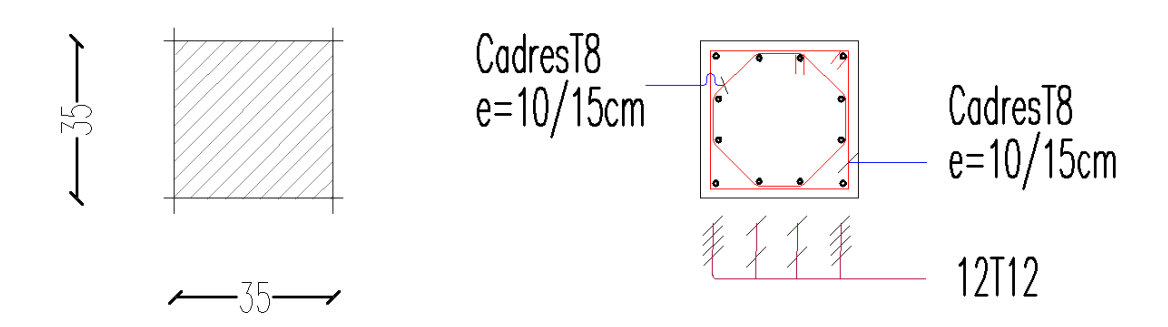


Figure.V.8. Schéma de ferraillage des poteaux35x35

V.3. LES POUTRES

Les poutres sont des éléments structuraux qui transmettent les efforts de plancher vert les poteaux. Elles sont sollicitées à la flexion simple. Le ferraillage est calculé à l'état limité ultime sous l'effet du moment le plus défavorable.

V.3.1. Les combinaisons de calcul :

En fonction du type de sollicitation, nous distinguons les différentes combinaisons suivantes :

- Selon BAEL 91 : (situation durable)
 - ELU: 1.35 G +1.5 Q
 - ELS: G+Q
- Selon le R.P.A 99 : (situation accidentelle)
 - $G + Q \pm E$
 - $0.8 \text{ G} \pm \text{E}$

V.3.2. Recommandations:

• Armatures longitudinales: RPA99/2003 (Art7.5.2.1)

Le pourcentage total minimum des aciers longitudinaux sur toute la longueur de la poutre est de 0.5% de la section du béton en toute section.

Le pourcentage total maximum des aciers longitudinaux est de :

- 4%dela section du béton en zone courante.
- 6% de la section du béton en zone de recouvrement.

La longueur minimale des recouvrements est de 40Φ en zone III.

Les poutres supportent de faibles charges verticales et sollicitées principalement par les forces latérales sismiques doivent avoir des armatures symétriques avec une section entravée au moins égale la moitié de la section sur appui.

• Armatures transversales: RPA99/2003(Art7.5.2.2)[1]:

La quantité d'armatures transversales minimales est donnée par : $0.3\%st \times h$

Avec

St : espacement maximum entre les armatures transversales déterminé comme suit :

$$S_t = \min\left(\frac{h}{4}; 12 \times \emptyset_l\right)$$
 en zone nodale.

$$S_t \ge \frac{h}{4}$$
en dehorsdelazonenodale .

Remarque:

La valeur du diamètre \emptyset_l est le plus petit diamètre utilisé.

Les premières armatures transversales doivent être disposées à 5 campus dune de l'appui ou de l'encastrement

V.3.3 Sollicitations ferraillages des poutres :

✓ Sollicitations des poutres :

Les sollicitations de calcul sont tirées directement du logiciel ETABS.

Tableau.V.9: Les sollicitations de la poutre principale la plus sollicitée.

	ELU(K	N.m)	ELS(K)	N.m)	G+Q+E((KN.m)	0.8G+E((KN.m)
Section	M_t	M_a	M_t	M_a	M_t	M_a	M_t	M_a
30x45	45.92	-90.67	33.65	-66.64	69.93	-115.6	68.42	-95.96

✓ Ferraillage des poutres :

- Armatures longitudinales
 - a) Méthode de calcul des armatures à l'ELU (flexion simple)

Exemple de calcul:

Prenons comme exemple de calcul de ferraillage la poutre principale (35×45) la plus sollicitée

Avec les sollicitations suivantes :
$$\begin{cases} M_a = -115.68KN.m....(ELA) \\ M_t = 69.93KN.m....(ELA) \end{cases}$$

• Armatures en appui :

b = 30 cm; h = 45 cm; d = 40.5 cm;
$$\gamma_b$$
 = 1.5; γ_s = 1.15; f_{bu} = 14.16 MPa

$$\mu_{bu} = \frac{M_a}{f_{bu} \times b \times d^2} = \frac{115.68 \times 10^{-3}}{0.30 \times 0.405^2 \times 18.48} = 0.1272 \implies \mu_{bu} = 0.1272 < 0.186 \implies A' = 0$$

$$\mu_{bu} < \mu_l = 0.392 \rightarrow pivot A$$

$$\alpha = 1.25 \times (1 - \sqrt{1 - (2 \times \mu_{bu})}) \Rightarrow \alpha = 1.25 \times (1 - \sqrt{1 - (2 \times 0.1272)}) = 0.1706$$

$$z = 0.405(1 - 0.4 \times 0.1706) = 0.37m$$

Calcul de A :
$$A_{st} = \frac{M_a}{z \times f_{st}} = \frac{115.68 \times 10^{-3}}{0.37 \times 400} \times 10^4 = 7.81 \text{cm}^2$$

• Armatures en travée :

$$\mu_{bu} = \frac{M_t}{f_{bu} \times b \times d^2} = \frac{69.93 \times 10^{-3}}{0.30 \times 0.405^2 \times 18.48} = 0.076 \implies \mu_{bu} = 0.076 < 0.186 \implies A' = 0$$

$$\mu_{bu} < \mu_l = 0.392 \rightarrow pivot A$$

$$\alpha = 1.25 \times (1 - \sqrt{1 - (2 \times \mu_{bu})}) \implies \alpha = 1.25 \times (1 - \sqrt{1 - (2 \times 0.076)}) = 0.098$$

$$z = 0.405(1 - 0.4 \times 0.098) = 0.38m$$

Calcul de A :
$$A_{st} = \frac{M_a}{z \times f_{st}} = \frac{69.93 \times 10^{-3}}{0.38 \times 400} \times 10^4 = 4.60 \text{ cm}^2$$

$$A_{min} = 0.23 \times b \times d \times \frac{f_{c28}}{f_e} \implies A_{min} = 0.23 \times 0.30 \times 0.405 \times \frac{2.1}{400} = 1.467 \text{cm}^2$$

Les résultats de ferraillages sont récapitulés dans le tableau suivant :

M \mathbf{A}_{\min} Acal Niveau **Pouter** Local A adopté (cm²) (cm²) (KN/m)(cm²) (cm²) 6HA14= 9.24 **Appuis** -115.68 7.81 PP 30x45 6.75 **RDC** Travée 69.93 4.60 3HA14 = 4.62**Appuis** 6HA12 = 6.79-55.13 4.75 30x35 **PS** 5.25 45.99 3HA14= 4.62 3.83 Travée

Tableau V.10. Armatures longitudinales dans les poutres

• Armatures transversales :

Diamètre des armatures transversales :

Soit \emptyset_t le diamètre des armatures transversales telle que

$$\emptyset_t \le \min\left(\emptyset_t; \frac{h}{35}; \frac{b}{10}\right) BAEL91$$

Poutres principales;

$$\emptyset_t \le \min\left(1.2; \frac{45}{35}; \frac{30}{10}\right) cm = (1.2; 1.28; 3) \text{ cm}$$

Poutres secondaires

$$\emptyset_t \le \min\left(1.2; \frac{35}{35}; \frac{30}{10}\right) cm = (1.2; 1; 3) \text{ cm}$$

Donc on prend \emptyset_t = 8mm $\Longrightarrow A_t = 4HA8 = 2.01cm^2$

Calcul de l'espacement des armatures transversales :

Selon le RPA99/VERSION 2003

- **Zone nodale**:
$$S_t \leq \min\left(\frac{h}{4}; 12\Phi_{min}; 30cm\right)$$

Poutres principales : $S_t \le \min(11.25 \text{cm}; 14.4 \text{cm}; 30 \text{cm}) \text{ soit } S_t = 10 \text{ cm}$

Poutres secondaires : $S_t \le \min(8.75 \text{cm}; 14.4 \text{cm}; 30 \text{cm}) \text{ soit } S_t = 10 \text{ cm}$

- **Zone courante** : $S_t \leq \frac{h}{2}$

Poutres principales :
$$S_t \le \frac{h}{2} \Longrightarrow S_t \le \frac{45}{2} = 22.5 \Longrightarrow \text{soit} : S_t = 15cm$$

Poutres secondaires :
$$S_t \le \frac{h}{2} \Longrightarrow S_t \le \frac{35}{2} = 17.5 \Longrightarrow \text{soit} : S_t = 15cm$$

V.3.4 Vérifications nécessaires :

a) Vérifications des armatures transversales :

Poutres principales :

$$A_t^{min} = 0.003 \times S_t \times b = 0.003 \times 15 \times 30 = 1.35 \text{cm}^2$$

Poutres secondaires :

$$A_t^{min} = 0.003 \times S_t \times b = 0.003 \times 15 \times 30 = 1.35 \text{cm}^2$$

 $A_t = 2.01cm^2 > A_{t min} = 1.35cm^2$ Condition vérifiée pour toutes les poutres.

* Vérification a ELU:

Condition de non fragilité

$$\begin{cases} A_{min} = 0.23 \times b \times d \times \frac{f_{t28}}{f_e} = 1.46cm^2 \implies \text{Pouters principales} \\ A_{min} = 0.23 \times b \times d \times \frac{f_{t28}}{f_e} = 1.14cm^2 \implies \text{Pouters secondaires} \end{cases}$$

 $A_{min} < A_{cal}$: donc la condition de non fragilité est vérifiée.

b) Vérifications des contraintes tangentielles

• Vérification de l'effort tranchant :

$$\tau_u \leq \overline{\tau_u}$$

Tel que :
$$\tau_u = \frac{v_u}{h \times d}$$

Fissuration peu nuisible $\Rightarrow \overline{\tau_u} = \min(0.133 \times f_{C28}; 5MPa)$

$$\Rightarrow \overline{\tau_u} = 3.33 \text{MPa}$$

Les résultats sont récapitulés dans le tableau suivant :

Tableau V.11. Vérification de l'effort tranchant.

Poutres	Vu (KN)	$ au_u(MPa)$	$\overline{\tau_u}$ (MPa)	vérification
Principales	20.92	0.172	3.33	vérifiée
Secondaires	54.05	0.57	3.33	vérifiée

D'après les résultats : on déduit qu'il n'y a pas de cisaillement car

$$\tau_u < \overline{\tau_u} = 3.33MPa$$

• Vérification des armatures longitudinales au cisaillement :

En appuis de rive : $A_l > \frac{v_u \times \gamma_s}{f_e}$

En appuis intermédiaire : $A_l > \frac{\gamma_s}{f_e} \times (v_u - \frac{M_a}{0.9 \times d})$

Avec : $\gamma_s = 1$; f_e =400MPa

Les résultats sont résumés dans le tableau suivant :

Tableau V.12. Vérification au cisaillement

Poutres	A _l (cm ²)	V _u ^{max} (kN)	$M_a(kn.m)$	$\frac{v_u \times \gamma_s}{f_e}(cm^2)$	$\frac{\gamma_s}{f_e} \times (\mathbf{v_u} - \frac{\mathbf{M_a}}{0.9 \times \mathbf{d}})(\mathbf{cm}^2)$	Obs
P-P	9.24	20.92	-115.68	0.52	-6.61	Vérifiée
P-S	9.24	54.05	-55.13	1.35	-3.02	Vérifiée

* Vérification a l'ELS :

• Etat limite d'ouvertures des fissures :

Aucune vérification à faire car la fissuration est peu préjudiciable.

• Etat limite de compression du béton :

La fissuration est peu nuisible donc il faut juste vérifier la contrainte de compression du béton.

$$\sigma_{bc} = \frac{M_{ser} \times y}{I} \le \overline{\sigma_b} = 0.6 \times f_{c28} = 15 MPa.$$

Poutre Localisation $M_{ser}(KN.m)$ Y(cm) $I(cm^4)$ $\sigma_{bc}(MPa)$ $\overline{\sigma_{bc}}(MPa)$ Vérification 123831.77 15 C.V **Principales** Appui -66.64 15.26 8.212 C.V 5.29 Travée 33.65 11.56 73488.42 15 -32.96 13.05 69404.25 6.19 15 C.V **Secondaires Appui** 9.97 42033.64 6.03 15 C.V travée 25.44

Tableau V.13 Vérification de l'état limite de compression du béton.

C) Vérification de la flèche :

D'après le CBA93 et BAEL91/99. La vérification de la flèche est inutile si les conditions suivantes sont satisfaites :

1)
$$\frac{h}{l} \ge \frac{1}{16}$$

$$2) \ \frac{h}{l} \ge \frac{M_t}{10 \times M_0}$$

$$3) \ \frac{A}{b_0 \times d} \le \frac{4.2}{f_e}$$

- Poutre principale:

Donc la vérification de la fléché n'est pas nécessaire

- Poutre secondaire :

1)
$$\frac{h}{l} = \frac{45}{500} = 0.07 \ge \frac{1}{16} = 0.0625 \dots \dots \dots \dots CV$$

2)
$$\frac{h}{l} = 0.07 \ge \frac{M_t}{10 \times M_0} = 0.041 \dots \text{CV}$$

3)
$$\frac{A}{b_0 \times d} = \frac{9.24 \times 10^{-4}}{0.30 \times 0.315} = 0.0097 \le \frac{4.2}{f_e} = \frac{4.2}{400} = 0.0105......CV$$

V.3.5. Schéma de ferraillage

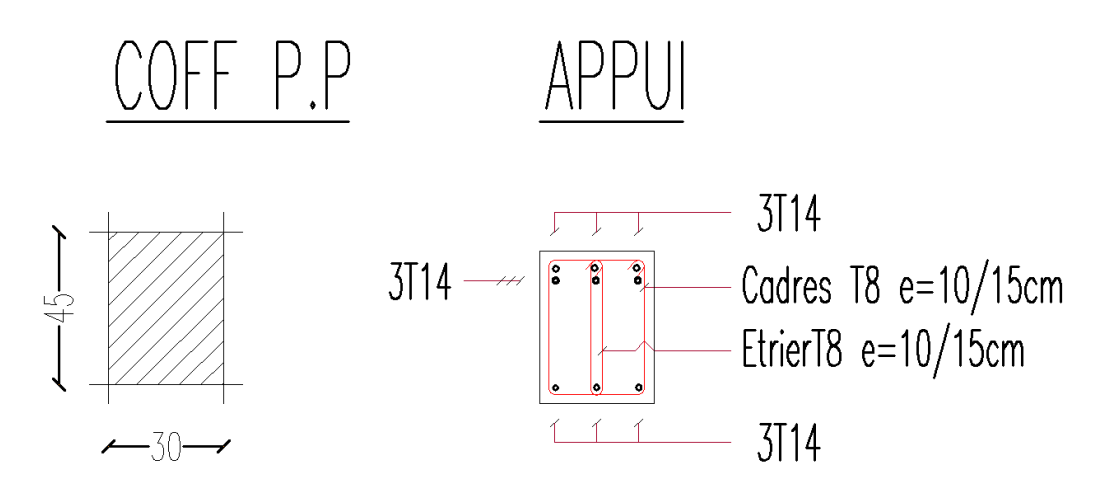


Figure.V.9. Schéma de ferraillage des poter prencipal30x45

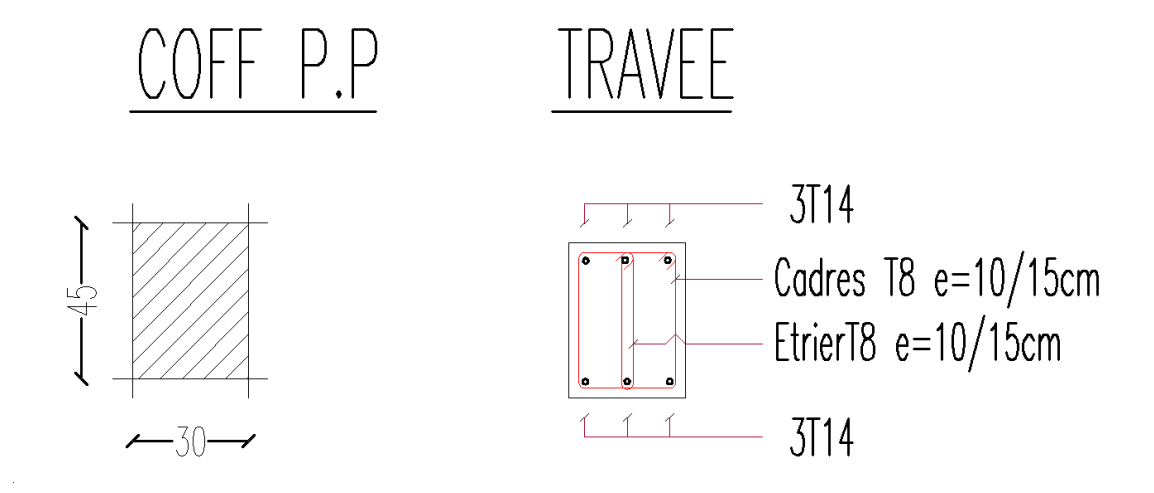


Figure.V.10. Schéma de ferraillage des pouter prencipal 30x45

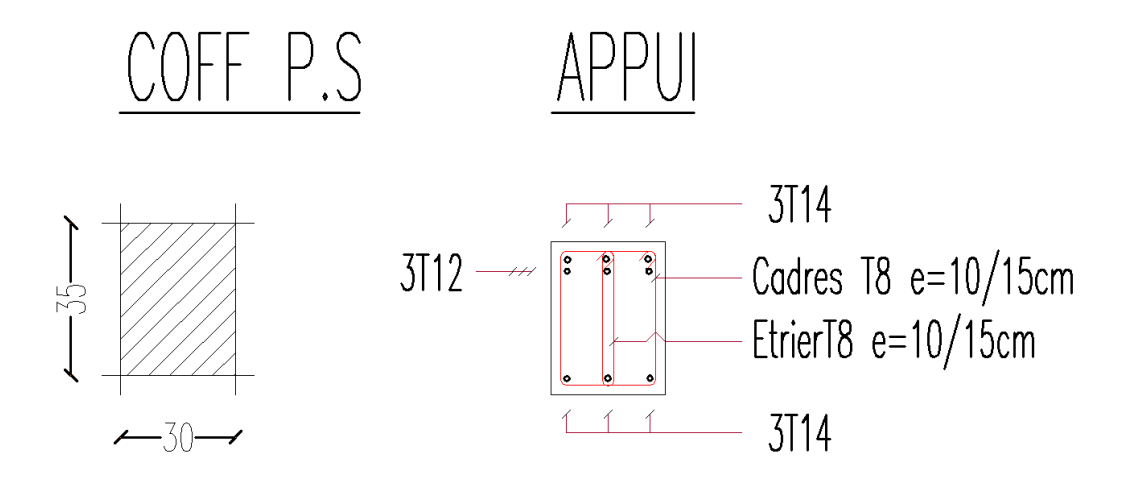


Figure.V.11 .Schéma de ferraillage des poter scendare 30x35

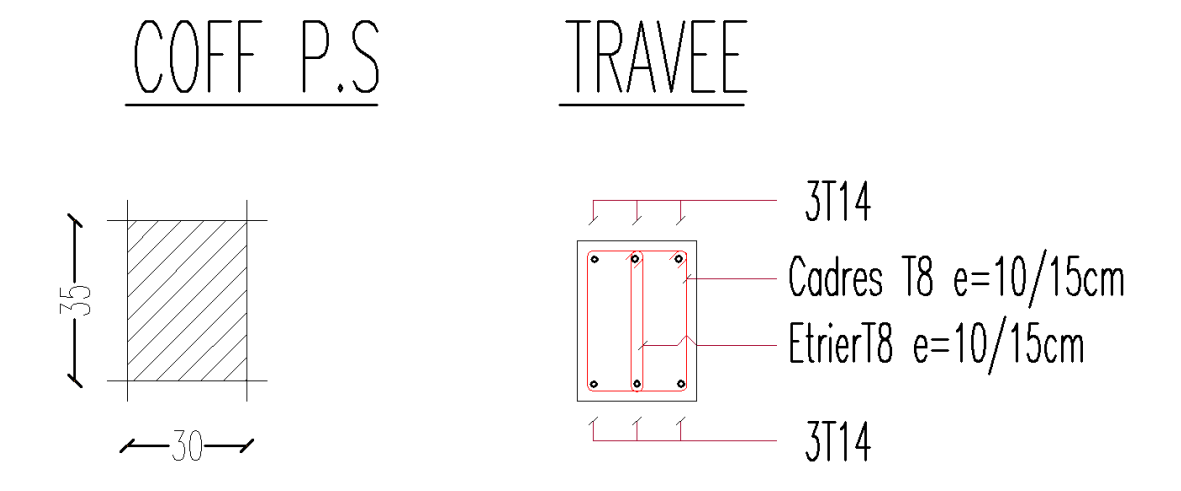


Figure.V.12.Schéma de ferraillage des poter scendare 30x35

V.4.LES VOILES

Le ferraillage des voiles s'effectuera selon le règlement **BAEL91** et les vérifications selon le règlement parasismique Algérien **RPA 99/version 2003.** Sous l'action des forces horizontales (séisme, vents) ainsi que les forces due aux charges verticales, le voile est sollicité à la flexion composée avec effort tranchant.

Les sollicitations engendrées dans le voile sont :

- Moment fléchissant et effort tranchant provoqués par l'action du séisme.
- ➤ Effort normal du à la combinaison des charges permanentes, d'exploitations et la charge sismique.

Le ferraillage des voiles comprendra essentiellement :

- > Des aciers verticaux.
- > Des aciers horizontaux.

Aciers verticaux :

La disposition du ferraillage vertical se fera de telle sorte qu'il reprendra les contraintes de flexion composée en tenant compte des prescriptions imposées par le RPA99/version 2003 [1]:

- ✓ L'effort de traction engendré dans une partie du voile doit être repris en totalité par les armatures dont le pourcentage minimal est de 0.20% de la section horizontale du béton tendu.
 - Les barres verticales des zones extrêmes devraient être ligaturées avec des cadres horizontaux dont l'espacement ne doit pas être supérieur à l'épaisseur du voile.
- ✓ Si des efforts importants de compression agissent sur l'extrémité, les barres verticales doivent respecter les conditions imposées aux poteaux.
- ✓ Les barres verticales du dernier niveau doivent être munies de crochets à la partie supérieure. Toutes les autres barres n'ont pas de crochets (jonction par recouvrement).
- ✓ A chaque extrémité du voile l'espacement des barres doit être réduit de moitié sur (1/10) de la largeur du voile, cet espacement doit être au plus égal à 15cm.
- ✓ Les aciers horizontaux seront disposés perpendiculairement aux faces du voile.
- \checkmark Elles doivent être munies de crochets à (90°) ayant une longueur de 10Φ.

✓ Dans le cas où il existe des talons de rigidité, les barres horizontales devront être ancrées sans crochets si les dimensions des talons permettent la réalisation d'un ancrage droit.

Règles communes :

a) L'espacement des barres horizontales et verticales doivent être inférieur à la plus petite des deux valeurs suivantes :

 $St \leq 1.5e$

 $St \le 30 \text{ cm}$

Avec : (e: l'épaisseur de voile)

- a) Les deux nappes d'armatures doivent être reliées au moins par quatre épingles au m², dans chaque nappe, les barres horizontales doivent être disposées vers l'extérieur.
- b) Le diamètre des barres verticales et horizontales du voile (à l'exception des zones d'about) ne devrait pas dépasser 1/10 de l'épaisseur du voile.
- c) Les longueurs de recouvrement doivent être égale à :
- 40Φ: pour les barres situées dans les zones ou le renversement du signe des efforts est possible.
- 20Φ: pour les barres situées dans les zones comprimées sous l'action de toutes les combinaisons possibles de charges. [1]

V.4.1. Les combinassions de calcul :

Les combinaisons d'actions sismiques et d'actions dues aux charges verticales à prendre sont données ci-dessous :

Selon le BAEL 91:

- 1.35 G+1.5Q (ELU)
- G+Q (**ELS**)

Selon le RPA version 2003 :

- G+Q±E
- 0.8G±E

Nous utilisons les combinaisons du RPA99 pour déterminer les efforts de traction dans les voiles.

Ce ferraillage se fera en fissuration peu nuisible sous les sollicitations obtenues par «ETABS».

Disposition des voiles :

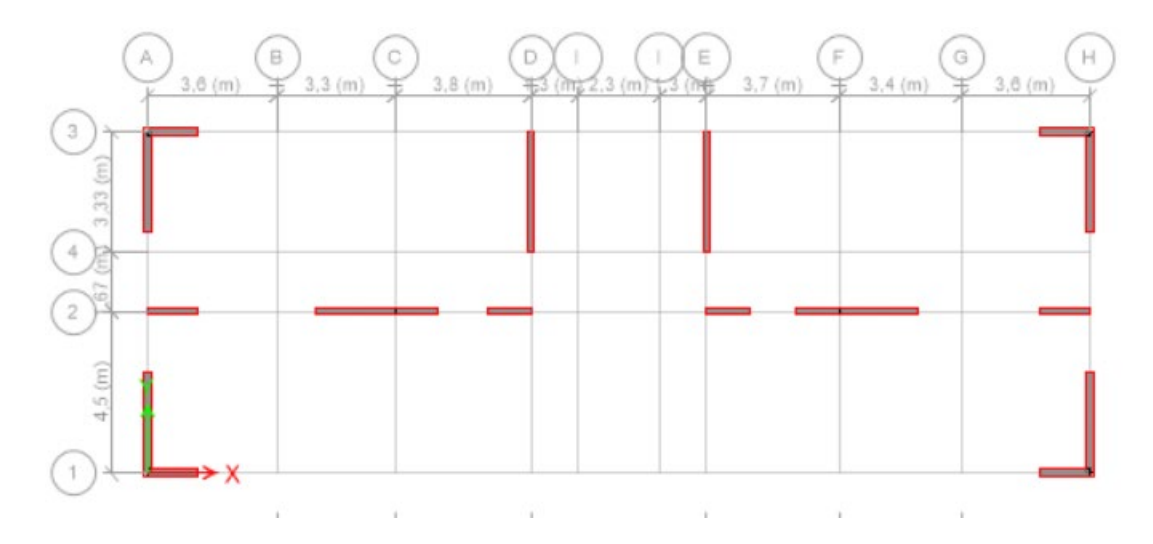


Figure V.13. Schéma de répartitions des voiles 2D.

Exemple de calcul:

Sens x-x: On prend comme exemple de calcul le voile Vx1 (1.4m)

Sous les sollicitations montrées dans le tableau suivant :

Tableau.V.14: Les sollicitations du voile le plus sollicité.

Voile	N _{max} (KN)	M _{corr} (KN.m)	N _{max} (KN.m)	M _{corr} (KN)	N _{max} (KN)	M _{corr} (KN.m)	Vu
RDC	-1609.35	44.61	-674.71	41.95	-341.36	408.64	232.78
Etage courant	-1442.19	31.20	-183.94	257.82	1390.9	96.79	167.52
terrasse	-64.49	115.28	35.28	126.68	50.17	96.55	64.13

V.4.2. Etude de la section soumise à la flexion composée

On détermine les contraintes par la formule de NAVIER -BERNOULLI:

$$\sigma_{a.b} = \frac{N}{S} \pm \frac{M}{I} y$$

Avec:

N : effort normal agissant sur le refond considérer.

M: moment de flexion agissant sur le refond considérer.

I : moment d'inertie du refond considérer.

y: centre de gravité de la section du voile dans le sens du plan moyen.

Si σ_a et σ_b : sont des signes négatifs on aura une section entièrement tendue (SET).

Si σ_a et σ_b : sont des signes positifs on aura une section entièrement comprimée (SEC).

Si σ_a et σ_b : sont des signes contraires on aura une section partiellement comprimée (SPC).

V.4.3. Le ferraillage des voiles de sens longitudinales :

$$(L= 1.40 \text{ m}; H = 3.06 \text{ m}; e = 0.2 \text{ m})$$

On utilise ra la méthode des contraintes :

✓ Remarque:

Nous adopterons une même section d'armatures horizontales pour tous les voiles et à tous les niveaux. Ceci facilitera l'exécution de ces derniers.

$$N = -1609.35KN$$
 ; $M = 44.61 KN.m$

$$e_G = \frac{Mu}{Nu} = \frac{1609.35}{44.61} = 0.073 < \frac{h}{2} = 0.70 \text{ m} \dots \text{CV}$$

⇒ le centre de pression est à l'intérieur de la section entre les armatures (c'est entre A et A').

⇒ la section est entièrement tendue.

$$I = \frac{b \cdot h^3}{12} \Rightarrow I = 0.045 \text{ m}^4$$

$$S = b \times h \Rightarrow S = 1.4 \times 0.2 \Rightarrow S = 0.28 \text{ m}^2$$

$$y = \frac{L}{2} \Rightarrow y = \frac{1.4}{2} \Rightarrow y = 0.7 \text{ m}$$

$$\sigma_1 \!=\!\! \frac{N}{S} + \frac{M \!\times\! Y}{I} \!=\!\! \frac{-1609.35}{0.28} \!+\! \frac{44.16 \!\times\! 0.7}{0.045}$$

$$\sigma_1 = -5.06 \text{ Mpa}$$

$$\sigma_2 = \frac{N}{S} - \frac{M \times Y}{I} = \frac{-1609.35}{0.28} - \frac{44.16 \times 0.7}{0.045}$$

$$\sigma_2 = -6.43 \text{ Mpa}$$

σ₁et σ₂sont de signes négative (-) donc la section du voile est « entièrement tendue»

On a
$$f_{bu} = 18.47$$
 MPa et $\sigma_{max} = 6.43$

Armatures minimales de RPA 99 / version 2003 :

➤ La zone comprimée :

A_{min} > 4cm²/m de parement mesuré perpendiculaire à ces armatures

$$0.2\% \times B \le Amin \le 0.5\% \times B$$

$$5.6 \text{ cm}^2 \le \text{Amin} \le 14 \text{ cm}^2$$

➤ La zone tendue :

Amin
$$\geq 0.2\% \times B$$

Amin $\geq 5.6 \text{ cm}^2$

d) Exigences de RPA 99v2003 [1]:

Le pourcentage minimum d'armatures verticales et horizontales des trumeaux est donné

Comme suit:

- Globalement dans la section du voile : $0.15 \% \times B$.

Amin =
$$0.15\% \times 1.4 \times 0.2 = 4.2 \text{ cm}^2$$

- En zone courantes : 0,10 %.

Amin =
$$0.10\% \times 1.4 \times 0.2 = 2.8$$
cm²

• Armatures horizontales :

D'après le RPA 2003 [1] :

Ah
$$> 0.15\% \times 0.2 \times 1.4 = 4.2 \text{ cm}^2$$

Soit: 6HA10/ml avec: St=15cm169

• Armatures transversales :

Les deux nappes d'armatures verticales doivent être reliées au minimum par (04) épingles au Mètre carré soit HA8.

✓ Vérification des contraintes de cisaillement :

BAEL 91:

$$1.4 \frac{V}{b \times d} \Rightarrow \tau_u = \frac{1.4 \times 238.71 \times 10^3}{200 \times 0.9 \times 1400} = 1.32 MPa$$

La contrainte limite est : $\overline{\tau}_u = \min (0.2 \times f_{c28} / \gamma b ; 5 \text{ Mpa}) = 3.33 \text{ MPa}$

Donc: $\tau_b < \overline{\tau}_b \Rightarrow 1.32 \text{ MPa} < 3.33 \text{ MPa} \dots (CV)$

RPA99 révise 2003:

$$1.4 \frac{v}{b \times d} \Rightarrow \tau_u = \frac{1.4 \times 238.71 \times 10^3}{200 \times 0.9 \times 1400} = 1.32 MPa$$

La contrainte limite est : $\overline{\tau}_u = 0.2 \times f_{c28} = 5 \text{ MPa}$

Donc: $\tau_b < \overline{\tau}_b \Rightarrow 1.32 \text{ MPa} < 5 \text{ MPa} \dots (CV)$

V.4.4. Vérification à L'ELS:

On doit vérifier que $\sigma_{bc} \leq \overline{\sigma_{bc}}$

$$\overline{\sigma_{bc}} = 0.6 \text{ f}_{c28} = 15 \text{ MPa}$$

Avec:

$$\sigma_{bc} = \frac{N_S}{B + 15 A}$$

B: section du béton

A: section d'armatures

Ns: effort normal de service sous (G+Q)

$$\sigma_{bc} = \frac{153.23 \times 10^3}{200 \times 1400 + 15 \times 24,1} = 5,46 \text{ MPa}$$

$$\sigma_{bc} = 5,46 \le \overline{\sigma_{bc}} = 15 \text{ MPa } \rightarrow (\textbf{CV})$$

Tableau V.15. Sollicitations et ferraillage du voile $\mathbf{V}\mathbf{x}\mathbf{1} = \mathbf{1.4m}$ dans tous les niveaux

Niveau	RDC	Etage courant	terr
Section (m ²)	0.20×1.4	0.20×1.4	0.20×1.4
N(KN)	-1609.35	-1442.19	-64.49
M(KN)	44.61	53.9978	115.28
Section	S.E. T	S.E. T	S.E. T
V (KN)	232.78	167.52	399.867
τ (MPa)	0.95	0.68	1.64
τ =0.2fc28 (MPa)	5	5	5
A _v ^{cal} (Cm ²)	24.1	21.9	3

A _v ^{min}	RPA (cm ²)	4.2	4.2	4.2
	A _v ^{adop} (Cm ²)	25.13	25.13	9.05
N ^{bre}	/par face	8 HA20	8HA20	8HA12
St	Zone courante	15	15	15
(cm)	Zone d'extrémité	10	10	10
A_h^c	al (cm ²)	1.18	0.85	2.05
	A_h^{min} (cm ²)	0.6	0.6	0.6
A_h^{adop} (cm²)		1.57	1.57	1.57
N ^{bre} /par Plan		2HA10	2HA10	2HA10
S	t (cm)	20	20	20

Tableau V.16. Sollicitations et ferraillage du voile `Vx2 = 1.8m dans tous les niveaux

Niveau	RDC	Etage courant	Terr
Section (m ²)	0.20×1.8	0.20×1.8	0.20×1.8
N(KN)	-2257.88	-2183.68	-304.06
M(KN)	7.01	-4.01	-138.16
Section	S.E. T	S.E. T	S.E. T
V (KN)	13.39	3.89	55.3
τ (MPa)	0.042	0.012	0.175
τ =0.2fc28 (MPa)	5	5	5
$A_{\rm v}^{\rm cal} (Cm^2)$	28.3	27.4	5.6
A _v ^{min} RPA (cm ²)	4.2	4.2	4.2
A _v ^{adop} (Cm ²)	31.42	31.42	9.05
N ^{bre} /par face	10 HA20	10HA20	8HA12
St Zone courante	15	15	15
(cm) Zone d'extrémité	10	10	10
A_h^{cal} (cm ²)	0.052	0.015	0.218
A_h^{min} (cm ²)	0.6	0.6	0.6

A_h^{adop} (cm ²)	1.57	1.01	1.01
N ^{bre} /par Plan	2HA10	2HA8	2HA8
St (cm)	20	20	20

Tableau V.17. Sollicitations et ferraillage du voile `Vx3 = 1.2m dans tous les niveaux

Niv	eau	RDC	Etage courant	terr
Section	on (m ²)	0.20×1.2	0.20×1.2	0.20×1.2
N(F	KN)	-2608.36	-2321.29	-315,99
M (1	KN)	25.44	18.66	-73,13
Sec	tion	S.E. T	S.E. T	S.E. T
V (KN)	260.18	5.29	68.10
τ (Ν	IPa)	1.25	0.024	0.32
$\overline{\tau}=0.2$ fc2	28 (MPa)	5	5	5
A	$_{\rm v}^{\rm cal} (Cm^2)$	33.2	29.4	6.5
A _v ^m	in RPA (cm ²)	4.2	4.2	4.2
A	v (Cm ²)	37.7	31.42	9.05
N ^{bre}	par face	12 HA20	10HA20	8HA12
St	Zone courante	15	15	15
(cm)	Zone d'extrémité	10	10	10
	A_h^{cal} (cm ²)	1.56	0.03	0.4
	A_h^{min} (cm ²)	0.6	0.6	0.6
F	\mathbf{l}_{h}^{adop} (cm ²)	1.57	1.01	1.57
N^b	re/par Plan	2HA10	2HA8	2HA8
S	t (cm)	20	20	20

Tableau V.18. Sollicitations et ferraillage du voile Vx1 = 2.8m dans tous les niveaux

N:	iveau	RDC	Etage courant	terr
Sectio	n (m ²)	0.20×2.8	0.20×2.8	0.20×2.8
N	(KN)	-2312.46	-2118.63	-257.33
M	I(KN)	80.52	46.92	-143.29
Se	ection	S.E. T	S.E. T	S.E. T
V	(KN)	27.66	44.64	133.05
τ (MPa)	0.05	0.09	0.268
$\overline{\tau}$ =0.2fc2	8 (MPa)	5	5	5
A_{v}^{ca}	$^{\mathrm{al}}(Cm^2)$	34.1	31	5.5
A _v ^{mi}	ⁿ RPA (cm ²)	4.2	4.2	4.2
A_{v}^{a}	dop (Cm ²)	37.7	31.42	9.05
N^{bre} /	par face	12 HA20	10HA20	8HA12
St	Zone courante	15	15	15
(cm)	Zone d'extrémité	10	10	10
A	h^{cal}_h (cm ²)	0.062	0.11	0.335
	\mathbf{I}_h^{min} (cm ²)	0.6	0.6	0.6
4	A_h^{adop} (cm ²)	1.57	1.01	1.01
N ^{bre} /p	ar Plan	2HA10	2HA8	2НА8
St	(cm)	20	20	20

Tableau V.19. Sollicitations et ferraillage du voile `Vy2 = 3.33m dans tous les niveaux

Niveau	RDC	Etage courant	terr
Section (m ²)	0.20×3.33	0.20×3.33	0.20×3.33
N(KN)	-2625.30	-947.98	-269.61
M(KN)	-209.92	1639.73	-235.84
Section	S.E. T	S.E. T	S.E. T

V (1	KN)	122.89	429.86	80.15
τ (M	(Pa)	0.208	0.720	0.135
$\overline{\tau}=0.2$ fc2	28 (MPa)	5	5	5
F	$A_{\rm v}^{\rm cal} (Cm^2)$	34.5	24.6	6.5
A _v ^{mi}	ⁿ RPA (cm ²)	4.2	4.2	4.2
A	v (Cm ²)	37.7	31.42	9.05
N ^{bre}	/par face	12 HA20	10HA20	8HA12
St (cm)	Zone courante	15	15	15
St (cm)	Zone d'extrémité	10	10	10
A_h^{cal}	(cm ²)	0.26	0.9	0.168
	(cm ²)	0.6	0.6	0.6
A_h^{adop} (cm ²)		1.57	1.57	1.01
N ^{bre} /par l	Plan	2HA10	2HA10	2НА8
St ((cm)	20	20	20

V.4.5. Schéma du ferraillage

COFF V1(11ème & 12ème Etage)

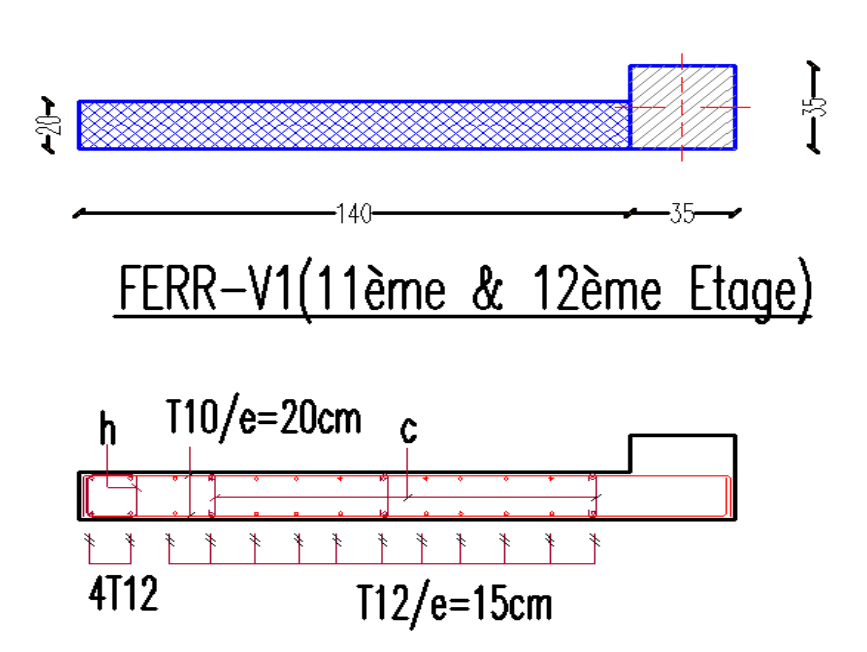


Figure.V.14. Schéma de ferraillage de du voile Vx1 (11éme-12éme)

V.5.CONCLUSION:

Au terme de ce chapitre nous avons étudiées les différents éléments principaux, le ferraillage de ces derniers doit impérativement répondre aux exigences du RPA 99/2003 qui prend en considération la totalité des charges sismiques ainsi que les charges d'exploitations. Outre la résistance, l'économie est un facteur très important qu'on peut concrétiser en jouant sur le choix de la section du béton et de l'acier dans les éléments résistants de l'ouvrage, tout en respectant les sections minimales requises par le règlement en vigueur.

CHAPITER VI ETUDE DE L'INFRASTRUCTURE

VI.1. Introduction:

Les fondations sont des éléments de la structure ayant pour objet la transmission au sol des Efforts apportés par la structure. Ces efforts consistent en :

- Un effort normal : charge et surcharge verticale centrée.
- ❖ Une force horizontale : résultante de l'action sismique.
- ❖ Un moment qui peut être de valeur variable qui s'exerce dans les plans différents.

Nous pouvons classer les fondations selon le mode d'exécution et la résistance aux Sollicitations extérieures, en :

- **A. Fondations superficielles :** utilisées pour des sols de grande capacité portante. Elles Sont réalisées près de la surface (semelles isolées, semelles filantes et radier).
- **B. Fondations profondes** : utilisées pour des sols ayant une faible capacité portante ; le bon sol Assez profond (pieux, puits).

VI.2. Étude géotechnique du sol:

Le choix du type de fondation repose essentiellement sur une étude détaillée du sol qui Nous renseignons sur la capacité portante de ce dernier. Les résultats de cette étude nous a donné

Une contrainte admissible du sol égale à σ_{sol} = 2 bars.

VI.3. Choix du type de fondation :

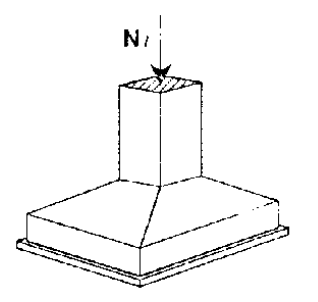
Le choix du type de fondation, est fonction du type da la superstructure ainsi que des Caractéristiques topographiques et géologique du terrain.

Ce choix est défini par :

- La stabilité de l'ouvrage.
- La facilité de l'exécution.
- L'économie
- La capacité portante du sol.
- L'importance de la superstructure.
- Le tassement du sol.

VI.3.1. Vérification de semelle isolée :

On adoptera une semelle homothétique, c'est à dire on prend le rapport A et B dans le même Rapport qu'a et b: $\frac{a}{b} = \frac{A}{B}$ Avec a=60cm; b=60cm; $\frac{a}{b} = 1$



On doit vérifier la condition suivante :

$$\sigma_{sol} \ge \frac{N_s}{S} \Rightarrow s \ge \frac{N_s}{\sigma_{sol}}$$
 Soit :

 N_{ser} : Effort normal à l'ELS.

 σ_{sol} : Contrainte admissible du sol ; ($\sigma_{sol} = 2$ bars)

 $N_{ser} = 48002.76KN$

$$S_S \ge \frac{48002.76}{0.20} = 240.01m^2$$

$$\frac{S_s}{S_d} \le 50\%$$

: Section des semelles filant, avec $Ss \ge \frac{N_{ser}}{\sigma_{sol}}$

 S_d : Section du bâtiment

$$\frac{240.01}{249.85} = 96 \% \ge 50\%$$

Nous négligeons le calcul des semelles isolées et celui des semelles filantes car la surface occupée par les semelles dépasse 50% de la surface de l'emprise du sol ($S_{néc} > 50\% S_{bat}$).

Nous optons définitivement au choix du radier général.

VI.3.2. Radier général:

Un radier est une dalle pleine, éventuellement nervurée, constituant l'ensemble des fondations d'un bâtiment. Il s'étend sur toute la surface de l'ouvrage.

Ce type de fondation présente plusieurs avantages qui sont :

- L'augmentation de la surface de la semelle, minimise la forte pression apportée par la structure.
- La réduction des tassements différentiels.
- Néglige les irrégularités ou l'hétérogénéité du sol.
- La facilité d'exécution.

- Lorsque le sous-sol d'un bâtiment est inondable : le radier joue alors le rôle d'un cuvelage étanche pouvant résister aux sous-pressions.
- ➤ Lorsque la capacité portante du sol est faible : le radier est alors conçu pour jouer un Rôle répartiteur de charges. Son étude doit toujours s'accompagner d'une vérification du tassement général de la construction.

VI.3.2.1. Pré dimensionnement de radier :

Le radier est assimilé à un plancher renversé appuyé sur les murs de l'ossature. Ce radier est supposé Le radier est considéré infiniment rigide donc on doit satisfaire les Conditions suivantes :

a) épaisseur du radier

- Condition forfaitaire (Condition de coffrage) :

$$h_t \ge \frac{L_{max}}{10}$$

$$h_r \ge \frac{L_{max}}{20}$$

Avec:

h_t: Hauteur des nervures

h_r: Hauteur de la dalle

L_{max}: La plus grande portée entre deux éléments porteurs successifs.

 $L_{\text{max}} = 500 \text{cm}$

Donc: $h_t \ge \frac{500}{10} = 50$ cm. $h_r \ge \frac{500}{20} = 60$ cm

- Condition de rigidité :

$$L_e \ge \frac{2L_{max}}{\pi}$$

L_{max}: Plus grande distance entre deux portiques parallèles :

L_e: est la longueur élastique, qui permet de déterminer la nature du radier (rigide ou flexible).

D'après] on a:

Avec
$$L_e = \sqrt[4]{\frac{4EI}{Kb}}$$

E: Module d'élasticité du béton, E = 32164.195Mpa

I : Inertie de la section du radier.

K: Coefficient de réaction du sol, pour un sol moyen $K = 4 \times 10^4 \text{ KN/m}^3$

b: La largueur de la semelle

Donc:

$$I = \frac{b \times h^3}{12} \Rightarrow h \ge \sqrt[3]{\frac{48 \times L_{max}^4 \times K}{\pi^4 \times E}}$$

$$h \ge \sqrt[3]{\frac{48 \times 5000^4 \times 0.04}{3.14^4 \times 32164.195}} = 73 \text{ cm}$$

- Condition de cisaillement :

On doit vérifier que : $\tau_u = \frac{V_u}{b \times d} \le \overline{\tau_u} = \min(0.1 \text{ fc28 ; 4MPa}) = 2.5 \text{ MPa}$

Avec
$$:v_u = \frac{Nu \times Lmax \times b}{2Sb}$$

$$N_{11} = 65902.45 \text{ KN}$$

$$L=5m; b=1m$$

$$v_{\rm u} = \frac{65902.45 \times 5 \times 1}{2 \times 249.85} = 659.42 \text{Kn}$$

$$\tau_u = \frac{V_u}{b \times d} = 1.22 \text{ Mpa} \le \overline{\tau_u} = 2.5 \text{ Mpa} \dots \text{CV}$$

b) Surface du radier :

 $N_s = 48051.77$ KN(Poids total transmis par la superstructure à l'ELS).

Pradier =
$$0.6 \times 25 \times 26.3 \times 9.5 = 3747.75 \text{ KN}$$

Nt = 51799.52 KN

$$\frac{N_{ser}}{S_{rad}} \le \sigma_{sol} \Rightarrow S_{rad} \ge \frac{N_{ser}}{\sigma_{sol}} \Rightarrow S_{rad} \ge 259 \text{m}^2$$

La surface du bâtiment : S_b=249.85m²

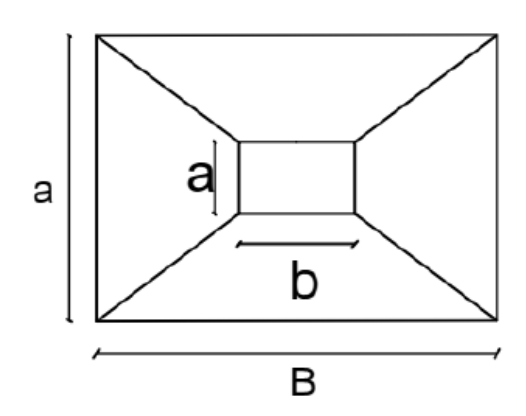
 $S_{rad} \ge S_b$ Donc le radier débords.

Calcul du débord : D= S_{rad}-S_b/périmètre => D= 0.12m

VI.3.2.2. Les Vérifications :

a) Vérification au poinçonnement :

Le radier doit être suffisamment épais pour résister aux contraintes de cisaillement dus au poinçonnement des poteaux sur la surface de la plaque : selon CBA 93 (article A.5.2.4.2) [3] On doit vérifier la condition suivante :



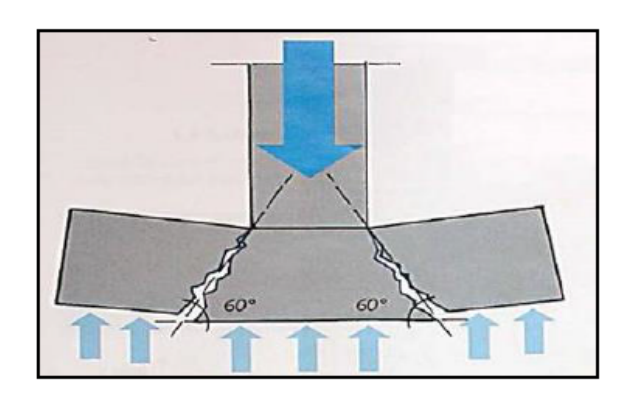


Figure.VI.1 : Schéma du poinçonnement.

 $N_u \le 0.045 \times U_c \times h \times f_{C28} / \gamma_b$

N_u: L'effort normal sur le poteau.

h: épaisseur totale de la dalle.

U_c: Le périmètre du contour cisaillé projeté sur le plan moyen du radier.

$$U_c = 2(A + B)$$

$$\begin{cases} A = a + h \\ B = b + h \end{cases} \begin{cases} A = 0.6 + 0.90 \Rightarrow A = 1.5m \\ B = 0.6 + 0.90 \Rightarrow B = 1.5m \end{cases}$$

Ce qui donne : $U_c = 6 \text{ m}$

$$N_u = 1692,30 \text{KN} \le 0.045 \times 6000 \times 900 \times \frac{25}{1.5} = 4050 \text{KN} \dots \text{C.V}$$

c) Vérification des contraintes dans le sol :

Sous l'effet du moment renversant dû au séisme, la contrainte sous le radier n'est pas uniforme. On est dans le cas d'un diagramme rectangulaire ou trapézoïdal, la contrainte moyenne ne doit pas dépasser la contrainte admissible du sol.

La formule suivante doit être vérifiée :

$$\sigma_{moy} = \frac{3 \times \sigma_1 + \sigma_2}{4} \leq \sigma_{sol}$$

On a:

$$I_{xx}$$
= 1879.08 $m^4 I_{yy}$ =14401.5 m^4

$$X_g = 13.15 \text{mY}_g = 4.75 \text{m}$$

Dans le sens x-x:

$$N_u$$
=65902.45 KN M_v = 3770.47 KN.m

$$\sigma_1 = \frac{N_u}{S_{rad}} + \frac{M_y}{I_v} \times X_g = 0.257 \le \sigma_{sol}$$

Dans le sens y-y:

$$N_u = 65902.45 \text{ KNM}_x = 2963.91 \text{KN.m}$$

$$\sigma_1 = \frac{N_u}{S_{rad}} + \frac{M_x}{I_x} \times Y_g = 0.261 \le \sigma_{sol}$$

$$\sigma_{\text{moy}} = \frac{3 \times (\sigma_1 + \sigma_2)}{4} = 0.388 < \sigma_{\text{sol}}$$

d) Vérification de renversement : (RPA Art 10.1.5) [1] :

Selon le RPA 99/2003. On doit vérifier que :

$$e = \frac{M}{N} \le \frac{B}{4}$$

- Suivant x-x:

$$e = \frac{3770.47}{65902.45} = 0.057 \le \frac{B}{4}$$

- Suivant y-y:

$$e = \frac{2963.91}{65902.45} = 0.044 \le \frac{B}{4}$$

VI.3.2.3. Ferraillage du radier :

Le radier sera calculé comme un plancher renversé, appuyé sur les nervures en flexion simple, On considère que la fissuration est préjudiciable. On fait Le calcul pour le panneau le plus Défavorable et on adoptera le même ferraillage pour tout le radier de dimension.

$$l_x = 4.9 \text{ m } l_y = 5 \text{ m}$$

a) Calcul des sollicitations :

$$q_u = \frac{N_u}{S_{rad}} = \frac{69650.2}{249.85} = 278.76 \text{ KN/m}^2$$

$$q_s = \frac{N_S}{S_{rad}} = \frac{51799.22}{249.85} = 207.32 \text{ KN/m}^2$$

N_u: Effort ultime (avec le poids du radier).

$$\rho = \frac{L_x}{L_v} = \frac{490}{500} = 0.98 > 0.4$$
 \Rightarrow La dalle du radier travaille dans les deux sens

Dans ce cas les moments sont déterminés suivant les deux directions l_x et l_y

b) Calcul des moments :

Pour le calcul des moments on utilise les dispositions indiquées à l'annexe E3 des règles BAEL91 [2] :

• Dans le sens de la petite portée : $M_x = \mu_x q_u L_x^2$

• Dans le sens de la grande portée : $M_v = \mu_v M_x$

Les coefficients μ_x et μ_y sont fonction de :

•
$$\rho = \frac{L_x}{L_y}$$
 et de ν .

• v: Coefficient de poisson
$$\begin{cases} 0 & \text{àl' ELU} \\ 0.2 & \text{àl' ELS} \end{cases}$$

 μ_x et μ_y sont donnés par l'abaque de calcul des dalles rectangulaire.

$$\rho = 0.98 \Rightarrow \begin{cases} \mu_x = 0.0384 \\ \mu_y = 0.9585 \end{cases}$$

$$M_x = \mu_x q_u L_x^2 = 257.01 \text{ KN.m}$$

$$M_v = \mu_v M_x = 246.34 \text{ KN.m}$$

Moments en travées :

$$M_{tx}$$
=0, 85 M_x = 0, 85× 257.01= 218.45 KN.m
 M_{ty} =0, 85 M_y = 0, 85×246.34= 209.38 KN.m

Moments sur appuis :

$$M_{ax} = M_{av} = 0$$
, $5M_x = 0$, $5 \times 257.01 = 128.5$ KN.m

Le ferraillage se fera pour une section $b \times h_r = 1 \times 0.6 \text{ m}^2$

c) Ferraillage de la dalle :

b=100cm; h=60 cm; d=0,9h=54cm; f_e =400MPa; f_{c28} =25Mpa; f_{t28} =2,1Mpa; σ_s =348MP Les résultats sont récapitulés dans le tableau suivant :

Tableau.VI.1: Ferraillage de la dalle du radier

Localisation	Sens	$\mathbf{M}_{\mathbf{u}}(\mathrm{N.m})$	Aca (cm ²)	Amin (cm ²)	A _{adp} (cm ²	Choix	St(cm)
Travée	X-X	218.45	11.7	4.84	12.06	6НА16	16
	у-у	209.38	11.02	4.80	12.06	6HA16	25
Appuis	x-x y-y	128.5	6.80	6.52	9.24	6HA14	25

d) Condition de non fragilité :

✓ Travées:

$$\begin{split} h = 60 \text{ cm} & b {=} 100 \text{ cm} \\ \begin{cases} A_{min\,x} \geq \rho_0 \frac{(3-\rho)}{2} \times b \times h = 4.84 \text{cm}^2 \\ A_{min\,y} \geq \rho_0 \times b \times h = 4.80 \text{ cm}^2 \end{cases} \end{split}$$

✓ Appuis:

$$A_{min} = 0.23 \times b \times d \times f_{t28}/f_e$$

$$A_{min} = 6.52 \text{ cm}^2$$

Espacements des armatures :

Armatures//Lx : St=16<min (2h; 25cm) = 25cm

Armatures//Lx : St=25 < min (3h; 33cm) = 33cm

e) Vérification de l'effort tranchant : (BAEL A.5.1, 211) [2] :

Les armatures transversales ne sont pas nécessaires si la condition ci-dessous est vérifiée :

$$\begin{split} &\tau_{u} = \frac{T_{u}}{bd} \leq \overline{\tau_{u}} = 0.07 f_{c28} = 1.75 \text{MPa} \\ &T_{x} = \frac{q_{u} L_{x} L_{y}}{2 L_{x} + L_{y}} = 461.46 \text{KN} \\ &T_{y} = \frac{q_{u} L_{x}}{3} = 455.14 \text{KN} \\ &T_{u}^{max} = 461.46 \text{ KN} \end{split}$$

$$\tau_{\rm u} = \frac{93.70 \times 10^3}{1000 \times 630} = 0.850 \text{ MPa} \le \overline{\tau_{\rm u}} = 1.75 \text{MPa} \ \Rightarrow \text{(cv)}.$$

g) Vérification à L'ELS:

Evaluation des sollicitations à l'ELS:

$$\underset{L_{y}}{\overset{L_{x}}{=}}0.98 \Rightarrow \begin{cases} \mu_{x} = 0.0384 \\ \mu_{y} = 0.9585 \end{cases}$$

$$\begin{cases} M_x = \mu_x q_{ser} L_x^2 = 191.14 \text{ KN. m} \\ M_y = \mu_y M_x = 183.20 \text{ KN. m} \end{cases} \\ \Leftrightarrow \begin{cases} M_{tx} = 0.85 M_x = 162.46 \text{KN. m} \\ M_{ty} = 0.85 M_y = 155.72 \text{KN. m} \\ M_a = 0.5 M_x = 95.57 \text{KN. m} \end{cases}$$

h) Vérification des contraintes :

$$\sigma_b = \frac{M_{ser}}{I} y \le \overline{\sigma_{bc}} = 0.6 f_{c28} = 15 MPa$$

$$\sigma_s = 15 \times \frac{M_{ser}}{I} \times (d - y) \le \overline{\sigma_s} = \min(\frac{2}{3} \times f_e; 110 \times \sqrt{\eta f_{t28}}) = 201.63 \text{MPa}$$

• Détermination de la valeur de « y » :

$$\frac{b}{2}y^2 + nA_s'(y-c') - nA_s(d-y) = 0$$
 avec : n = 15 d=54cm

• Moment d'inertie :

$$I = \frac{by^3}{3} + nA_s'(d - c')^2 + nA_s(d - y)^2$$

Les résultats trouvés en travée et sur appui dans les deux sens sont regroupés dans le tableau suivant :

Tableau.VI.3: Vérification des contraintes à l'ELS.

Locali	sation	M_{ser}	A_s	Y	I	σ_s	$\overline{\sigma}_s$	Obs
		(KN.m)	(<i>cm</i> ²)	(cm)	(cm ⁴)	(MPa)	(MPa)	
Travée	XX	162.46	12.06	12.28	376587.65	269.97	201.63	C.N.V
	YY	155.72	12.06	12.28	376587.65	258.77	201.63	C.N. V
App	ouis	95.57	9.24	10.92	300627.20	205.43	201.63	C.N. V

On remarque que les contraintes dans l'acier ne sont pas vérifiées, donc on augmente la section du ferraillage.

Tableau.VI.3: Vérification des contraintes à l'ELS.

Locali	sation	M_{ser}	A_s	Y	I	σ_s	$\overline{\sigma}_s$	Obs
		(KN.m)	(cm^2)	(cm)	(cm ⁴)	(MPa)	(MPa)	
Travée	XX	162.46	20.11	15.28	571163.59	165.2	201.63	C.V
	YY	155.72	16.08	13.90	477372.65	196.2	201.63	C.V
App	ouis	95.57	12.06	12.28	376587.65	158.81	201.63	C.V

VI.3.2.4. Ferraillage des nervures :

a) Calcul des efforts:

Pour le calcul des efforts, nous utilisons la méthode forfaitaire (BAEL91 modifiée 99) [2]

Nous avons :
$$M_0 = \frac{pL^2}{8} = 871.12 \text{ KN.m}$$

- ✓ En travée $M_t=0.85M_0$
- ✓ Sur appuis $M_{app}=0.50M_0$

b) Calcul des armatures :

b=60cm; h= 120 cm; L=5.00 m.

Tableau.VI.4: Ferraillage des nervures du radier.

	M_{u}	A ^{cal}	Choix	A _s ^{adp}
	(KN.m)	(cm^2)		(cm ²)
Travée	740.45	19.3	10HA16	20.11
Appuis	435.56	11.2	10HA12	11.31

c) Vérification des contraintes à l'E.L. S :

Les résultats sont regroupés dans le tableau suivant :

Tableau.VI.5: Vérification des contraintes à l'ELS.

	M _{ser} (KN.m)	A _s (cm ²)	σ _{bc} (MPa)	$\overline{\sigma_{bc}}$ (MPa)	σ _s (MPa)	$\overline{\sigma_s}$ (MPa)	Vérification
Travée	550.69	20.11	4,82	15	272.66	201.63	C.N. V
Appuis	323.93	11.31	3,61	15	282.414	201.63	C. N. V

Tableau.VI.6: Vérification des contraintes à l'ELS.

	M _{ser}	A _s	σ_{bc}	$\overline{\sigma_{bc}}$	$\sigma_{\rm s}$	$\overline{\sigma_{\rm s}}$	Vérificatio	Choix
	(KN.m	(cm ²	(MPa	(MPa	(MPa	(MPa)	n	
))))			
Travé	550.69	30.16	5.65	15	188.6	201.63	Vérifiée	15HA16
e					3			
Appui	323.93	17.75	3.17	15	191.8	201.63	Vérifiée	15HA16+5HA1
S					6			4

d) Vérification de la contrainte tangentielle du béton :

Nous devons vérifier que : $\tau_u < \overline{\tau_u} = min(0.1f_{c28}; 4MPa) = 2.5MPa$

Avec :
$$\tau_u = \frac{T_u}{bd}$$

$$\begin{split} &T_{u} = \frac{P_{u}L_278.76\times5}{2} = 696.67 \text{ KN} \\ &\tau_{u} = \frac{696.67\times10^{3}}{600\times1080} = 1.075 \text{MPa} < \overline{\tau_{u}} = 2.5 \text{MPa}.....\text{cv} \end{split}$$

e) Armatures transversales:

BAEL 91 modifié 99[2]:

$$\begin{cases} \frac{A_t}{b_0 S_t} \geq \frac{\tau_u - 0.3 f_{tj} K}{0.8 f_e} \text{ (K = 1: pas de reprise de bétonnage)} \\ S_t \leq \min(0.9 d; 40 cm) = 40 cm \\ \frac{A_t f_e}{b_0 S_t} \geq \max\left(\frac{\tau_u}{2}; 0.4 \text{MPa}\right) = 0.40 \text{MPa} \end{cases}$$

RPA99 version 2003[1]:

$$\begin{split} \frac{A_t}{S_t} &\geq 0.003 \times b \\ \begin{cases} S_t \leq min\left(\frac{h}{4}; 12\phi_1\right) = 2,4cm & \text{Zone nodale} \\ S_t \leq \frac{h}{2} & \text{Zone courante} \end{cases} \end{split}$$

Avec:

$$\phi_t \le min(\frac{h}{35}; \phi_1; \frac{b}{10}) = 2 \text{ cm}$$

$$f_e$$
=400MPa; τ_u =1.075MPa; f_{t28} =2,10MPa; b=60cm.

Nous trouvons:

 $S_t=20cm \rightarrow Zone nodale.$

 $S_t=30cm \rightarrow Zone courante.$

 $A_t \ge 3.6 \text{ cm}^2$

Nous prenons: 6T10=4.71cm²

f) Armatures de peau :

Pour les poutres de grande hauteur, il y a lieu de prévoir une armature de peau, dont la Section dépend du préjudice de la fissuration. En effet on risquerait en l'absence de ces Armatures d'avoir des fissures relativement ouvertes en dehors des zones armées par armatures longitudinales inférieures et supérieures. Pour ces armatures, les barres à haute Adhérence sont plus efficaces que le ronds lisses.

Pour les bâtiments courant nous avons $3 \text{cm}^2/\text{m}$ pour les armatures de peau Nous optons $4\text{T}14 = 6,16\text{cm}^2/\text{m}$ pour les armatures de peau.

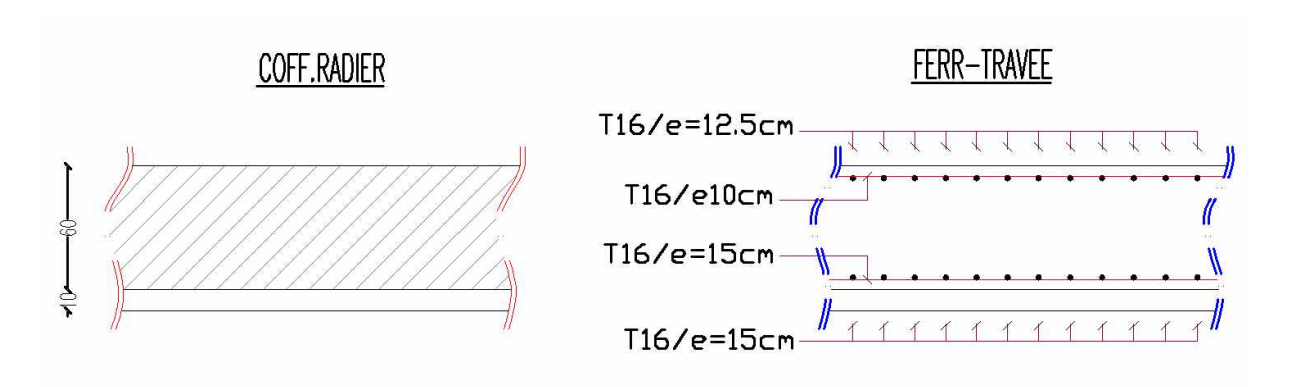


Figure.VI.2 : Schéma de ferraillage de radier en travée

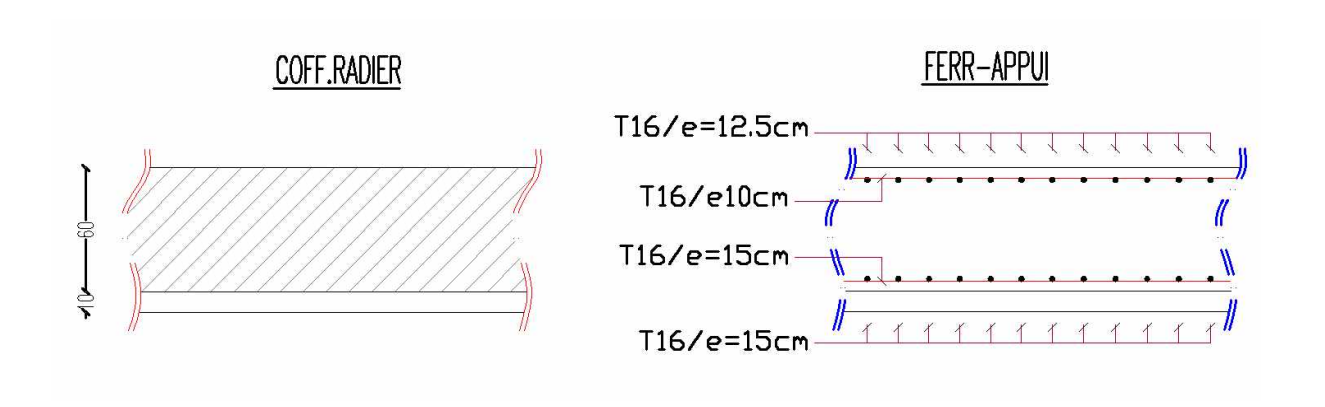


Figure.VI. 3 : Schéma de ferraillage de radier en appui

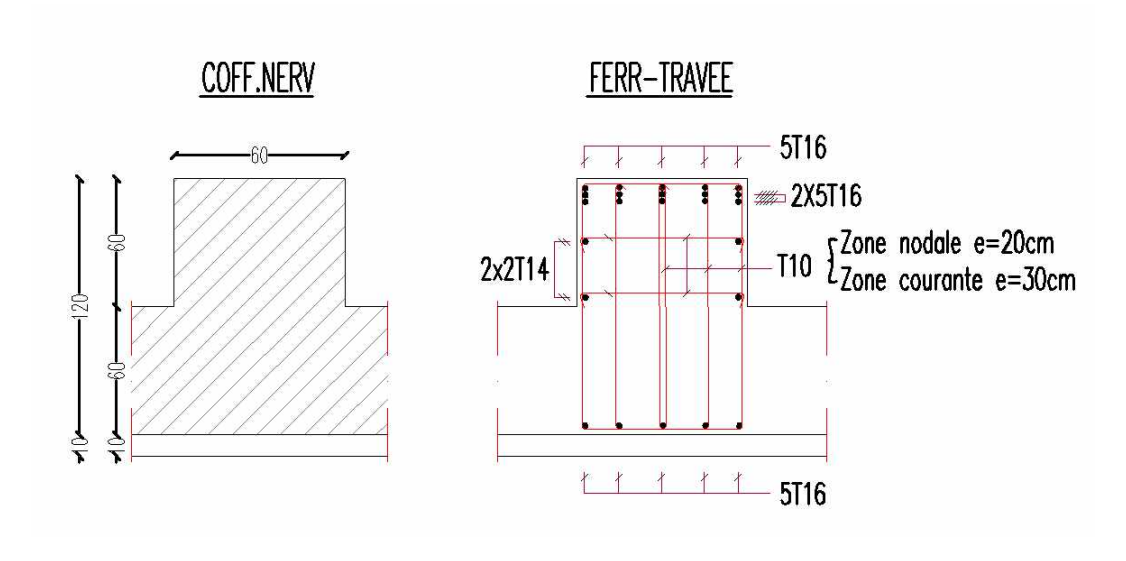


Figure.VI.4 : Schéma de ferraillage des nervures en travée

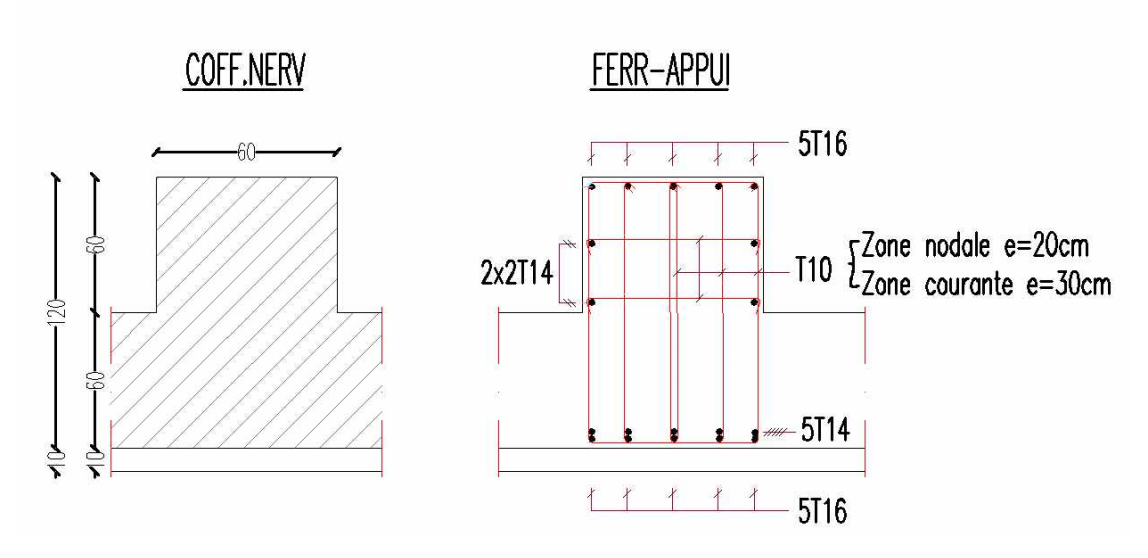


Figure.VI. 5 : Schéma de ferraillage des nervures en appui

VI.4. Etude du voile périphérique :

Le voile périphérique est un panneau vertical en béton armé entourant une partie ou la totalité de l'immeuble, destiné à soutenir l'action des poussées des terres, Il ne fait pas partie du système de contreventement.

Selon le RPA99 /2003, Les ossatures au-dessus de niveau de base du bâtiment, doivent comporter un mur adossé continu entre le niveau de fondation et le niveau de base. Le voile doit avoir les caractéristiques suivantes :

- Une épaisseur minimale de 15 cm.
- Les armatures sont constituées de deux nappes.
- Le pourcentage minimum des armatures est de 0.1% de la section du béton dans les deux sens (horizontal et Vertical).
- Les armatures de ce voile ne doivent pas réduire sa rigidité d'une manière importante.

L'épaisseur (e) du mur sera donnée par la condition suivante.

Hauteur du mur : he = 3.4 - 0.6 = 2.8 m

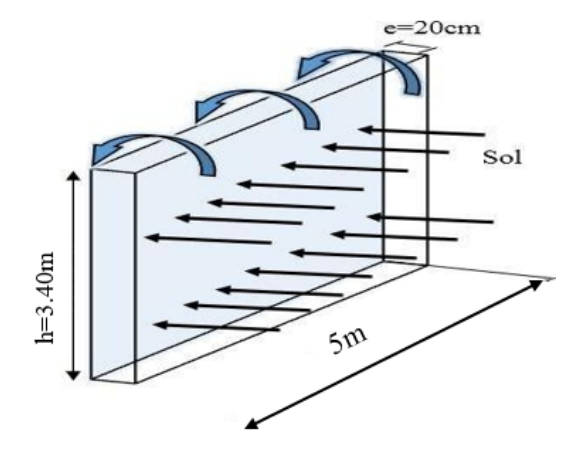
$$e \ge \frac{h_e}{25} \Rightarrow e \ge \frac{280}{25} = 11.2cm$$

On opte pour une epaisseur e = 20 cm.

VI.4.1. Dimensions de voile périphérique :

Les dimensions du voile périphérique sont représentées sur la figure suivante :

- Hauteur h=3.4m
- Longueur L=5m
- Épaisseur e =20 cm



Figures VI.6 : Schéma du voile périphérique

VI.4.2. Caractéristiques géotechniques du sol (hypothèse de calcule) :

• L'angle de frottement interne : $\varphi=35$

• Poids volumique des terres humide : 25KN/m²

VI.4.3. Calcul des contraintes :

> Evaluation des charges et surcharges :

Le voile périphérique et soumis aux chargements suivants :

a) Poussée des terres :

$$G=\gamma \times h \times tg^{2} \times (\frac{\pi}{4} - \frac{\varphi}{2}) - 2 \times C \times tg \times (\frac{\pi}{4} - \frac{\varphi}{2})$$

$$G=25 \times 3.4 \times tg^{2} \times (\frac{180}{4} - \frac{35}{2})$$

$$G=23.034 \text{KN/m}^{2}$$

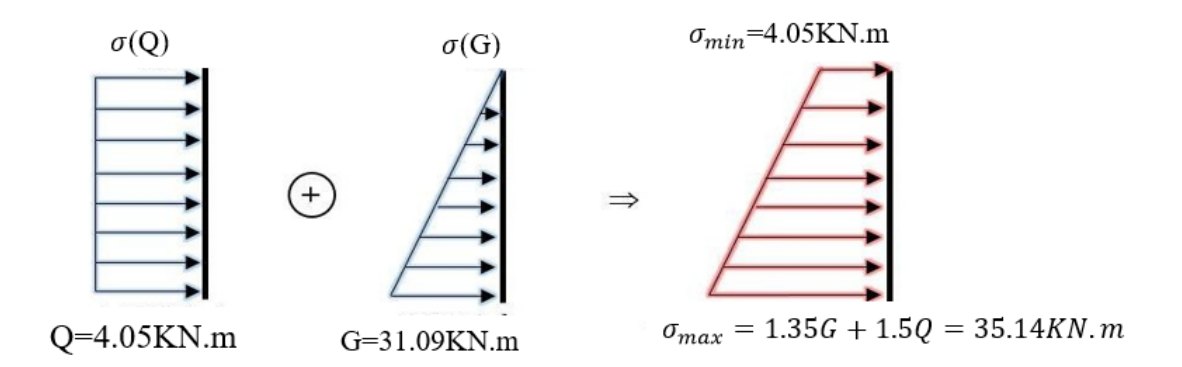
b) Surcharge accidentelle:

$$\begin{aligned} & \text{Q=}q\times tg^2\times(\frac{\pi}{4}-\frac{\varphi}{2})\\ & \text{Q=}10\times tg^2\times(\frac{180}{4}-\frac{35}{2}) = 2.7\text{KN/m}^2 \end{aligned}$$

VI.4.4. Ferraillage du voile :

Le voile périphérique sera calculé comme une dalle pleine sur quatre appuis uniformément chargée, l'encastrement est assuré par le plancher, les poteaux et les fondations :

a) A L'ELU:



FigureVI.7: Diagramme des contraintes.

$$\sigma_{moy} = \frac{3\sigma_{max} + \sigma_{min}}{4} = 27.36KN/m^2$$

$$q_u = \sigma_{moy} \times 1ml = 27.36$$
KN/ml

$$\rho = \frac{L_x}{L_y} = \frac{3.4}{5} = 0.68m > 0.4$$
 la dalle travaille dans les deux direction.

Coefficient de poisson
$$\Rightarrow v = \begin{cases} 0 & \text{à } l' \text{ ELU} \\ 0.2 & \text{à } l' \text{ ELS} \end{cases}$$

$$\rho = 0.46 \ \Rightarrow Donc : \begin{cases} \mu_x = 0.070 \\ \mu_y = 0.4034 \end{cases} \ \Rightarrow \begin{cases} M_x = u_x \times q_u \times L^2_x = 22.139 \text{KN. m} \\ M_y = M_x \times \mu_y = 8.93 \text{N. m} \end{cases}$$

> Moments en travées :

$$M_{tx} = 0.85 M_x = 22.139 \text{KN. m}$$

$$M_{tv} = 0.75 M_v = 8.93 \text{KN. m}$$

> Moments sur appuis :

$$M_{ax} = M_{ay} = 0.5 M_x = 11.096 \text{KN}.$$

> En travée :

❖ Sens x-x:

$$\begin{cases} M_{tx} = 22.139KN. m \\ \mu_{bu} = 0.069 \Rightarrow 0.0081 \leq 0.392 \Rightarrow A'_{s} = 0 \\ \alpha = 0.089 \\ Z = 0.144m \\ A^{x}_{t} = 4.41cm^{2} \end{cases}$$

❖ Sens-y-y:

$$\begin{cases} M_{ty} = 8.93KN.m \\ \mu_{bu} = 0.027 \le 0.392 \Rightarrow A'_s = 0 \\ \alpha = 0.034 \\ Z = 0.147m \\ A^y_t = 1.74cm^2 \end{cases}$$

> Aux appuis:

❖ Sens (x-x et y-y)

$$\begin{cases} M_{tx} = 11.069 KN. m \\ \mu_{bu} = 0.035 \le 0.392 \Rightarrow A'_{s} = 0 \\ \alpha = 0.044 \\ Z = 0.147 m \\ A^{x}_{a} = 2.16 cm^{2} \end{cases}$$

- > Condition de non fragilité :
- > En travée :
- **❖** Sens x-x :

$$A_{min}^{x} = \rho_0 \left(\frac{3-\rho}{2}\right) b \times h = 0.0008 \left(\frac{3-0.68}{2}\right) 1000 \times 20 = 1.856 \text{cm}^2/\text{ml}$$

❖ Sens-y-y:

$$A^{y}_{min} = \rho_0 \times b \times h=0.0008 \times 1000 \times 200=1.6 \text{cm}^2/\text{ml}$$

- > Aux appuis :
- **❖** Sens (x-x et y-y)

$$A^{x}_{min} = A^{y}_{min} = 0.23b \times h \times \frac{f_{t28}}{F_e} = 1.81cm^2/ml$$

$$A^{x}_{rna} = 0.1\% \times b \times h = 1.5cm^{2}$$

Espacement:

Armatures // Lx : $St=20cm \le min (2e, 25 cm) = 25cm$

Armatures // Ly : $St=25cm \le min (3e, 33 cm) = 33cm$

Les résultats de ferraillage sont récapitulés dans le tableau suivant :

Sens	$M_u(KN.m)$	μ_{bu}	α	Z(m)	$A_{cal}(cm^2)$	$A_{min}(cm^2)$	$A_{adp}(cm^2)$
Travée x-x	22.139	0.069	0.089	0.144	4.41	1.81	6.79
Travée y-y	8.39	0.027	0.034	0.147	1.74	1.81	3.14
Appuis	11.069	0.035	0.044	0 .197	2.16	1.81	6.79

Tableau.VI.7: Résultats du ferraillage.

> Vérification de l'effort tranchant : (BAEL A.5.1, 1)

Les armatures transversales ne sont pas nécessaires si la condition ci-dessous est vérifiée :

$$\tau_u = \frac{\tau_{max}}{b \times d} < \overline{\tau_u} = \frac{0.07}{\gamma_b} \times f_{c28} = 1.16MPA$$

$$T_x = \frac{q_u \times L_x}{2} \times \frac{L_y^4}{L_y^4 + L_x^4} = \frac{27.36 \times 3.4}{2} \times \frac{5^4}{5^4 + 3.4^4} = 38.3KN$$

$$T_y = \frac{q_u \times L_y}{2} \times \frac{L_x^4}{L_y^4 + L_x^4} = \frac{26.36 \times 5}{2} \times \frac{3.4^4}{5^4 + 3.4^4} = 12.048$$
KN

$$\tau_u = \frac{38.31 \times 10^{-3}}{1 \times 0.15} = 0.24 MPA \le 0.7/\gamma_b \times f_{C28} = 1.16 MPA.....CV$$

b) ELS:

$$\rho = 0.46 \implies Donc : \begin{cases} \mu_x = 0.0767 \\ \mu_y = 0.5584 \end{cases} \implies \begin{cases} M_x = u_x \times q_u \times L^2_x = 22.139 \text{KN. m} \\ M_y = M_x \times \mu_y = 8.93 \text{N. m} \end{cases}$$

> Moments en travées :

$$M_{tx} = 0.85 M_x = 22.139$$
KN. m

$$M_{ty} = 0.75 M_y = 8.93 \text{KN. m}$$

> Moments sur appuis :

$$M_{ax} = M_{ay} = 0.5 M_x = 11.096 \text{KN}.$$

> Vérification des contraintes :

$$\sigma_{bc} = \frac{M_{ser} \times Y}{I} \le \overline{\sigma_{bc}} = 0.6 \times f_{c28} = 15 \text{MPA}$$

		M_t	$A_s(\text{cm}^2)$	Y(cm)	I (cm ⁴)	σ_{bc}	$\sigma_{bc} \leq \overline{\sigma_{bc}}$	$\sigma_s \leq \overline{\sigma_s}$
Travée	(x-x)	15.050	6.79	4.6	14176.05	4.88	CV	164< 201.6
	(y-y)	7.41	3.14	3.31	12140.31	2.02	CV	107< 201.6
App	uis	8.77	6.79	4.6	14176.05	2.74	CV	128< 201.6

Tableau.VI. 8 : Vérification des contraintes

VI.4.5. Schéma de ferraillage du voile périphérique :

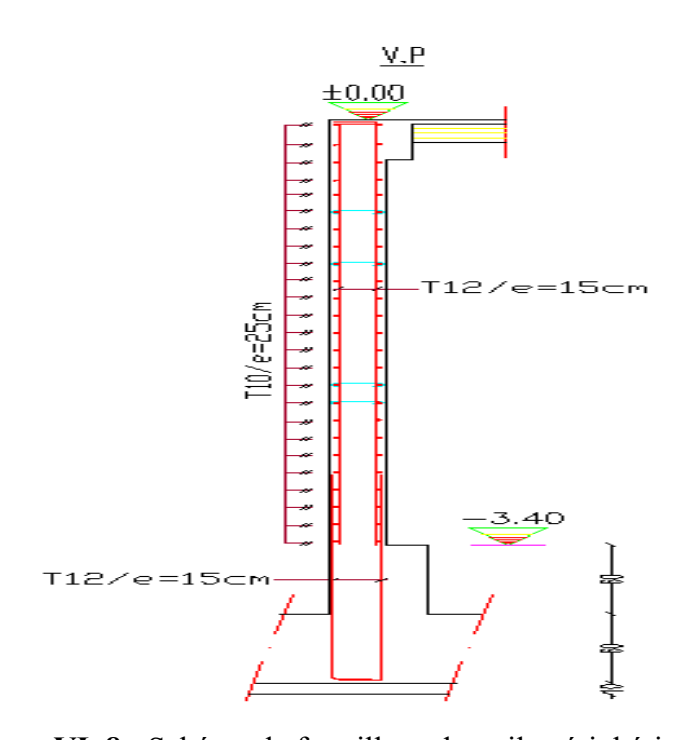


Figure VI .8 : Schéma de ferraillage du voile périphérique

VI.5. Conclusion:

du radier.

Pour connaître le type de fondation qui convient à notre structure, nous avons procédé à un calcul avec semelles isolées. Ces dernières ne convenaient pas à cause du chevauchement qu'elles engendraient. Le même calcul a été mené avec des semelles filantes. Ces dernières ne convenaient pas non plus pour les mêmes raisons.

Cette solution nous a permet de vérifier notre structure avec radier débordant qui a était calculer comme un plancher renversé. Le ferraillage a été vérifié et s'est avéré satisfaisant. Au niveau de l'infrastructure, un voile périphérique est prévu pour supporter l'action des poussées des terres. Le voile a été calculé et ferrailler comme un plancher encastré au niveau



CONCLUSION GENERALE:

Le projet de fin d'étude est une phase importante dans le cycle de formation d'ingénieur. En effet, il nous a été une meilleure occasion pour mettre en application les connaissances théoriques que nous avons acquises durant les cinq années d'étude.

Cette expérience nous a aidée à mieux approfondir dans notre domaine ,connaître les étapes nécessaires dans l'étude d'un bâtiment en béton armé et de bien comprendre le comportement des différents éléments de l'ouvrage afin de pouvoir appliquer les règlements en vigueur

Lors de notre travail, la première des choses que nous avons prise en considération c'est le lieu d'implantation de notre ouvrage qui est une zone de fort sismicité III. De ce fait, après un pré dimensionnement préliminaire des éléments secondaires et principaux, notre préoccupation principale était le choix d'un meilleur système de contreventement.

Suite à l'application du règlement parasismique algérien, nous avons adopté un système de contreventement par voiles porteurs en béton armé pour la reprise des charges horizontales dues au séisme car c'est le cas le plus défavorable. L'emplacement des voiles a été un compromis entre la fonction de l'ouvrage et une meilleure conception parasismique, la chose qui est difficile à réaliser notamment dans le cas de notre ouvrage.

L'utilisation du logiciel de calcul « ETAPS » nous a permis de se familiariser avec l'outil informatique comme elle nous a facilité le calcul des efforts internes.

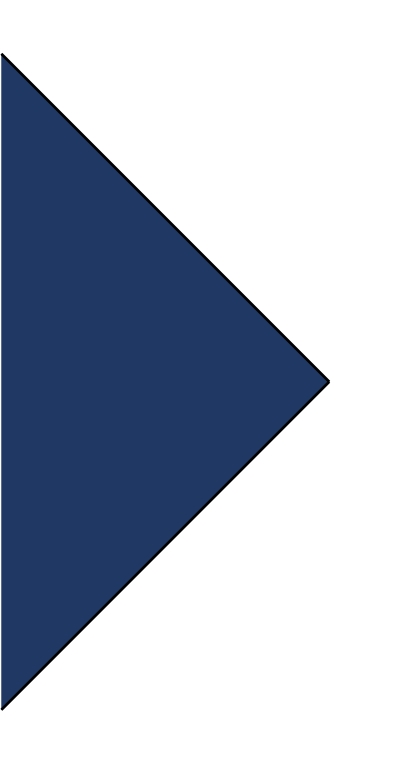
Après cette étude on peut conclure que :

- ✓ La bonne stabilité des bâtiments dépend de leurs fondations
- ✓ La bonne disposition des voiles est un facteur important pour assurer la stabilité et la sécurité des structures
- ✓ L'estimation des quantités du béton et d'acier est obligatoire comme il est nécessaire de garantir une meilleure qualité des matériaux
- ✓ Il est important que l'ingénieur civil et l'architecte travaillent en étroite collaboration dès le début de projet pour éviter toutes les conceptions insuffisantes, et pour arriver à une sécurité parasismique réalisée sans surcout important.

Enfin, nous, espérons que ce modeste travail, accompagné de quelques illustrations et définitions qui existent dans les règlements que nous avons utilisés apporte de l'aide aux prochaines promotions.

RÉFÉRENCES:

- [1]Règle parasismique Algérienne RPA99 version 2003 ,2003
- [2]Les Règles de calcul de Béton Armé aux Etats Limite. BAEL 91 modifié 99,2000
- [3]Règle de conception et de calcul des structures en béton armé C.B.A 93.1993
- [4]Document technique règlementaire DTR B C 2 48



ANNEXE

ANNEXE 1: Section en cm² de N armature φ en mm

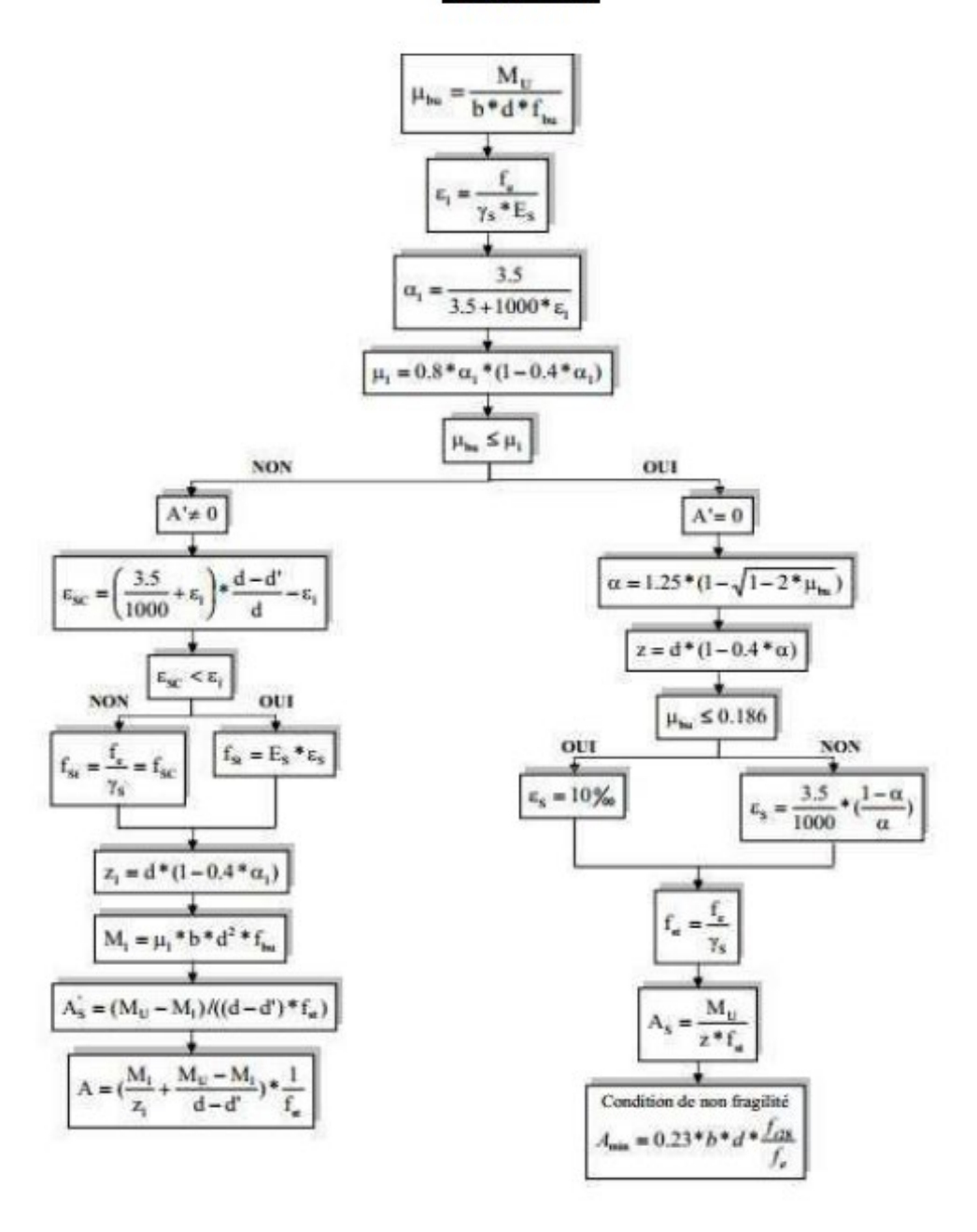
Φ	5	6	8	10	12	14	16	20	25	32	40
1	0,2	0,28	0,5	0,79	1,13	1,54	2,01	3,14	4,91	8,04	12,57
2	0,39	0,57	1,01	1,57	2,26	3,08	4,02	6,28	9,82	16,08	25,13
3	0,59	0,85	1,51	2,36	3,39	4,62	6,03	9,42	14,73	24,13	37,70
4	0,79	1,13	2,01	3,14	4,52	6,16	8,04	12,57	19,63	32,17	50,27
5	0,98	1,41	2,51	3,93	5,65	7,70	10,05	15,71	24,54	40,21	62,83
6	1,18	1,70	3,02	4,71	6,79	9,24	12,06	18,85	29,45	48,25	75,40
7	1,37	1,98	3,52	5,50	7,92	10,78	14,07	21,99	34,36	56,30	87,96
8	1,57	2,26	4,02	6,28	9,05	12,32	16,08	25,13	39,27	64,34	100,53
9	1,77	2,54	4,52	7,07	10,18	13,85	18,10	28,27	44,18	72,38	113,10
10	1,96	2,83	5,03	7,85	11,31	15,39	20,11	31,42	49,09	80,42	125,66
11	2,16	3,11	5,53	8,64	12,44	16,93	22,12	34,56	54,00	88,47	138,23
12	2,36	3,39	6,03	9,42	13,57	18,47	24,13	37,70	58,91	96,51	150,8
13	2,55	3,68	6,53	10,21	14,70	20,01	26,14	40,84	63,81	104,55	163,36
14	2,75	3,96	7,04	11,00	15,83	21,55	28,15	43,98	68,72	112,59	175,93
15	2,95	4,24	7,54	11,78	16,96	23,09	30,16	47,12	73,63	120,64	188,50
16	3,14	4,52	8,04	12,57	18,10	24,63	32,17	50,27	78,54	128,68	201,06
17	3,34	4,81	8,55	13,35	19,23	26,17	34,18	53,41	83,45	136,72	213,63
18	3,53	5,09	9,05	14,14	20,36	27,71	36,19	56,55	88,36	144,76	226,20
19	3,73	5,37	9,55	14,92	21,49	29,25	38,20	59,69	93,27	152,81	238,76
20	3,93	5,65	10,05	15,71	22,62	30,79	40,21	62,83	98,17	160,85	251,33

ANNEXE 2 : Dalles rectangulaires uniformément chargées

	EXE 2: Dailes ro	ectangulaires unifo / = 0	ELS V	
$\alpha = Lx/L_y$	μ_x	μ_{ν}	μ_x	μ_{ν}
0.40	0.1101	0.2500	0.0121	0.2854
0.41	0.1088	0.2500	0.1110	0.2924
0.42	0.1075	0.2500	0.1098	0.3000
0.42	0.1062	0.2500	0.1087	0.3007
0.44	0.1049	0.2500	0.1087	0.3155
0.45	0.1036	0.2500	0.1063	0.3234
0.46	0.1022	0.2500	0.1051	0.3319
0.47	0.1008	0.2500	0.1038	0.3402
0.48	0.0994	0.2500 0.2500	0.1026	0.3491
0.49 0.50	0.0980 0.0966	0.2500	0.1013 0.1000	0.3580 0.3671
0.51	0.0951	0.2500	0.0987	0.3758
0.52	0.0937	0.2500	0.0974	0.3853
0.53	0.0922	0.2500	0.0961	0.3949
0.54	0.0908	0.2500	0.0948	0.4050
0.55	0.0894	0.2500	0.0936	0.4150
0.56 0.57	0.0880 0.0865	0.2500 0.2582	0.0923 0.0910	0.4254 0.4357
0.57	0.0865	0.2703	0.0910	0.4456
0.58	0.0836	0.2703	0.0897	0.4565
0.60	0.0822	0.2948	0.0870	0.4672
0.61 0.62	0.0808	0.3075	0.0857	0.4781
	0.0794	0.3205	0.0844	0.4892
0.63	0.0779 0.0765	0.3338 0.3472	0.0831	0.5004
0.64			0.0819	0.5117
0.65	0.0751	0.3613	0.0805	0.5235
0.66	0.0737	0.3753	0.0792	0.5351
0.67	0.0723	0.3895	0.0780	0.5469
0.68	0.0710	0.4034	0.0767	0.5584
0.69	0.0697	0.4181	0.0755	0.5704
0.70	0.0684	0.4320	0.0743	0.5817
0.71	0.0671	0.4471	0.0731	0.5940
0.72	0.0658	0.4624	0.0719	0.6063
0.73	0.0646	0.4780	0.0708	0.6188
0.74	0.0633	0.4938	0.0696	0.6315
0.75	0.0621	0.5105	0.0684	0.6447
0.76	0.0608	0.5274	0.0672	0.6580
0.77	0.0596	0.5440	0.0661	0.6710
0.78	0.0584	0.5608	0.0650	0.6841
0.79	0.0573	0.5786	0.0639	0.6978
0.80	0.0561	0.5959	0.0628	0.7111
0.81	0.0550	0.6135	0.0617	0.7246
0.82	0.0539	0.6313	0.0607	0.7381
0.83	0.0528	0.6494	0.0956	0.7518
0.84	0.0517	0.6678	0.0586	0.7655
0.85	0.0506	0.6864	0.0576	0.7794
0.86	0.0496	0.7052	0.0566	0.7932
0.87	0.0486	0.7244	0.0556	0.8074
0.88	0.0476	0.7438	0.0546	0.8216
0.89	0.0466 0.0456	0.7635 0.7834	0.0537 0.0528	0.8358 0.8502
0.91	0.0447	0.8036	0.0518	0.8646
0.91	0.0447	0.8036	0.0518	0.8799
0.92	0.0428	0.8450	0.0500	0.8939
0.94	0.0419	0.8661	0.0491	0.9087
0.94	0.0419	0.8875	0.0491	0.9236
0.96	0.0401	0.9092	0.0474	0.9385
0.97	0.0392	0.9322	0.4065	0.9543
0.98	0.0384	0.9545	0.0457	0.9694
0.99	0.0376	0.9771	0.0449	0.9847
1.00	0.0368	1.0000	0.0441	0.1000

Flexion simple: Section rectangulaire

Calcul à l'ELU



ANNEXE 4

Performances & Raffinement

Ligne Building

Table dimensionnelle T30

ascenseurs de personnes machinerie supérieure entraînement électrique

Charge nominal en kg	le	Vitesse nominale en m/s	Entraîn, (1)	Nombre niveaux maxi	(VIII) 5 (5) (B) 547 (I	Dimensions de cabine BK x TK x HK	Passage libre de porte	Dimensions de gaine BS x TS	Profond de cuve (2)	100 mm
630	6	1.00	2 v	12	32	110 x 140 x 220	80 x 200	The state of the s	135	140
8 pers.			DyS	12 5	. 32 S. (1)	110 x 140 x 220	80 × 200	White the second of the	135	140
		- 9 100	ACVF	12	32	110 x 140 x 220	80 x 200		135	140
	1	1,60	DyS	18	50	110 x 140 x 220	80 x 200	180 x 210 + 1		160
			ACVF	18	50	110 x 140 x 220	80 x 200	180 x 210	150	160
1000	6	1,00	2 v	12	32	160 x 140 x 230	110 x 210	240 x 230	140	140
13 pers			DyS	12	32	160 x 140 x 230	110 × 210	240 x 230	140	140
	100	19.00	ACVF	12	32	160 x 140 x 230	110 x 210	240 x 230	140	140
		1.60	DyS	18	50	160 x 140 x 230	110 × 210	240 x 230	155	160
X 93		7	ACVF	18	50	160 x 140 x 230	110 x 210	240 x 230	155	160
		2,50	Dy MV	28	80	160 x 140 x 230	110 x 210	240 x 230	180	220
	1	V-1.9	TD 2	31	80	160 x 140 x 230	110 x 210	240 x 230	180	220
		4.00	TD 2	31	80	160 x 140 x 230	110 x 210	240 × 230	320	
250	i)	1.00	DyS .	12	32	195 x 140 x 230	110 x 210	260 x 230	140	160
6 pers	9		ACVF	12	32	195 x 140 x 230	110 x 210	260 x 230	140	160
		1.60	DyS	18	50	195 x 140 x 230	110 × 210	260 × 230	155	160
		To the last	ACVF	18	50	195 x 140 x 230	110 x 210	260 x 230	155	160
		2.50	Dy MV	28	80	195 x 140 x 230	. 110×210	260 × 230	180	220
			TD 2	31	80	195 x 140 x 230	110 x 210	260 / 230	180	220
		4.60	TD 2	31	80	195 x 140 x 230	110 - 210	260 < 230	320	
600	B	:.00	DyS	12	32	195 x 175 x 230	110 x 210	_260 x 260	140	160
1 pars.			ACVF	12	32	195 x 175 x 230	110 x 210	260 x 260	140	160
91		1.60	Dy S	18	50	195 x 175,x 230	110 x 210	260 x 250	155	160
			ACVF	18.	50	195 x 175 x 230	110 x 210	260 x 250	155	160
		: 10	Dy MV	28	80	195 x 175 x 230	110 x 210	260 x 280	180	220
			TD Ž	31	80	195 x 175 x 230	110×216	260 x 260	180	220
		A 30	TD 2	31	80	195 x 175 x 230	110 x 210	260 x 260	320	
		630	TD Z	31	80	195 x 175 x 230	110 x 210	260 x 260	400	- 1.77